

550. 34. 034/.343 (521.2/6)

## 1984年 地殻傾斜観測資料集 〔関東・東海地域地殻活動観測網〕

立川真理子\*・大久保正\*\*・山本英二\*\*\*・佐藤春夫\*\*

国立防災科学技術センター

### Data Report of Crustal Tilt Observation for 1984

Compiled by

Mariko Tatsukawa, Tadashi Ohkubo, Eiji Yamamoto and Haruo Sato  
*National Research Center for Disaster Prevention, Japan*

#### Abstract

The National Research Center for Disaster Prevention is conducting the crustal tilt observation in the Kanto-Tokai area in the central Japan for the purpose of earthquake prediction, by using the borehole-type tiltmeters. The tiltmeters are installed at the bottom of the observation wells of which the standard depth is 100m except three deep wells. The output voltage proportional to the ground tilting at each site is transmitted to the NRCDP at Tsukuba in Ibaraki Prefecture by the PCM telemetry system, and recorded on magnetic tapes by the real time processor. Three new stations began to operate in 1984, in addition to the eighteen stations where the stationary observation had been carried out since 1978. Here, we report tilt changes at the twenty one stations for 1984. The results are illustrated in two kinds of diagrams: annual plots of daily means and monthly plots of hourly data. For reference, we plot daily precipitation at each station, too.

#### 1. 序

国立防災科学技術センターは、関東・東海地域において孔井用傾斜計（力平衡型振子式）による地殻傾斜観測を行っており、1年毎にその結果を報告している（佐藤・立川、1979；

---

\* 第2研究部 地震前兆解析研究室    \*\* 同 地震活動研究室  
\*\*\* 同 地震防災研究室                \*\* 同 主任研究官

佐藤ほか, 1980; 立川ほか, 1981; 立川ほか, 1982; 立川ほか, 1984; 立川ほか, 1985). 新たに建設した大須賀・山北・戸田観測施設を加えて, 1984年の観測結果をここに報告する.

なお, 岩槻観測施設(1984年3月再設置)については, ケーブル障害のため本資料には掲載していない.

## 2. 観測施設

標準的な観測施設では図1に示すように, 深度100mの観測井孔底に傾斜計等の計器が設置されている(佐藤ほか, 1980). ただし, 中伊豆観測施設では横坑内のコンクリート台上に, 府中・岩槻・下総観測施設では2,000~3,000m級の深井戸孔底に設置されている. 観測施設の緯度・経度等を表1に示す. また各観測施設の配置を図2に示す. 図中, I~Vの5つのブロックに分け, このブロック単位に本資料を作成した.

STANDARD OBSERVATION STATION

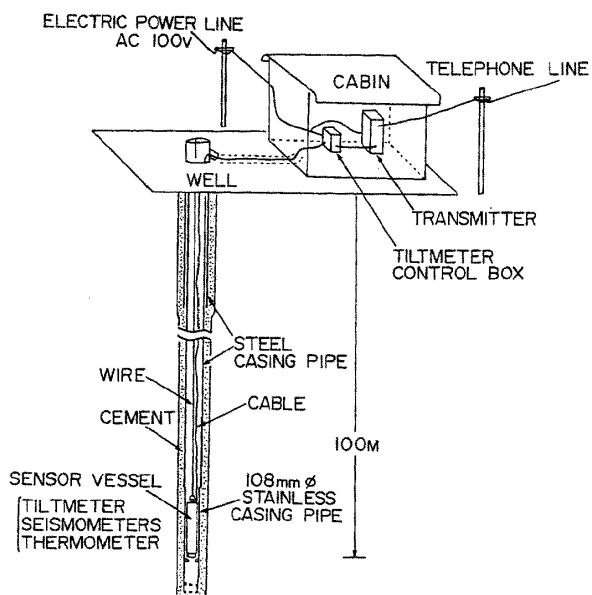


図1 標準の地殻活動観測施設  
Fig. 1 Standard observation station.

## 3. 傾斜計の設置方向

傾斜計の直交する2成分は東西・南北方向に向てある. ただし深井戸の府中・下総観測施設ではX・Y成分と称し, 図3に示す方向に設置してある. なお, 下総観測施設は, 定期点検のために9月に計器を引き上げ, 12月に再設置を行った.

表 1 観測施設リスト

Table 1 List of observation stations.

観測点名 Station	略称 Code	経度 (E)	緯度 (N)	計器標高 (m)	観測井深度 (m)	孔底岩質 Lithology
三ヶ日 Mikkabi	MKB	137°30'50.1"	34°48'05.4"	-38	99.3	砂岩・粘板岩(互層) Sandstone, Slate
本川根 Honkawane	HKW	138°08'16.7"	35°05'35.4"	343	106.2	砂岩・頁岩(互層) Sandstone, Shale
静岡 Shizuoka	SIZ	138°19'46.6"	35°06'41.8"	76	102.7	頁岩 Shale
近又 Chikamata	CMT	138°14'55.5"	34°58'19.9"	51	54.2	砂岩 Sandstone
野田沢 Nodazawa	NDZ	138°16'47.0"	34°57'37.7"	82	53.2	頁岩 Shale
岡部 Okabe	OKB	138°15'13.8"	34°57'00.0"	-30	101.8	粘板岩 Slate
大須賀 Ohsuka	OHS	138°00'54.8"	34°40'57.1"	-67	134.8	礫層 Gravel bed
戸田 Heda	HDA	138°48'17.1"	34°57'52.7"	-46	100.6	安山岩溶岩 Andesite lava
中伊豆 Nakaizu	JIZ	138°59'48.4"	34°54'46.4"	263 in a tunnel		凝灰岩質砂岩 Tuffaceous sandstone
下田 Shimoda	SMD	138°56'03.5"	34°44'15.3"	-13	87.7	輝石安山岩 Pyroxene andesite
塩山 Enzan	ENZ	138°48'19.0"	35°44'09.5"	807	88.7	花崗閃綠岩 Granodiorite
山北 Yamakita	YMK	139°03'46.0"	35°29'13.2"	56	100.7	石英閃綠岩 Quartz diorite
愛川 Aikawa	AKW	139°19'04.5"	35°31'12.5"	-10	91	砂岩 Sandstone
南足柄 Minamiashigara	ASG	139°01'40.4"	35°18'49.6"	386	94.4	砂岩 Sandstone
大島 Ohshima	OSM	139°26'33.7"	34°41'16.2"	-44	101.2	溶岩・スコリア Lava, Scoria
岩井北 Iwai-kita	IWK	139°52'17.0"	35°05'53.2"	0	50	砂岩 Sandstone
勝浦 Katsuura	K.TU	140°16'08.1"	35°10'37.3"	-12	108	泥岩 Mudstone
銚子 Choshi	CHS	140°51'18.0"	35°42'08.0"	-42	94	砂岩 Sandstone
府中 Fuchu	FCH	139°28'25.1"	35°39'02.4"	-2707	2751	砂岩・粘板岩 Sandstone, Slate
岩槻 Iwatsuki	IWT	139°44'17"	35°55'33"	-3501	3510	変成岩類 Metamorphic rocks
下総 Shimohsa	SHM	140°01'25.6"	35°47'36.4"	-2277	2300	結晶片岩 Crystalline schist

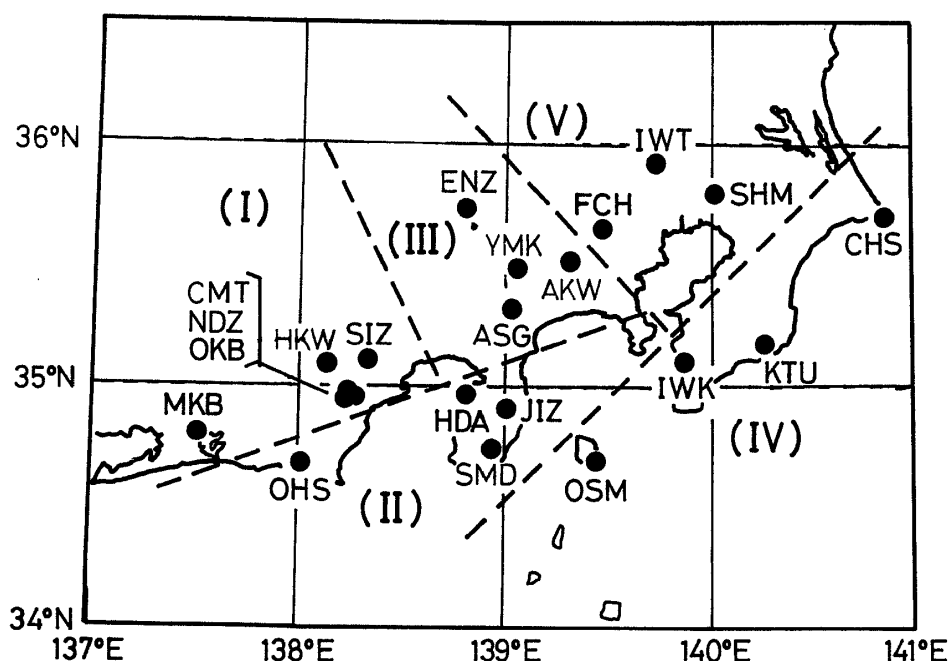


図2 観測施設の配置  
Fig. 2 Location of observation stations.

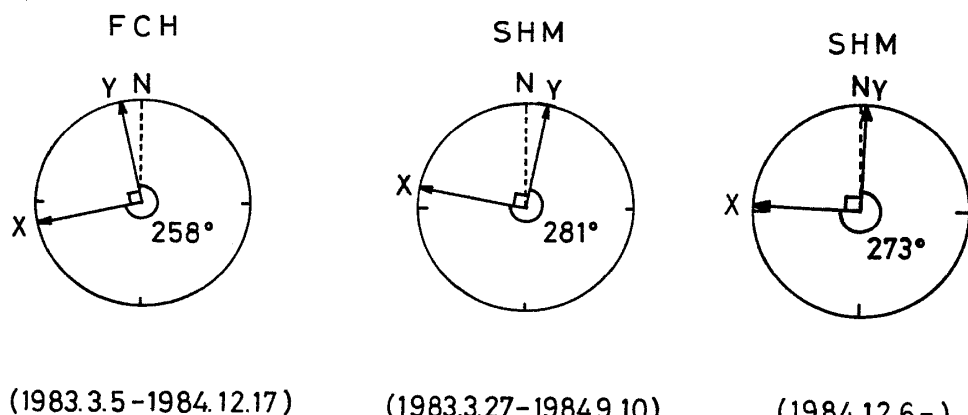


図3 府中・下総の座標系  
Fig. 3 Directions of biaxial-tiltmeters at FCH and SHM.

#### 4. 総合特性

観測状態における総合特性を表2に示す。

表 2 計器の総合特性  
Table 2 Overall characteristics of the instruments.

計 器	設置場所	観測可能範囲	精度	分解能	温度特性(傾斜計地上装置及テレメータ装置)
Instrument	Observation position	Measuring range	Accuracy	Resolution	Temperature response
傾斜計 Tiltmeter	各観測井孔底 Bottom of the well	$\pm 2 \times 10^{-4}$ rad		$6 \times 10^{-9}$ rad	$10^{-8}$ rad/°C
温度計 Thermometer	各観測井孔底 Bottom of the well	設定温度を中心 に $\pm 2.5$ °C	0.1 °C	0.02 °C	
気圧計 Barometer	観測棟内 In the cabin	$1000 \pm 50$ mb	0.5 mb	0.1 mb	
雨量計 Rain gauge	観測棟横 Side of the cabin	0 ~ 100 mm	1 mm	1 mm	

### 5. 傾斜変動図

観測井孔底に設置された傾斜計の出力信号は、1秒毎にテレメータ装置（PCM方式）によって筑波研究学園都市内の国立防災科学技術センターに搬送され、オンラインのリアルタイムデータ収録監視システムの磁気ディスク記録装置に毎分1回のサンプリングで記録されている。1週間毎にディスクから磁気テープに書き写し、オンラインのデータ駆動解析システムを用いて、この毎分データを毎時1回正時のサンプリングで磁気ディスクおよび磁気テープに編集する。さらに1時間前のサンプリングデータと比較し、その差が一定のレベル以上になったときはデータを零に置換して、作図時には欠測とみなすこととしている。詳しくは大久保ほか（1982）を参照されたい。

地震時のショックによって傾斜ステップが生じることがある。発生した日時・ステップ量および対応する地震の震央・マグニチュードを表3に示す。

1年間のおおよそのドリフト量、降雨等の影響による傾斜変化量を表4に示す。新設の観測施設や長期間欠測の観測施設についても、目やすとして年間分に換算したドリフト量を記した。また観測状況の概要を表5に、詳細を表6に示す。なお、本川根（EW成分）・大島（NS成分）・大須賀（NS・EW成分）での傾斜変動は気圧による影響が大きいことを付記しておく。詳しくは、島田・立川（1985）を参照されたい。

毎時データから作成した傾斜ベクトルの日変化の例（4月16日・望）を図4に示す。

図5A-Iに1年間の傾斜変動の日平均値（24時間の単純平均）を、図5Jに近又における地中温度・日雨量および野田沢・中伊豆における気圧の日平均値を示す。図6には傾斜変動の毎時値を月毎に、同じく図7には近又における地中温度・日雨量および野田沢・中伊豆における気圧を示す。なお、岡部の地中温度計は1983年6月に故障し、また野田沢の地中温度

は1984年1月にシフトしてしまい絶対温度不明のため欠測とした。

傾斜変動図には、各ブロックのほぼ中央に位置する観測施設の日雨量を代表として図中下部に示してある。停電・計器故障・テレメータ装置故障・点検調整による欠測期間は空白にしてある。地震または計器の故障等原因の明らかなステップは補正した。なお図6において、ステップを補正した所に記号「C」を、さらにその原因が地震に伴う場合は「E」、計器その他観測システムによる場合は「T」を記してある。図5中、傾斜変動が作図幅を起えた場合は $6 \mu$  radianずらして○印を記してある。また図6では、ドリフトのある複数の傾斜観測データを同一図内に作図するので、原則として2ヶ月単位で月初め（奇数月）に適宜オフセットを加えた。

最後に、各観測施設における日雨量をまとめて図8に示す。

なお、府中・岩槻・下総深井戸観測施設における観測および施設の維持管理は、地震防災研究室高橋末雄室長・伊藤健治同室員（当時）・地殻力学研究室鈴木宏芳室長があたった。

#### 参考文献

- 1) 大久保正・佐藤春夫・松村正三（1982）：グラフィックディスプレイ装置を用いた地殻傾斜変動図の作成。国立防災科学技術センター研究報告, **27**, 145~157.
- 2) 佐藤春夫・立川真理子（1979）：地殻傾斜観測資料集(1)。防災科学技術研究資料, **42**, 1~32.
- 3) 佐藤春夫・立川真理子・山本英二（1980）：地殻傾斜観測資料集(2)。防災科学技術研究資料, **51**, 1~66.
- 4) 佐藤春夫・高橋博・山本英二・福尾信平・上原正義・寺沢康夫（1980）：孔井用傾斜計による地殻傾斜観測方式の開発。地震, **33**, 343~368.
- 5) 島田誠一・立川真理子（1985）：ボアホール式傾斜計の気圧による影響－国立防災科学技術センターの関東・東海地域観測網の場合－。測地学会誌, **31**, 273~282.
- 6) 立川真理子・佐藤春夫・山本英二（1981）：地殻傾斜観測資料集(3)。防災科学技術研究資料, **62**, 1~123.
- 7) 立川真理子・山本英二・佐藤春夫（1982）：地殻傾斜観測資料集(4)。防災科学技術研究資料, **78**, 1~147.
- 8) 立川真理子・大久保正・山本英二・佐藤春夫（1984）：地殻傾斜観測資料集(5)。防災科学技術研究資料, **86**, 1~200.
- 9) 立川真理子・大久保正・山本英二・佐藤春夫（1985）：1983年 地殻傾斜観測資料集。防災科学技術研究資料, **103**, 1~189.

（1986年1月27日 原稿受理）

表3 地震の衝撃による傾斜ステップ<sup>o</sup>  
 Table 3 Tilt steps caused by earthquake shocks.  
 N, E (or X, Y) ground down, +; unit, micro-radian.

Date	d	h	m	Station	Comp.	Tilt step	Earthquake	Date	d	h	m	Station	Comp.	Tilt step	Earthquake	
JAN	01	18	03	SIZ	NS	-0.07	S off Kinki	SEP	06	03	48	JIZ	EW	-1.14	S off Kanto	
					EW	-0.15	M=7.3					SMD	EW	-0.36	M=4.2	
				JIZ	EW	-0.11		SEP	06	08	17	JIZ	EW	-0.20	S off Kanto	
				SMD	EW	-0.07					SMD	EW	-0.07	M=3.9		
				ENZ	NS	-0.04		SEP	06	12		JIZ	EW	0.18	S off Kanto	
				AKW	NS	-0.16					JIZ	EW	-0.18	S off Kanto		
				OSM	NS	-0.40								M=3.4		
				"	EW	0.07		SEP	07	04	45	JIZ	EW	-0.04	S off Kanto	
				KTU	NS	-0.33					JIZ	EW	1.24			
				"	EW	2.16		SEP	07	15	02	SMD	EW	0.11	S off Kanto	
				FCH	X	-0.15								M=4.0		
				"	Y	-0.11		SEP	08	08	33	SMD	EW	-0.15	S off Kanto	
JAN	05	12	33	SIZ	EW	-0.04	Kanto-Chubu border					JIZ	EW	-0.15	S off Kanto	
							M=3.4							M=3.5		
JAN	14	04	03	SIZ	EW	-0.04	Southern Chubu	SEP	14	08	48	MKB	NS	0.04	Nagano-ken-seibu	
JAN	17	2C	13	SIZ	EW	-0.04	E off Kanto					"	EW	0.04		
				AKW	NS	-0.04	M=5.6					HKW	NS	-0.15		
JAN	18	03	31	SIZ	EW	-0.04	E off Kanto					"	EW	0.93		
				AKW	NS	-0.09	M=5.9					SIZ	NS	-0.13		
				"	EW	-0.04					"	EW	-0.28			
				KTU	EW	-0.04					CMT	NS	-0.17			
JAN	22	18	29	SIZ	EW	-0.04	S coast of Chubu					"	EW	-0.18		
							M=3.4				NDZ	NS	0.02			
FEB	09	06	50	SIZ	EW	-0.04	Kanto-Chubu border					"	EW	0.05		
FEB	11	04	49	SIZ	EW	-0.07	Southern Kinki					OKB	NS	0.98		
							M=5.5				"	EW	0.40			
FEB	14	01	53	SIZ	EW	-0.04	Kanto-Chubu border					OHS	NS	-1.78		
				JIZ	EW	-0.07	M=5.2					"	EW	0.42		
				ENZ	EW	0.07					HDA	NS	-0.04			
				AKW	NS	0.66					SMD	NS	0.15			
				"	EW	-0.36					"	EW	0.24			
				OSM	EW	-0.04					ENZ	NS	-0.15			
				FCH	X	-0.07					"	EW	0.05			
				"	Y	-0.07					YMK	NS	-0.22			
MAR	06	11	17	HKW	EW	0.13	Near Torishima					"	EW	0.05		
				SIZ	NS	0.22	M=7.9					AKW	NS	-0.18		
				"	EW	0.26					"	EW	-0.04			
				JIZ	NS	0.09					OSM	NS	0.04			
				"	EW	-0.15					"	EW	2.40			
				SMD	NS	0.16					KTU	NS	-0.29			
				"	EW	0.49										
				AKW	NS	-0.18					SEP	14	12	49		
				"	EW	-0.07					SIZ	NS	0.05	Nagano-ken-seibu		
				OSM	NS	-0.18					"	EW	0.09	(aftershock) M=5.0		
				"	EW	2.74										
				KTU	NS	-1.43					SEP	15	07	14		
				"	EW	-2.27					MKB	NS	0.07	Nagano-ken-seibu		
				SHM	Y	-0.04					"	EW	-0.05	(largest aftershock) M=6.2		
APR	06	10	09	SIZ	EW	-0.04	S coast of Chubu					HKW	NS	-0.07		
				AKW	NS	-0.07	M=5.4					SIZ	NS	0.20		
				"	EW	-0.07					"	EW	-0.11			
APR	24	08	11	SIZ	EW	-0.05	S coast of Chubu					OKB	NS	0.16		
APR	24	13	11	SIZ	EW	-0.04	S off Honshu					"	EW	0.07		
				AKW	NS	-0.19	M=6.7					OHS	NS	-0.05		
				"	EW	-0.04					"	EW	0.20			
				OSM	EW	-0.04					JIZ	EW	-0.11			
				KTU	NS	-0.04					SMD	NS	-0.11			
				"	EW	0.13					"	EW	0.06			
APR	30	05	58	SIZ	EW	-0.04	S coast of Chubu					YMK	NS	-0.04		
MAY	23	07	38	SIZ	EW	-0.05	Northern Kanto					AKW	NS	-0.05		
				AKW	NS	-0.11	M=4.6					"	EW	-0.05		
				"	EW	-0.05					YMK	NS	0.13			
MAY	30	07	58	SIZ	EW	-0.02	SE coast of Kanto					AKW	NS	-0.06		
				AKW	NS	-0.09	M=4.4					"	EW	-0.04		
				"	EW	-0.04					OSM	NS	0.15			
				SIZ	EW	-0.04	Northern Kinki					"	EW	0.08		
							M=5.6				KTU	NS	-0.39			
JUN	26	10	32	SIZ	EW	-0.15	Southern Kanto					"	EW	0.07		
				YMK	NS	-0.05	M=4.4					OCT	25	00	34	
				"	EW	-0.50					AKW	NS	-0.05	Kanto-Chubu border		
				AKW	NS	-0.07					"	EW	-0.05	M=3.4		
				"	EW	-0.07					OCT	25	15	57		
JUN	30	02	45	SIZ	EW	-0.05	Northern Kanto					SIZ	EW	-0.04	E off S Tohoku	
				AKW	NS	-0.05	M=5.0					"	EW	-0.11	M=5.2	
				"	EW	-0.04					OCT	31	01	15		
				OSM	EW	-0.04					SIZ	EW	-0.04	E coast of Kanto		
				KTU	NS	-0.04					"	EW	-0.11	M=4.5		
				"	EW	-0.04					NOV	10	10	40		
JUL	09	10	47	AKW	NS	-0.04	Southern Kanto					AKW	NS	-0.05	SE coast of Kanto	
				"	EW	-0.04	M=3.5					"	EW	-0.05	M=4.6	
JUL	10	16	15	SIZ	EW	-0.04	S coast of Chubu					YMK	NS	-0.13	Kanto-Chubu border	
							M=3.4				"	EW	0.03	M=3.6		
JUL	26	13	52	SIZ	EW	-0.09	Northern Kanto					AKW	NS	-0.05		
							M=4.8				"	EW	-0.07			
AUG	07	04	06	SIZ	EW	-0.07	SE off Kyushu					DEC	03	13	06	
				OHS	EW	-0.04	M=7.1					SIZ	EW	-0.07	S off Chubu	
				ASG	EW	0.04					DEC	06	04	47		
				HKW	NS	-0.11	S coast of Chubu					SIZ	EW	-0.02	E coast of Kanto	
				"	EW	0.35	M=4.2					"	EW	-0.07	M=4.8	
				"	EW	-0.04	M=4.0					DEC	17	14	55	
				SEP	02	16	11	JIZ	NS	0.05	S off Kanto		SIZ	EW	-0.04	Southern Kanto
							M=4.0	"	EW	-0.07	M=4.2		"	EW	-0.04	
				SEP	03	09	27	JIZ	EW	-0.09	S off Kanto					
							M=3.5	"	EW	-0.05	M=4.9					
				SEP	05	15	58	SMD	NS	0.05	S off Kanto		DEC	17	23	49
							M=2.8	"	EW	-0.05	Tokyo bay region					
				SEP	05	16	17	YMK	NS	-0.16	S off Kanto		AKW	NS	-0.05	
							M=4.5	"	EW	-0.02	M=4.9		"	EW	-0.05	
							"	EW	0.02			OSM	EW	-0.05		
							"	EW	-0.06			AKW	NS	-0.02	E off S Tohoku	
							"	EW	-0.02	M=5.3		"	EW	-0.02		

表 4 観測された傾斜変化の特徴  
Table 4 Characteristics of observed tilt changes.

観測点	成分	ドリフト ( $\mu$ rad./year)	降雨による傾斜変化 Max. ( $\mu$ rad.)	その他の
三ヶ日(MKB)	NS EW	0.3 1.7	0.2 0.1	
本川根(HKW)	NS EW	0.5 1	0.1 0.2	EW成分は気圧の影響が大きい。
静岡(SIZ)	NS EW	2 1.2	0.1 0.5	
近又(CMT)	NS EW	1.3 0.5	0.7 0.3	
野田沢(NDZ)	NS EW	— 1.5	0.8 0.2	
岡部(OKB)	NS EW	4.5 —	— 0.1	
大須賀(OHS)	NS EW	4 8.3	1 1.4	海岸線に近いため潮位の影響を受けて 潮汐の振幅が大きい。 気圧の影響が大きい。
戸田(HDA)	NS EW	— —	—	
中伊豆(JIZ)	NS EW	2.7 8.5	2.5 2.5	
下田(SMD)	NS EW	3.2 0.3	0.1 0.2	
塩山(ENZ)	NS EW	1 0.5	—	
山北(YMK)	NS EW	0.5 4.3	0.3 0.1	
愛川(AKW)	NS EW	1.3 0.8	0.1 0.1	
南足柄(ASG)	NS EW	0.8 1.5	0.5 1	
大島(OSM)	NS EW	4 3.5	— 0.1	潮汐による振幅が大きい。NS成分は気 圧の影響が大きい。潮位の変化に対して 逆向きの傾斜変化を示す。
岩井北(IWK)	EW	2	—	海岸線に近いため潮位の影響を受けて 潮汐の振幅が大きい。
勝浦(KTU)	NS EW	7.5 0.3	— —	
銚子(CHS)	NS EW	0.4 0.5	—	
府中(FCH)	X Y	0.8 6	—	
下総(SHM)	X Y	4.8 8.6	—	

表 5 觀測概況(I)  
Table 5 General condition of the observation.

		1984											
COMP.	INSTALLATION	JAN	FEB	MAR	APR	MAY	JUN	JUL	AUG	SEP	OCT	NOV	DEC
MKB	NS FEB 1981												
MKB	EW												
MKB	PRECIP. JAN 1982							■					
HKW	NS JAN 1982						—		—				
HKW	EW						—		—				
HKW	PRECIP.												
SIZ	NS MAR 1981							■					
SIZ	EW							■					
SIZ	PRECIP. DEC 1981							■					
CMT	NS FEB 1978												
CMT	EW												
CMT	TEMP.								—				
CMT	PRECIP.												
NDZ	NS FEB 1978												
NDZ	EW												
NDZ	BAROM.							■					
OKB	NS FEB 1983												
OKB	EW												
OHS	NS NOV 1983			■									
OHS	EW			■									
OHS	PRECIP.			■									
HDA	NS FEB 1984			■									
HDA	EW			■									
HDA	PRECIP.			■									
JIZ	NS DEC 1978												
JIZ	EW												
JIZ	BAROM.												
JIZ	PRECIP. MAR 1982												
SMD	NS FEB 1982						—						
SMD	EW						—						
SMD	PRECIP. JAN 1983												
ENZ	NS JAN 1979	■		■									
ENZ	EW	■		—									
ENZ	PRECIP. JAN 1983	■											
YMK	NS DEC 1983		■					—					■
YMK	EW		■					—					
YMK	PRECIP.		■										
AKW	NS NOV 1982						■						
AKW	EW						■						
AKW	PRECIP.						■						
ASG	NS JAN 1979												
ASG	EW												
ASG	PRECIP. JUL 1980												
OSM	NS FEB 1983												
OSM	EW												
OSM	PRECIP.												
IWK	EW OCT 1975							■					
IWK	PRECIP. FEB 1982												
KTU	NS DEC 1982			—									
KTU	EW			—									
KTU	PRECIP.												
CHS	NS OCT 1980		—										
CHS	EW		—										
CHS	PRECIP. JAN 1983												
FCH	X MAR 1983									U			
FCH	Y									U			
SHM	X MAR 1983								U		U		
SHM	Y								U		U		

■ Normal    □ Interrupted    U : Tiltmeter pulled up

表 6 観測概況(II)  
Table 6 Detailed condition of the observation.

- 略 号      E : 地震によって生じた傾斜変化  
                 Tilt change caused by earthquake shock  
     T : 観測システム (センサー・テレメータ・回線・記録計等) の故障または点検調整による不良記録・欠測  
                 Instrumental trouble (sensor, telemetry system, telephone line or recorder)  
     C : ステップ補正  
                 Offset correction  
     ? : 観測システムの故障によるものとは断定できないが、明らかに異常と思われる記録  
                 Unusual tilt change caused by unknown origin

	三 ケ 日 (MKB)	本 川 根 (HKW)	静 岡 (SIZ)
1月			01d18h : EC 05d12h : EC 14d04h : EC 17d20h : EC 18d00h : EC 22d18h : EC
2月		04d08h : ? (ステップ・NS,EW) 07d05h : ? ( <u>  </u> NS,EW ) 07d11h : ? (     "     ) 07d15h : ? (     "     ) 08d01h : ? ( <u>  </u> NS,EW ) 11d17h : ? ( <u>  </u> NS,EW ) 11d18h : ? ( <u>  </u> NS,EW ) 28d04h : ? (     "     )	09d04h : ? (ステップ・NS,EW) 09d04h : ? (ステップ・NS,EW) 09d06h : EC 11d04h : EC 14d01h : EC
3月		06d11h : EC 06d12h~16h : TC (傾斜計定期点検) 08d20h : TC (ステップ)	05d17h~22h : TC (傾斜計定期点検) 06d11h : EC 06d19h : TC (傾斜計定期点検) 09d07h~14h : T (停電)

	三ヶ日 (MKB)	本川根 (HKW)	静岡 (SIZ)
3月	09d 14h~17h : TC (傾斜計定期点検)  30d 09h~13h : T (筑波側停電)	15d 4h : ? (  NS,EW)  18d 07h~15h : T (テレメータダウン)  30d 09h~13h : T (筑波側停電)	18d 07h~15h : T (テレメータダウン)  30d 09h~13h : T (筑波側停電)
4月			06d 10h : EC 24d 08h : EC 24d 13h : EC 30d 05h : EC
5月	15d 03h : ? (  EW)	28d 16h~29d 17h : T (テレメータダウン)	09d 08h : ? (  NS)  23d 07h : EC  30d 07h : EC 30d 09h : EC
6月	21d 09h~11h : T (停電)	03d 17h : TC (ステップ) 10d 07h~13h : T (テレメータダウン) 17d 08h~12h : T ( " )	10d 07h~13h : T (テレメータダウン)  17d 08h~12h : T ( " )
7月			26d 10h : EC 30d 02h : EC
8月	03d~12d : T (雨量)  18d 04h~07h : T (テレメータダウン))	08d 11h~21d 14h : T 13d 14h : EC  26d 08h~12h : T (テレメータダウン)	10d 16h : EC 26d 13h : EC  07d 04h : EC  26d 08h~12h : T (テレメータダウン)

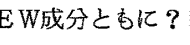
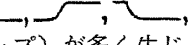
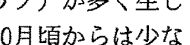
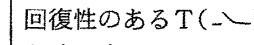
	三ヶ日 (MKB)	本川根 (HKW)	静岡 (SIZ)
9月	14d 08h : EC (長野県西部M 6.8)  15d 07h : EC (長野県西部・ 最大余震M 6.2)	14d 08h : EC (長野県西部M 6.8)  15d 07h : EC (長野県西部・ 最大余震M 6.2)	14d 08h : EC (長野県西部M 6.8)  14d 12h : EC 15d 07h : EC (長野県西部・ 最大余震M 6.2)  15d 07h : EC 15d 08h : EC 19d 02h : EC (房総半島沖M 6.6)
10月		18d 03h~13h : T (テレメータダウン)	03d 07h~15h : T  25d 15h : EC 31d 01h : EC
11月			
12月	09d 07h~13h : T (テレメータダウン)	22d 03h : ? (  EW) 24d 17h~20h : T (テレメータダウン) 26d 11h~27d 10h : T (テレメータダウン)	03d 13h : EC 06d 04h : EC 09d 07h~13h : T (テレメータダウン) 17d 14h : EC 17d 23h : EC
問題点		E W成分に周期が数日程度の 変動が見られる。これは気圧 変化に感応しているものと思 われる。	E W成分は地震によりステップ を生じやすい。

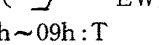
	近又 (CMT)	野田沢 (NDZ)	岡部 (OKB)
1月	19d 09h~14h : T	19d 09h~14h : T 19d 15h : T (ステップ・温度)	19d 09h~14h : T
2月			
3月	08d 10h~13h : T (傾斜計定期点検) 30d 09h~13h : T(筑波側停電)	08d 16h~18h : T (傾針計定期点検) 30d 09h~13h : T(筑波側停電)	08d 16h~18h : T (傾斜計定期点検) 30d 09h~13h : T (筑波側停電)
4月			

	近 又 (CMT)	野 田 沢 (NDZ)	岡 部 (OKB)
5月			
6月	19d13h: ? ( <u>  </u> )	28d17h ~ 7月16d16h: T (気圧)	
7月			
8月		13d02h ~ 18d23h: T (気圧)	
9月	14d08h: EC (長野県西部M 6.8)	14d08h: EC (長野県西部M 6.8)	14d08h: EC (長野県西部M 6.8) 15d07h: EC (長野県西部・ 最大余震M 6.2)
10月	25d08h: ? (ステップ NS) ( <u>  </u> 大きい EW)		
11月			
12月			
問題点	EW成分に? ( <u>  </u> ・ <u>  </u> ) が生じる。		

	大 須 賀 (OHS)	戸 田 (HDA)	中 伊 豆 (JIZ)	下 田 (SMD)
1月	1983年11月16日: 計器設置	1984年2月10日: 計器設置	01d18h: EC 17d10h ~ 18d11h: T (気圧) 24d08h ~ 12h: T (停電)	01d18h: EC  30d09h: TC
2月			14d01h: EC 15d09h: T (入坑)  27d08h ~ 12h: T (停電)	21d09h ~ 11h: TC (停電)
3月	9d: 定常観測開始	15d: 定常観測開始	02d14h ~ 18h: T (傾斜計定期点検) 06d11h: EC	03d12h ~ 17h: TC (傾斜計定期点検) 06d11h: EC  18d07h ~ 15h: T (テレメータダウン)

	大須賀(OHS)	戸田(HDA)	中伊豆(JIZ)	下田(SMD)
3月	30d 09h~13h:T (筑波側停電)	30d 09h~13h:T (筑波側停電) 31d 20h:? (ステップ・EW)	30d 09h~13h:T (筑波側停電)	30d 09h~13h:T (筑波側停電)
4月			16d 08h~11h:T(停電)	
5月				28d 16h~29d 17h:T (テレメータダウン)
6月				06d 09h:T (ステップ) 10d 07h~13h:T (テレメータダウン) 17d 08h~12h:T ( " )
	27d 02h~04h:T (テレメータダウン)	28d 08h~12h:T		
7月				
8月	07d 04h:EC			26d 08h~12h:T (テレメータダウン)
9月			02d~03d:E (ステップ・ 伊豆東方沖群発) 02d 16h:EC 03d 09h:EC 05d:E (ステップ・ 伊豆東方沖群発) 06d 03h:EC 06d 08h:EC 06d 12h:EC 06d 19h:EC 07d 04h:EC 07d 15h:EC 08d 18h:EC 14d 08h~12h:T (乱点・EW) 15d 07h:EC (長野県西部・ 最大余震M 6.2) 19d 02h:EC (房総半島沖M 6.6) 25d 08h~10h:T (停電)	02d~03d:E (ステップ・ 伊豆東方沖群発) 05d:E (ステップ 伊豆東方沖群発) 05d 15h:EC 05d 16h:EC 06d 03h:EC 06d 08h:EC 08d 10h:EC 14d 08h:EC (長野県西部M 6.8) 15d 07h:EC (長野県西部・ 最大余震M 6.2) 19d 02h:EC (房総半島沖M 6.6)
	14d 08h:EC (長野県西部M 6.8) 15d 07h:EC (長野県西部・ 最大余震M 6.2)	14d 08h:EC (長野県西部M 6.8)		

	大須賀(OHS)	戸田(HDA)	中伊豆(JIZ)	下田(SMD)
10月			18d 08h~11h : T(停電)	05d 08h~11h : T 13d 12h : T (ステップ)
11月				
12月				09d 07h~13h : T (テレメータダウン)
問題点	NS, EW成分とともに? (  ,  ,  , ステップ) が多く生じる。10月頃からは少なくなってきてている。 ドリフトが大きい。		回復性のあるT(  ) が時々生じる。	

	塩山(ENZ)	山北(YMK)	愛川(AKW)	南足柄(ASG)
1月	01d 18h : EC  14d 05h :? (ステップ)  18d~30d 13h : T (テレメータ移設)	1983年12月15日： 計器設置	01d 18h : EC 03d 19h :? (  NS) (  EW) 13d 05h~09h : T 03d~13d :? (ドリフト) 17d 20h : EC  18d 00h : EC	13d 05h~09h : T
2月	14d 01h : EC  29d 14h~18h : TC (傾斜計定期点検)		08d 06h : E 14d 01h : EC	14d 01h : E
3月		09d : 定常観測開始 13d 09h~14h : T (テレメータダウン)	06d 11h : EC	01d 13h~16h : T (傾斜計定期点検) 06d 11h : E
	30d 09h~13h : T (筑波側停電)	30d 09h~13h : T (筑波側停電)	30d 09h~13h : T (筑波側停電)	17d 06h~12h : T (停電) 30d 09h~13h : T (筑波側停電)

	塩山(ENZ)	山北(YMK)	愛川(AKW)	南足柄(ASG)
3月	30d 18h~4月4d 16h:T (乱点NS)			
4月	16d 08h~10h:T (テレメータダウン) 24d 08h~12h:T ( " )		06d 10h:EC  24d 13h:EC	
5月			23d 07h:EC 30d 07h:EC	
6月	03d 13h:? (ステップ) 09d頃~21d頃:? ( <u>  </u> )	26d 10h:EC	20d~21d 02h:T (テレメータダウン) 26d 10h:EC 30d 02h:EC	
7月			09d 10h:EC 21d 09h~8月2d 07h:T	
8月		05d 15h:TC (ステップ) 22d 18h~23d 09h:T (停電)		07d 04h:EC
9月	14d 08h:EC (長野県西部M 6.8)	05d 16h:EC 14d 08h:EC (長野県西部M 6.8) 15d 07h:EC (長野県西部・ 最大余震M 6.2) 19d 02h:EC (房総半島沖M 6.6) 19d 11h~17h: (乱点・EW)	05d 16h:EC 14d 08h:EC (長野県西部M 6.8) 15d 07h:EC (長野県西部・ 最大余震M 6.2) 19d 02h:EC (房総半島沖M 6.6)	05d 16h:E 14d 08h:E (長野県西部M 6.8) 19d 02h:E (房総半島沖M 6.6)
10月		05d 06h~06d 09h:T (停電)	08d 14h:? ( <u>  </u> NS) 25d 00h:EC	
11月		13d 19h:EC	10d 10h:EC 13d 19h:EC 17d 23h:? ( <u>  </u> NS) 21d 22h:? ("")	

	塩 山 (E N Z)	山 北 (Y M K)	愛 川 (A K W)	南 足 柄 (A S G)
11月		30d 12h ~ 12月08d 12h: TC (速断ヒューズ切れ)	22d 02h:? (— NS)	
12月	15d 15h:TC	06d 15h:TC	17d 23h:EC 19d 04h:EC	
問題点	回復性のあるT(—)が時々生じる。		地震後ヒステリシスをもちやすい。 回復性のある?(—)が時々生じる	地震によりステップを生じやすい。

	大 島 (O S M)	岩 井 北 (I W K)	勝 浦 (K T U)	銚 子 (C H S)
1月			01d 18h:EC 02d 00h:?(— NS) (— EW) 18d 00h:EC	
2月	13d 10h ~ 13h:T (乱点ぎみ) 14d 01h:EC 15d 13h:TC (ステップ) 15d 23h:?(— EW)		18d 00h ~ 17h:T (停電) 24d 00h:?(— NS) (— EW)	18d 00h ~ 17h:T (停電)
3月			03d 12h ~ 16h:T (テレメータダウン) 06d 11h:EC	03d 12h ~ 16h:T (テレメータダウン) 10d 14h ~ 17h:T (傾斜計定期点検) 30d 09h ~ 13h:T (筑波側停電)
4月	30d 09h ~ 13h:T (筑波側停電)	30d 09h ~ 13h:T (筑波側停電)	30d 09h ~ 13h:T (筑波側停電)	
5月	24d 13h:EC		24d 13h:EC	
6月	29d 02h:?(— NS)	24d 08h:T		
7月			18d 07h ~ 11h:T (テレメータダウン) 24d 14h:T (ステップ)	
8月	06d 05h ~ 07h:T (テレメータダウン)			

	大島(OSM)	岩井北(IWK)	勝浦(KTU)	銚子(ChS)
9月	14d08h:EC (長野県西部M 6.8) 19d02h:EC (房総半島沖M 6.6)		14d08h:EC (長野県西部M 6.8) 19d02h:EC (房総半島沖M 6.6)	
10月		30d~11月01d:T(乱点)		
11月	11d18h:?(— 大きい。 NS, EWとも)	03d~05d:T (乱点) 13d~12月23d:T(乱点)		
12月	17d23h:EC			18d13h~15h:T
問題点	回復性のない? (—, —) が時々生じる。 ドリフトが大きい。	全期間を通じてノイズ が多いが、10月頃から 乱点しやすくなり欠測 が多くなる。 NS成分 は不調のため欠測。	回復性のない? (—, —) が時々生じる。 ドリフトが大きい。	ノイズが多い。

	府中(FCH)	下総(SHM)	岩槻(IWT)
1月	01d18h:EC		
2月	14d01h:EC 21d20h:E		
3月	06d11h:E 30d09h~13h:T (筑波側停電)	06d11h:EC 11d10h:TC 30d09h~13h:T (筑波側停電)	24d: 計器再設置
4月			
5月		11d15h~16h:T (零点がずれる)	
6月			
7月			
8月			
9月	14d09h:E (長野県西部M 6.8) 25d13h:T (ステップ)	06d15h~10d:T (点検・調整) 10d: 計器引上げ	
10月			
11月	18d13h:?(ステップ・X)		
12月	13d12h~17d:T(点検・調整) 17d: 計器引上げ	06d: 計器再設置	
問題点	地震後、しばらくの間ヒステリシスをもちやすい。 時々、?(—, —)や回復性のない? (—, —), ステップが生じる。	地震後ヒステリシスをもちやすい。 時々、?(—, —)や回復性のない? (—, —)が生じる。	

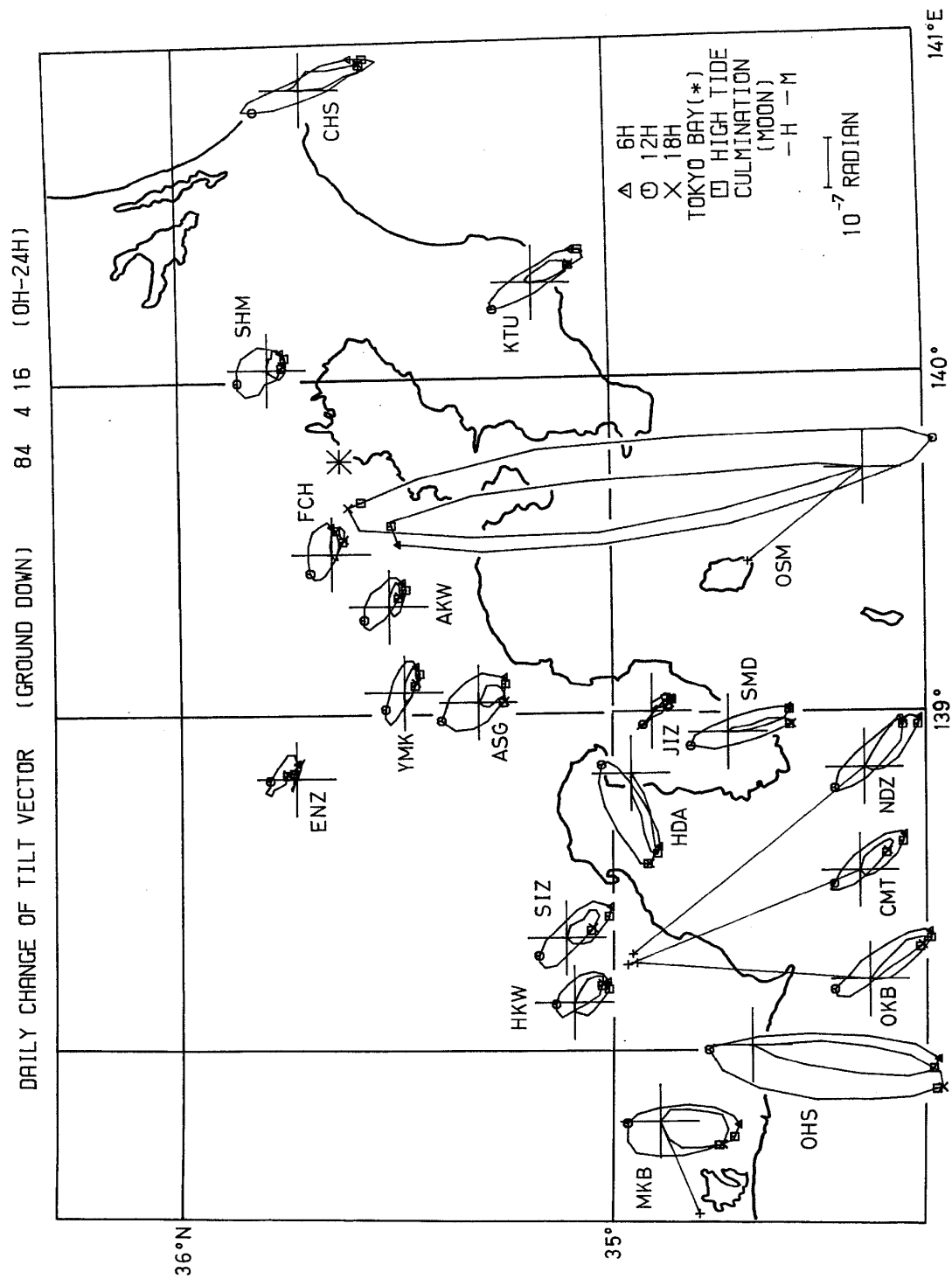
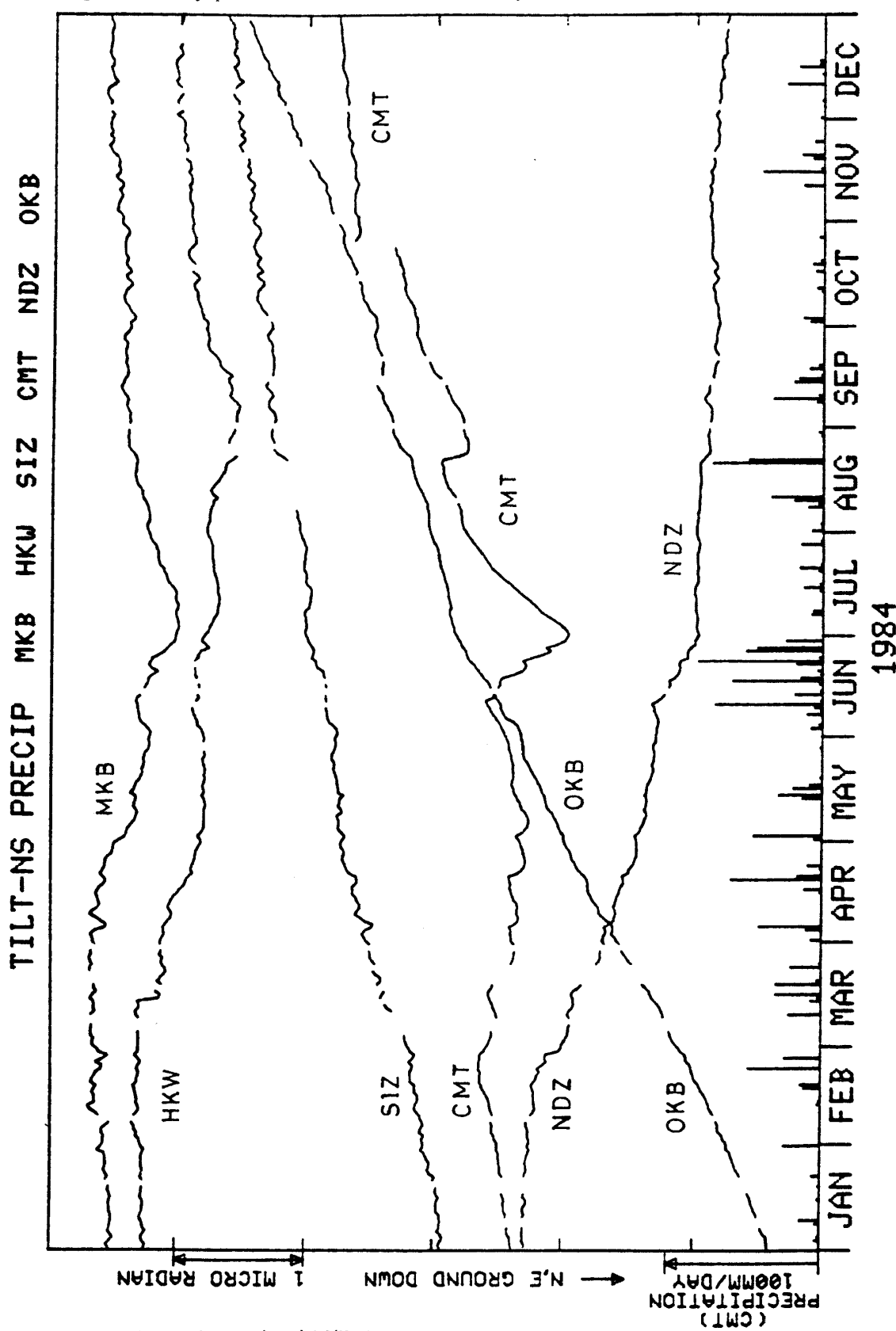


図 4 傾斜ベクトル変化  
Fig. 4 Example of daily change of tilt vector.

図5 地殻傾斜の年変化

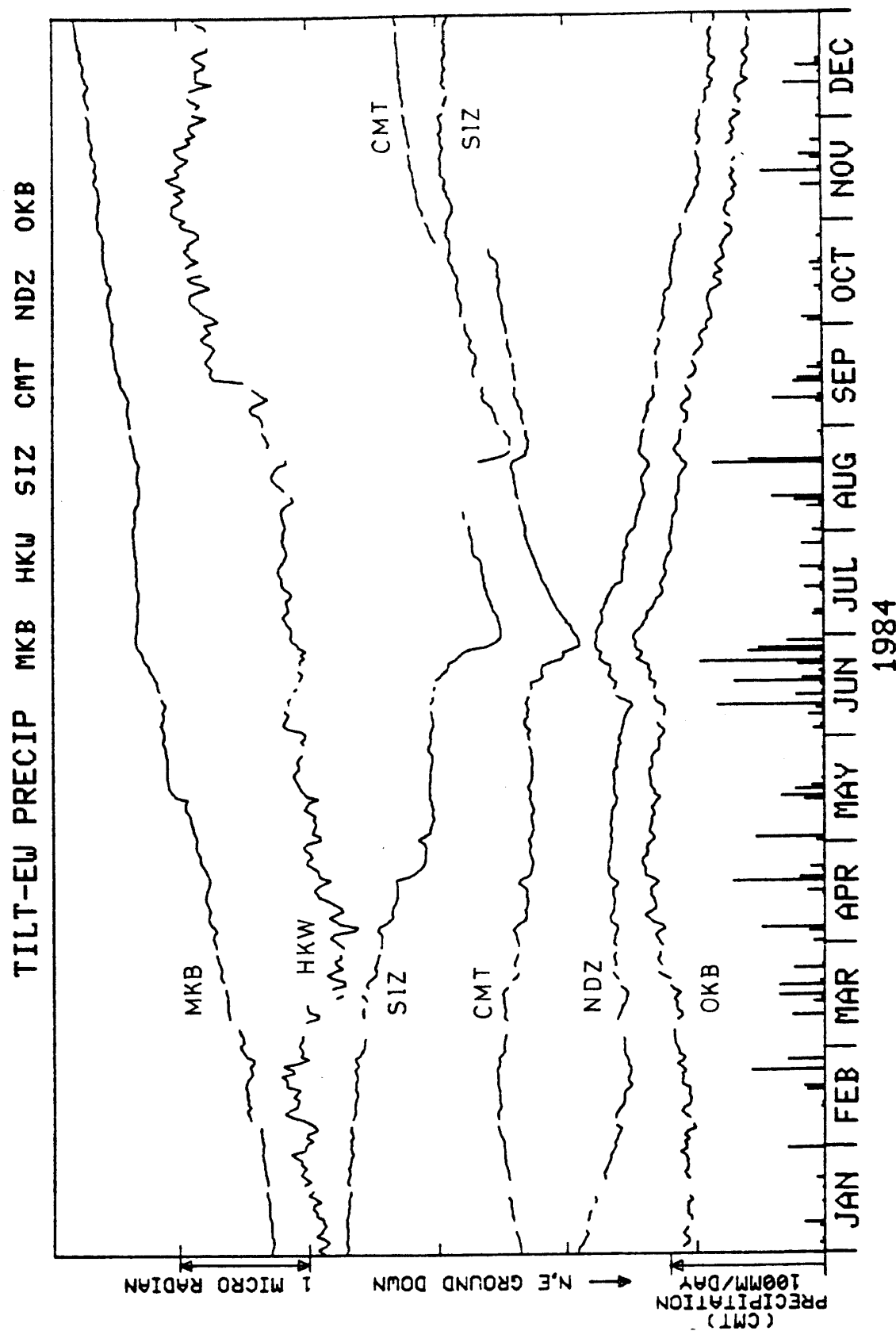
Fig. 5 Yearly plot of the crustal tilt data (daily mean).



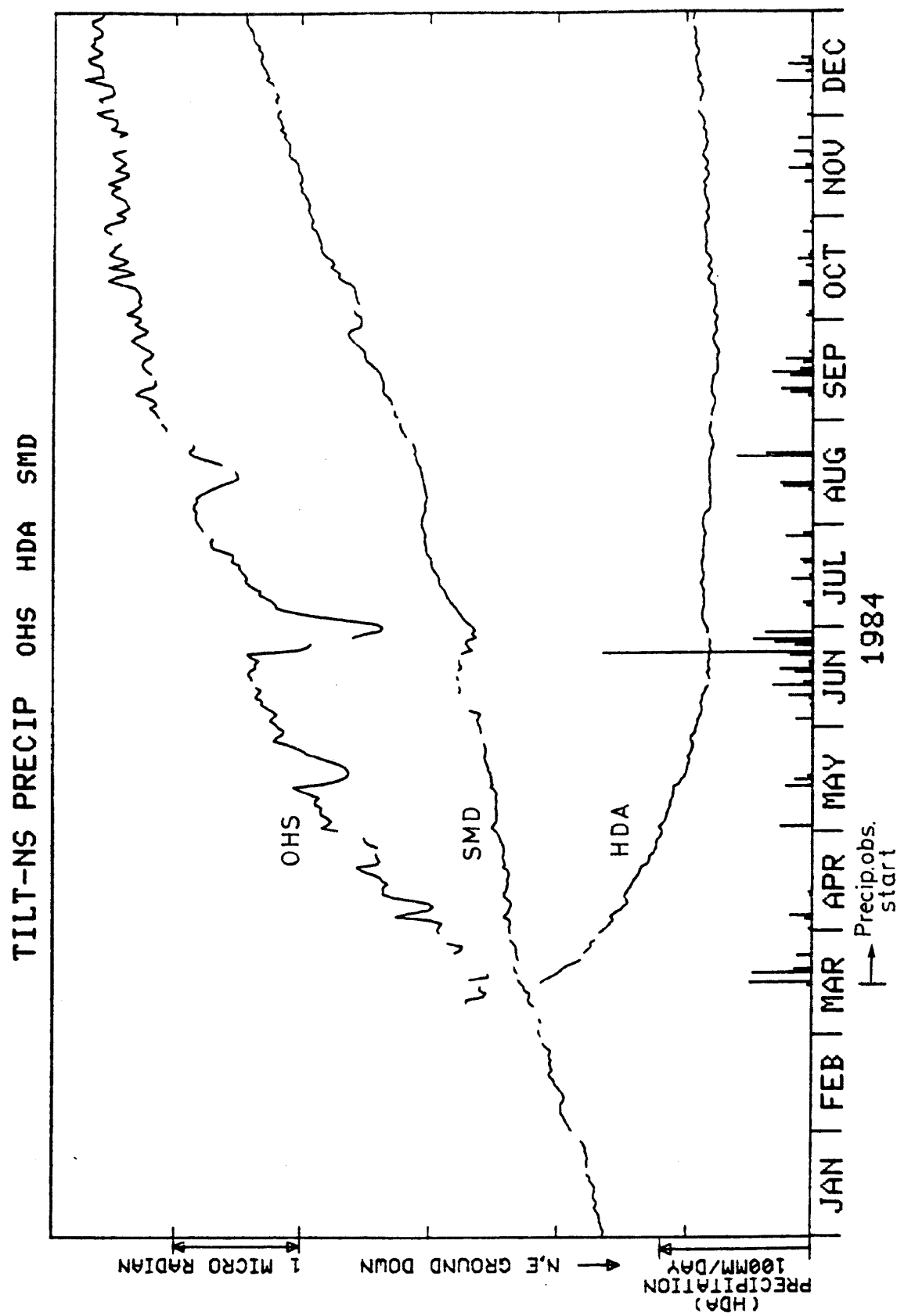
5 A. 三ヶ日 (MKB)・本川根 (HKW)・静岡 (SIZ)・近又 (CMT)・

野田沢 (NDZ)・岡部 (OKB) の傾斜NS成分と近又の日雨量

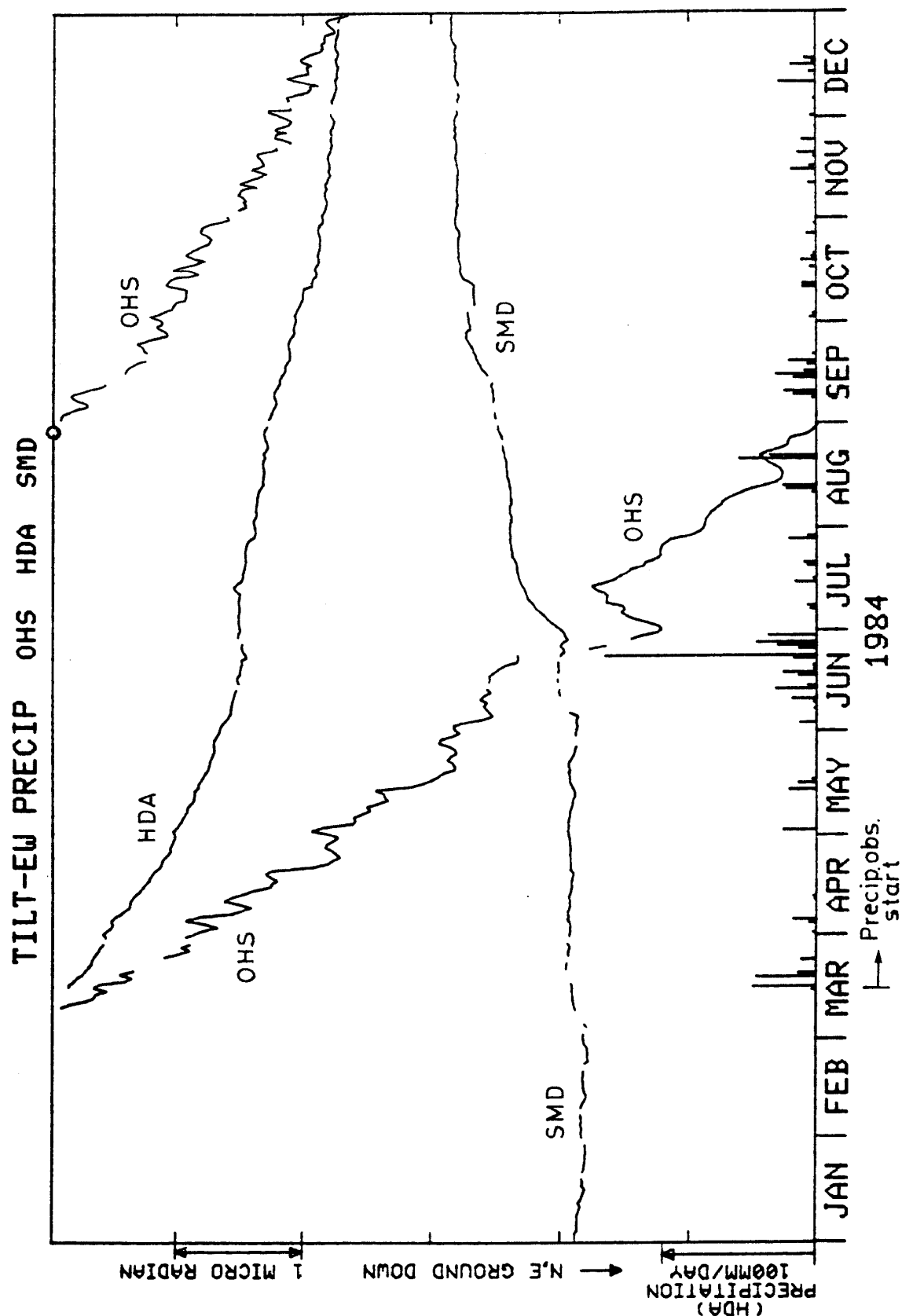
Crustal tilt in NS-comp. at Mikkabi (MKB), Honkawane (HKW), Shizuoka (SIZ), Chikamata (CMT), Nodazawa (NDZ), Okabe (OKB) and the daily precipitation at Chikamata.



5-B 三ヶ日 (MKB)・本川根 (HKW)・静岡 (SIZ)・近又 (CMT)・  
野田沢 (NDZ)・岡部 (OKB) の傾斜EW成分と近又の日雨量  
Crustal tilt in EW-comp. at Mikkabi (MKB), Honkawane (HKW), Shizuoka (SIZ),  
Chikamata (CMT), Nodazawa (NDZ), Okabe (OKB) and the daily precipitation  
at Chikamata.

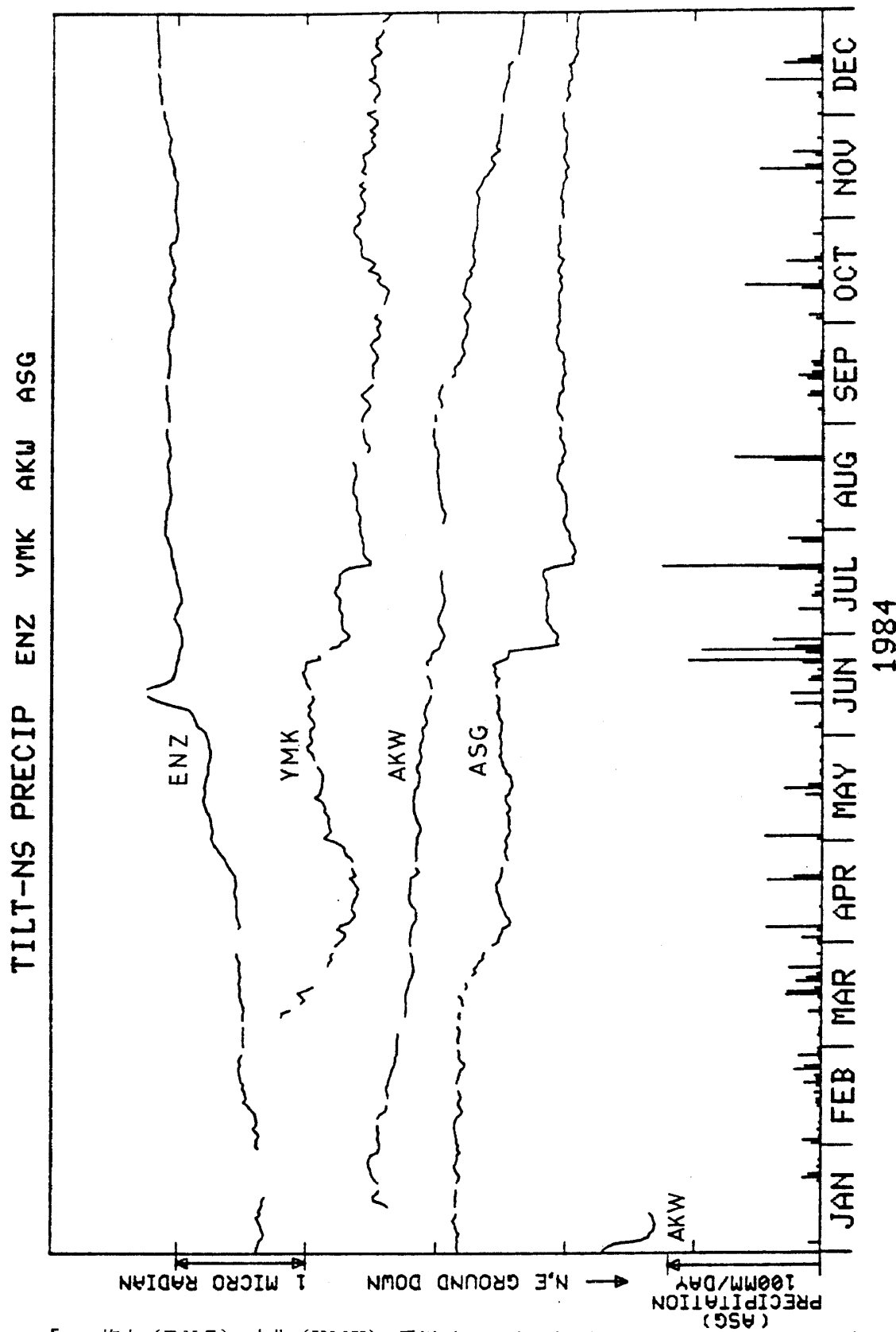


5 C 大須賀(OHS)・戸田(HDA)・下田(SMD)の傾斜NS成分と戸田の日雨量  
Crustal tilt in NS-comp. at Ohsuka (OHS), Heda (HDA), Shimoda (SMD) and the daily precipitation at Heda.



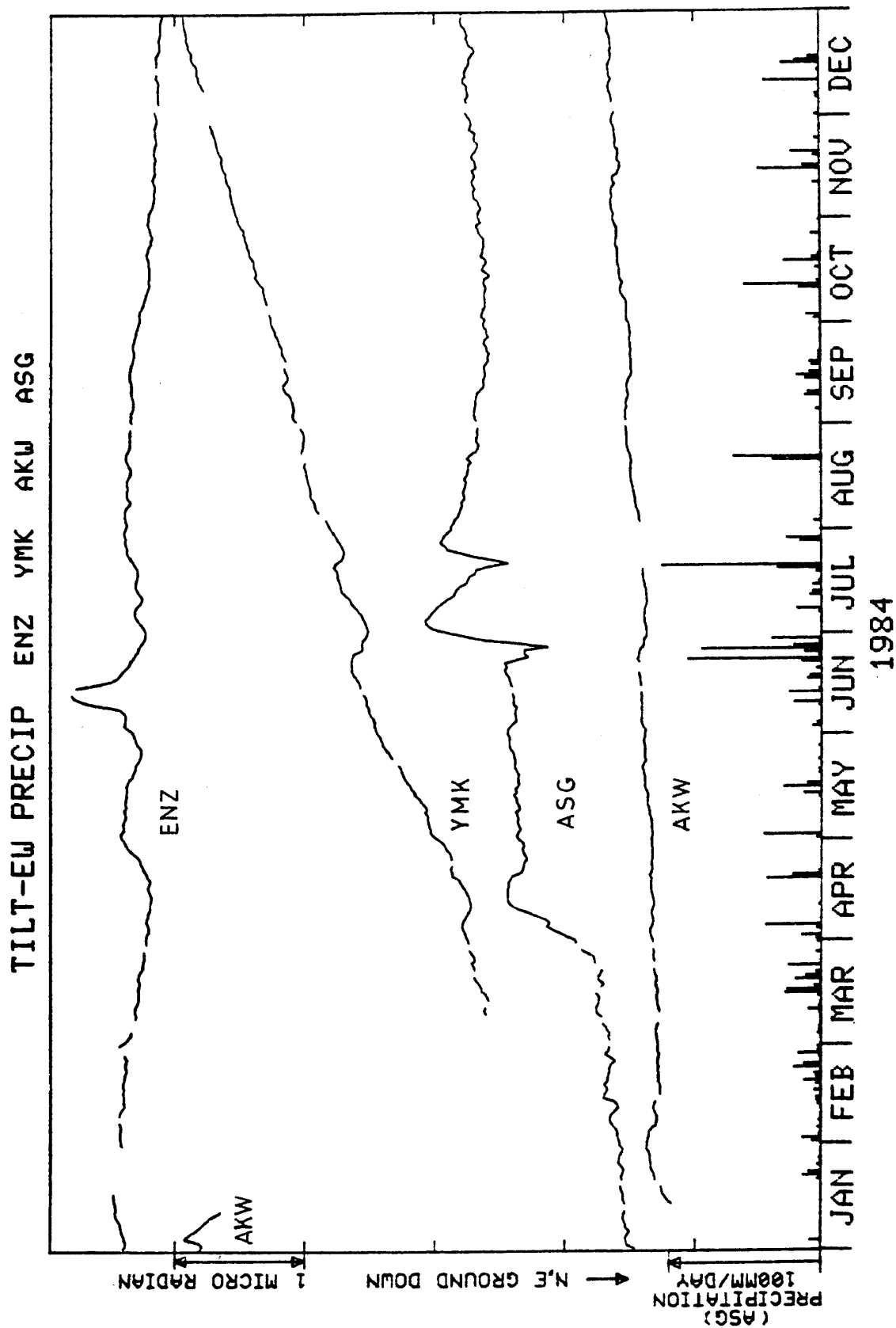
5 D 大須賀 (OHS)・戸田 (HDA)・下田 (SMD) の傾斜EW成分と戸田の日雨量

Crustal tilt in EW-comp. at Ohsuka (OHS), Heda (HDA), Shimoda (SMD) and the daily precipitation at Heda.



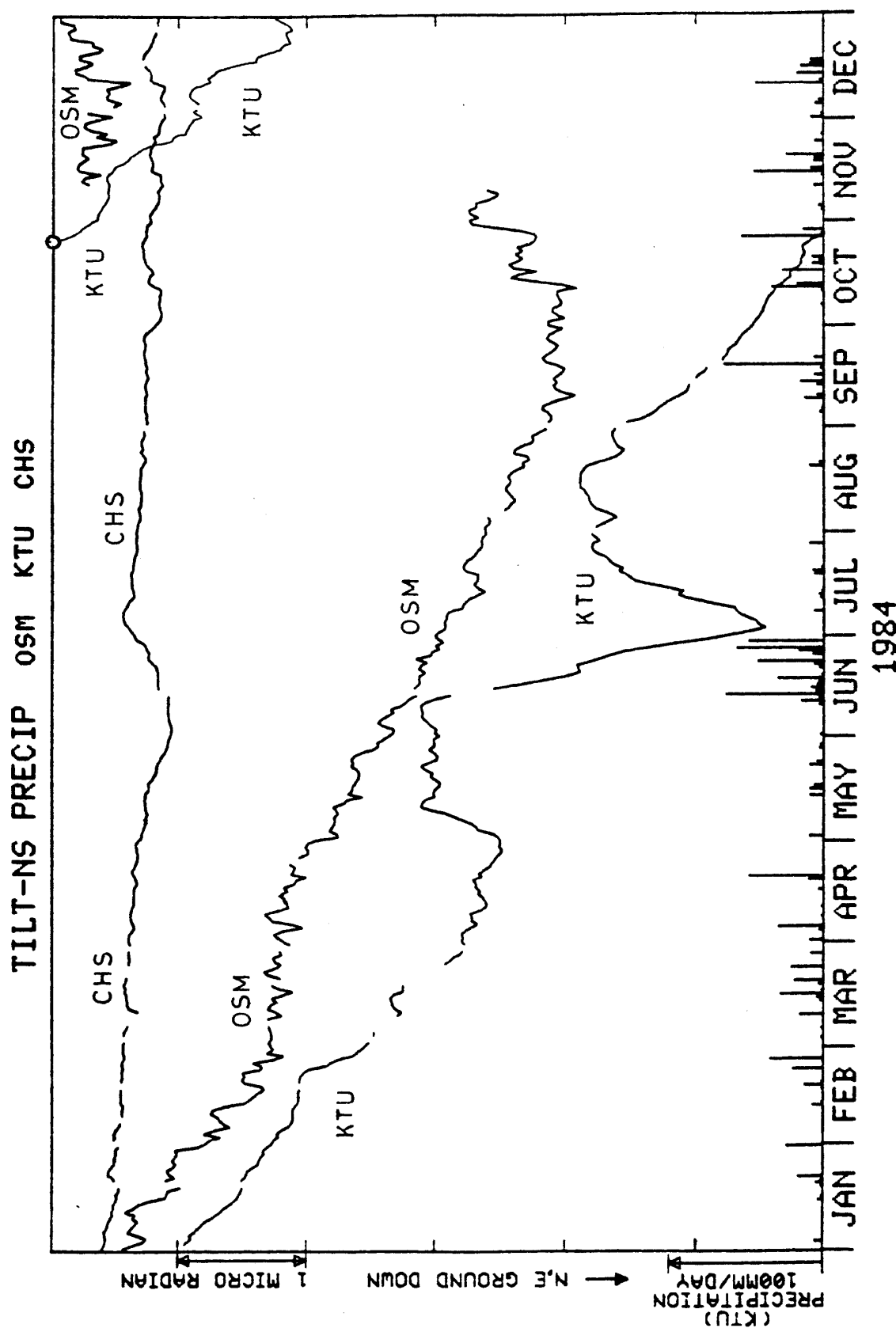
5 塩山(ENZ)・山北(YMK)・愛川(AKW)・南足柄(ASG)の傾斜NS成分と  
南足柄の日雨量

Crustal tilt in NS-comp. at Enzan (ENZ), Yamakita (YMK), Aikawa (AKW),  
Minamiashigara (ASG) and the daily precipitation at Minamiashigara.



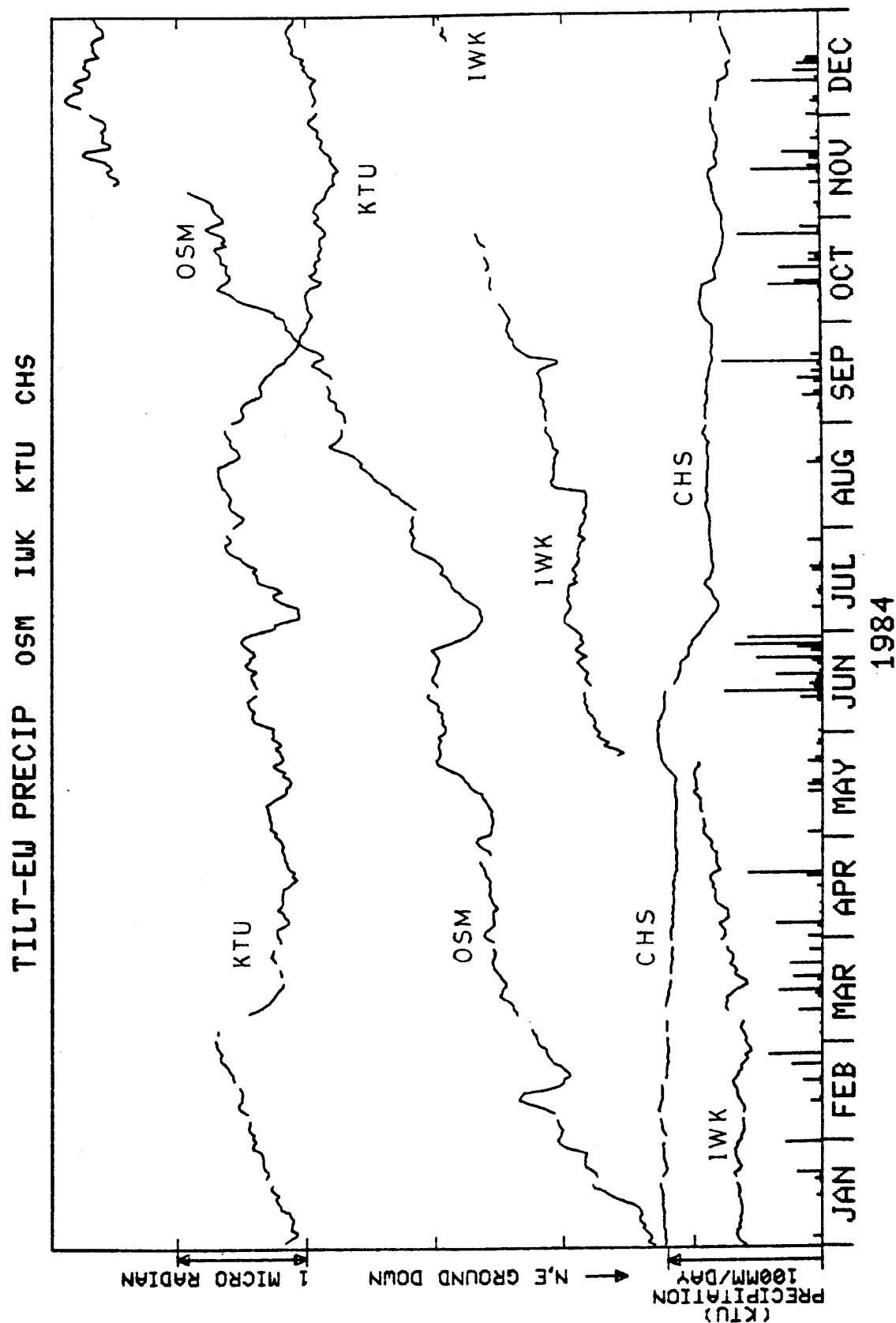
5 F 塩山 (ENZ)・山北 (YMK)・愛川 (AKW)・南足柄 (ASG) の傾斜EW成分と  
南足柄の日雨量

Crustal tilt in EW-comp. at Enzan (ENZ), Yamakita (YMK), Aikawa (AKW),  
Minamiashigara (ASG) and the daily precipitation at Minamiashigara.



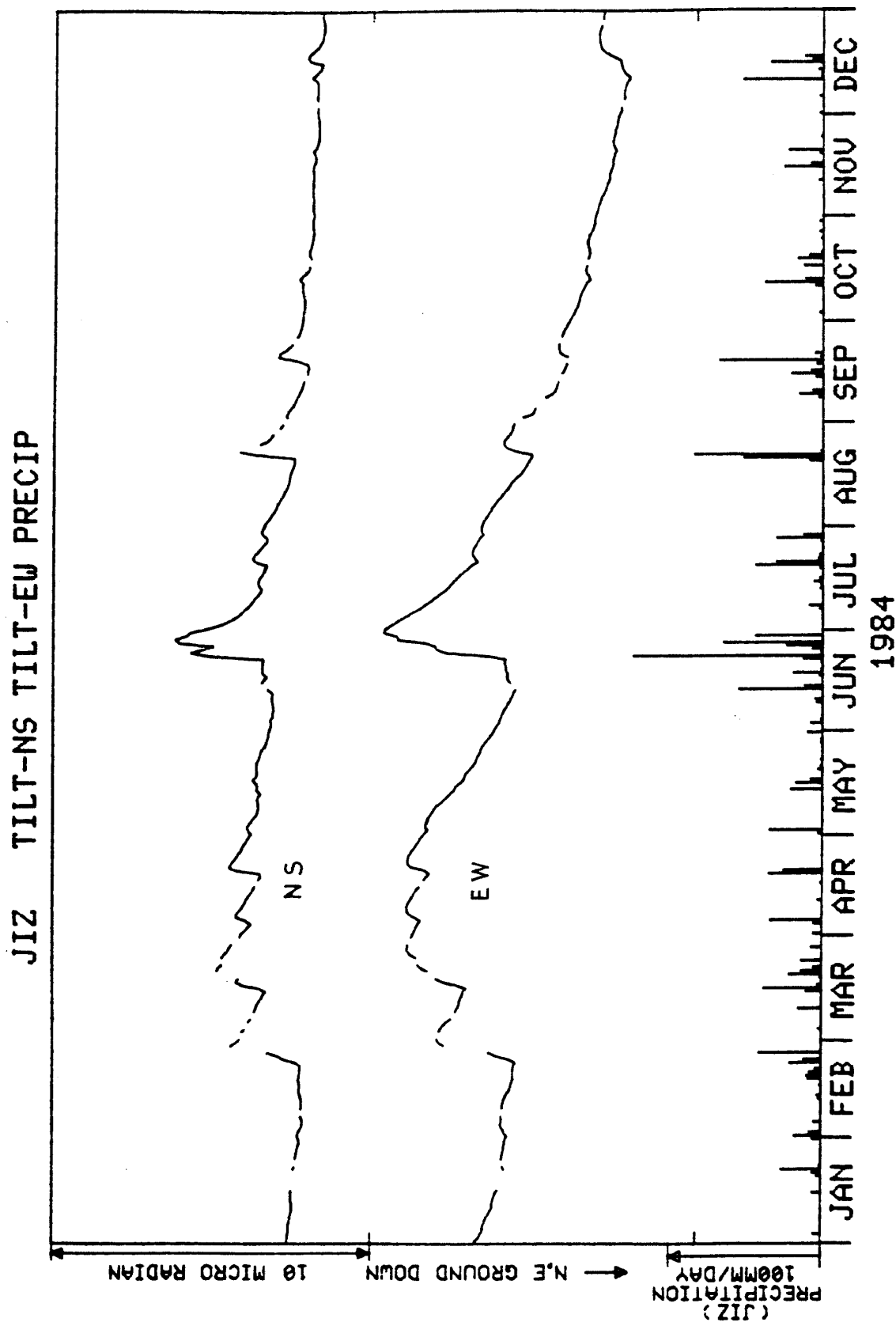
5 G 大島 (OSM)・勝浦 (KTU)・銚子 (CHS) の傾斜NS成分と勝浦の日雨量

Crustal tilt in NS-comp. at Ohshima (OSM), Katsuura (KTU), Chohshi (CHS) and the daily precipitation at Katsuura.



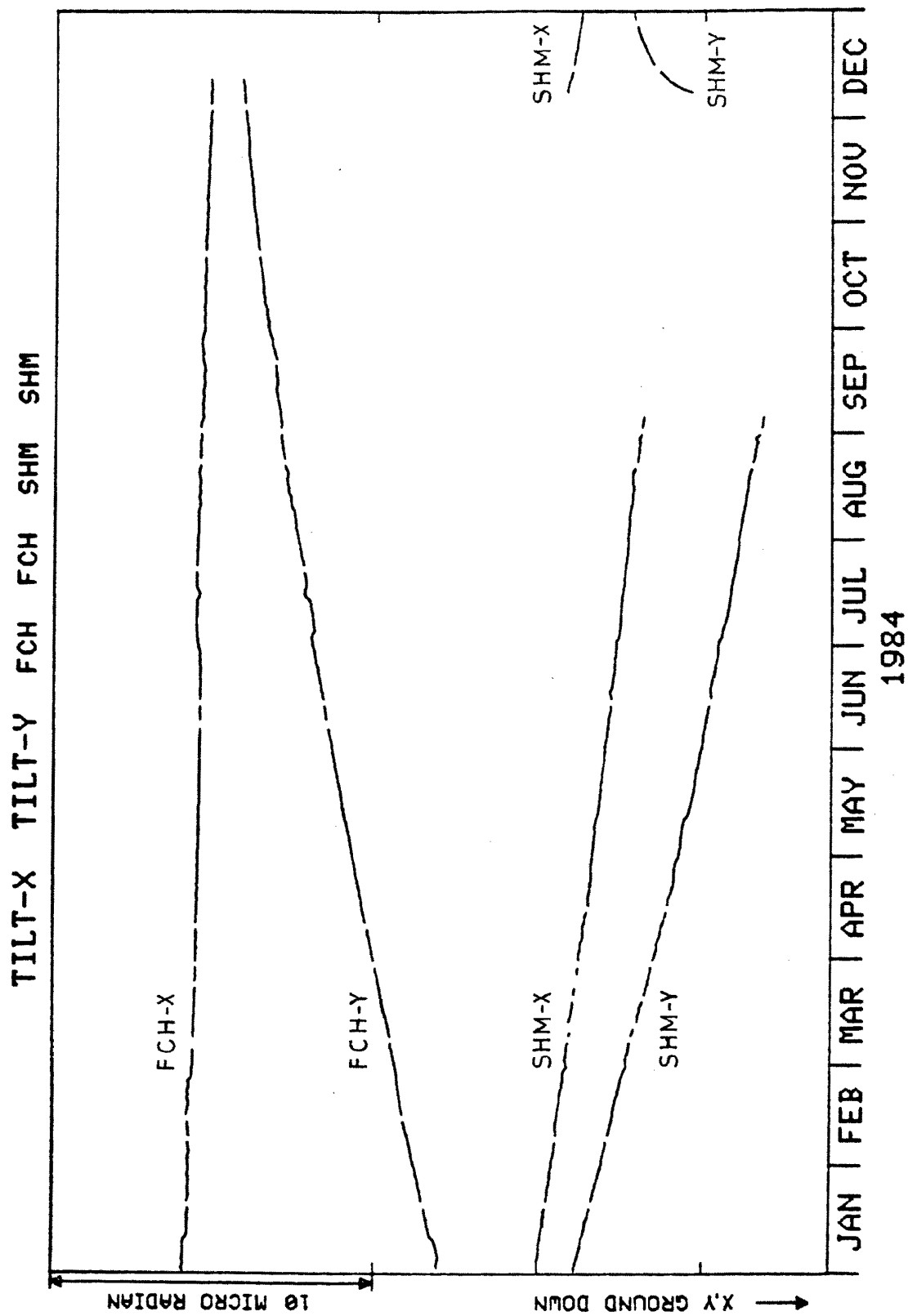
5 H 大島 (OSM)・岩井北 (IWK)・勝浦 (KTU)・銚子 (CHS) の傾斜EW成分と勝浦の日雨量

Crustal tilt in EW-comp. at Ohshima (OSM), Iwai-kita (IWK), Katsuura (KTU), Chohshi (CHS) and the daily precipitation at Katsuura.



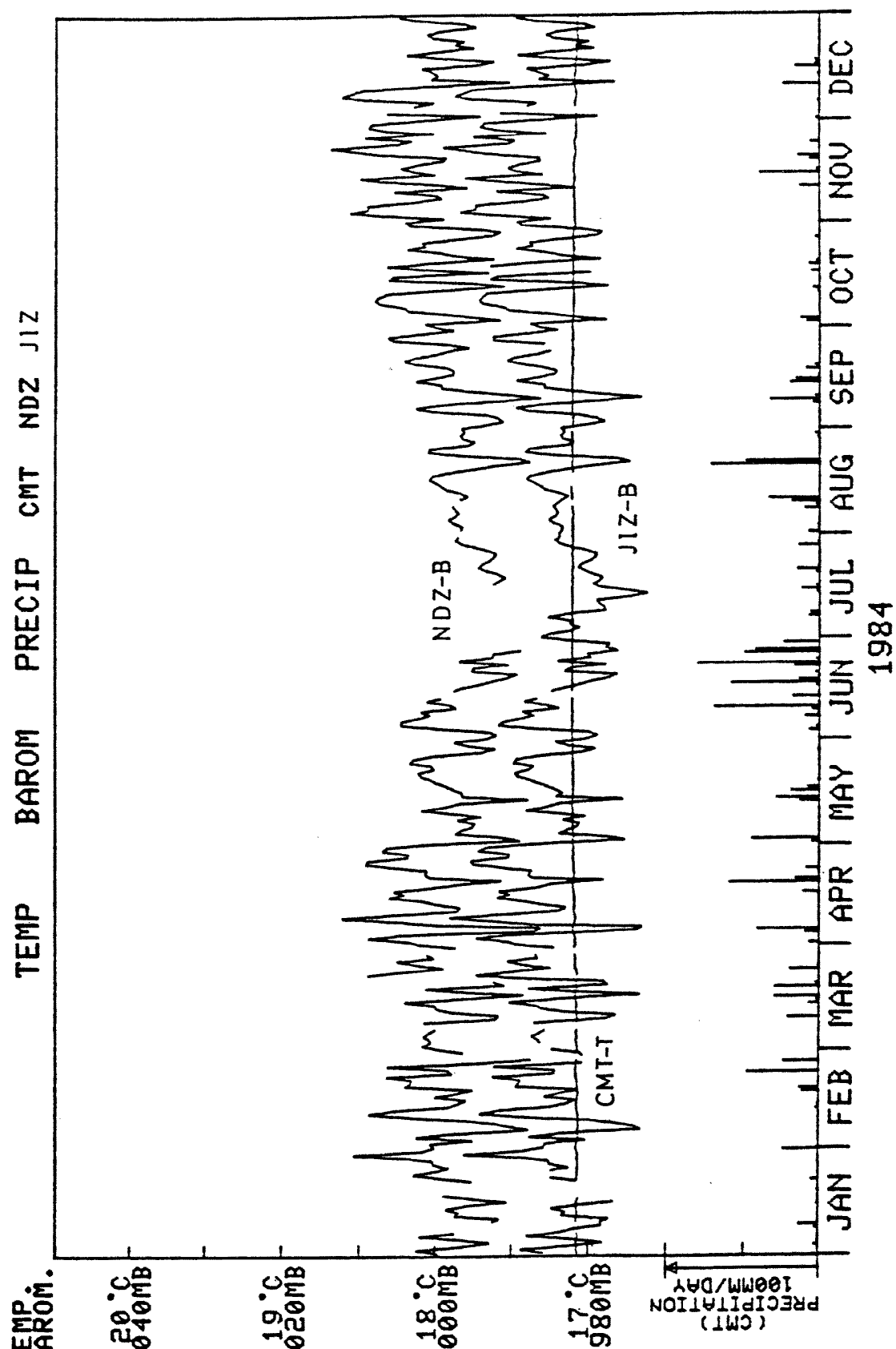
5.1 中伊豆 (JIZ) の傾斜NS・EW成分と日雨量

Crustal tilt in NS and EW-comp. at Nakaizu (JIZ), and the daily precipitation.



5 J 府中 (FCH)・下総 (SHM) の傾斜X・Y成分

Crustal tilt in X and Y-comp. at Fuchu (FCH) and Shimohsa (SHM).

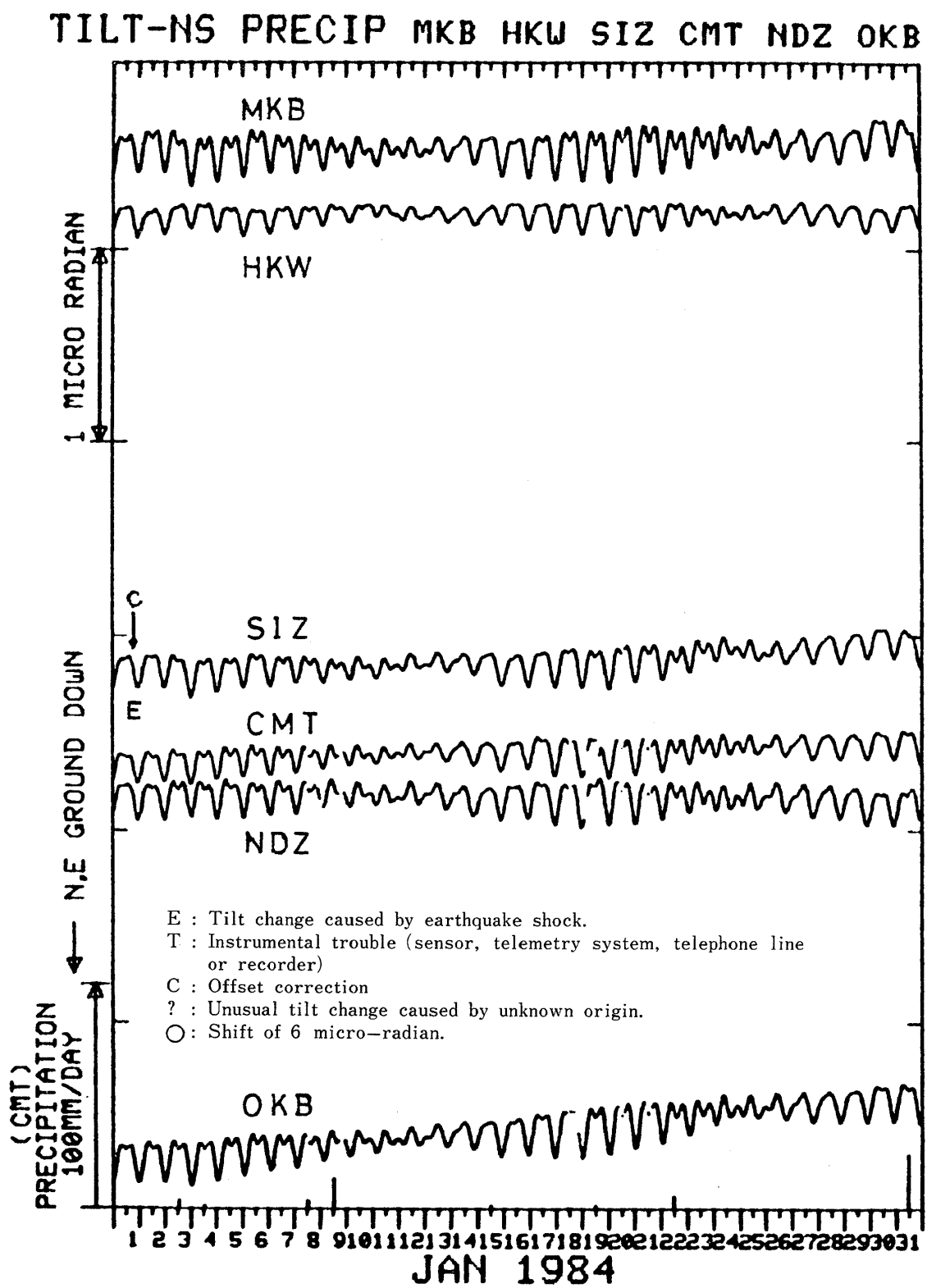


5 K 野田沢(NDZ)・中伊豆(JIZ)の気圧と近又(CMT)の地中温度・日雨量

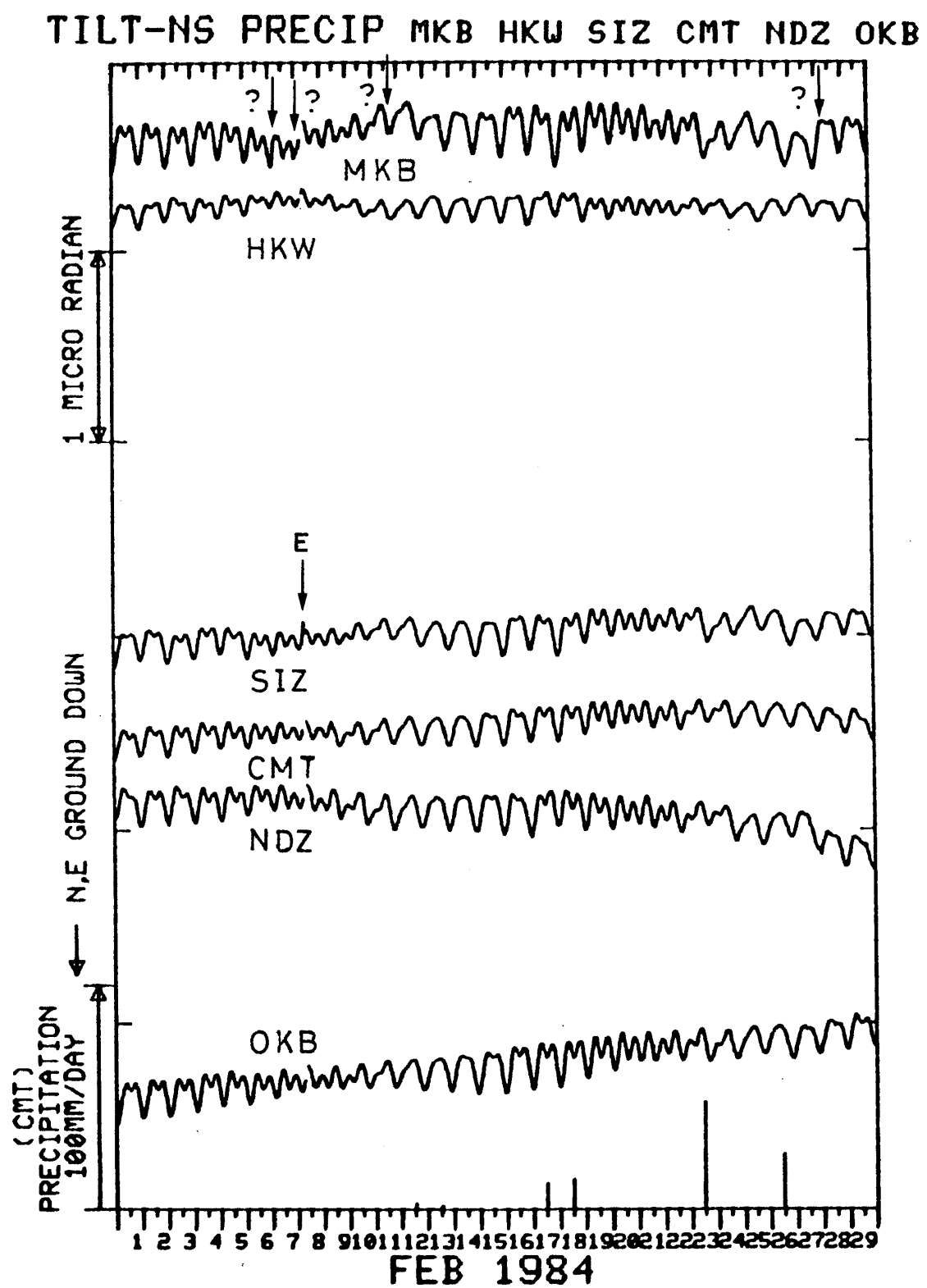
Temperature (bottom of the observation well) at Chikamata (CMT), the barometric pressure at Nodazawa (NDZ) and Nakazu (JIZ), and the daily precipitation at Chikamata.

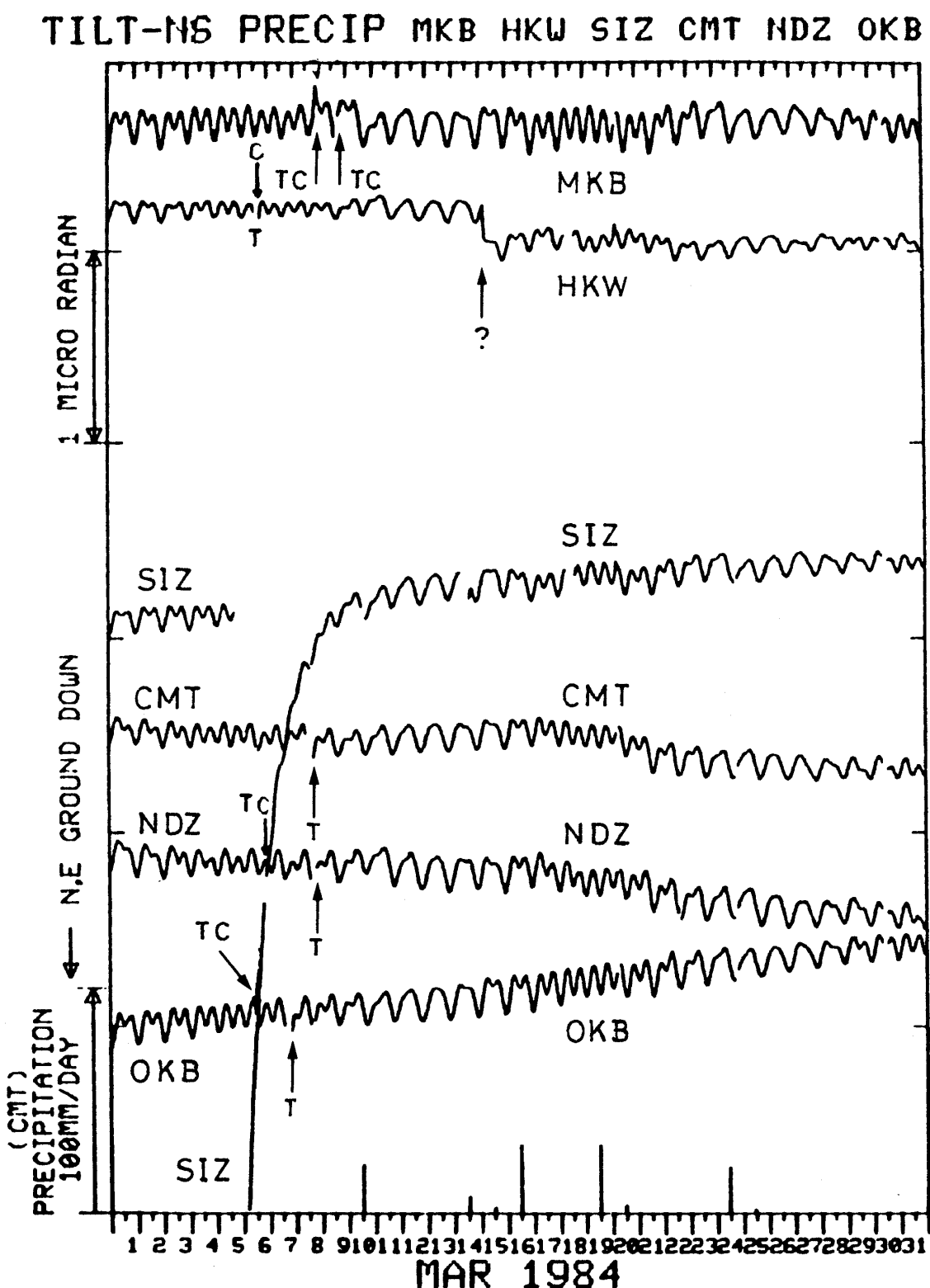


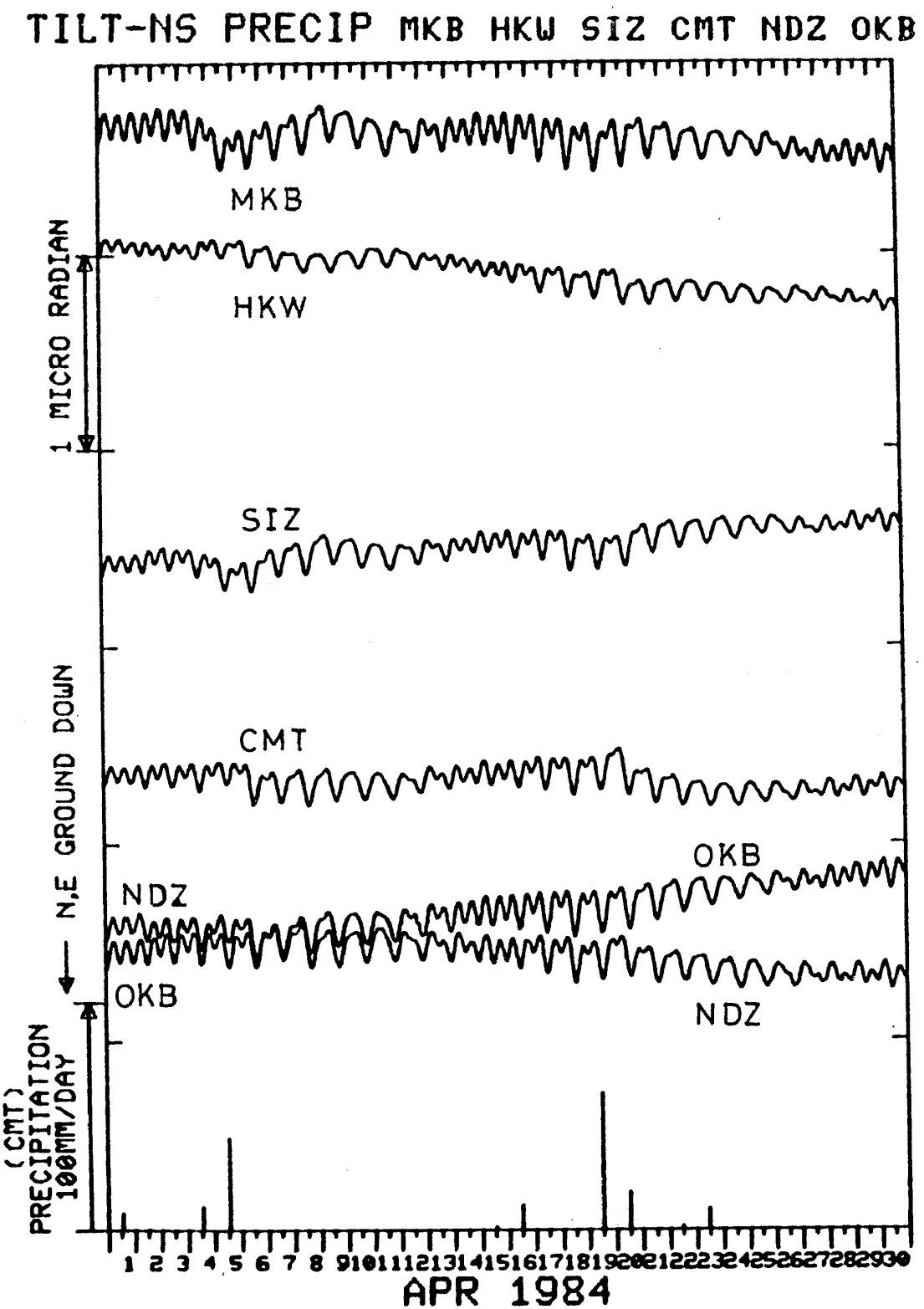
図 6 地殻傾斜の月変化（毎時サンプリング値）  
Fig. 6 Monthly plot of the crustal tilt data (hourly data).

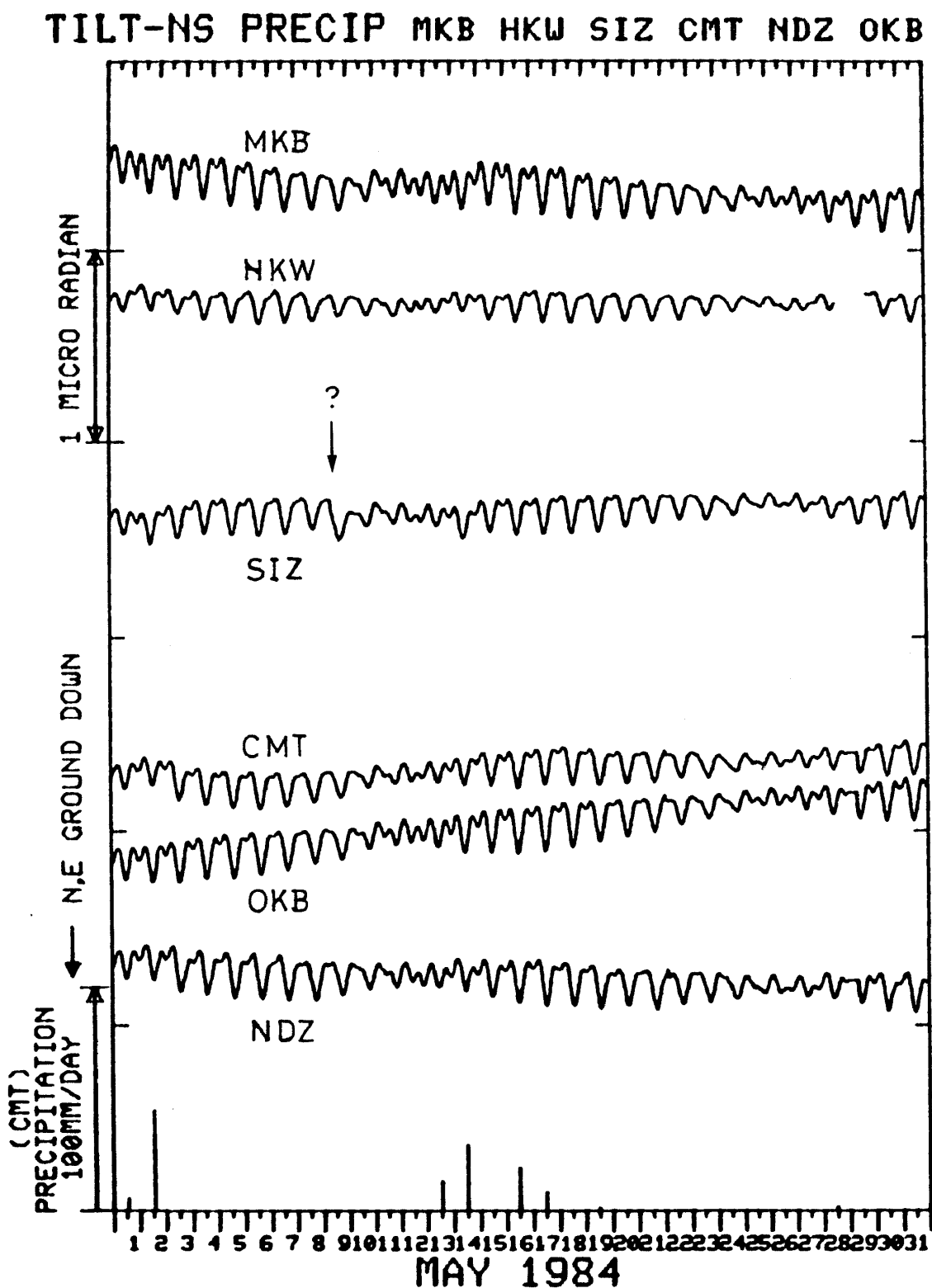


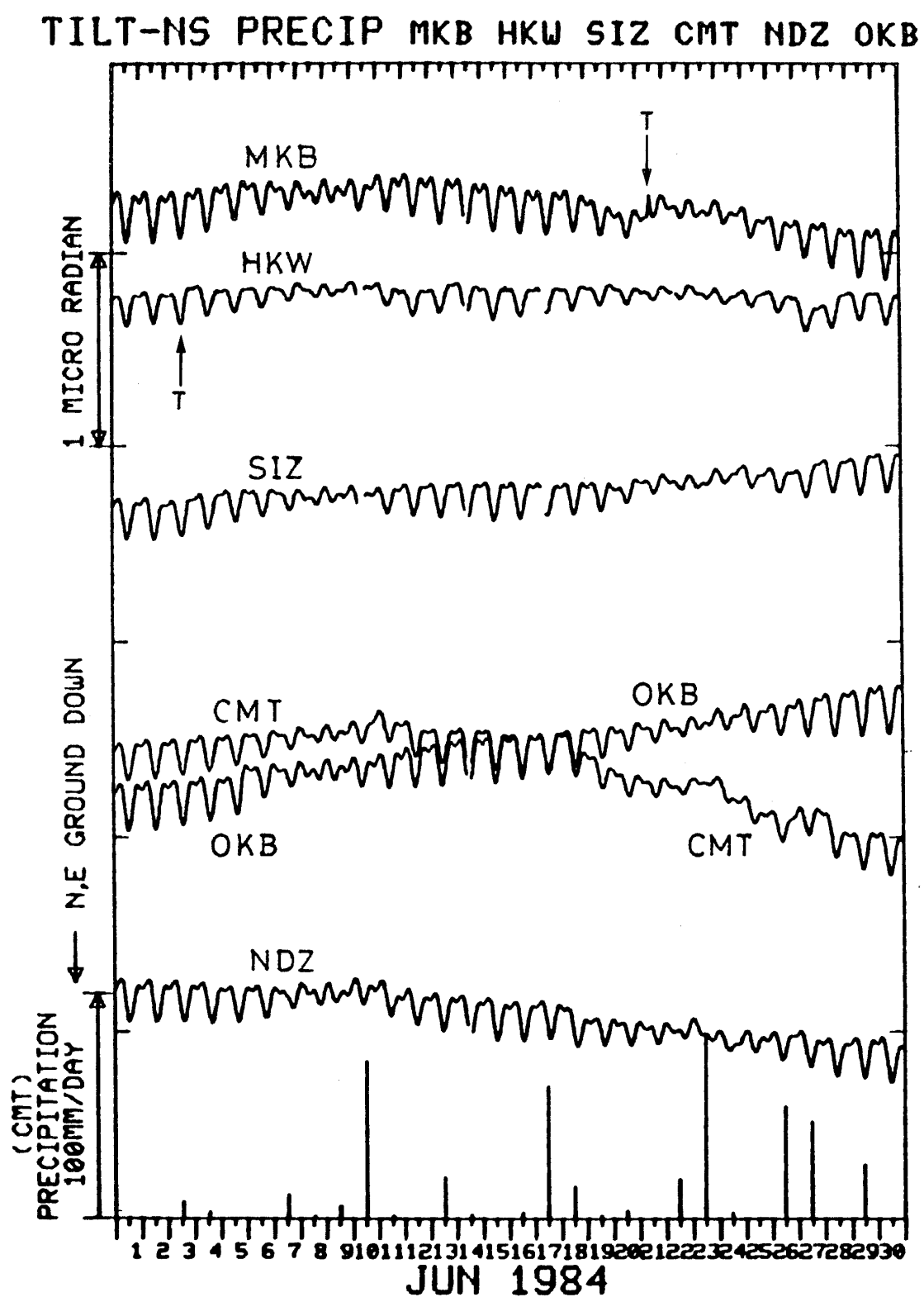
6 A 三ヶ日(MKB)・本川根(HKW)・静岡(SIZ)・近又(CMT)・野田沢(NDZ)・岡部(OKB)の傾斜NS成分と近又の日雨量  
Crustal tilt in NS-comp. at Mikkabi (MKB), Honkawane (HKW), Shizuoka (SIZ), Chikamata (CMT), Nodazawa (NDZ), Okabe (OKB) and the daily precipitation at Chikamata.

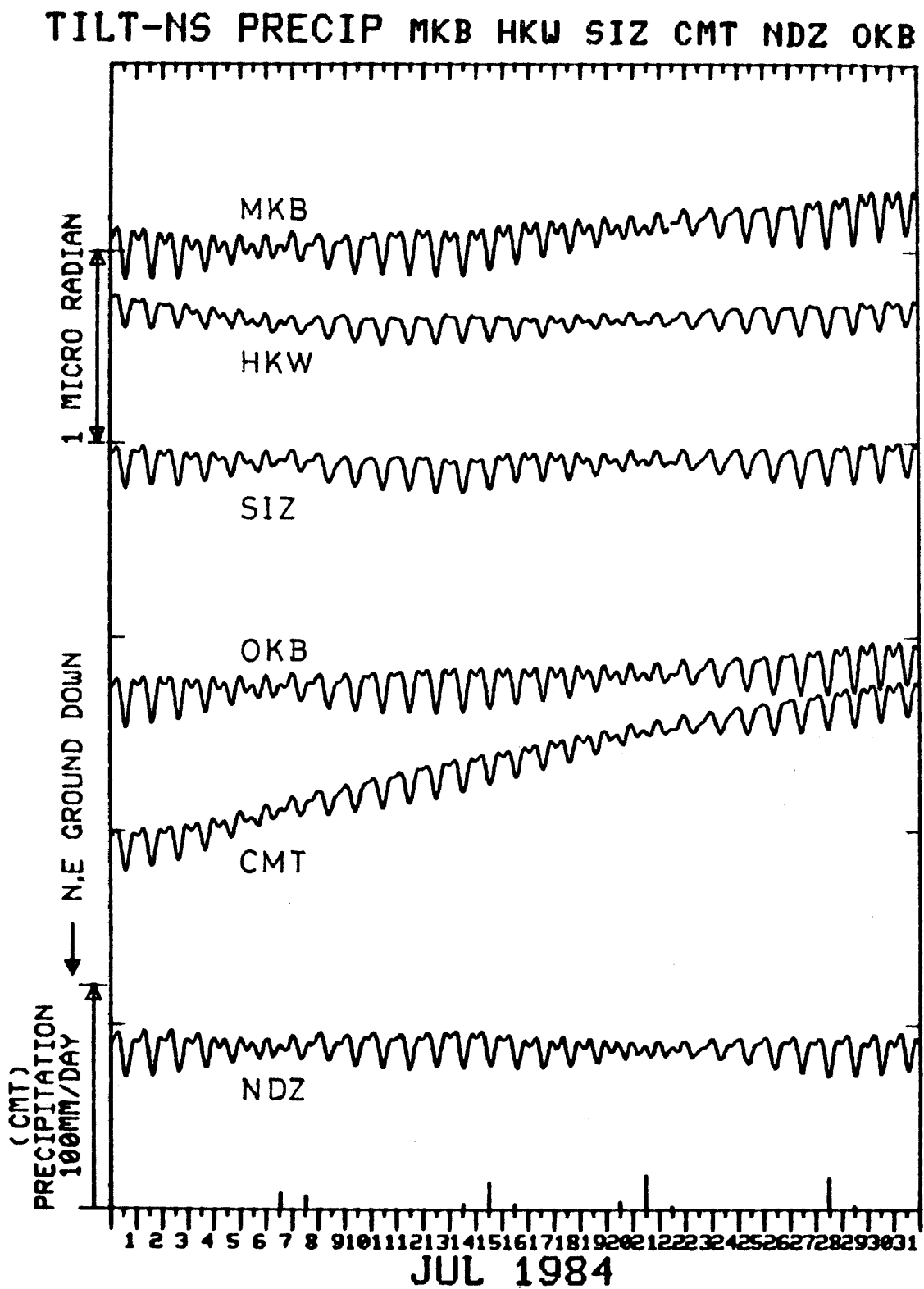


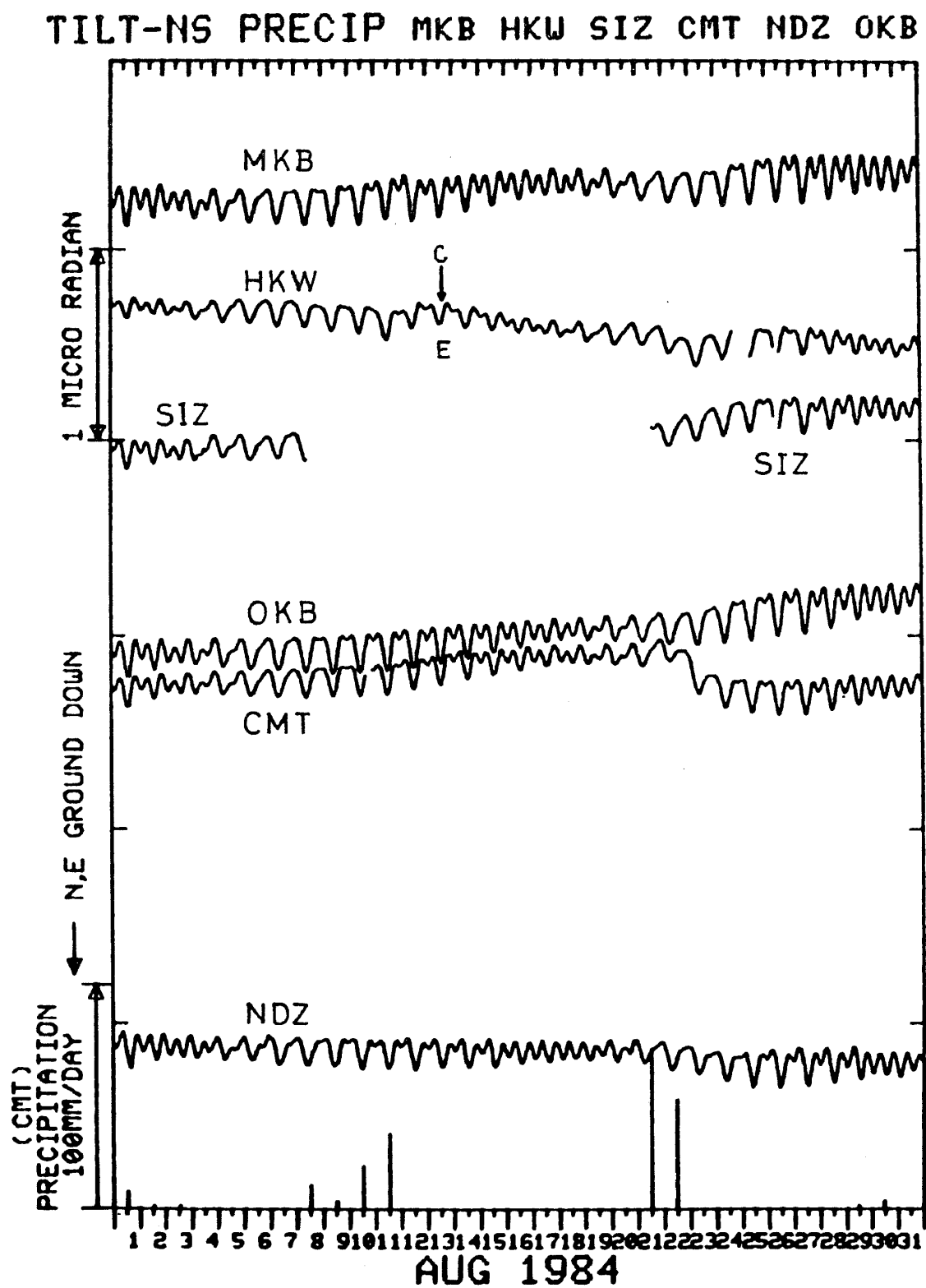




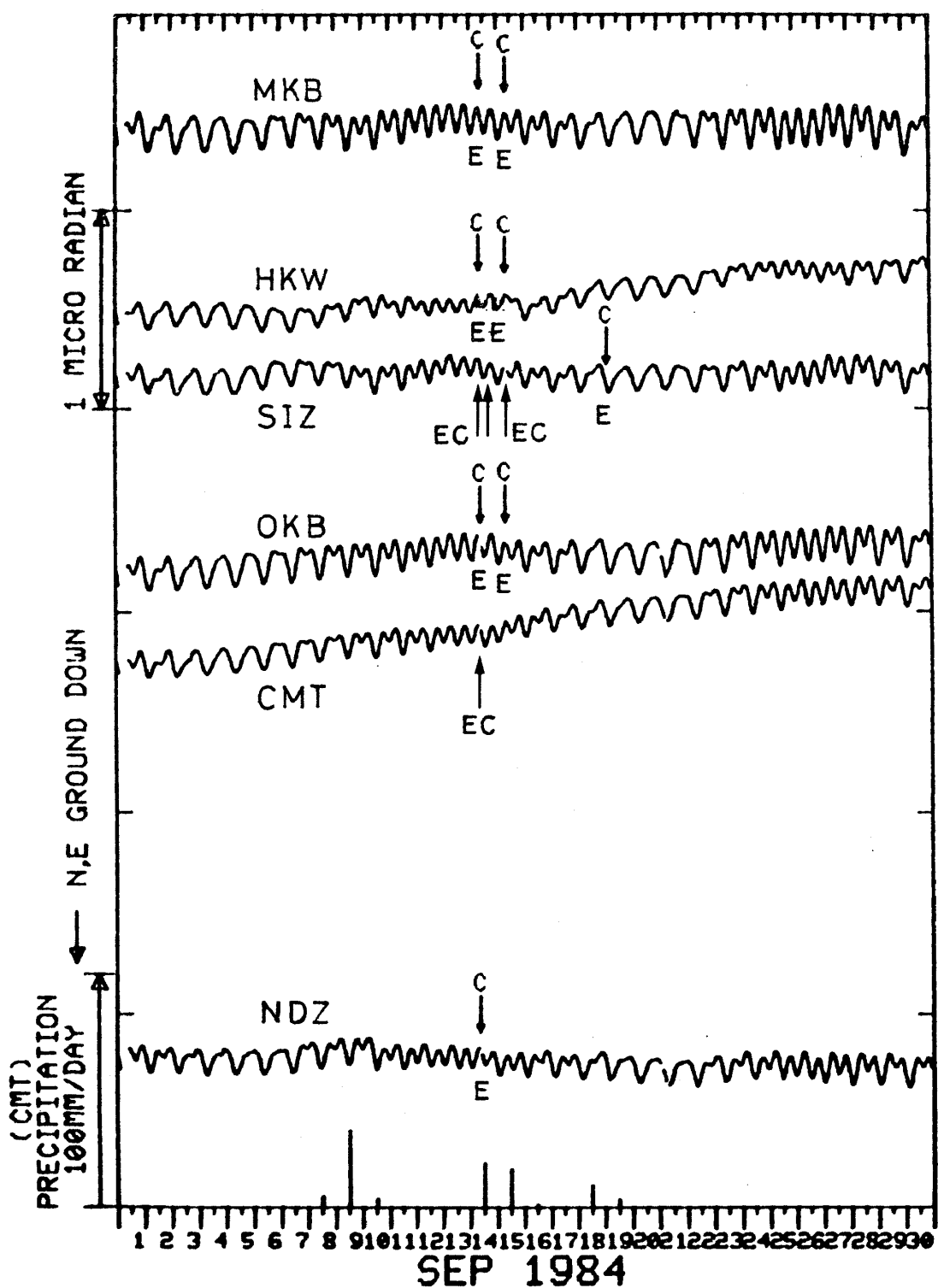


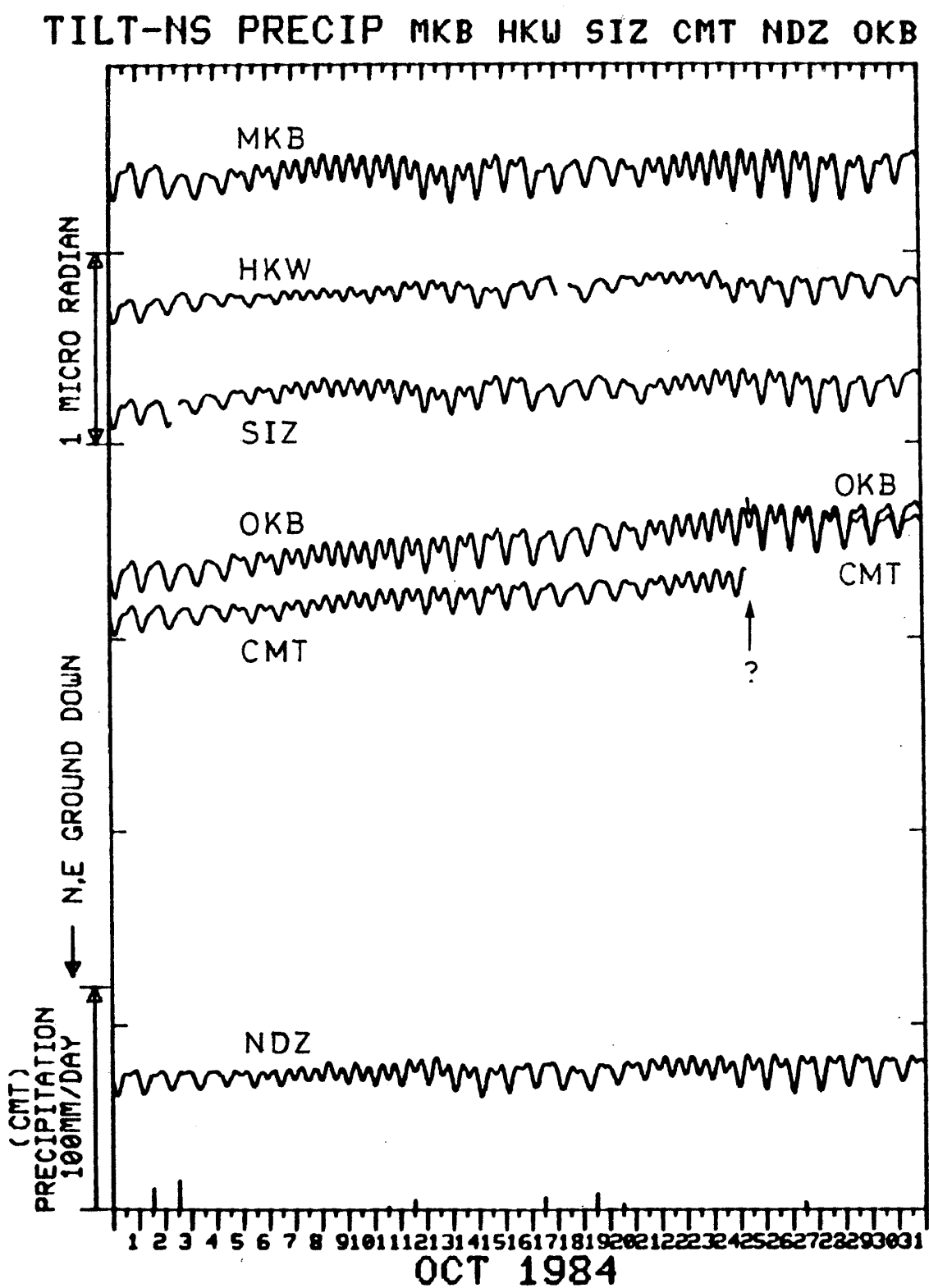


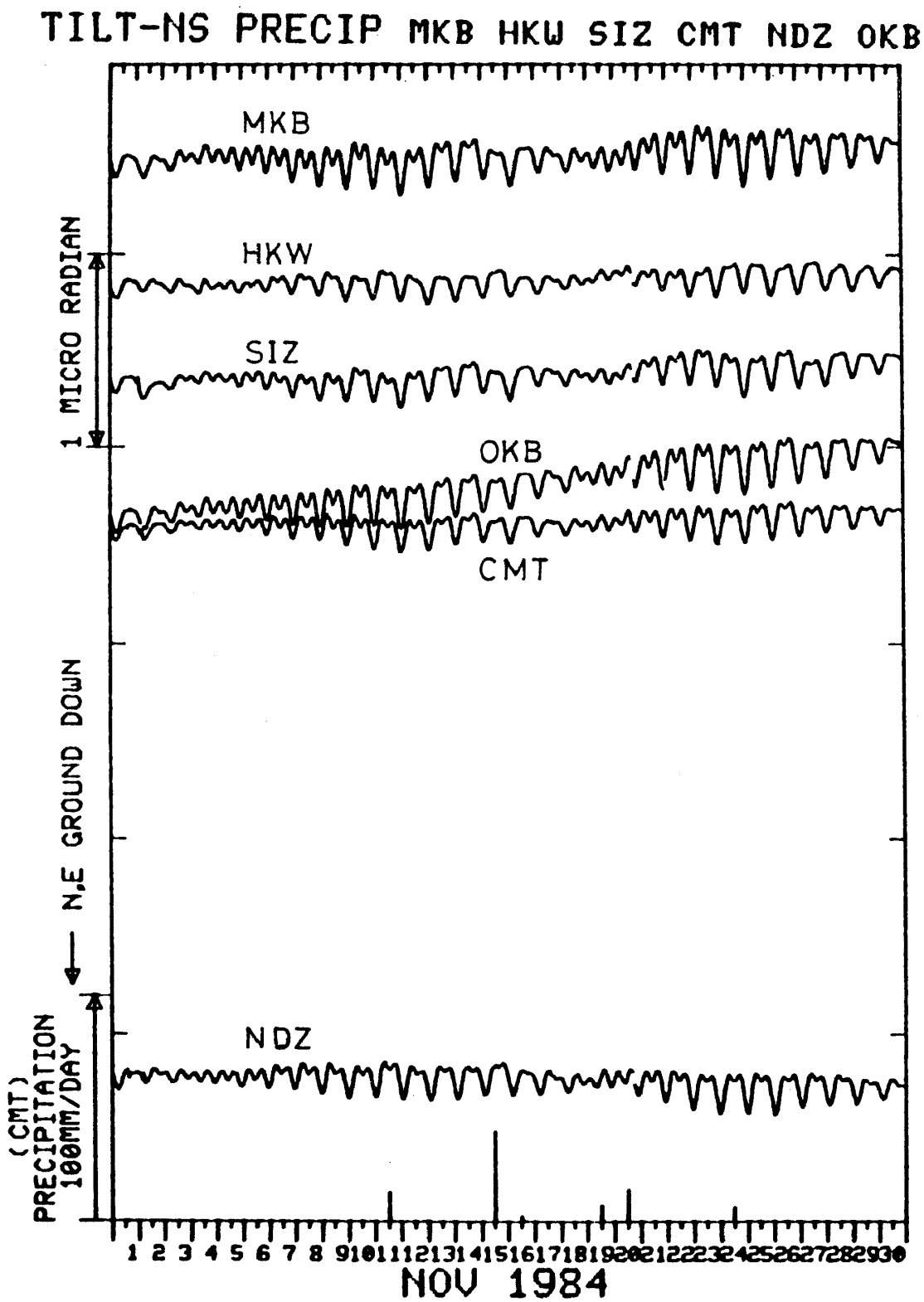


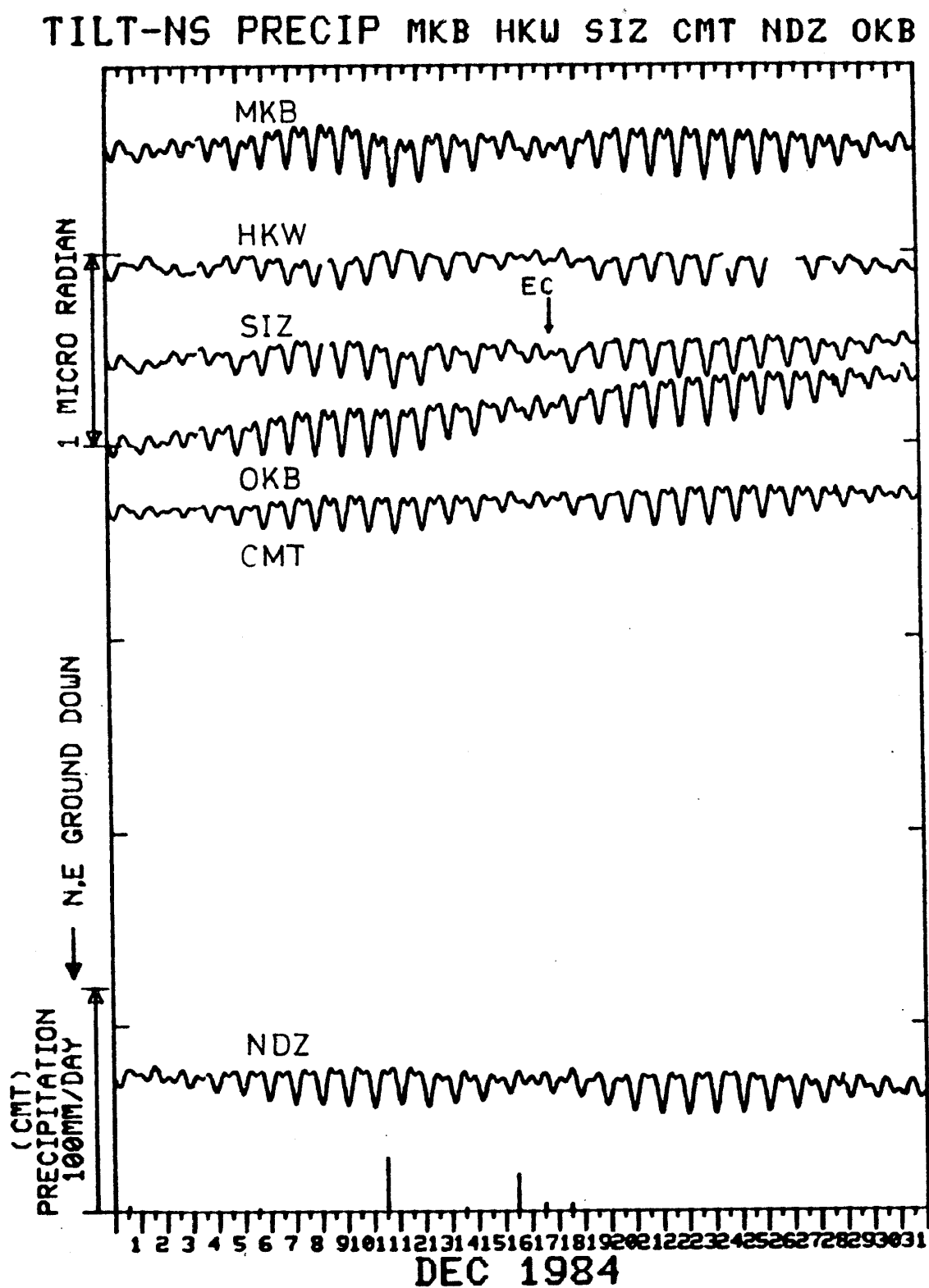


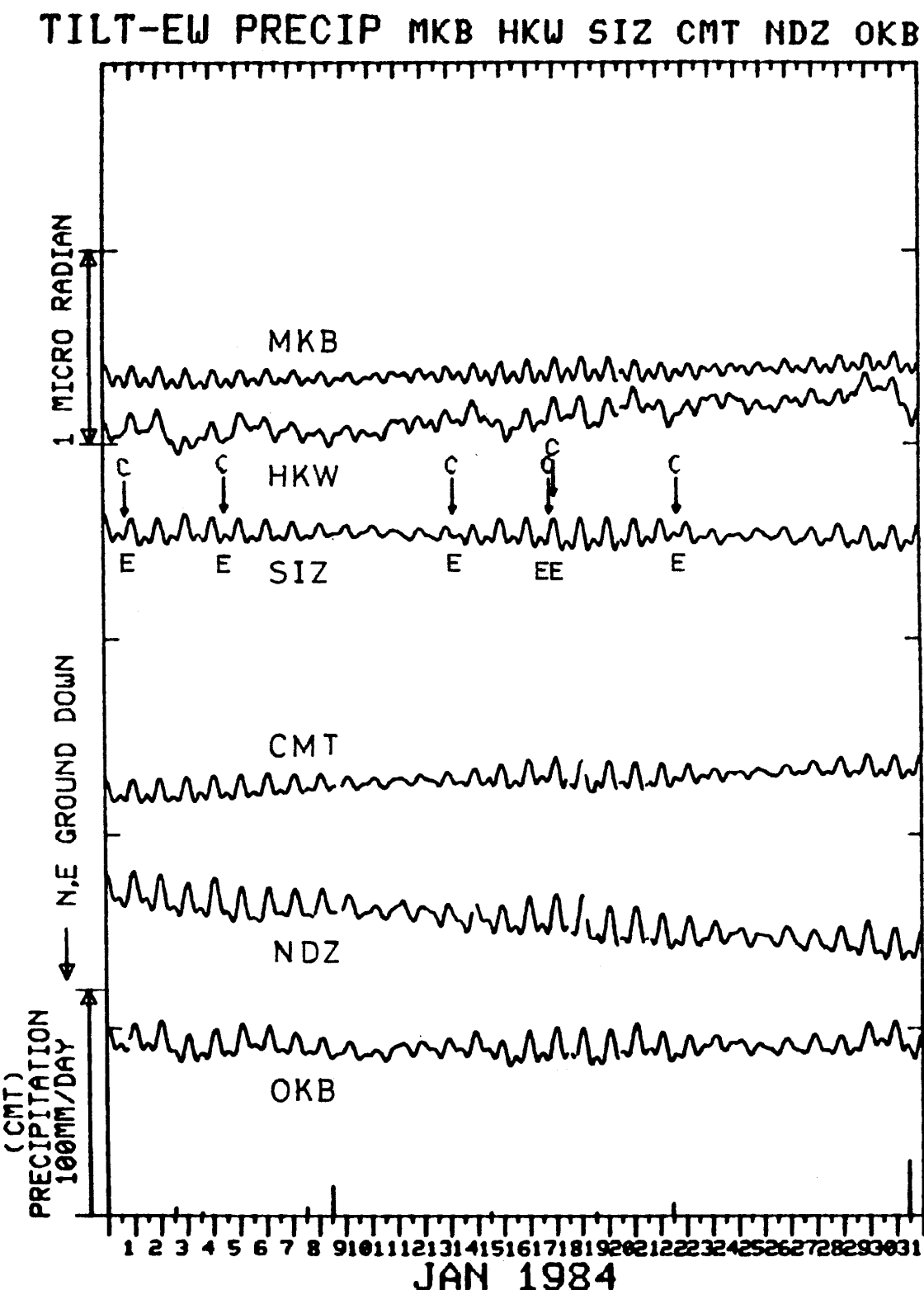
TILT-NS PRECIP MKB HKW SIZ CMT NDZ OKB





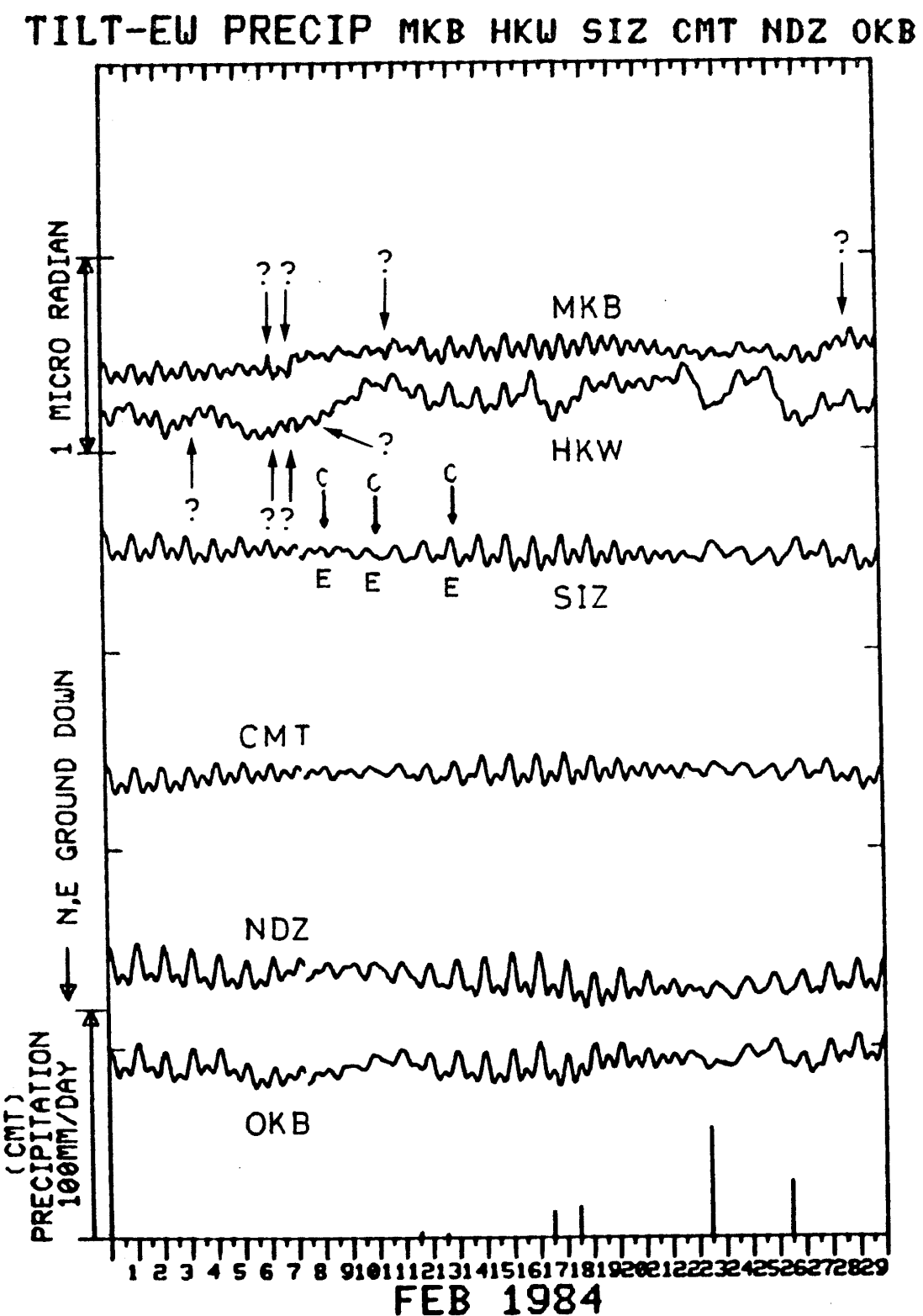


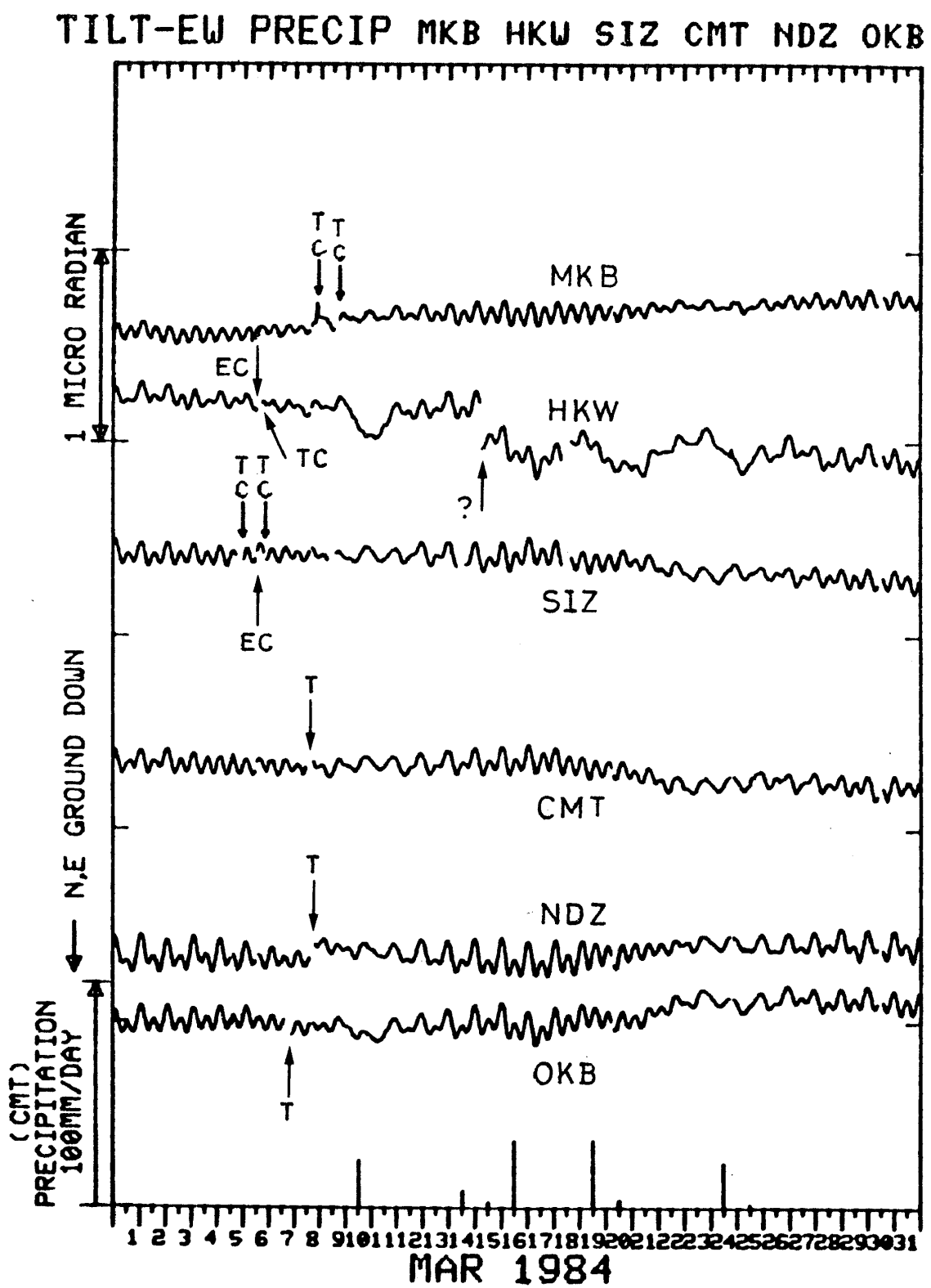


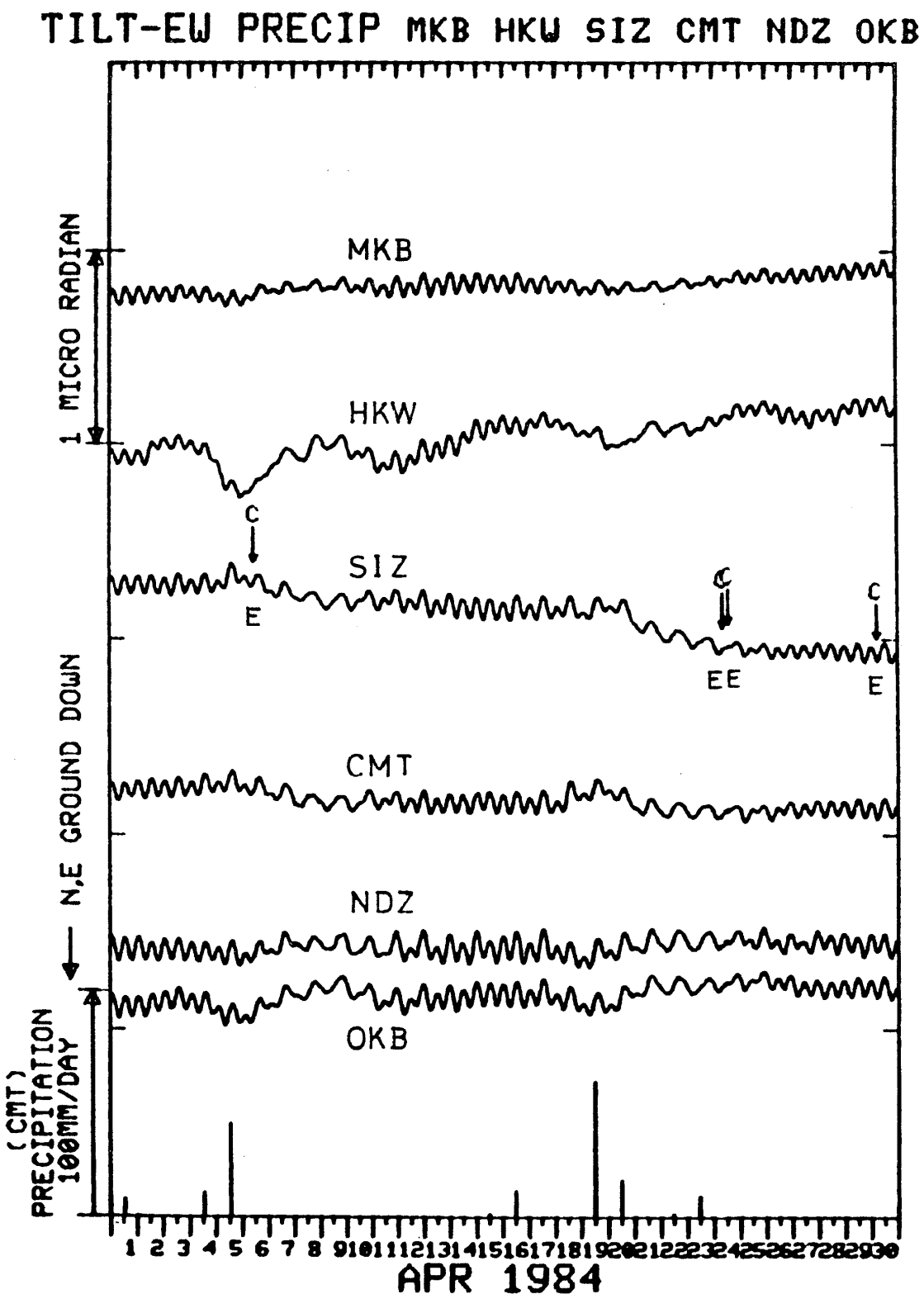


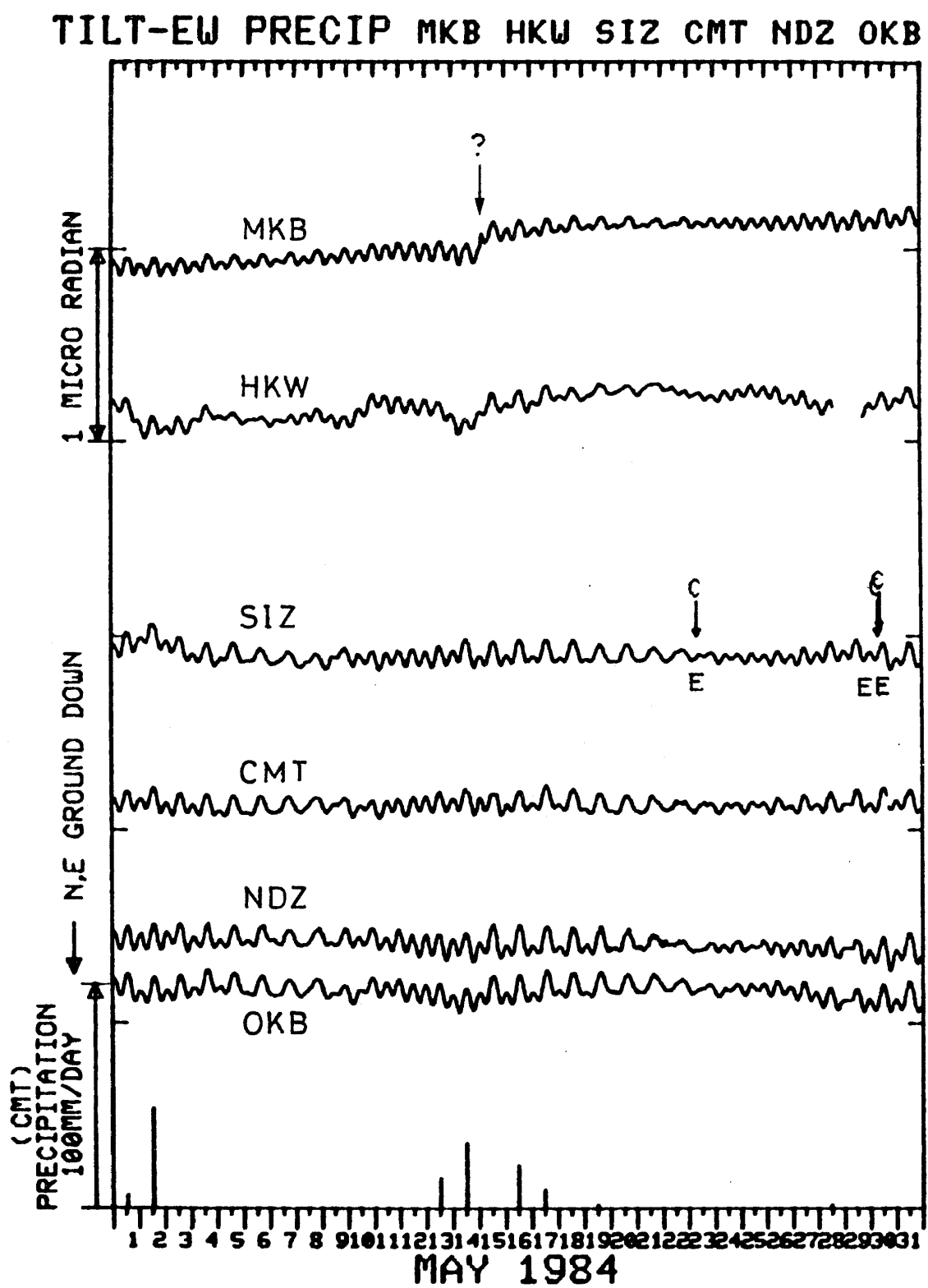
6 B 三ヶ日 (MKB)・本川根 (HKW)・静岡 (SIZ)・近又 (CMT)・野田沢 (NDZ)・岡部 (OKB) の傾斜EW成分と近又の日雨量

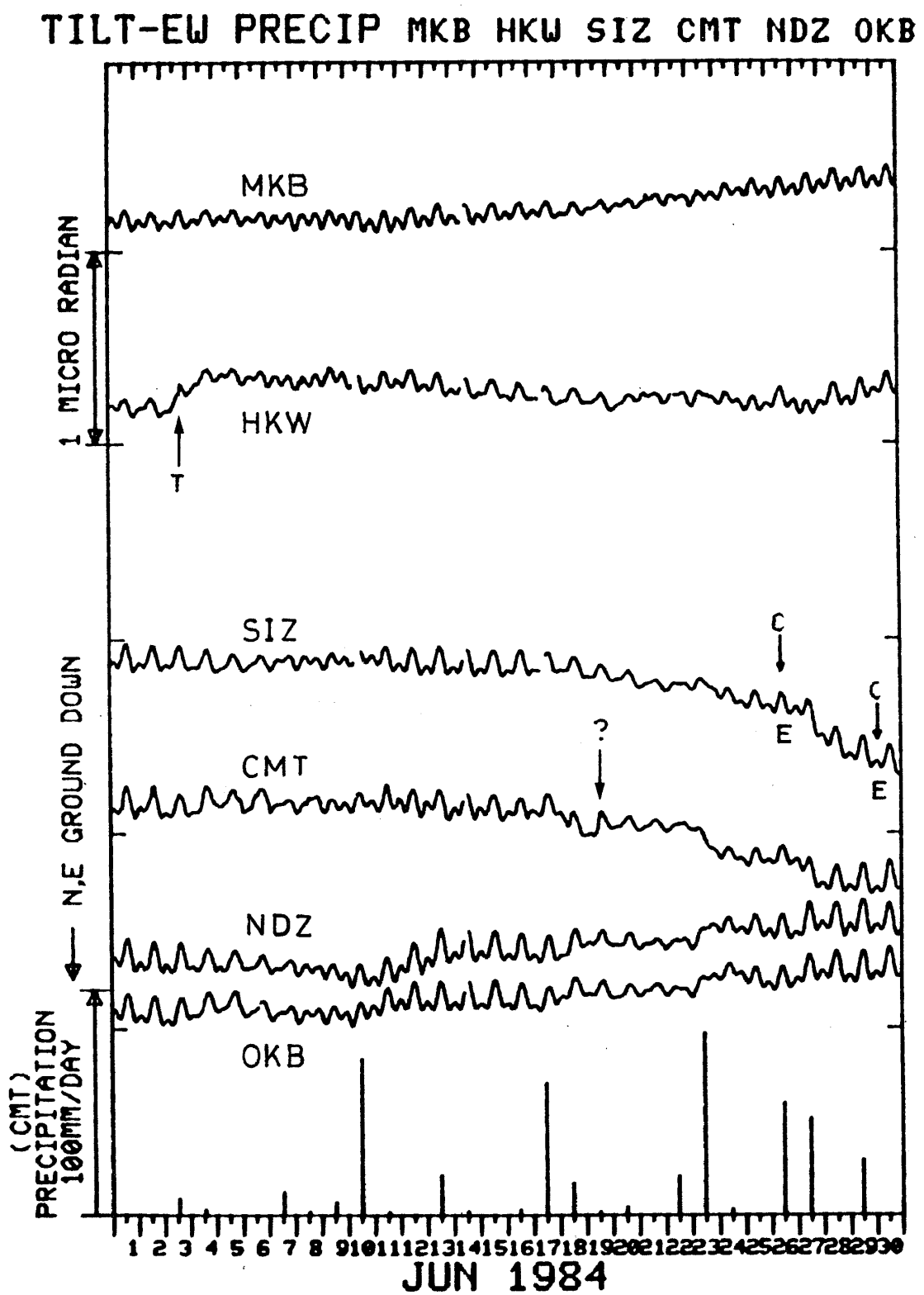
Crustal tilt in EW-comp. at Mikkabi (MKB), Honkawane (HKW), Shizuoka (SIZ), Chikamata (CMT), Nodazawa (NDZ), Okabe (OKB) and the daily precipitation at Chikamata.

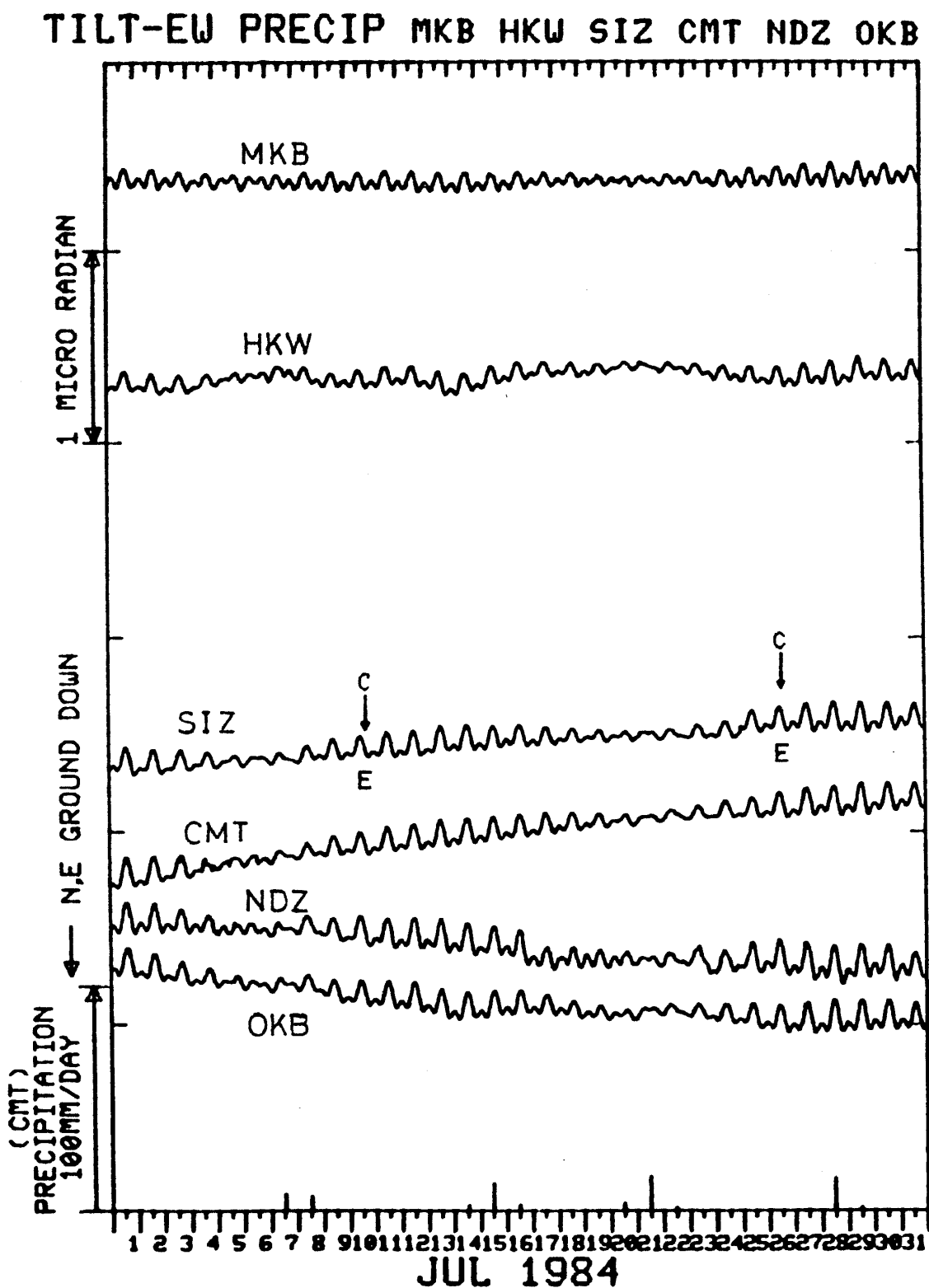


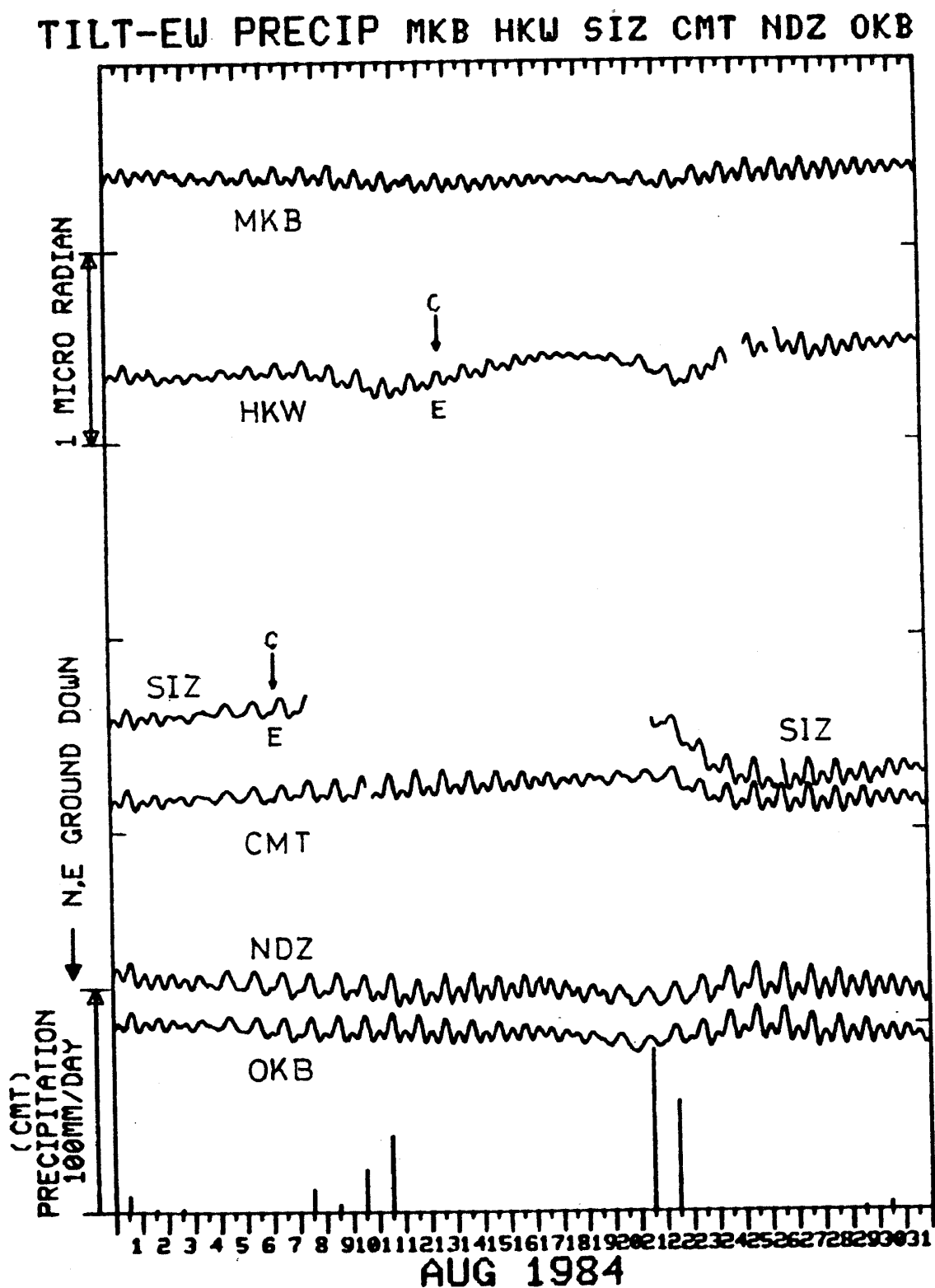


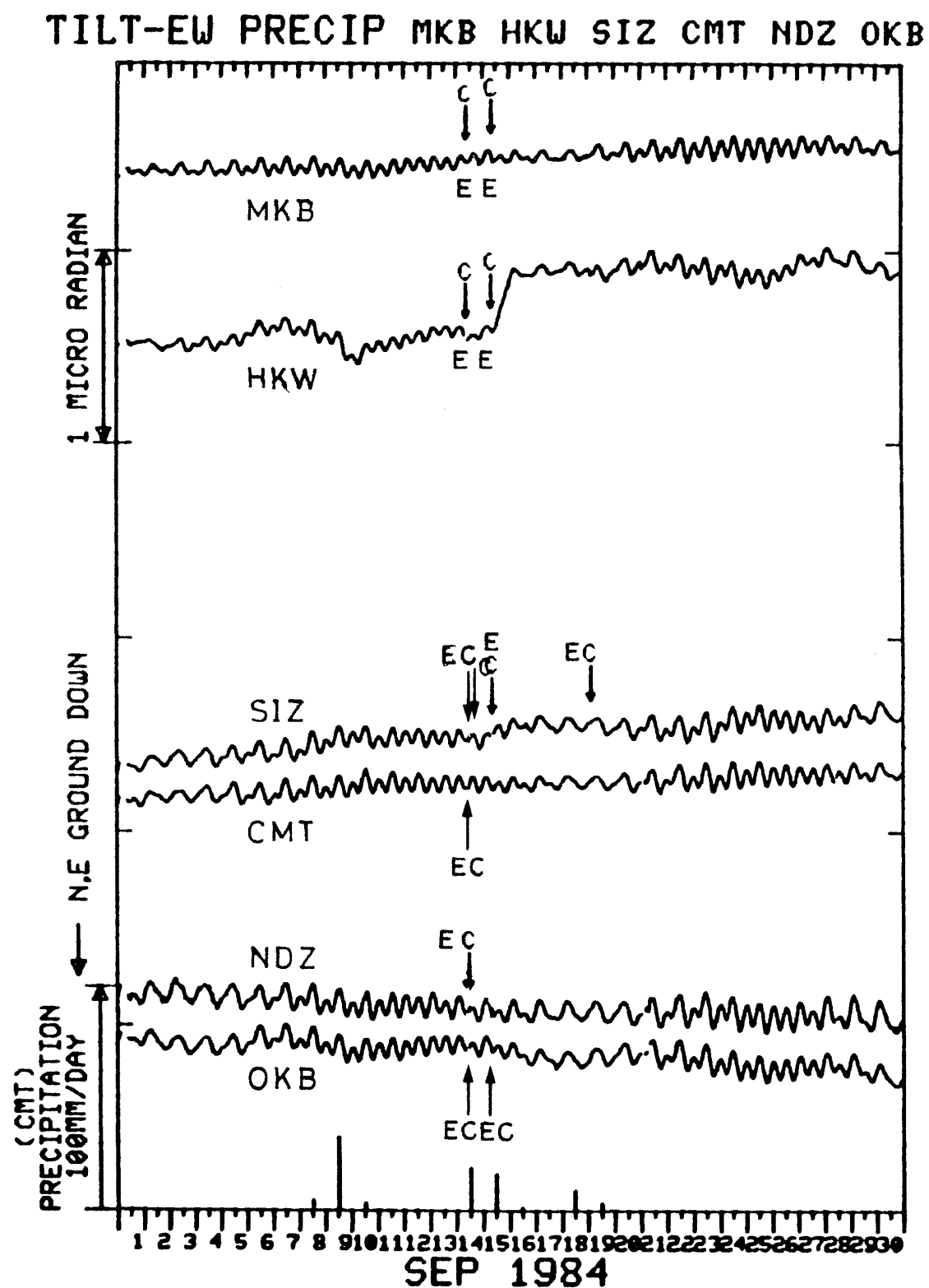


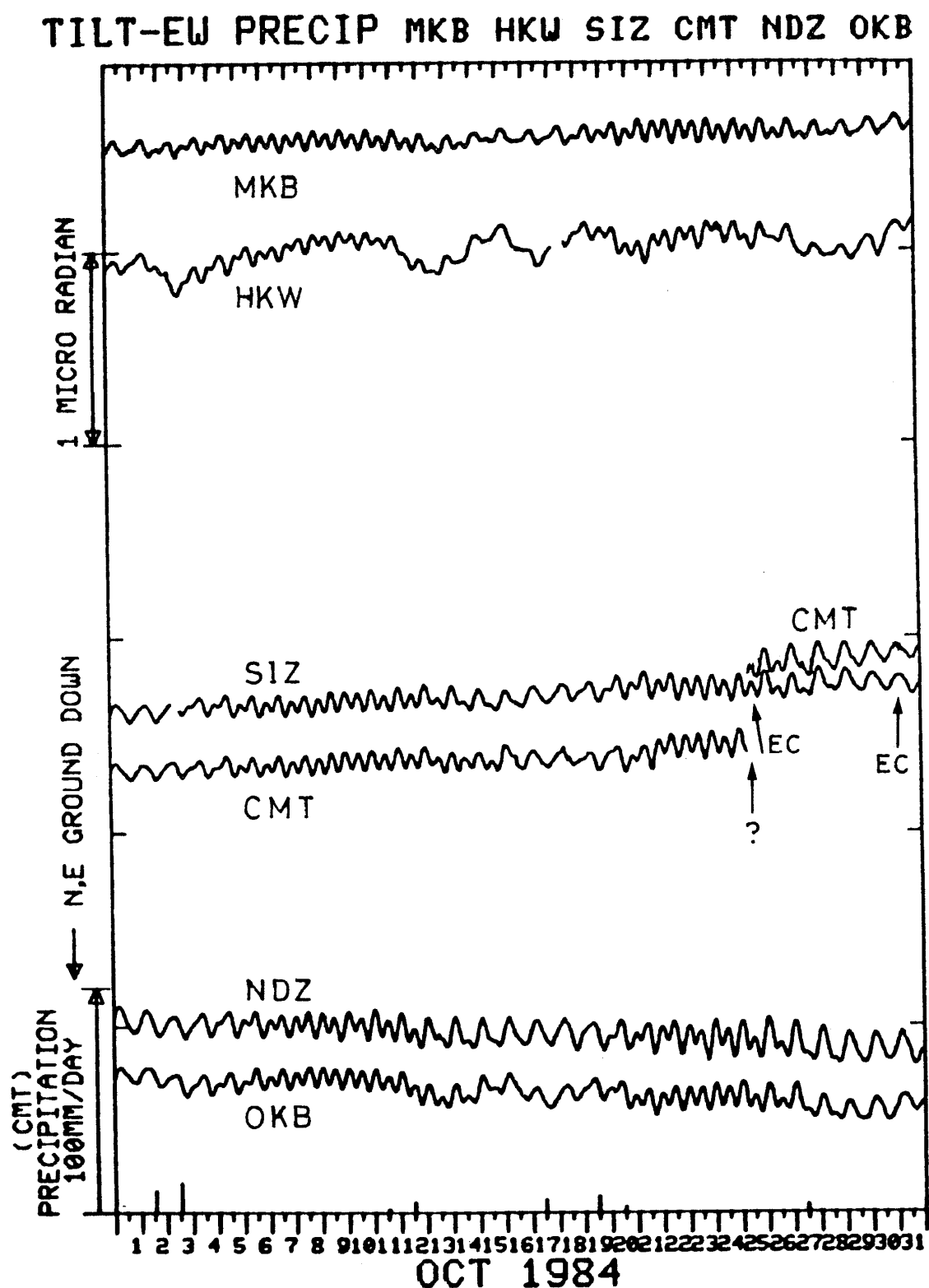


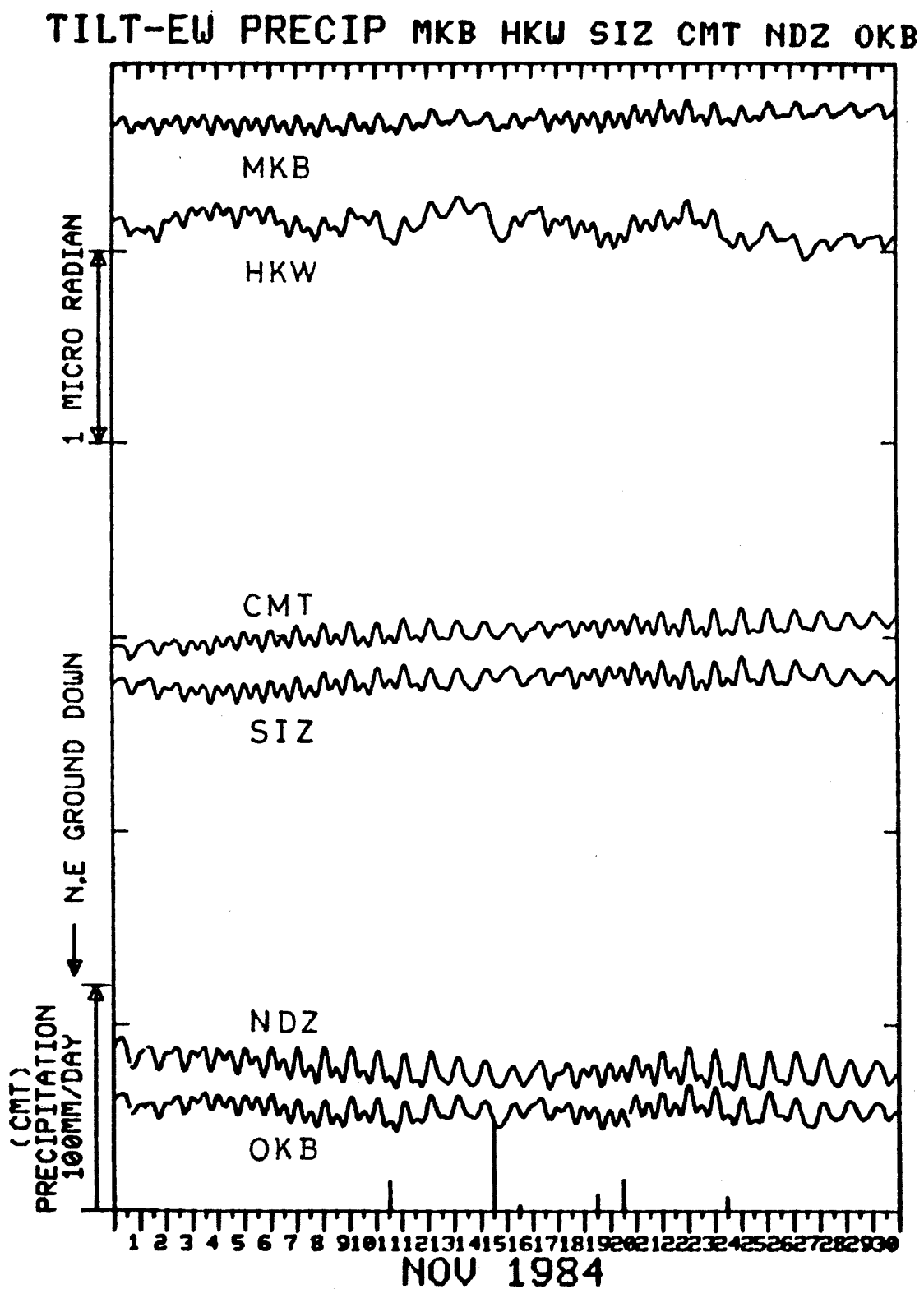


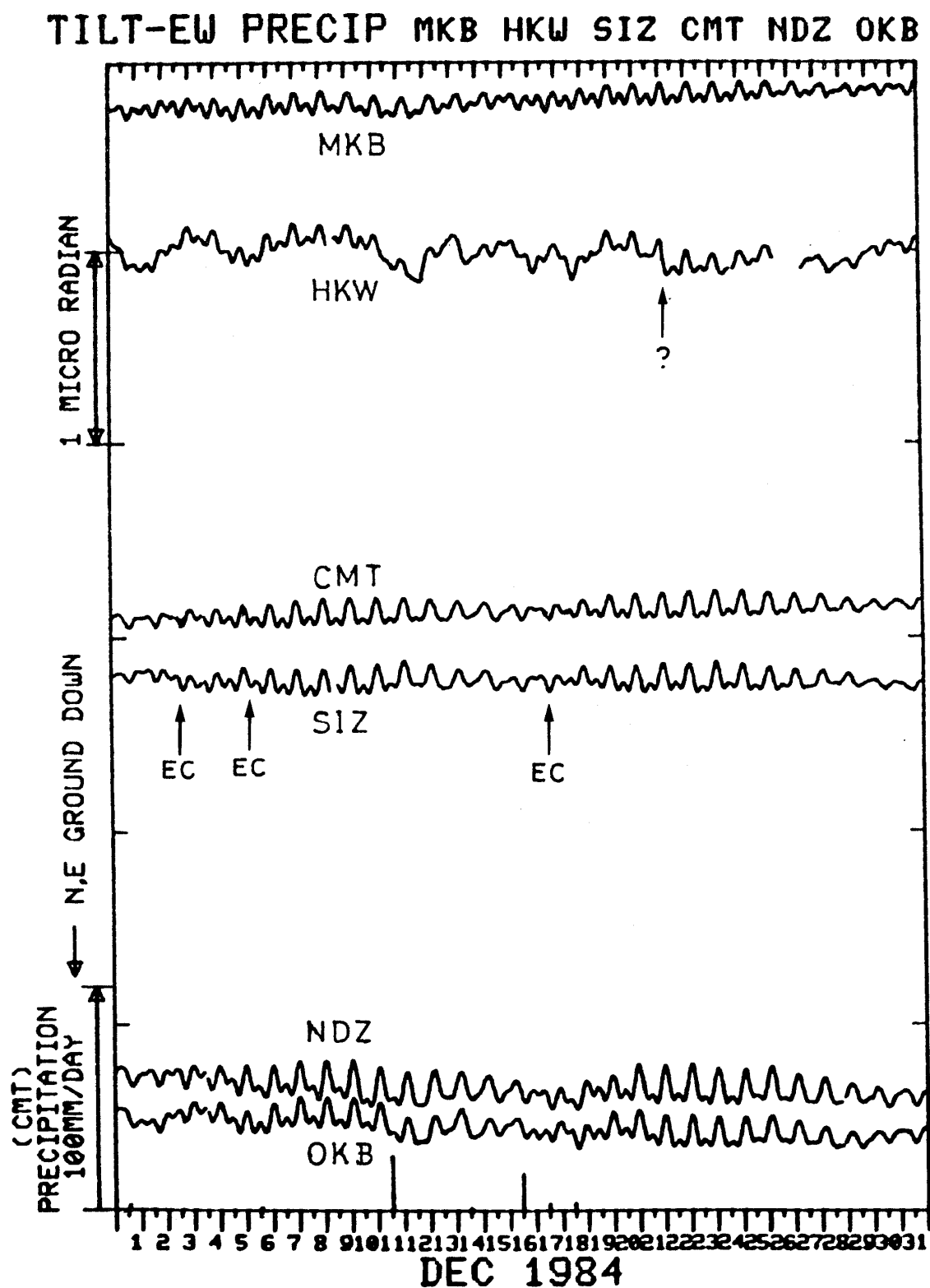


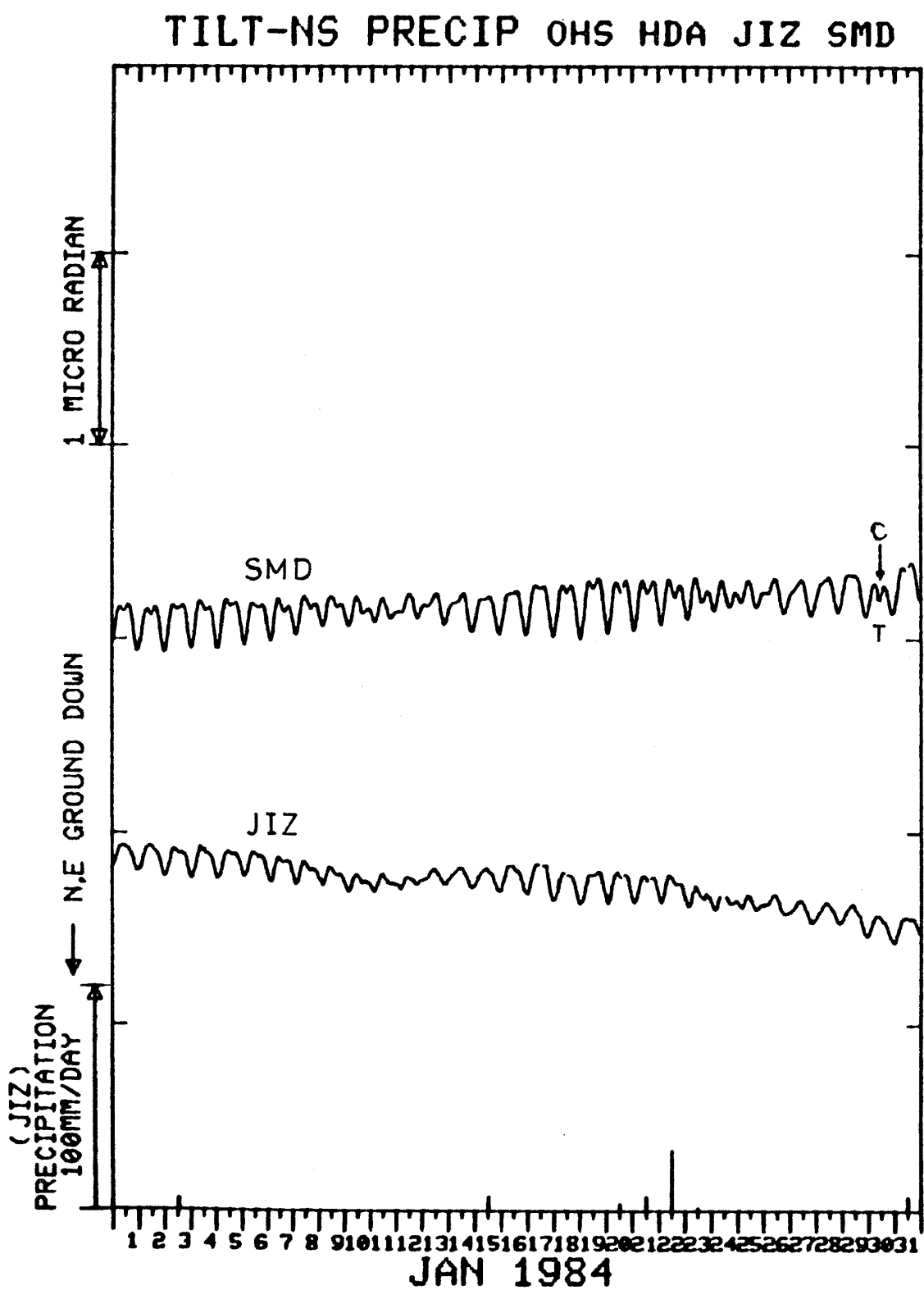






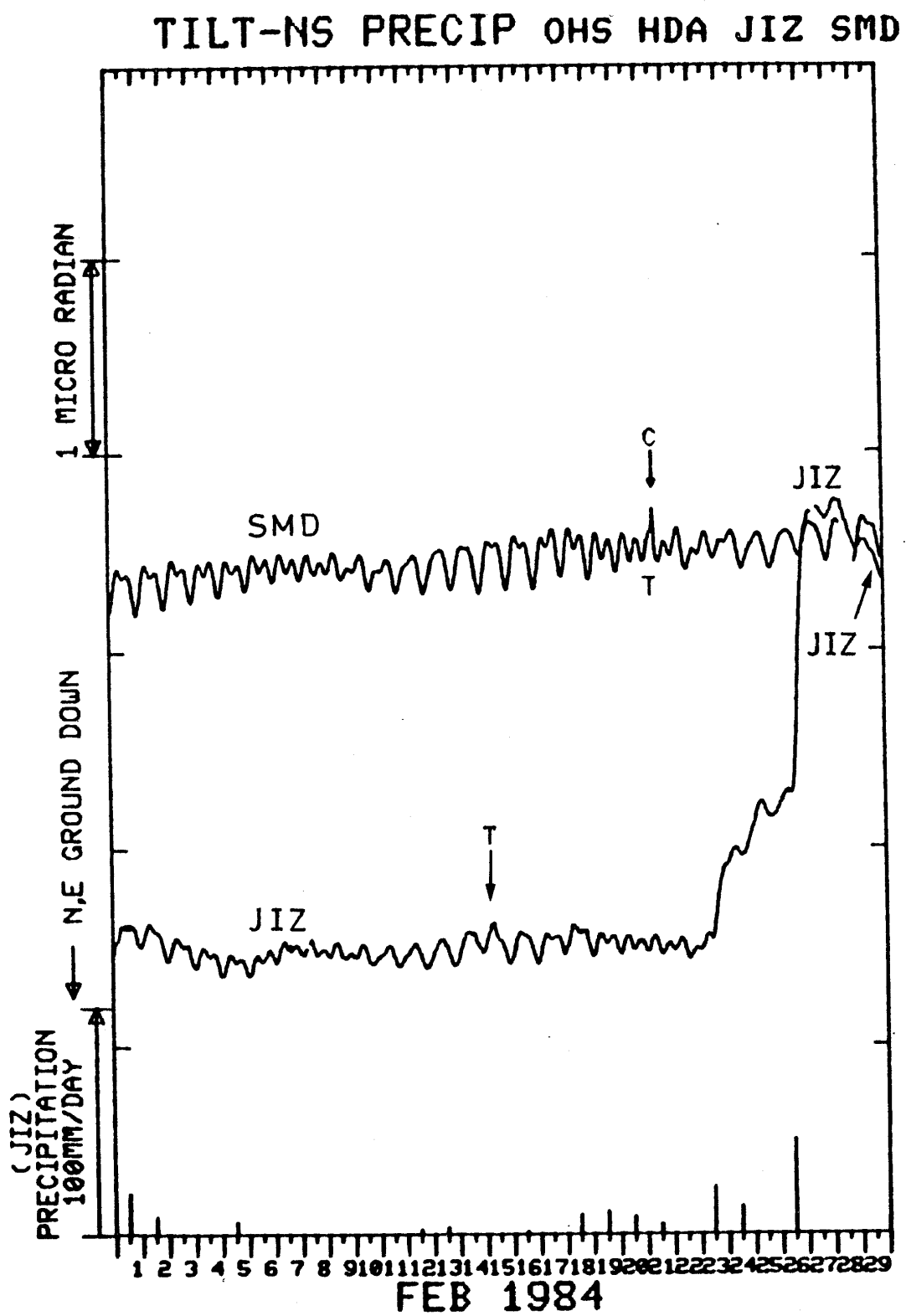


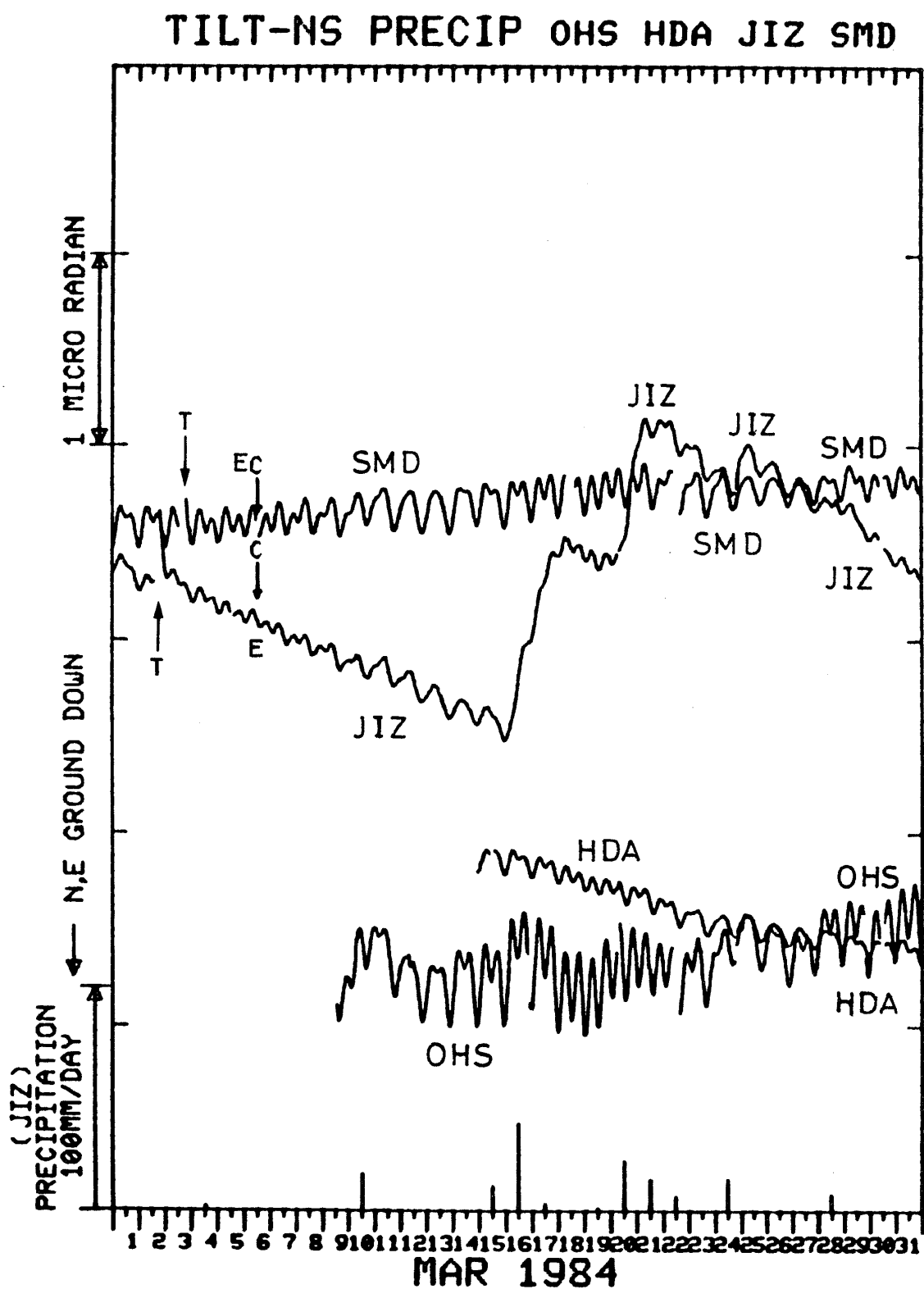


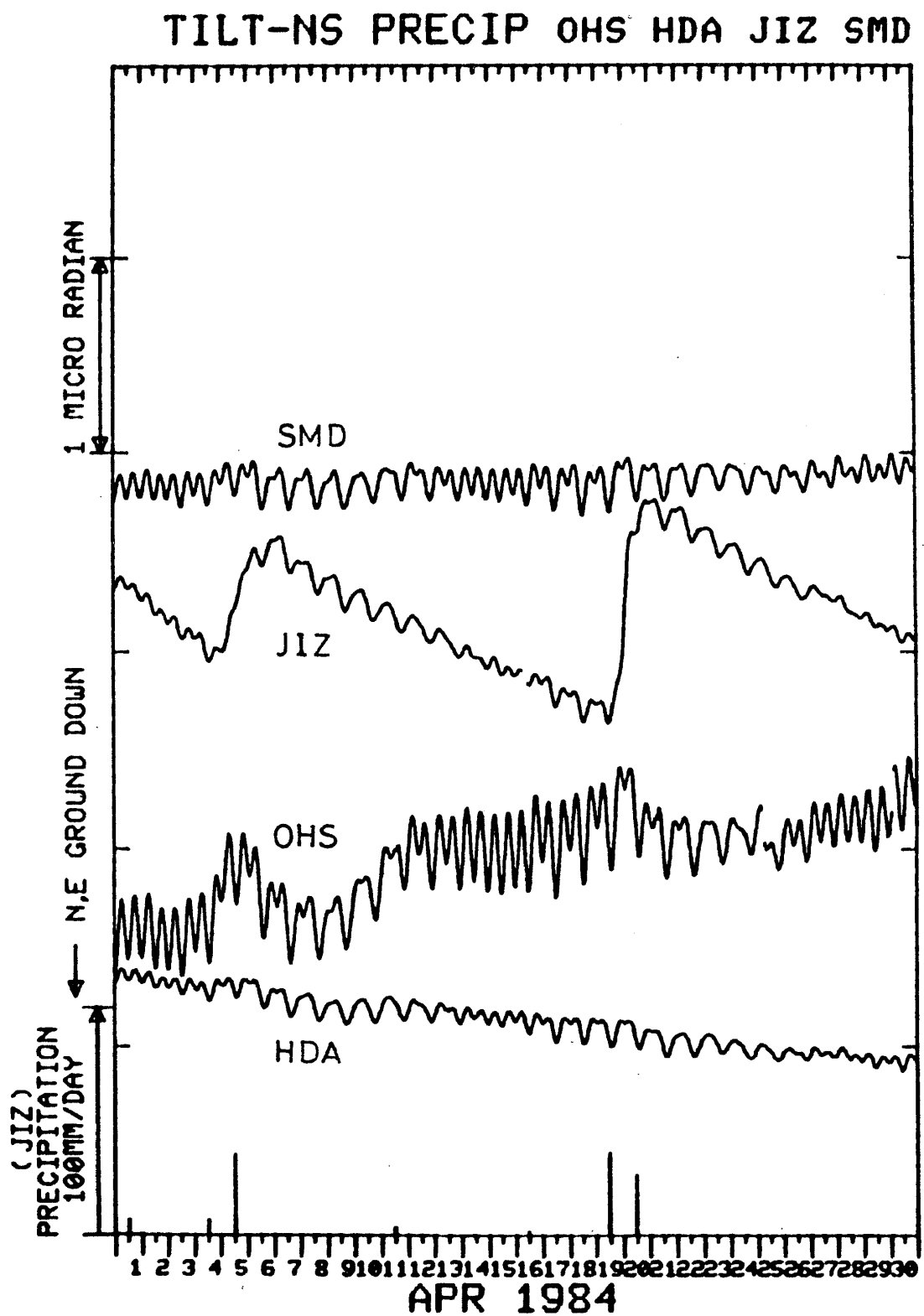


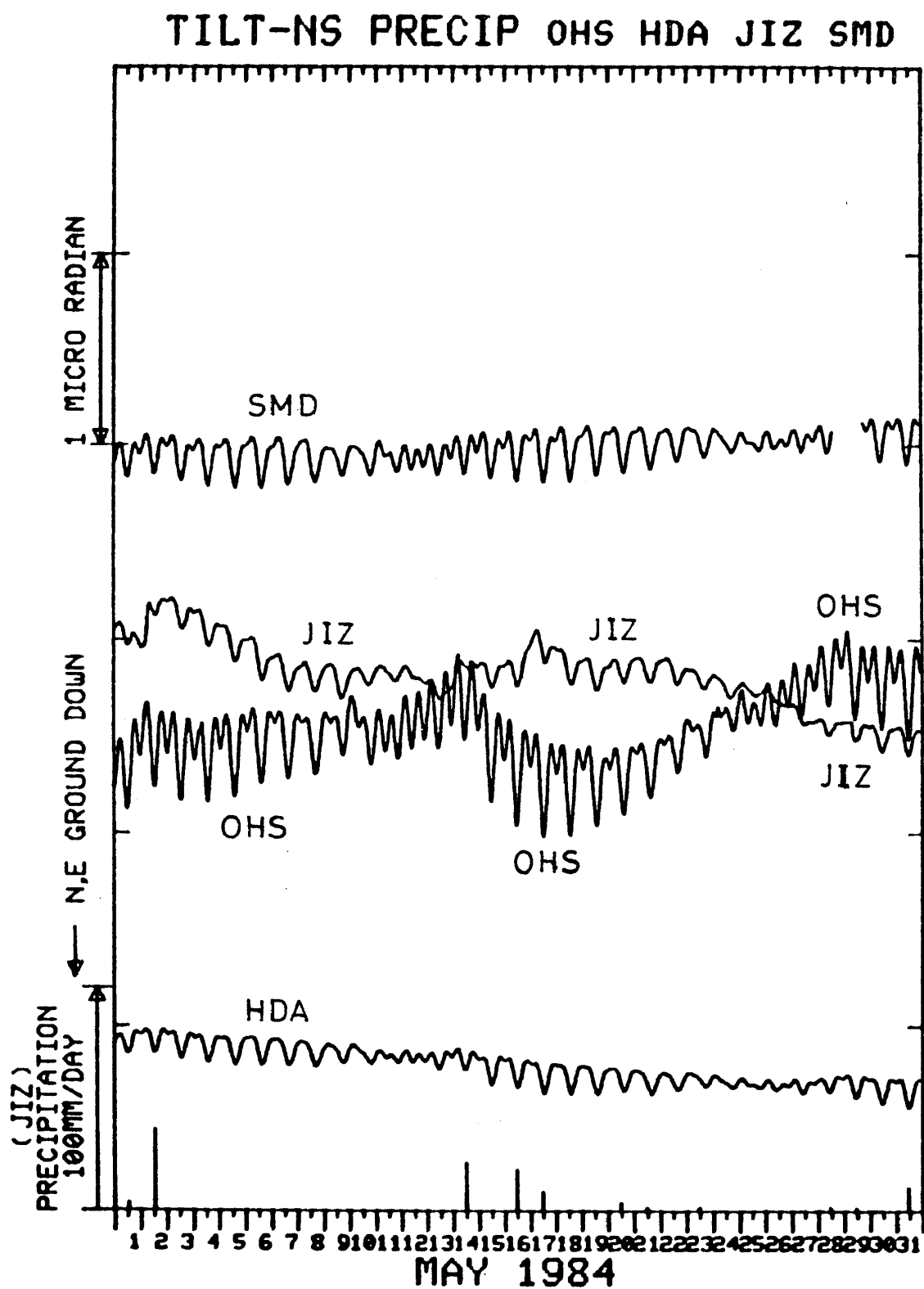
6 C 大須賀(OHS)・戸田(HDA)・中伊豆(JIZ)・下田(SMD)の傾斜NS成分と中伊豆の日雨量

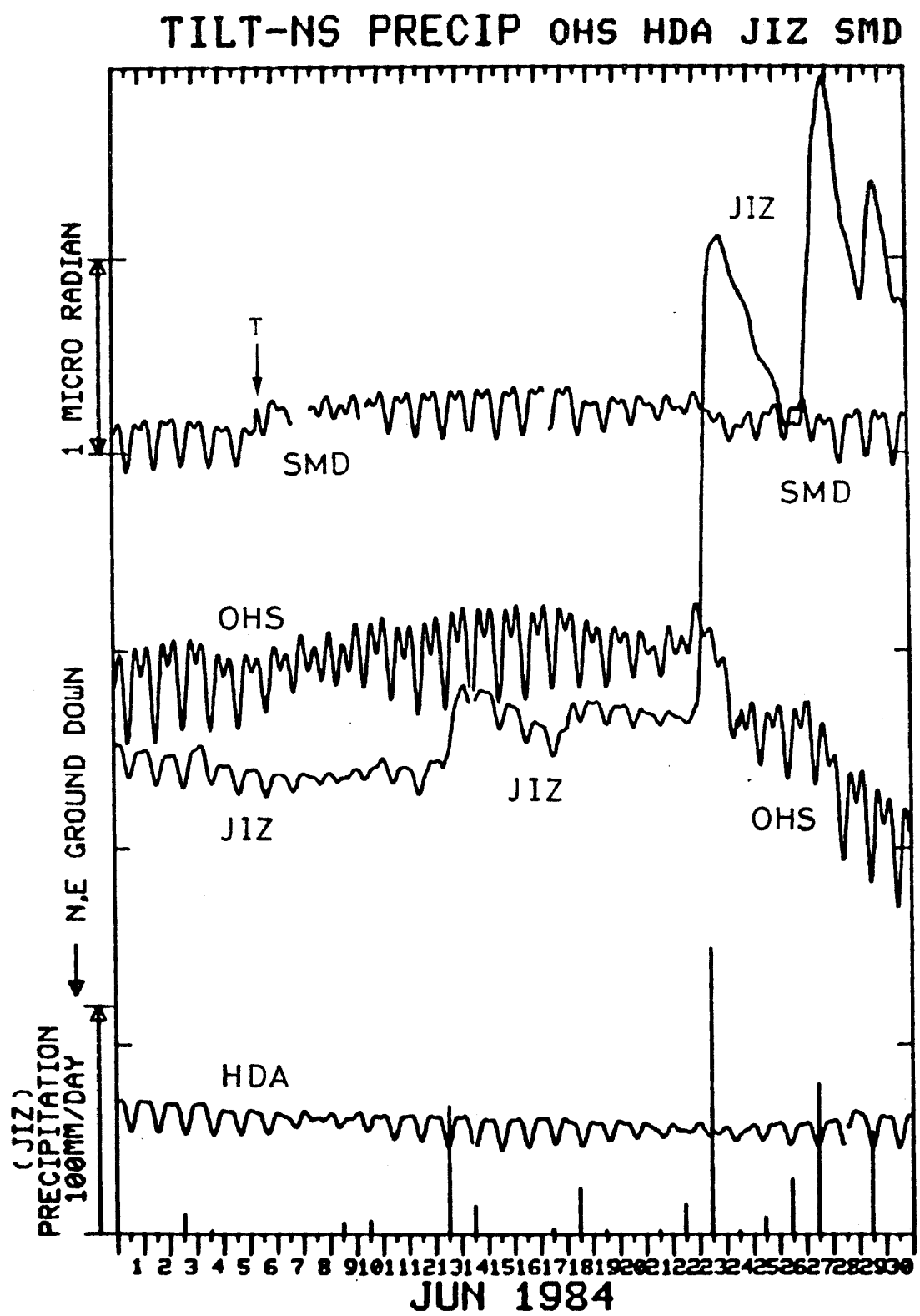
Crustal tilt in NS-comp. at Ohsuka (OHS), Heda (HDA), Nakaizu (JIZ), Shimoda (SMD) and the daily precipitation at Nakaizu.

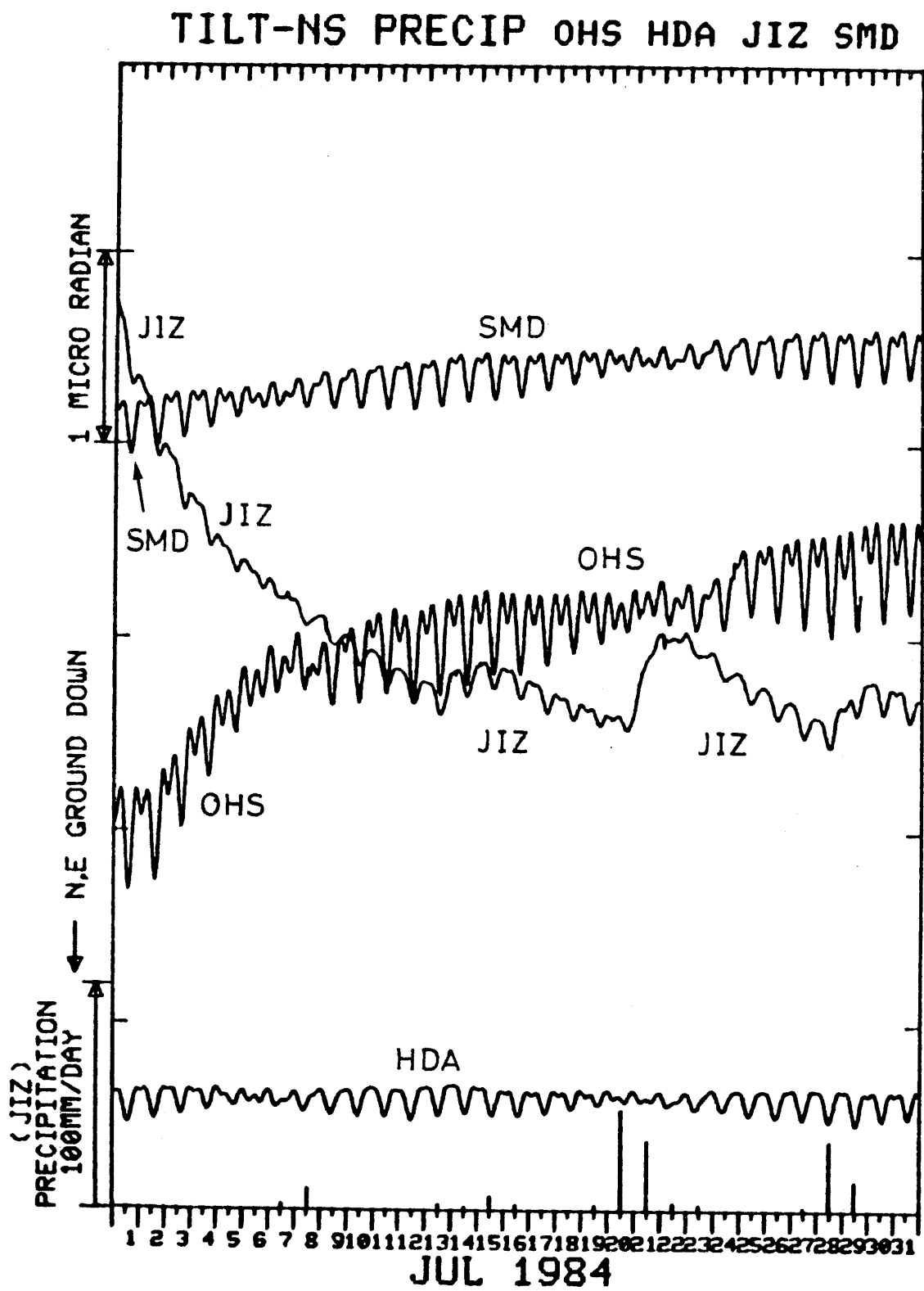


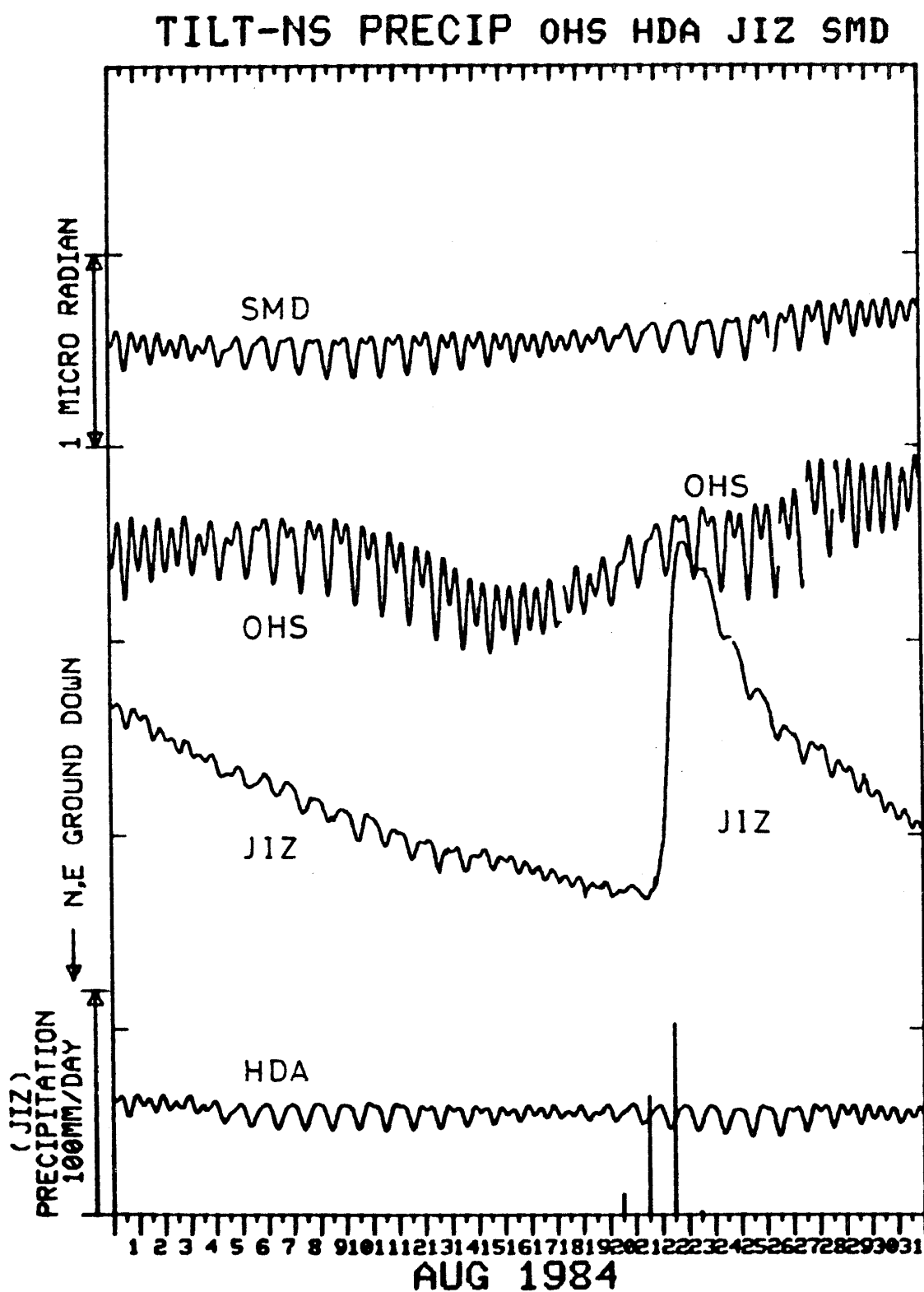


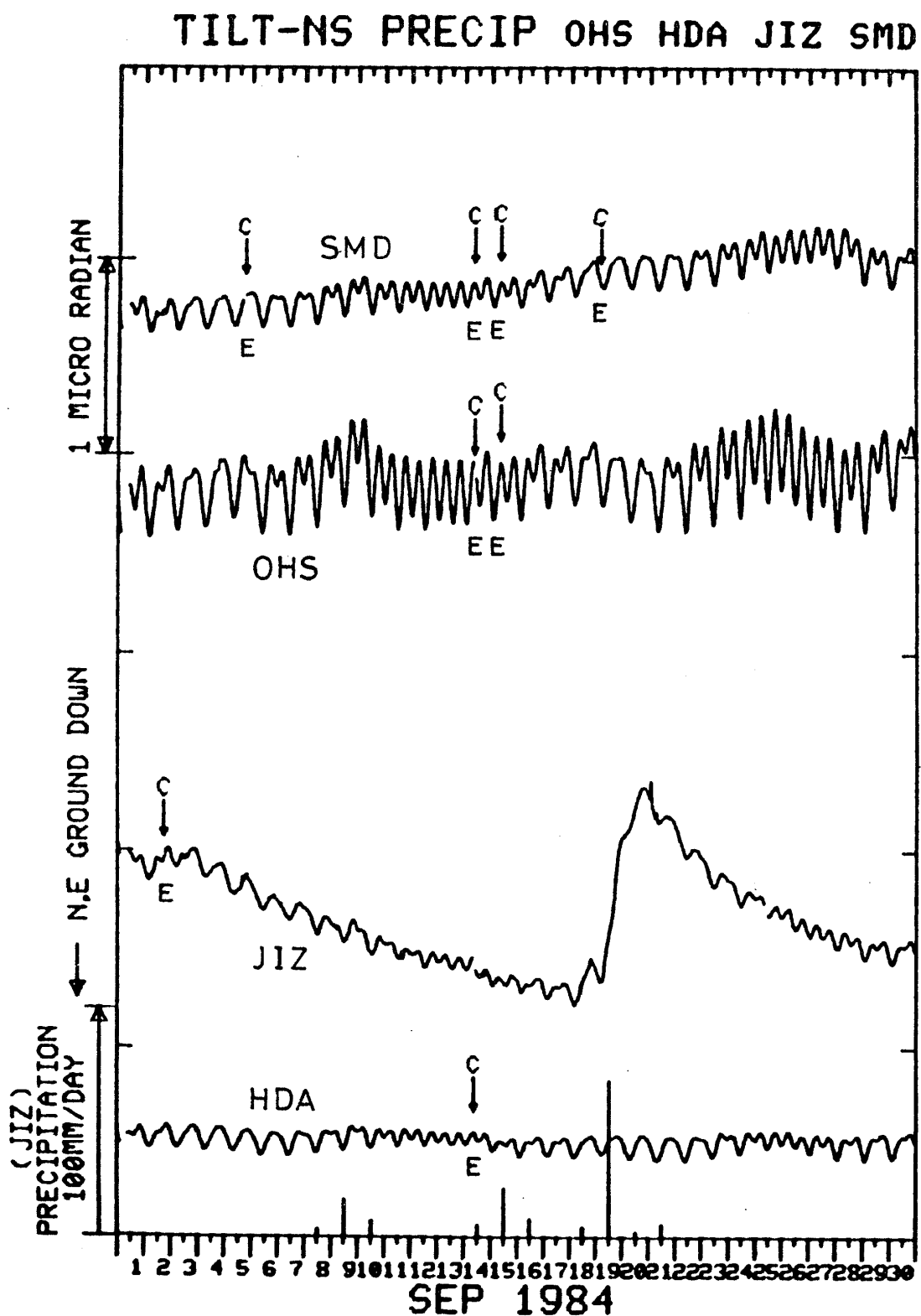


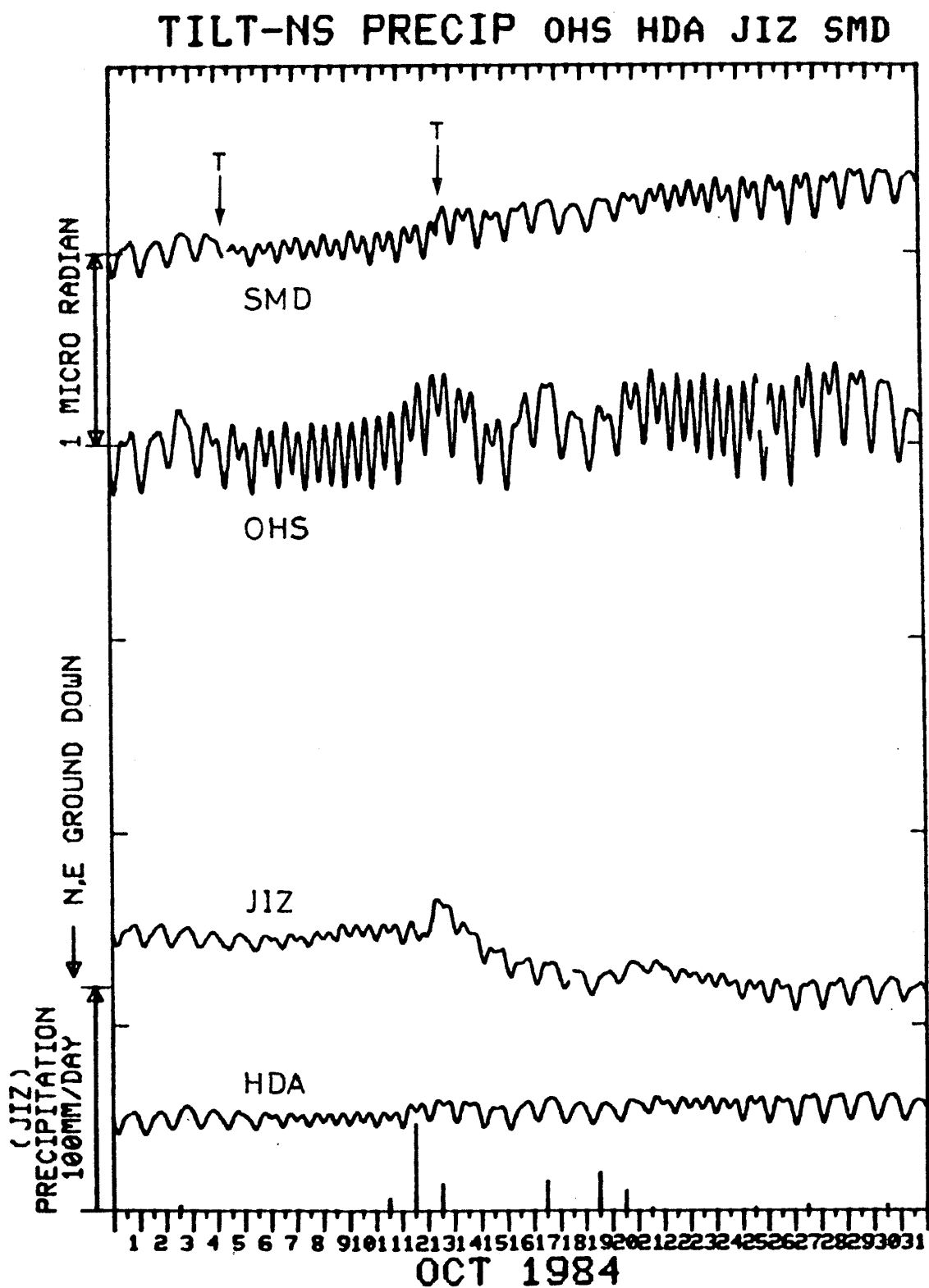


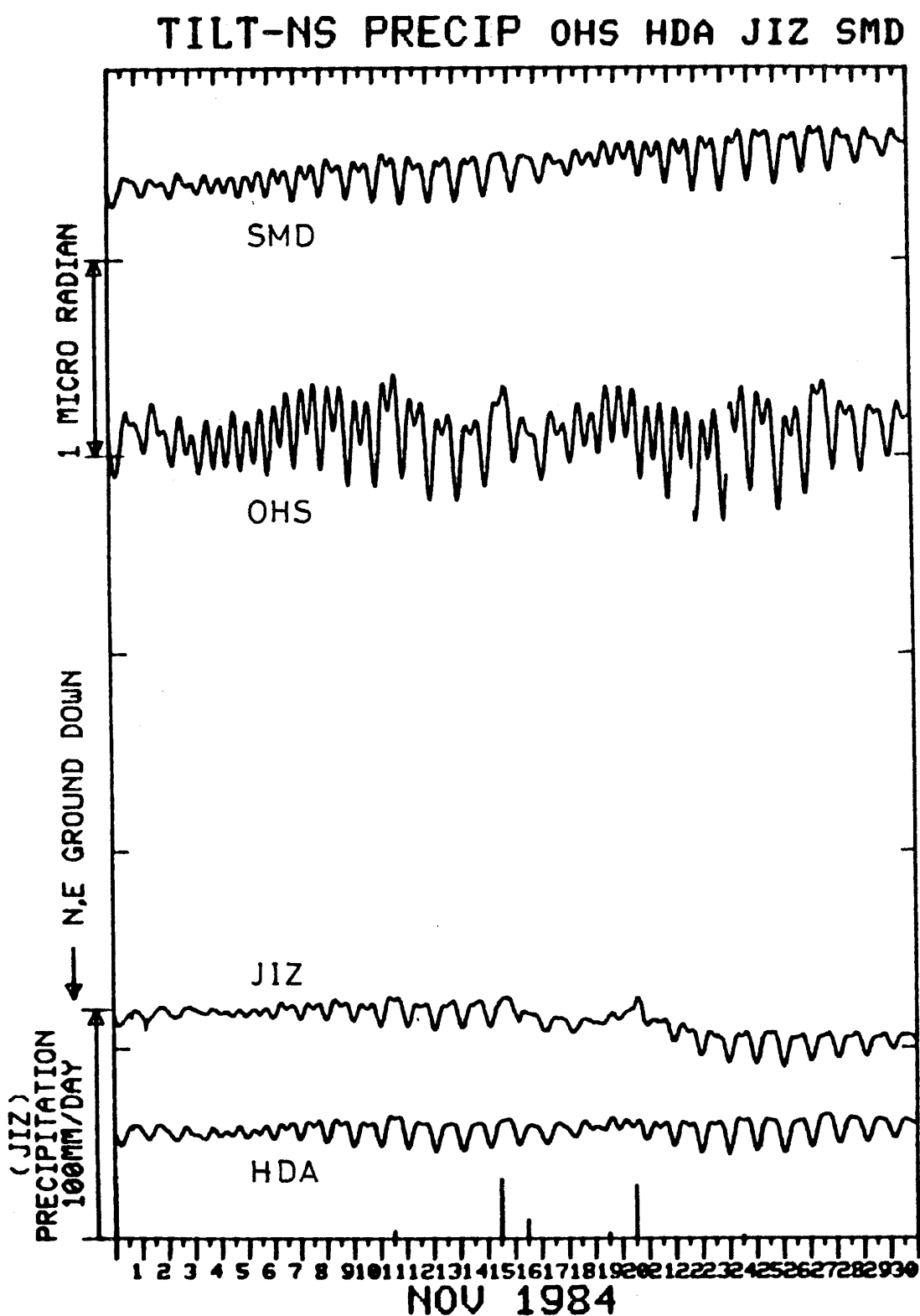


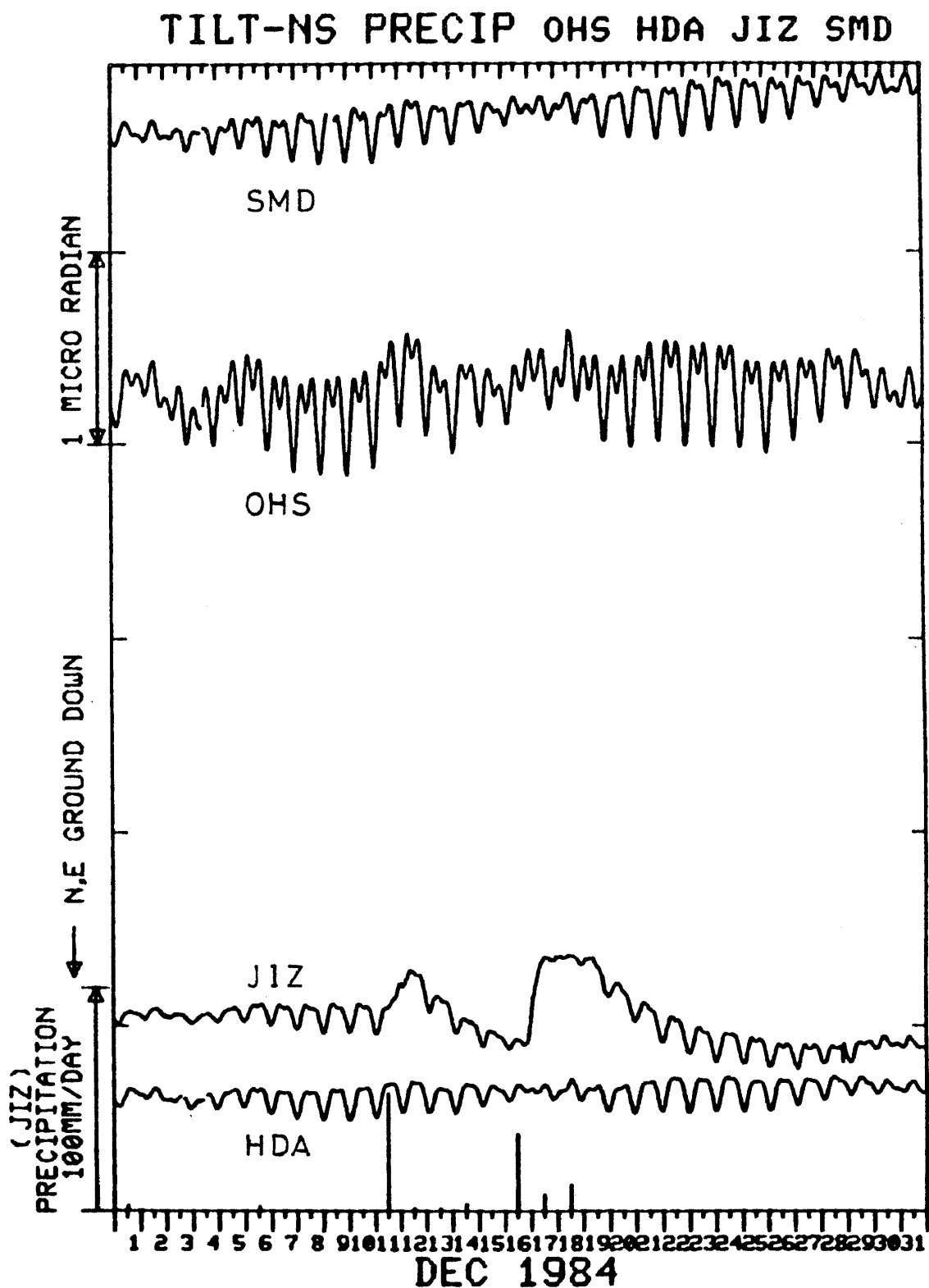


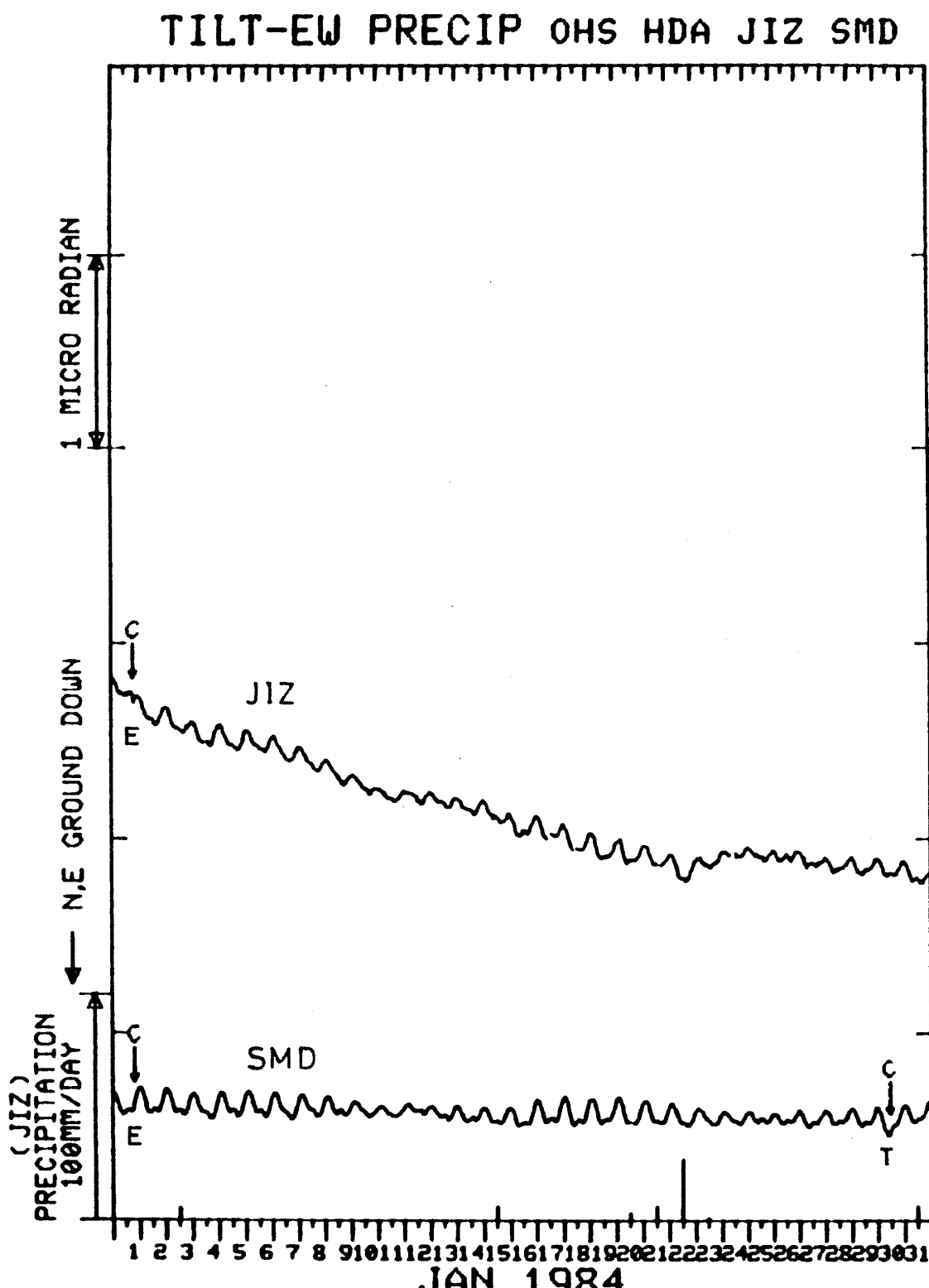




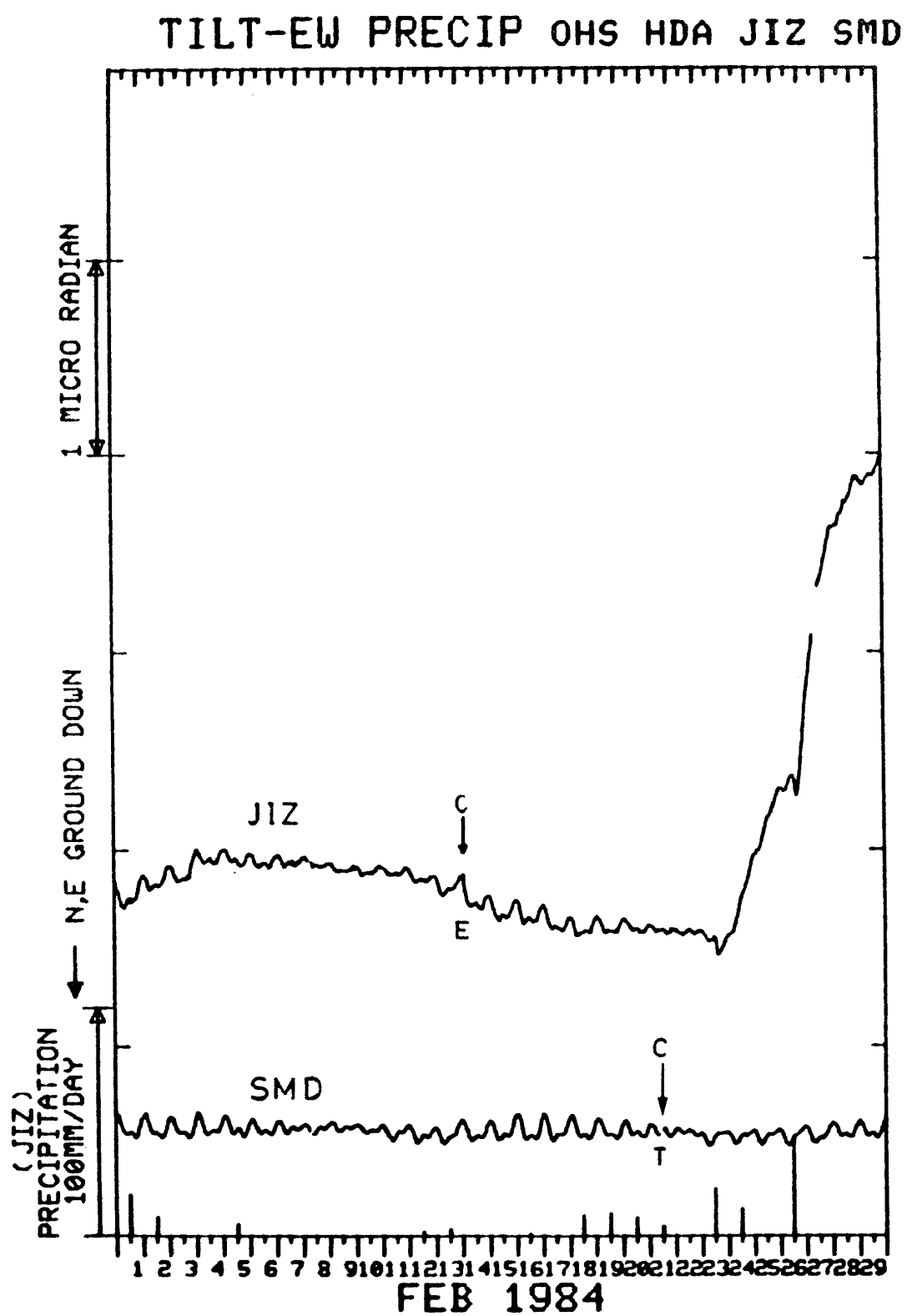


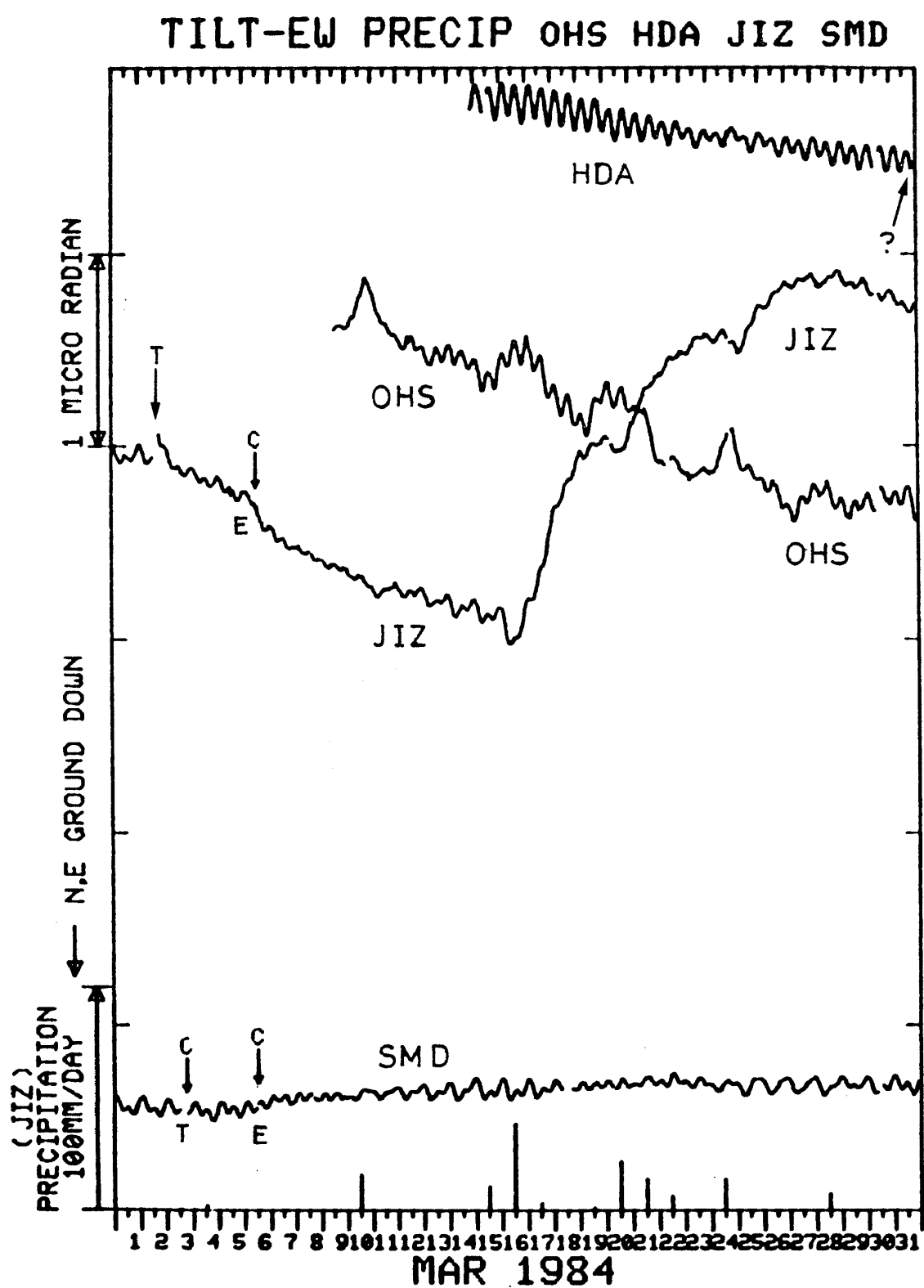


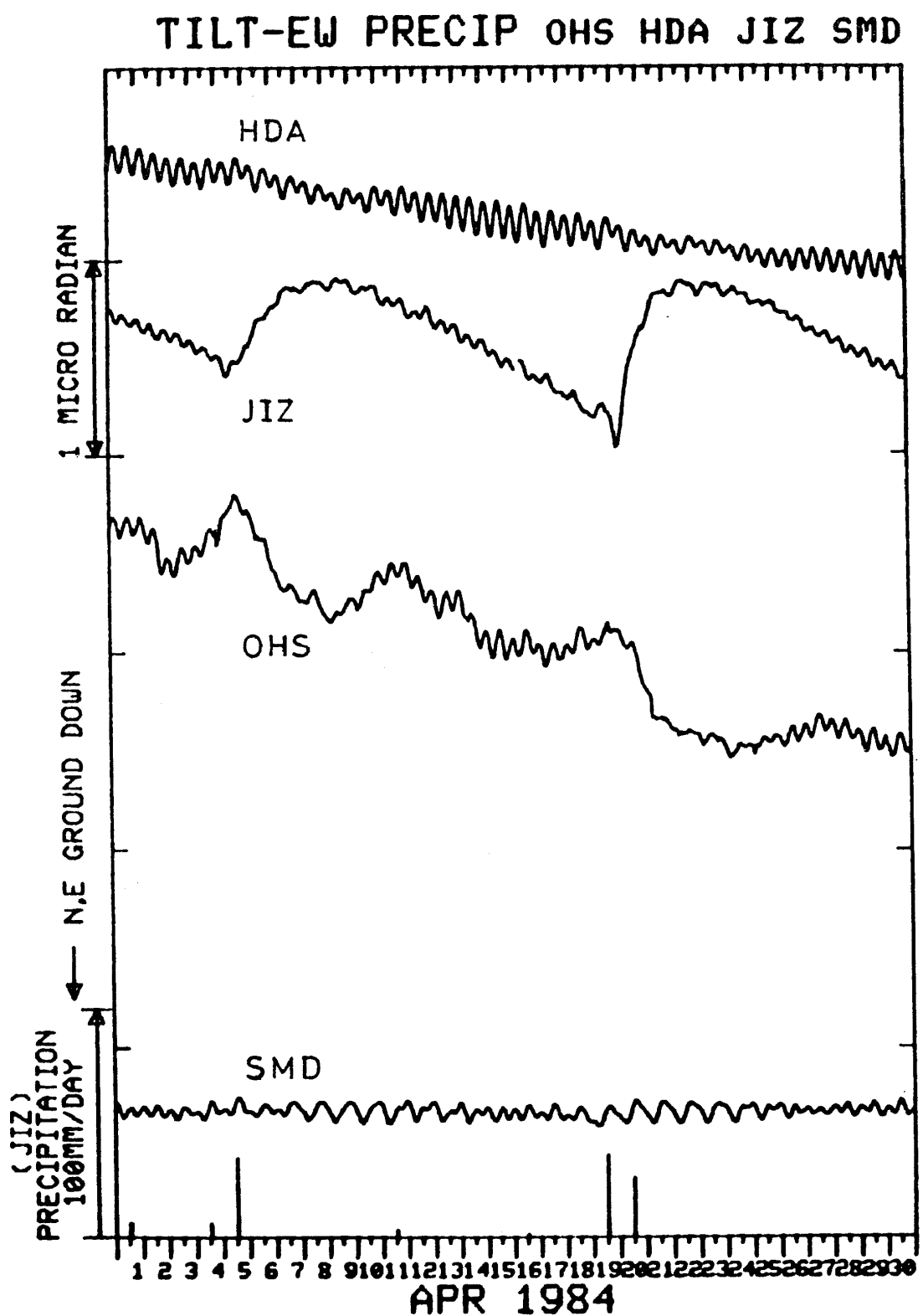


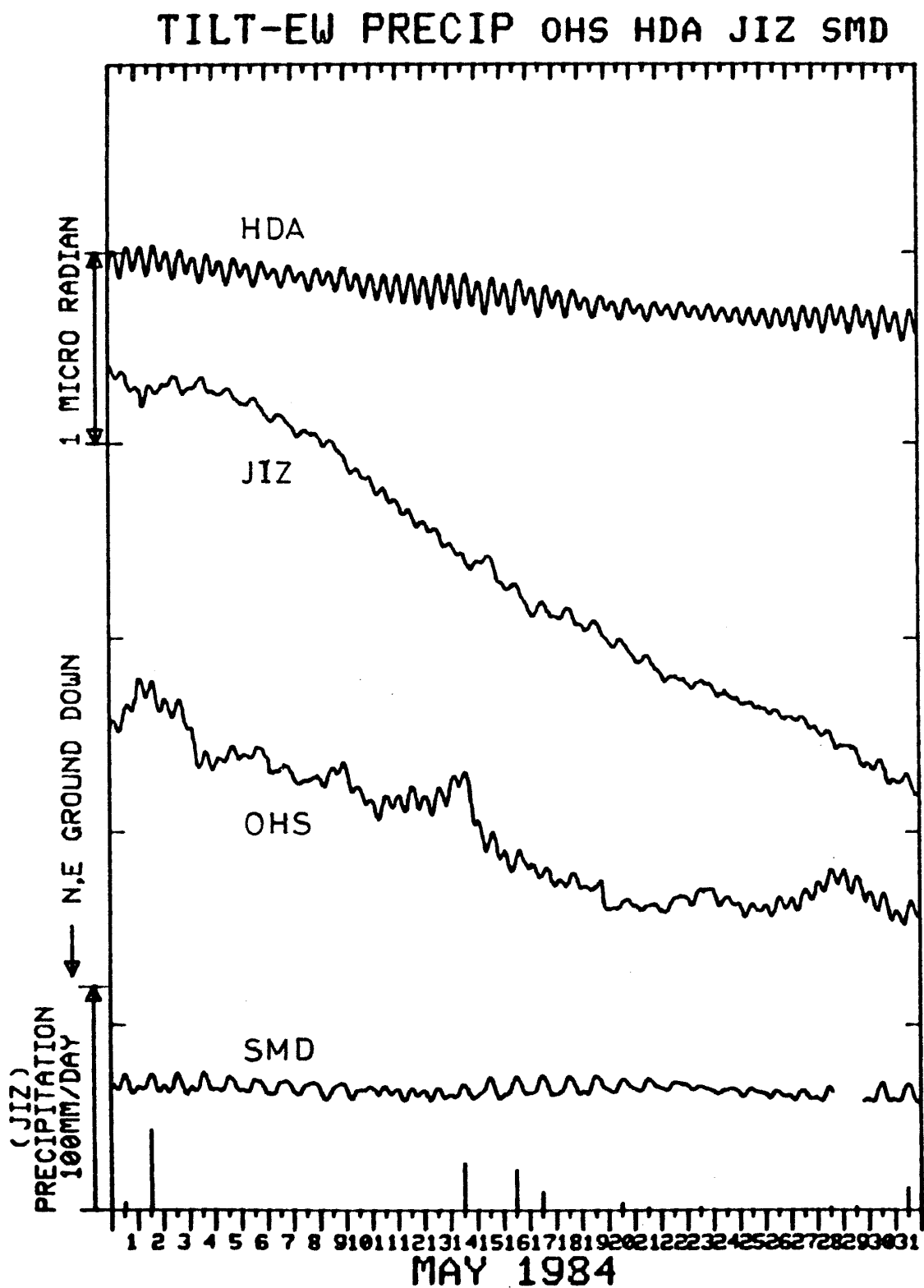


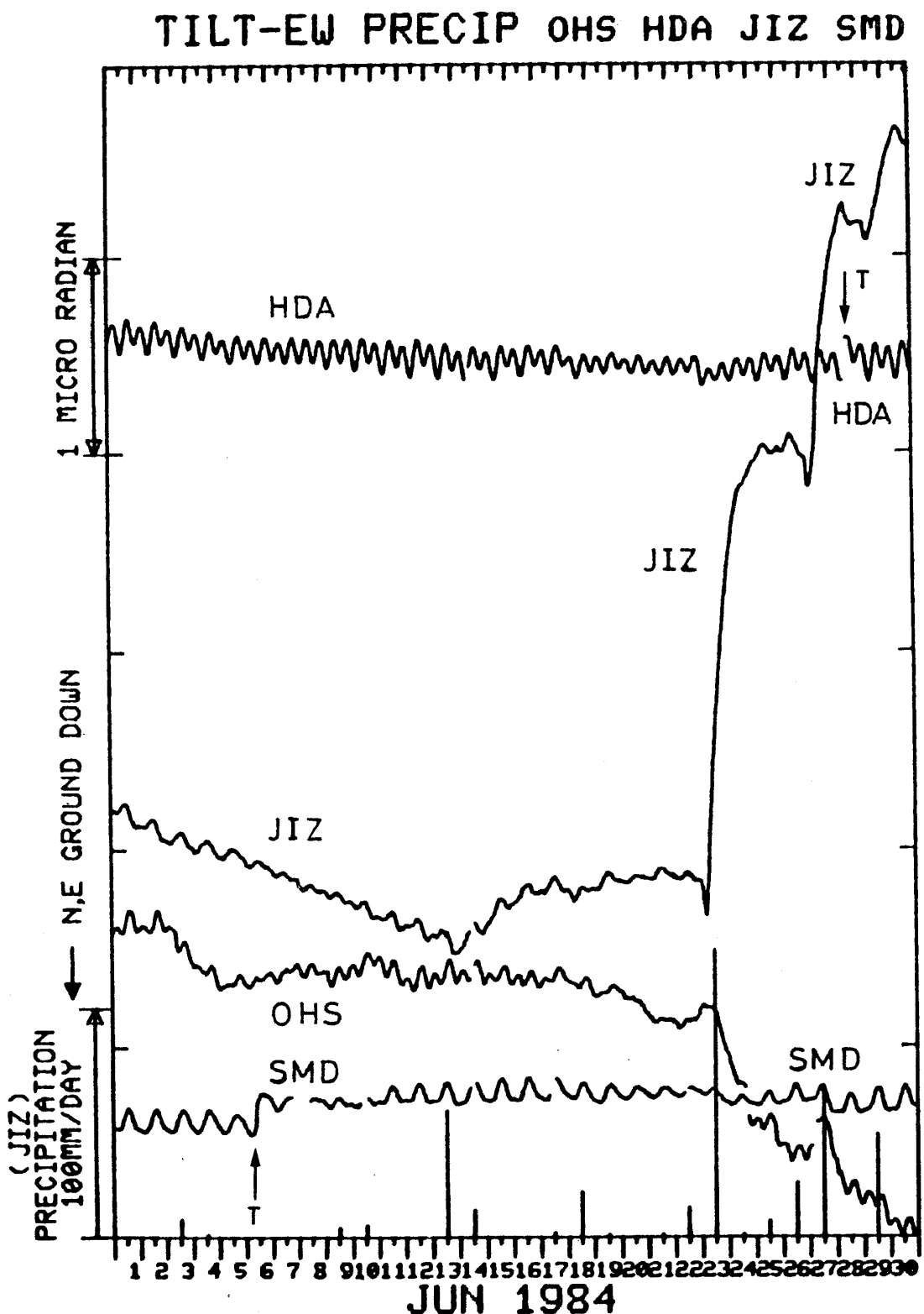
6 D 大須賀(OHS)・戸田(HDA)・中伊豆(JIZ)・下田(SMD)の傾斜EW成分と中伊豆の日雨量  
Crustal tilt in EW-comp. at Ohsuka (OHS), Heda (HDA), Nakaizu (JIZ), Shimoda (SMD) and the daily precipitation at Nakaizu.

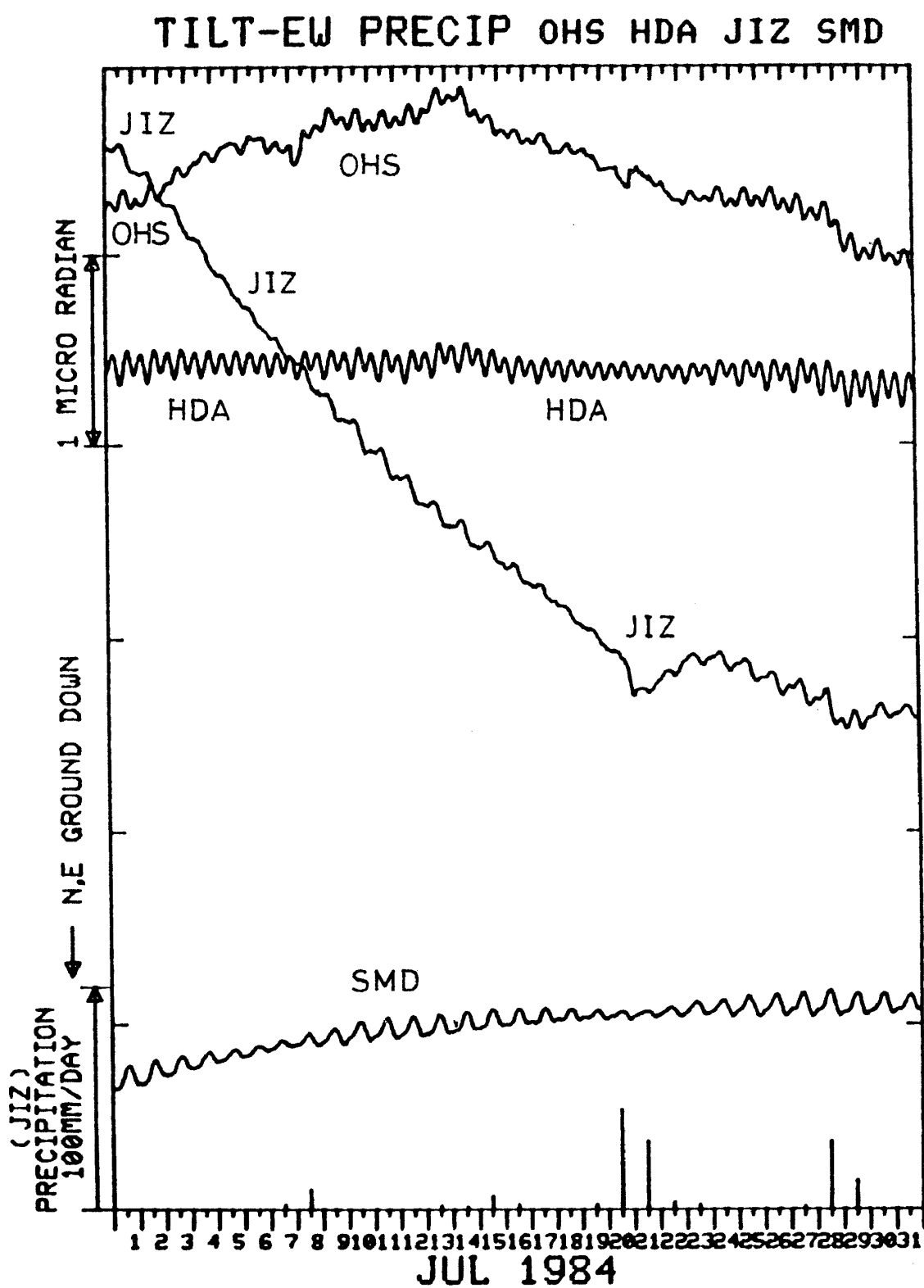


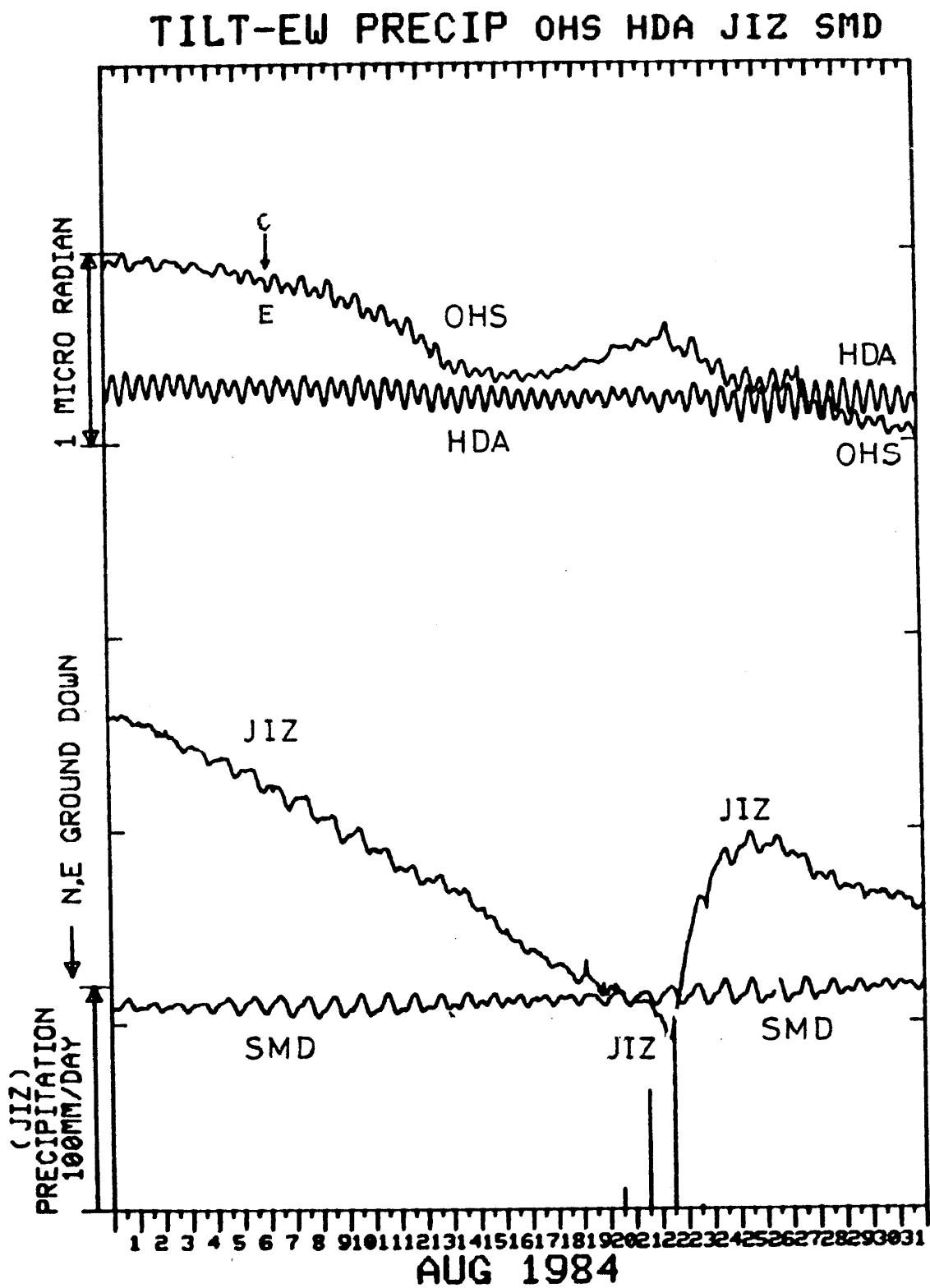


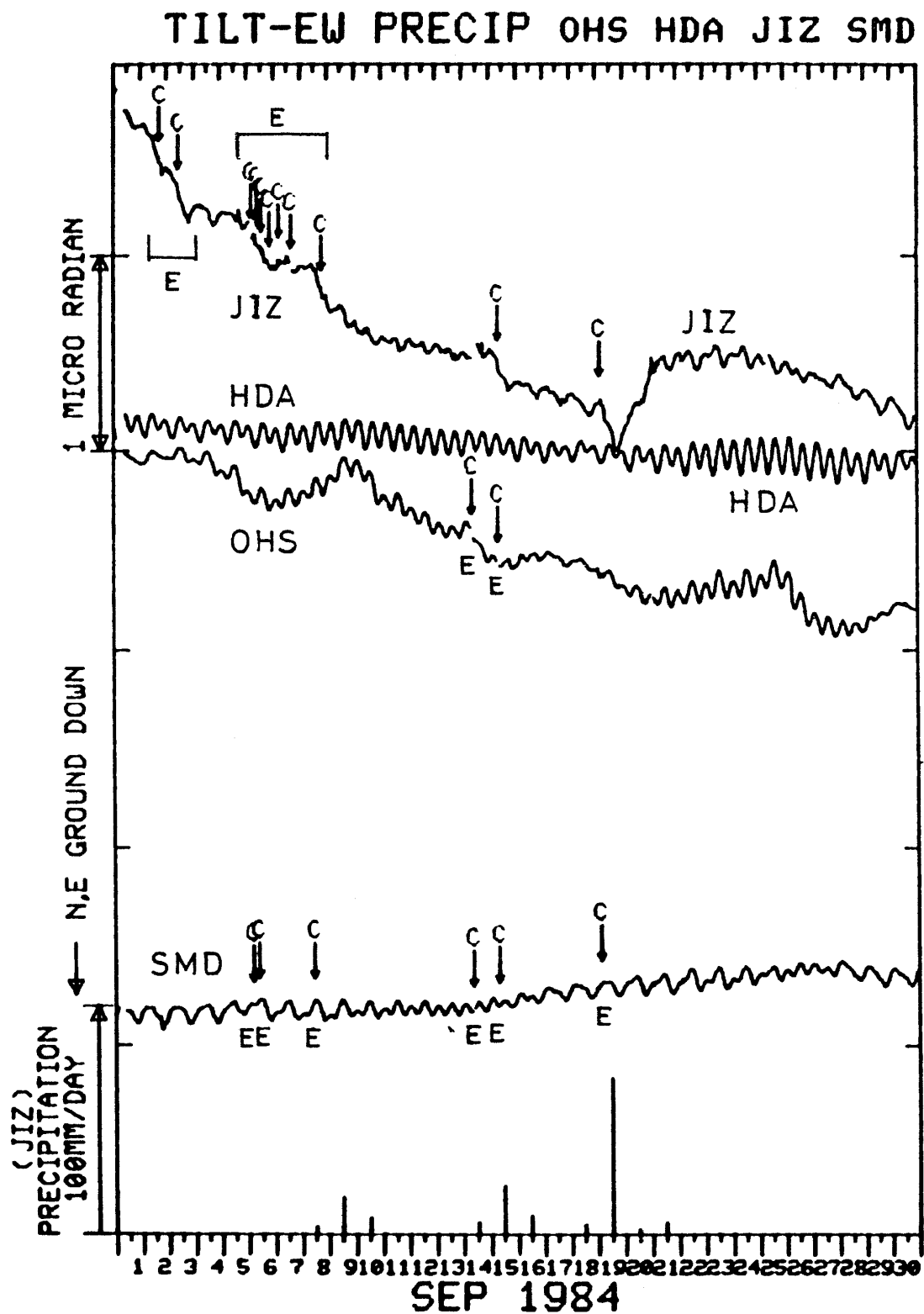


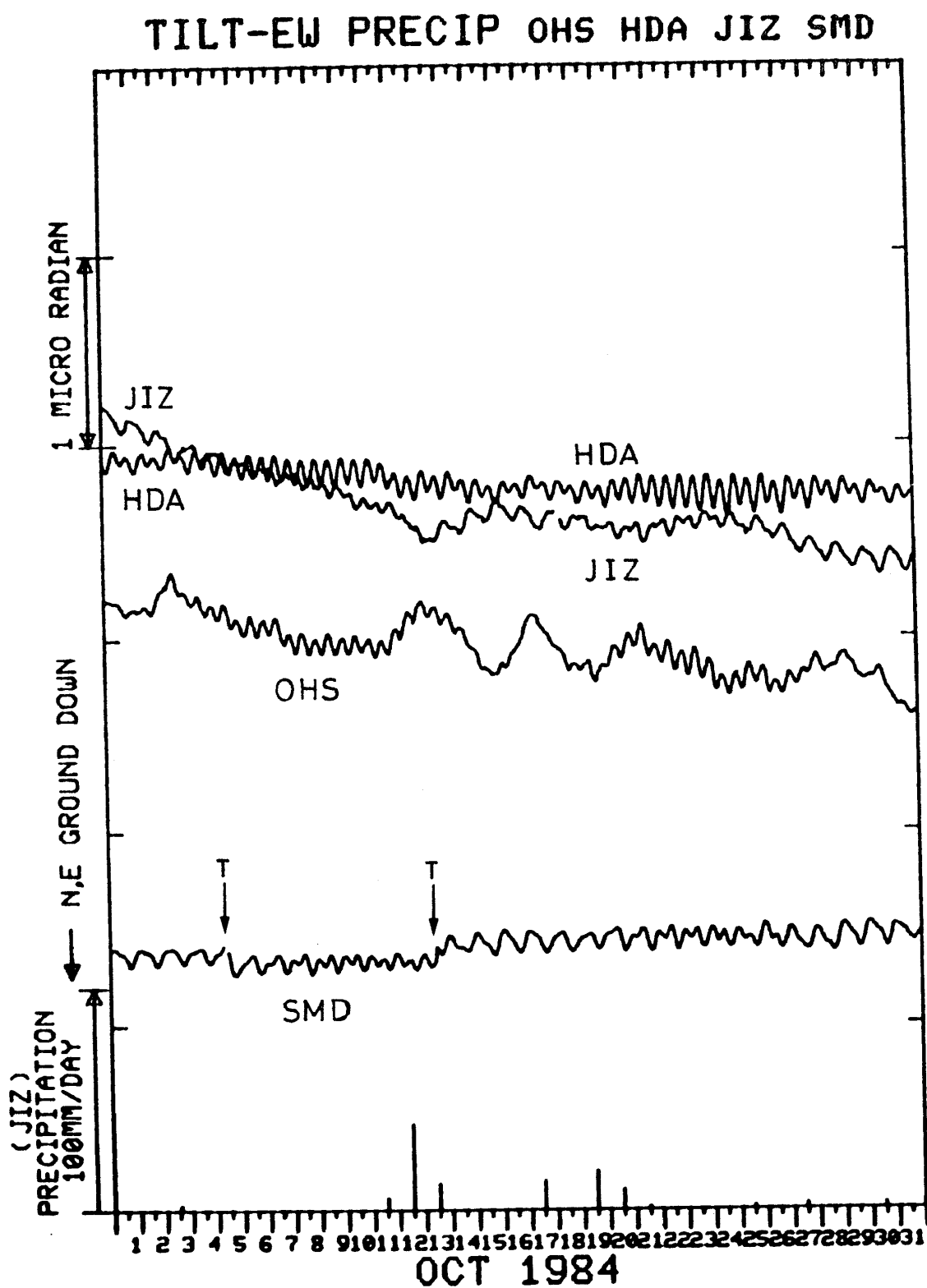


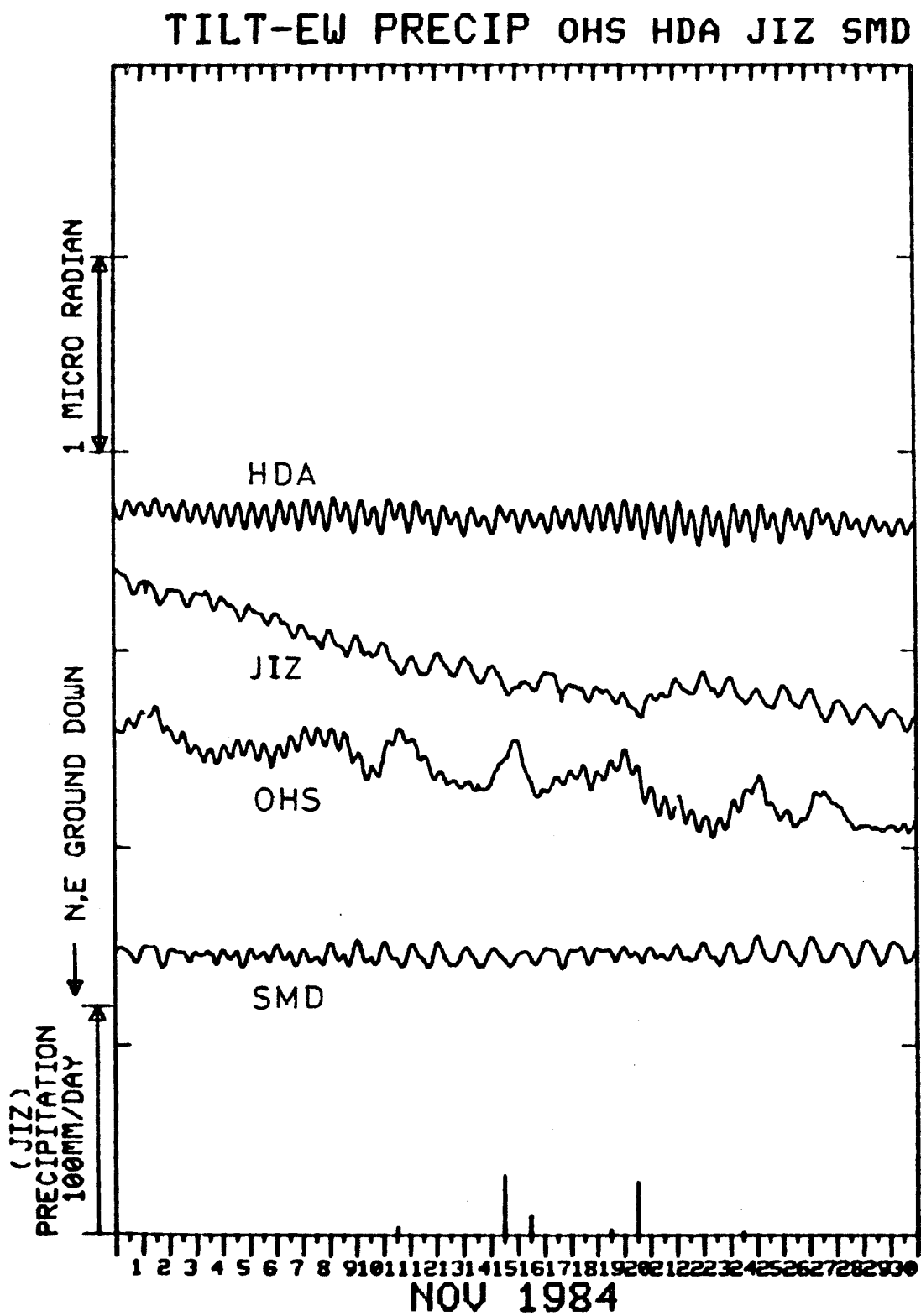


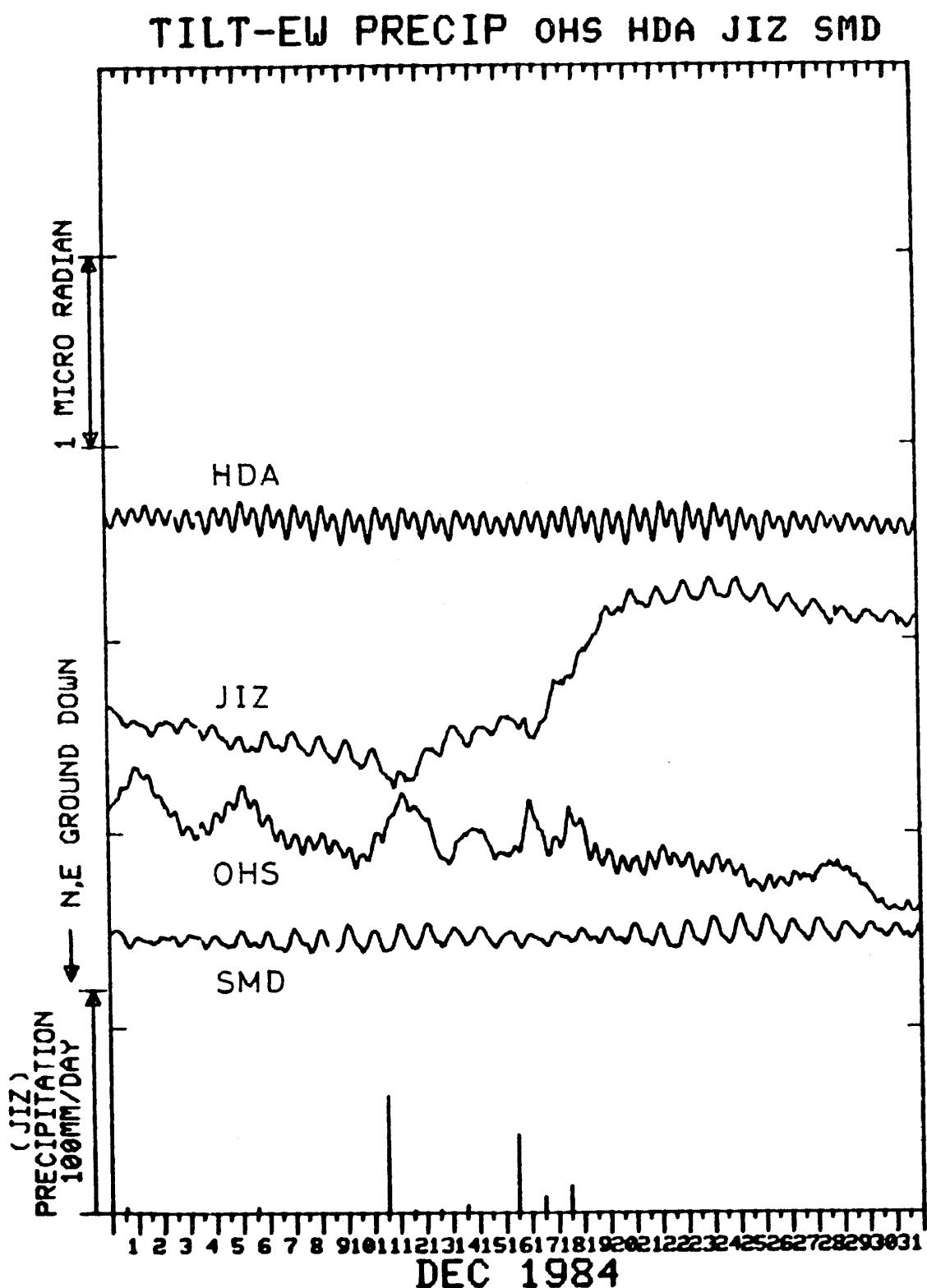


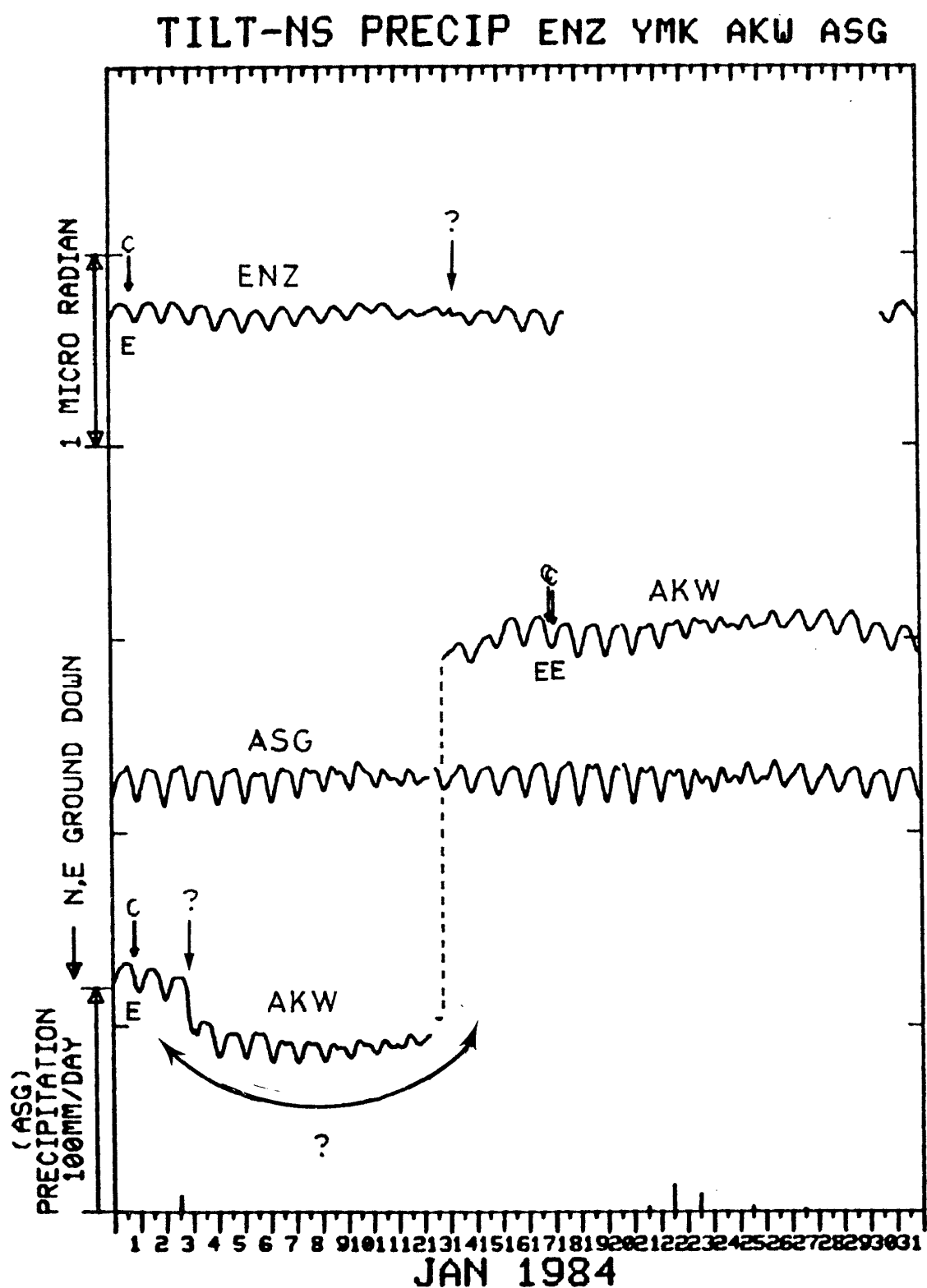






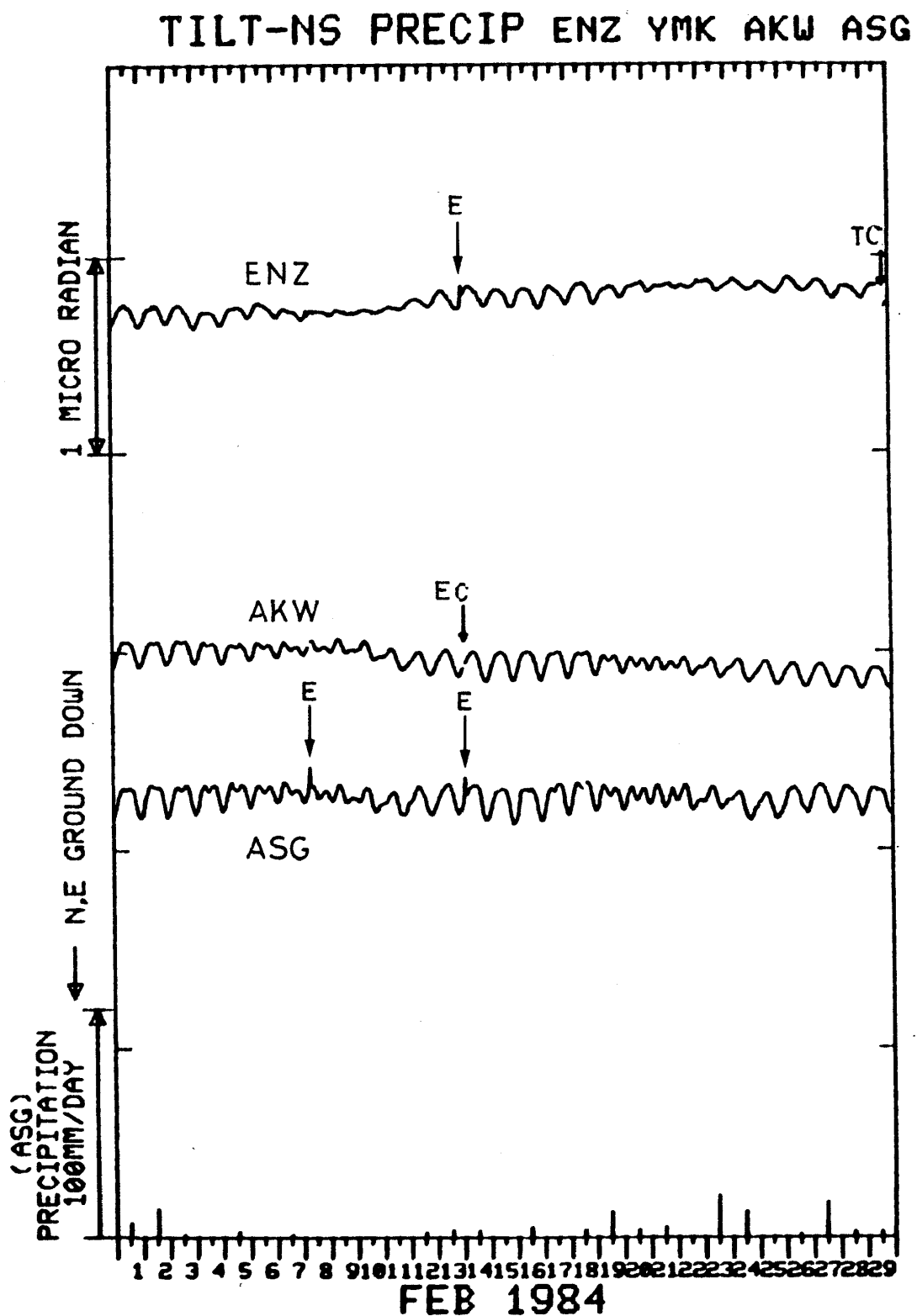


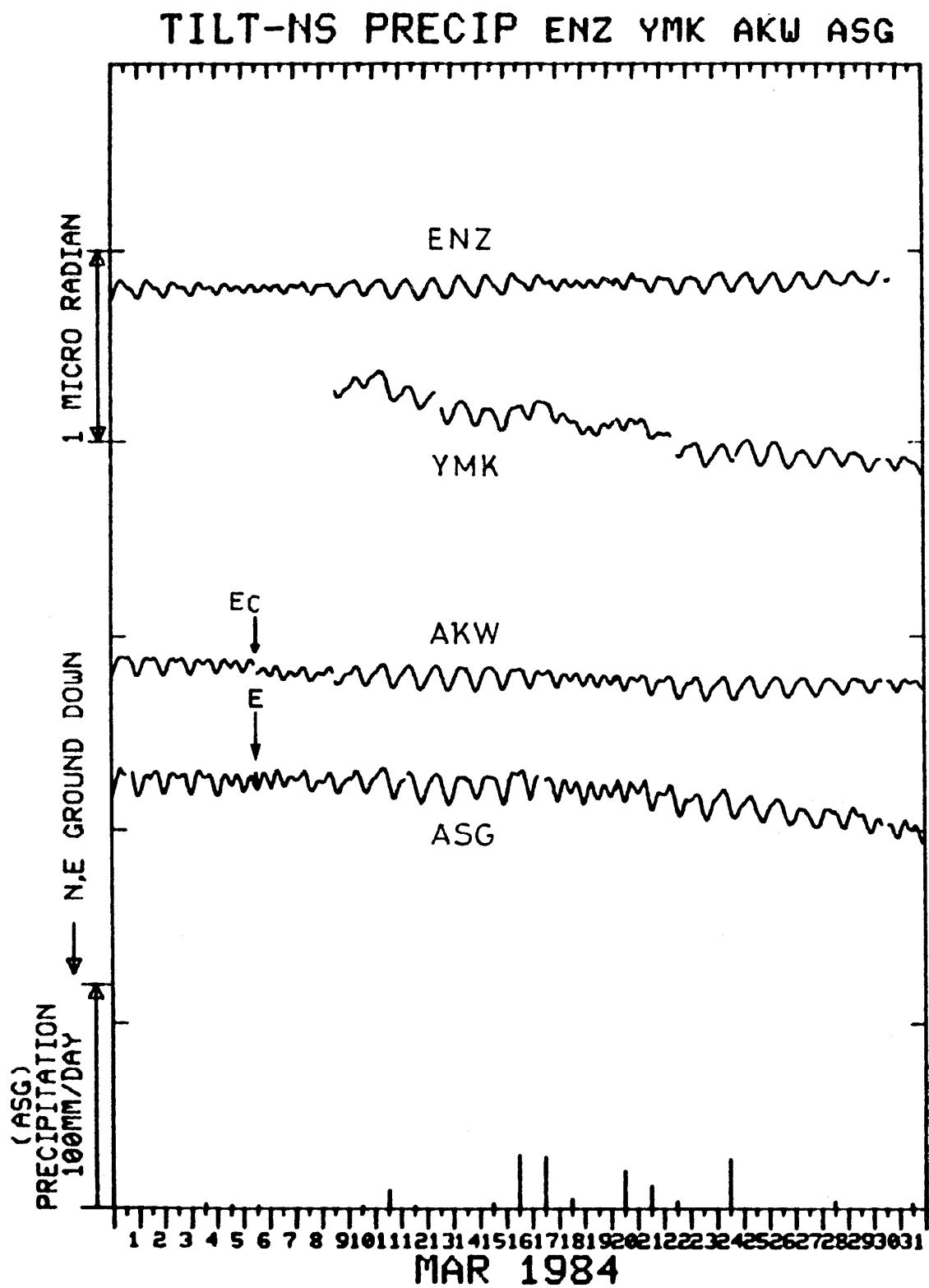


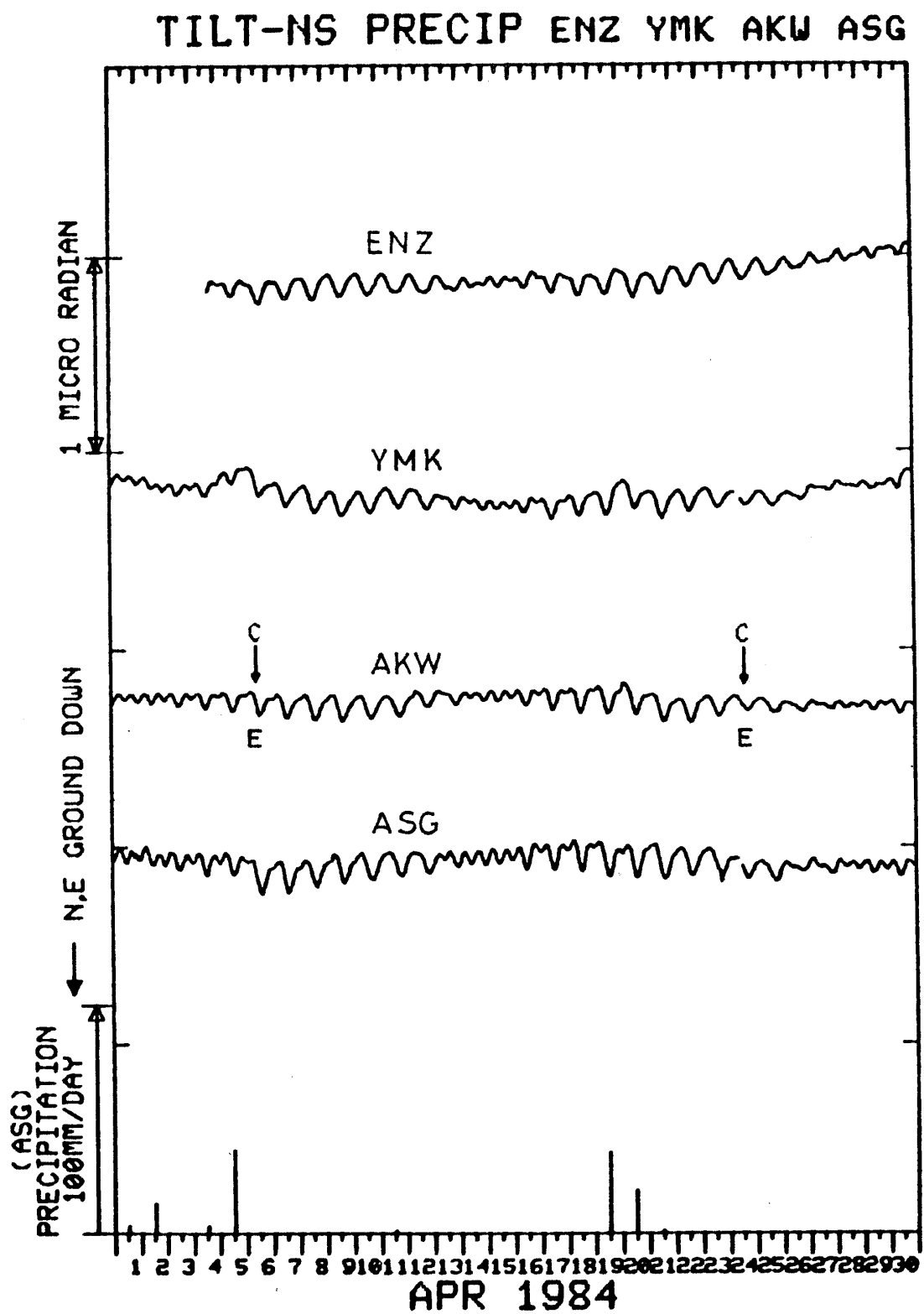


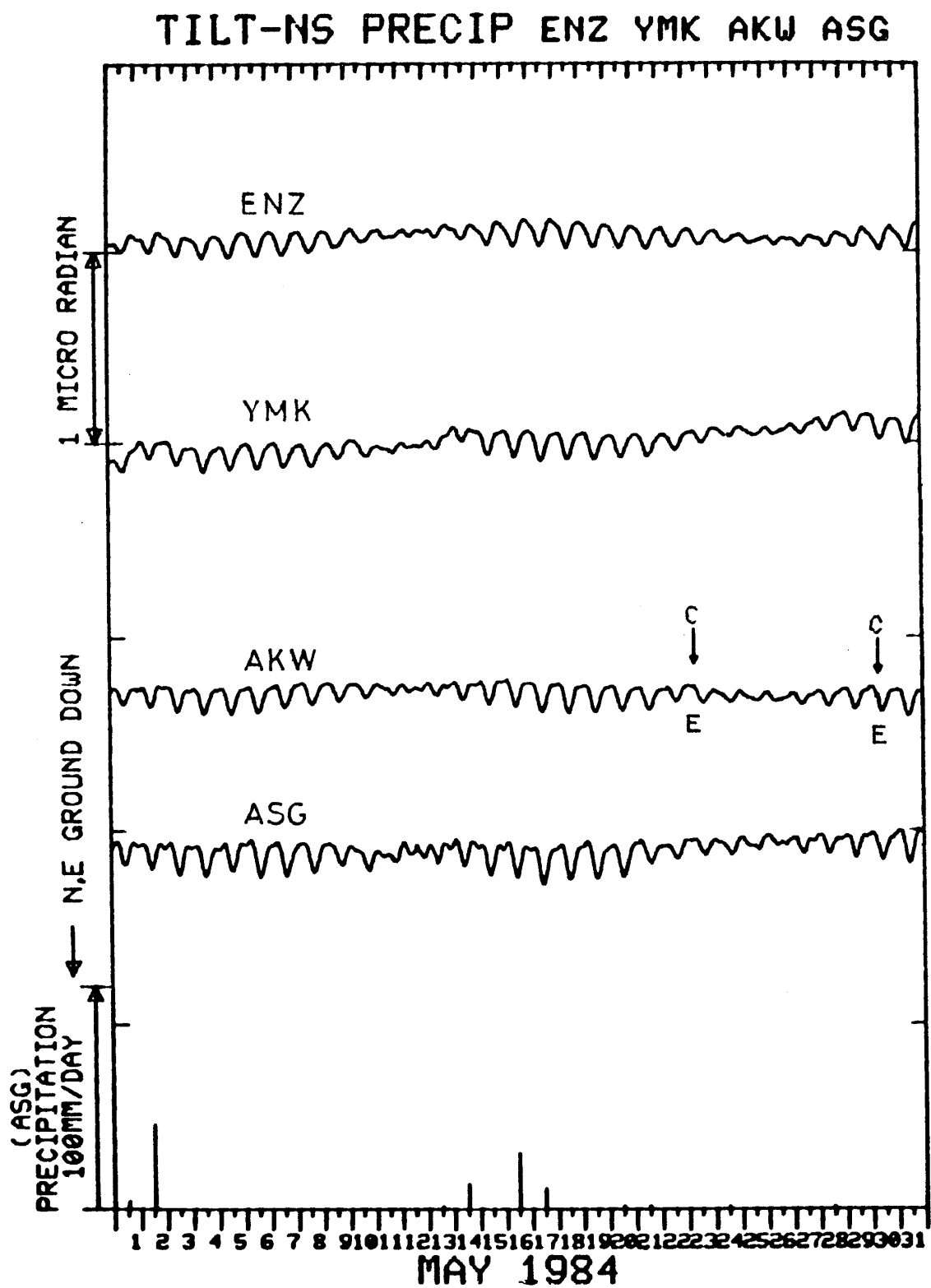
6 E 塩山 (ENZ)・山北 (YMK)・愛川 (AKW)・南足柄 (ASG) の傾斜NS成分と南足柄の日雨量

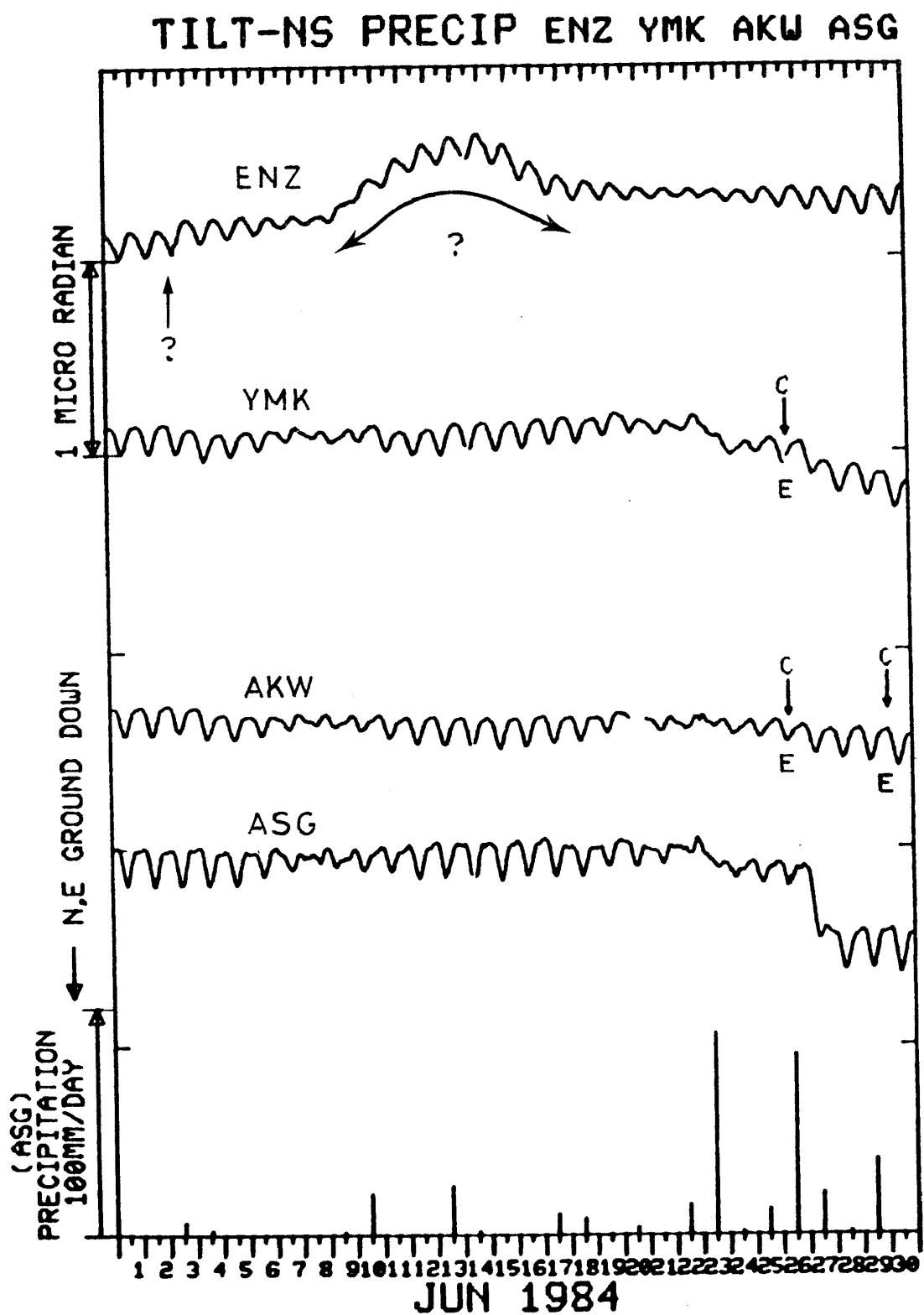
Crustal tilt in NS-comp. at Enzan (ENZ), Yamakita (YMK), Aikawa (AKW), Minamiashigara (ASG) and the daily precipitation at Minamiashigara.

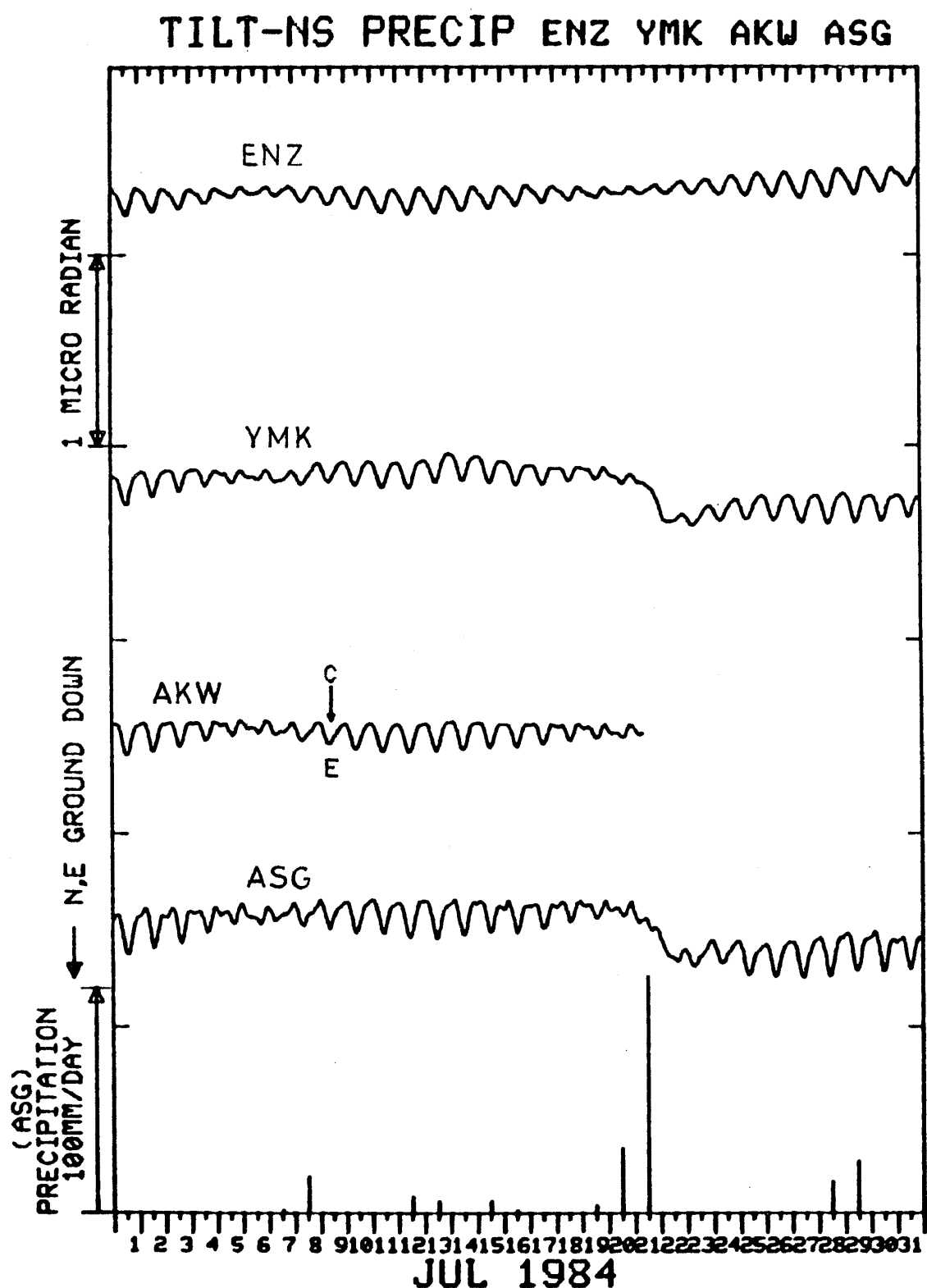


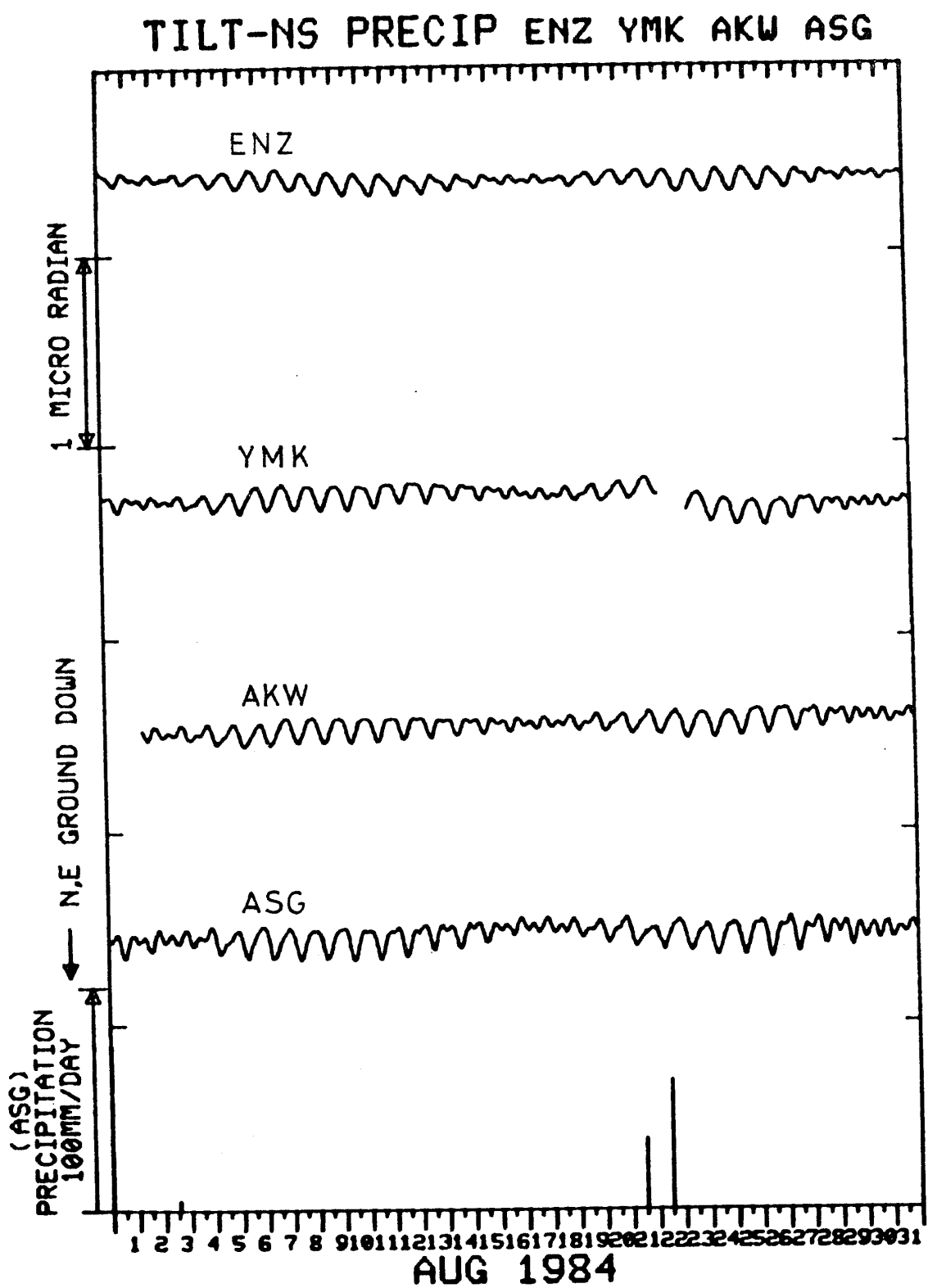


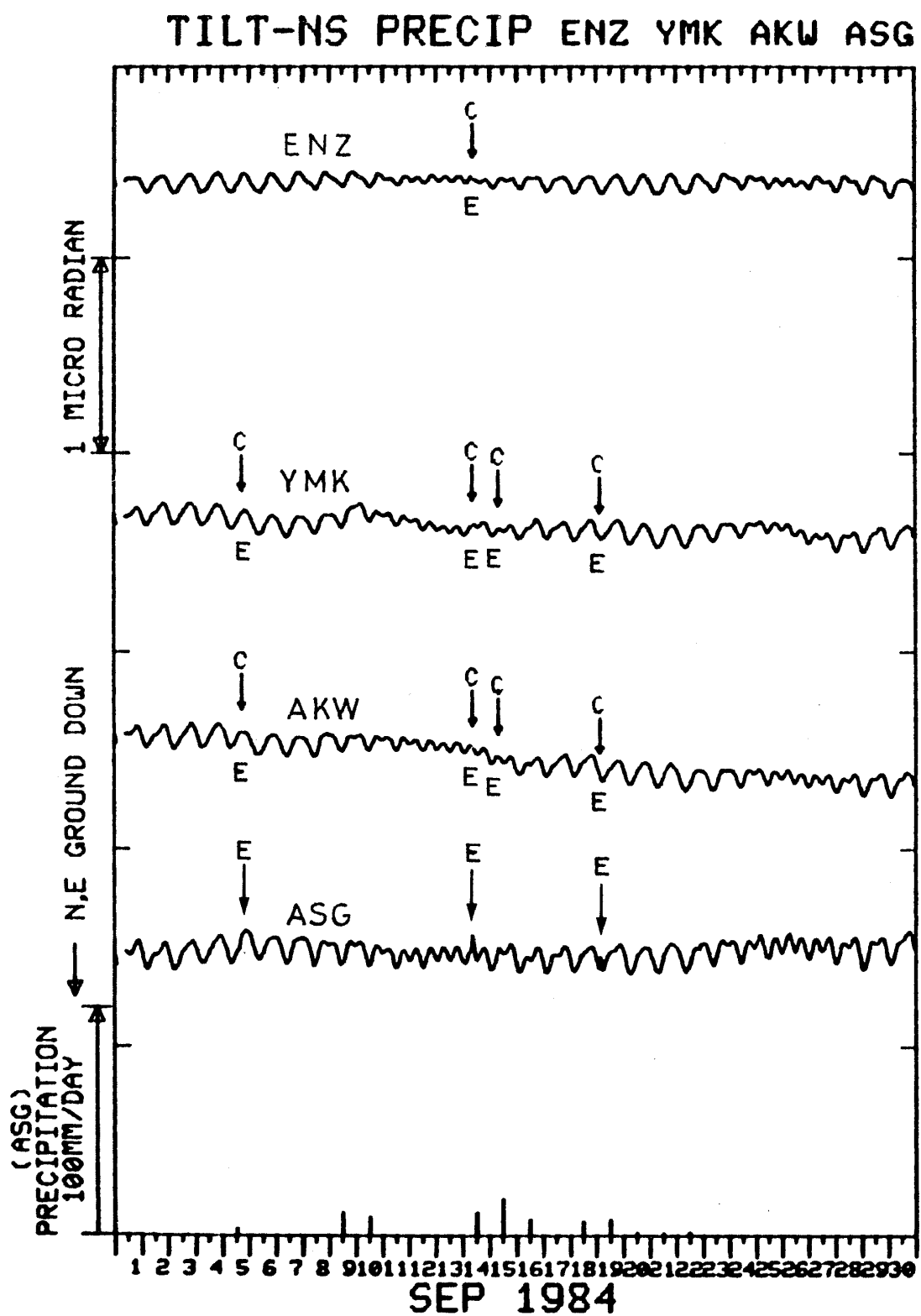


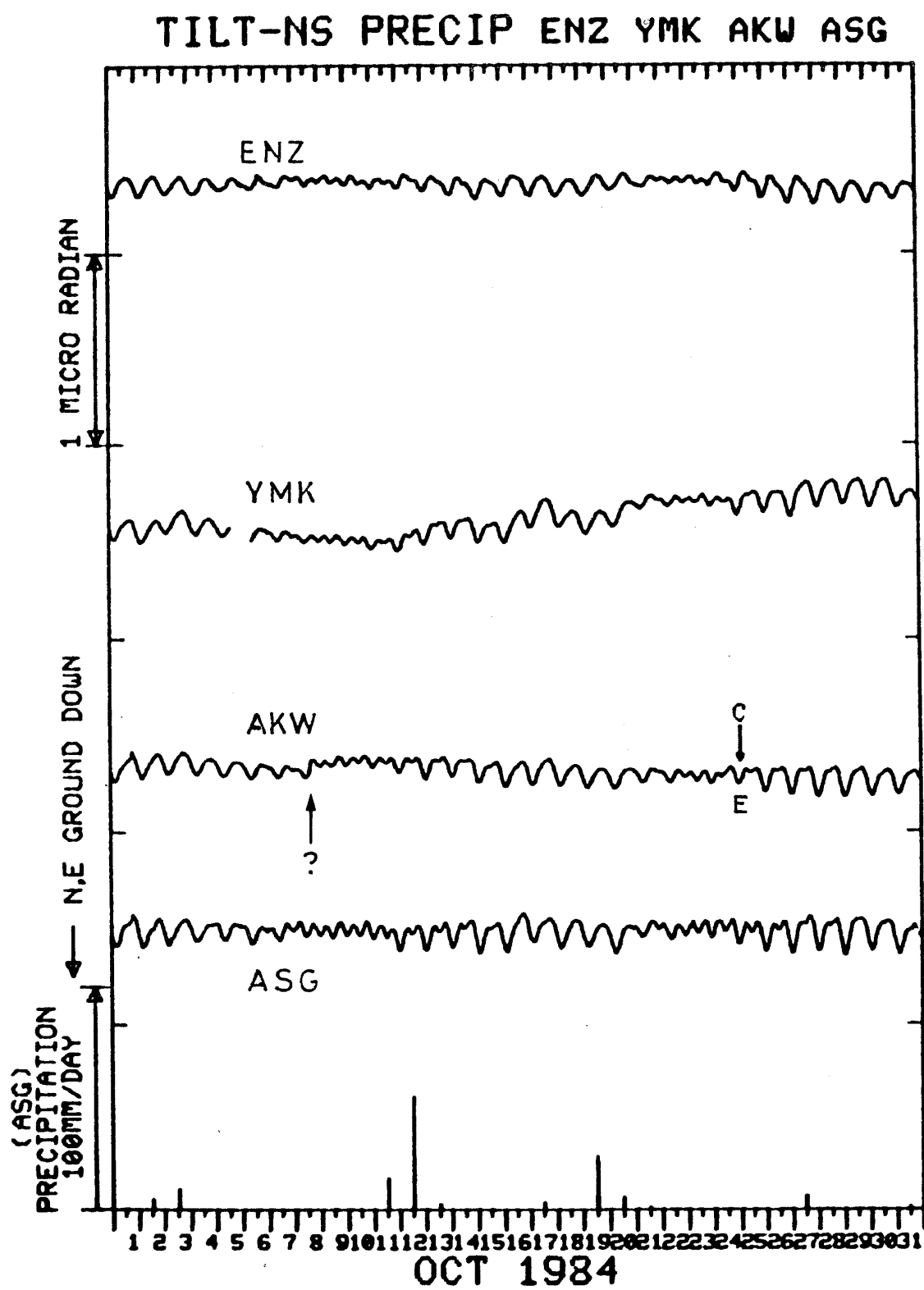


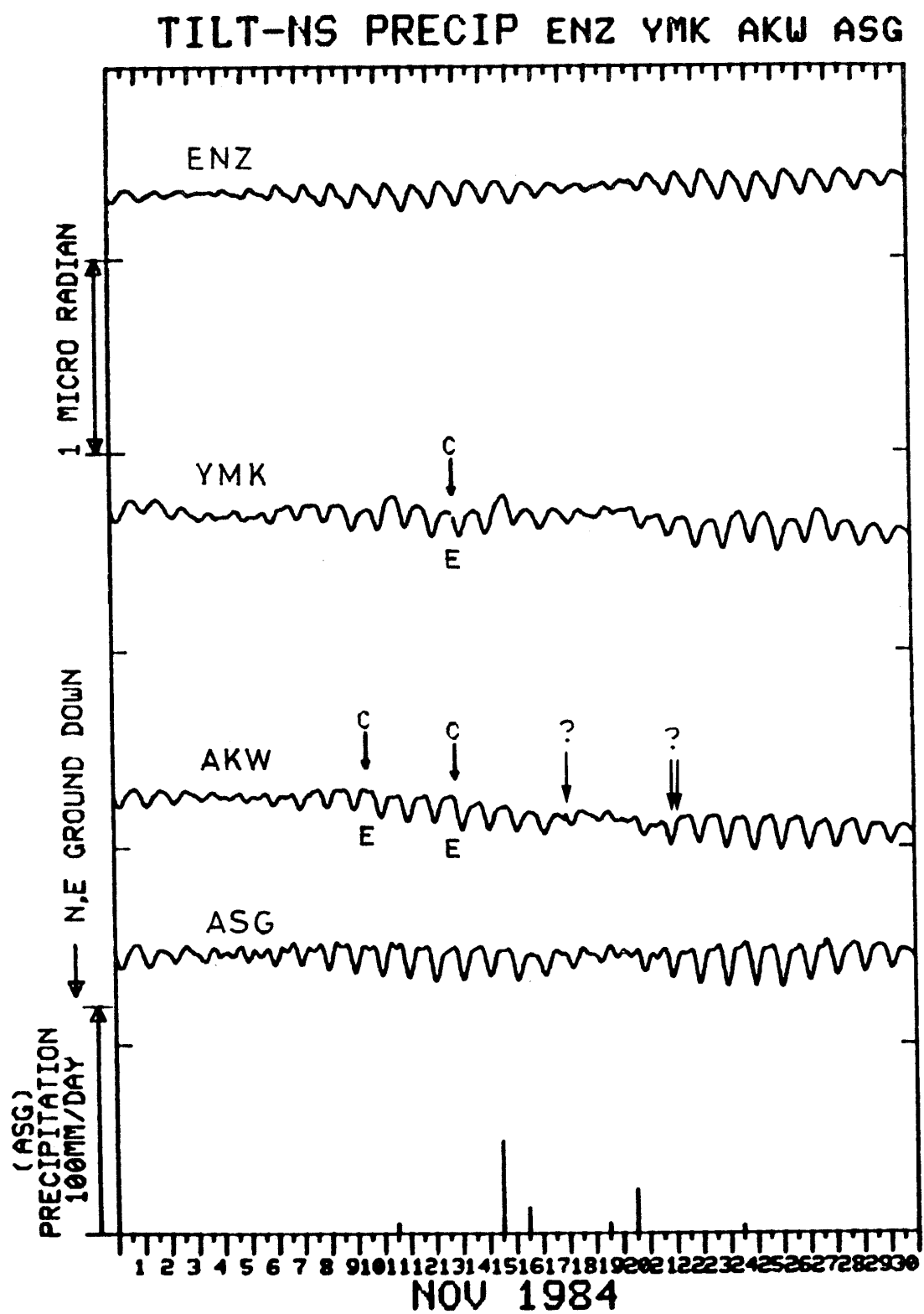


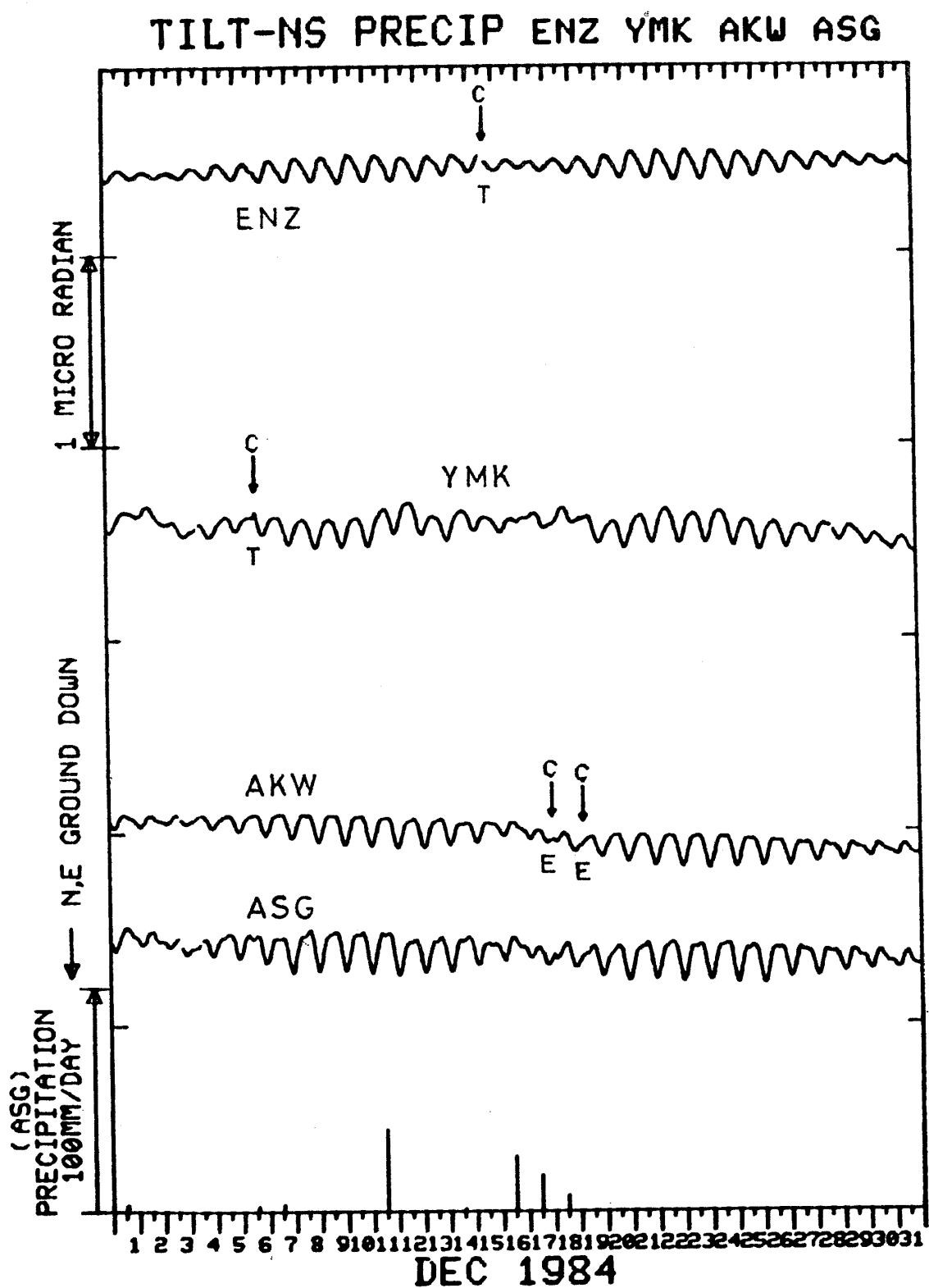


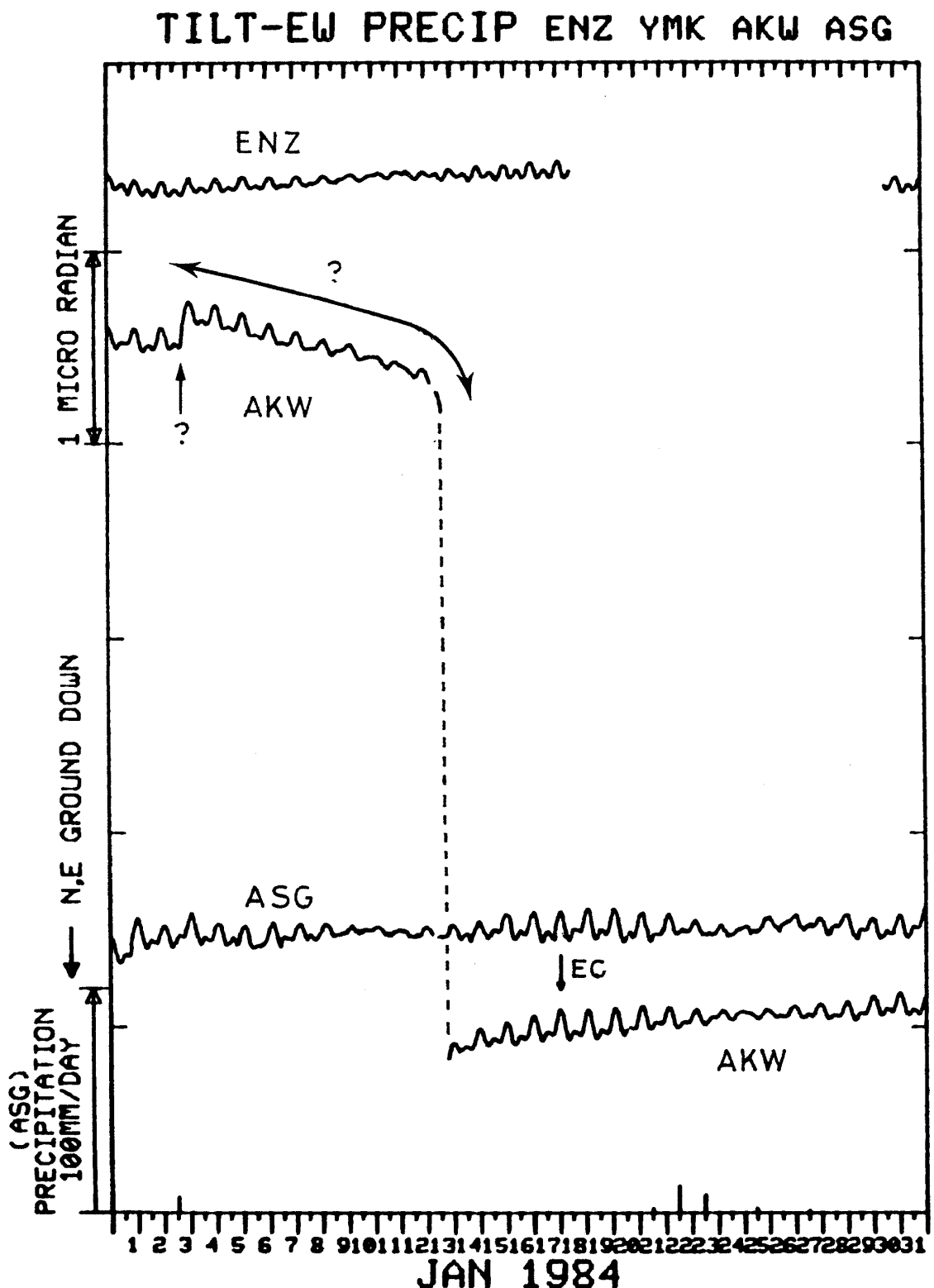






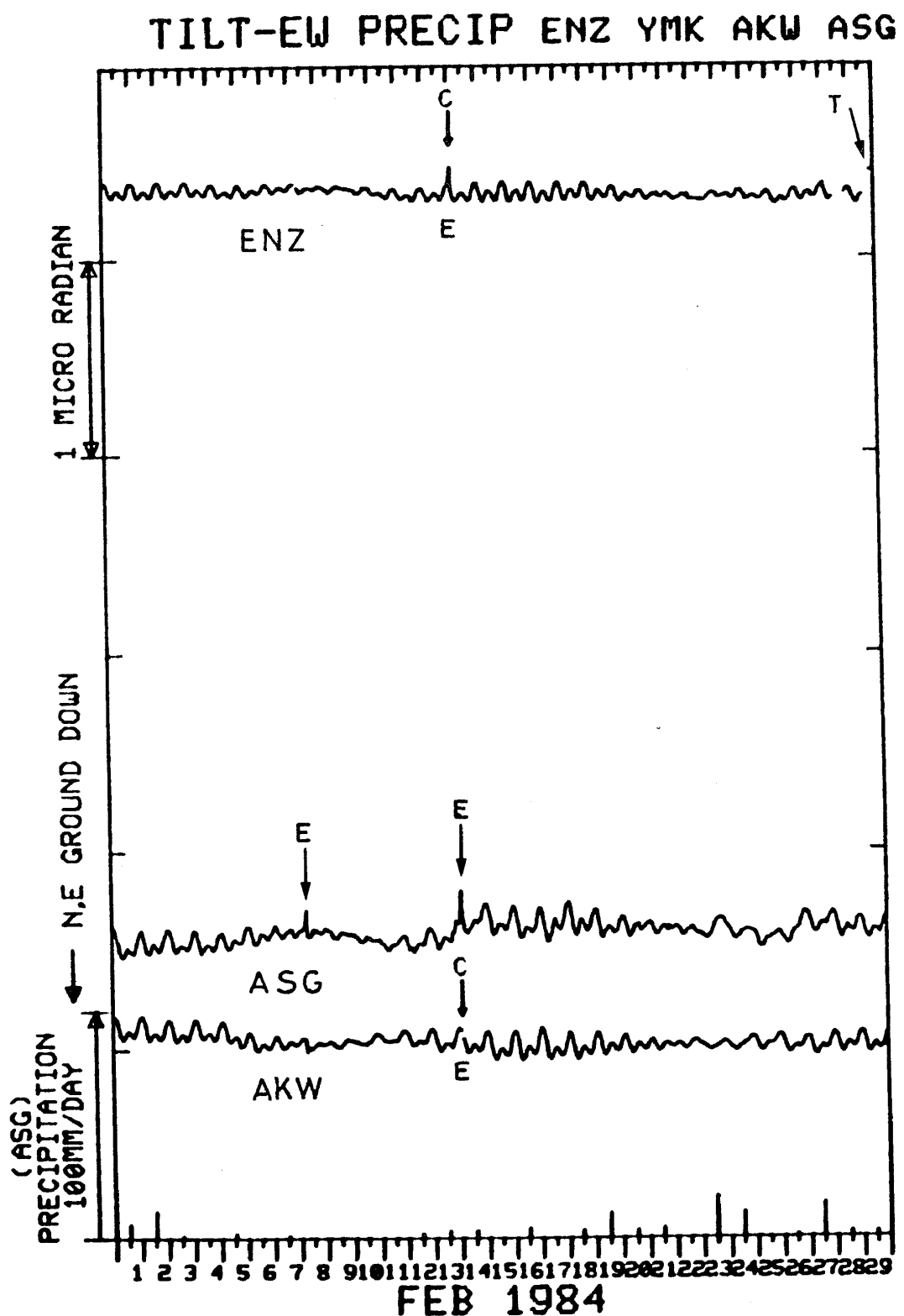


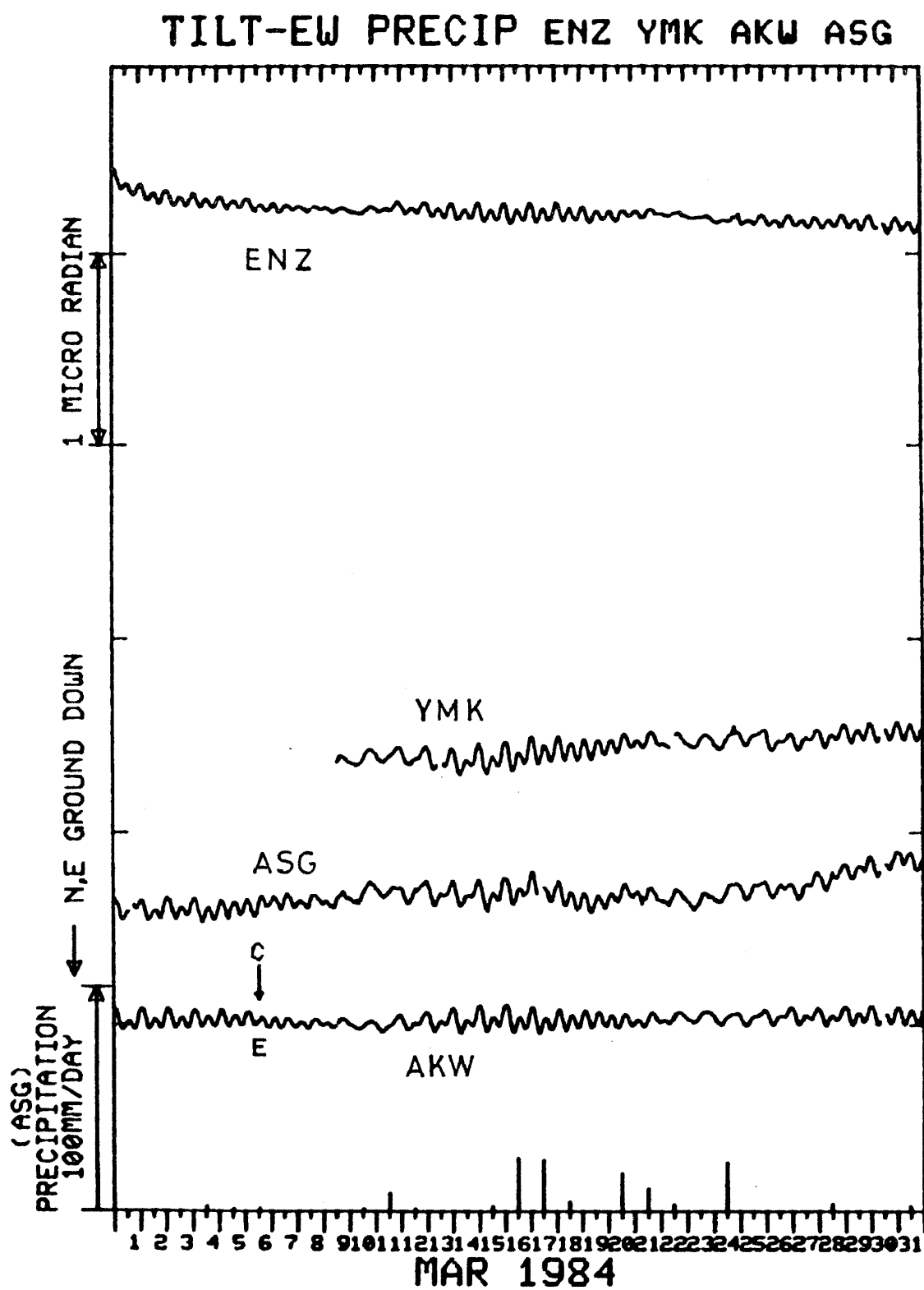


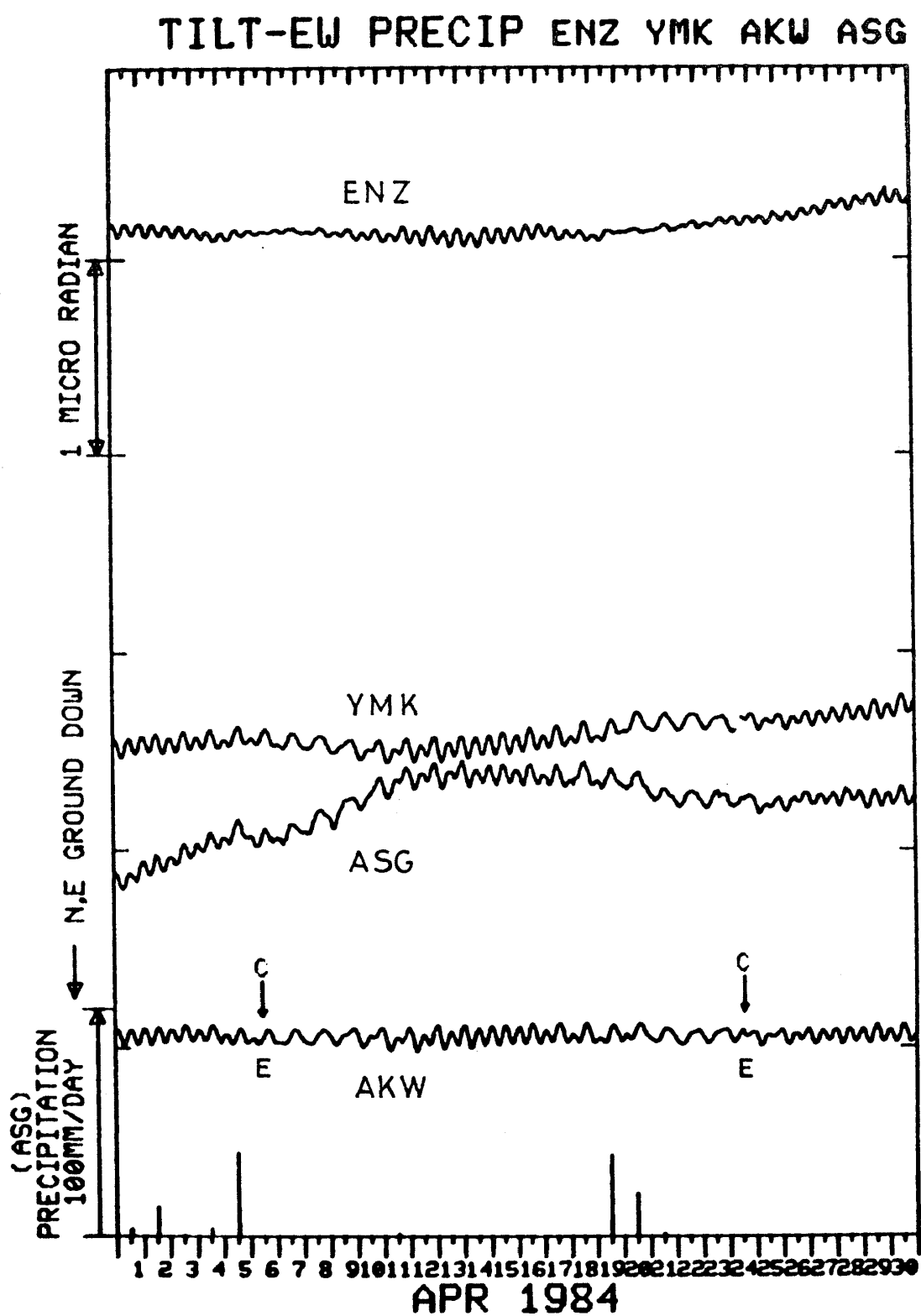


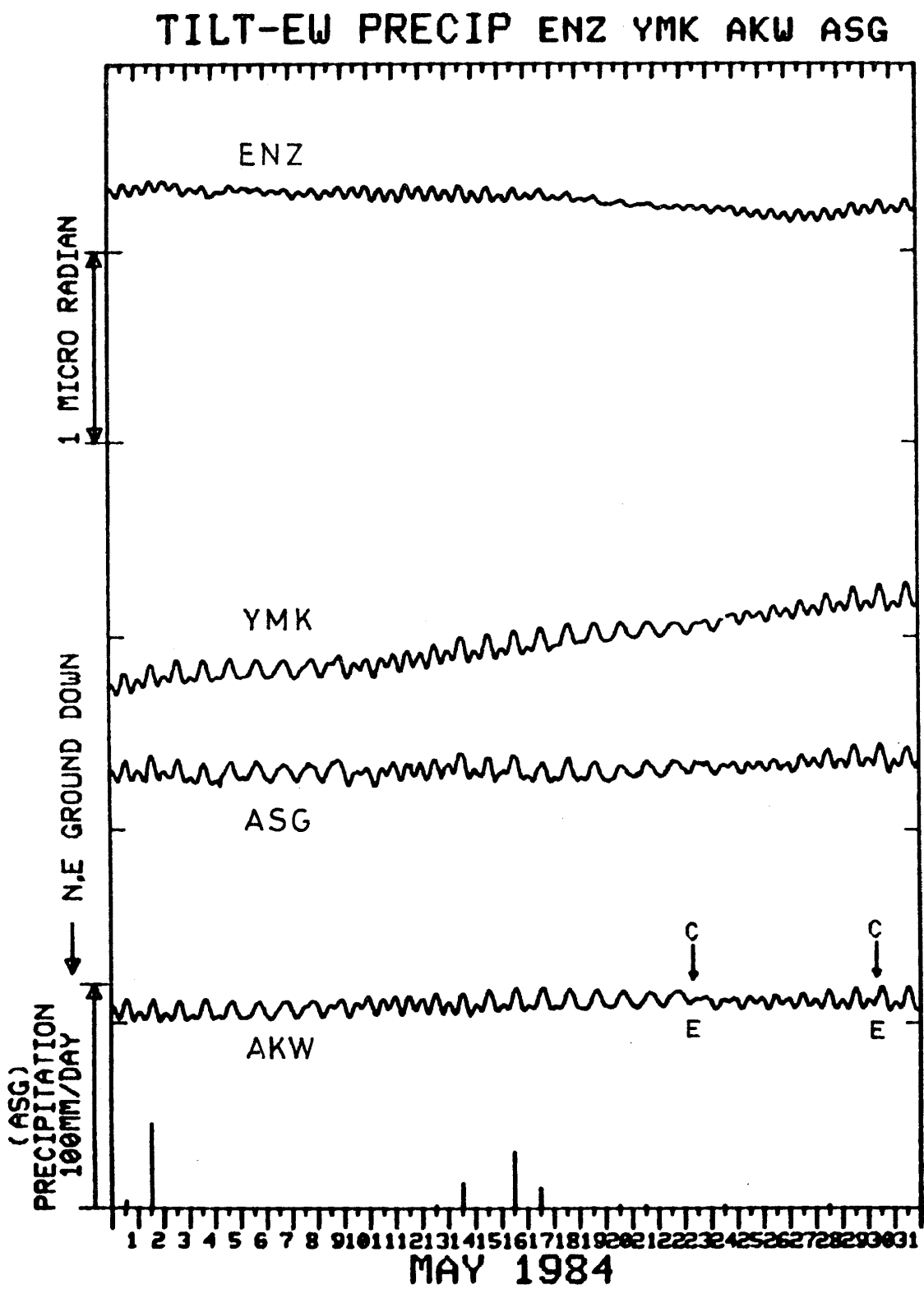
6 F 塩山(ENZ)・山北(YMK)・愛川(AKW)・南足柄(ASG)の傾斜EW成分と南足柄の日雨量

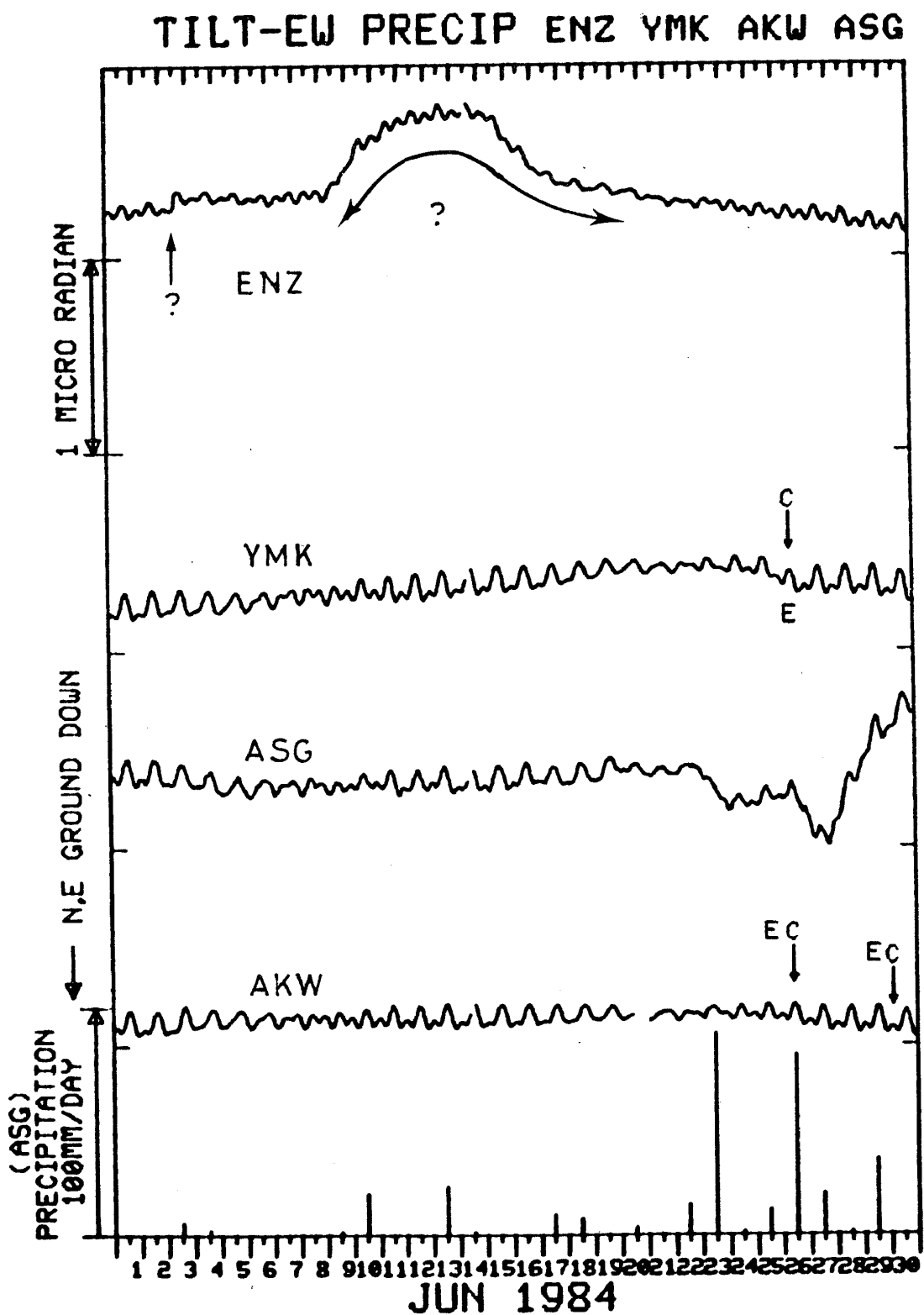
Crustal tilt in EW-comp. at Enzan (ENZ), Yamakita (YMK), Aikawa (AKW), Minamiashigara (ASG) and the daily precipitation at Minamiashigara.

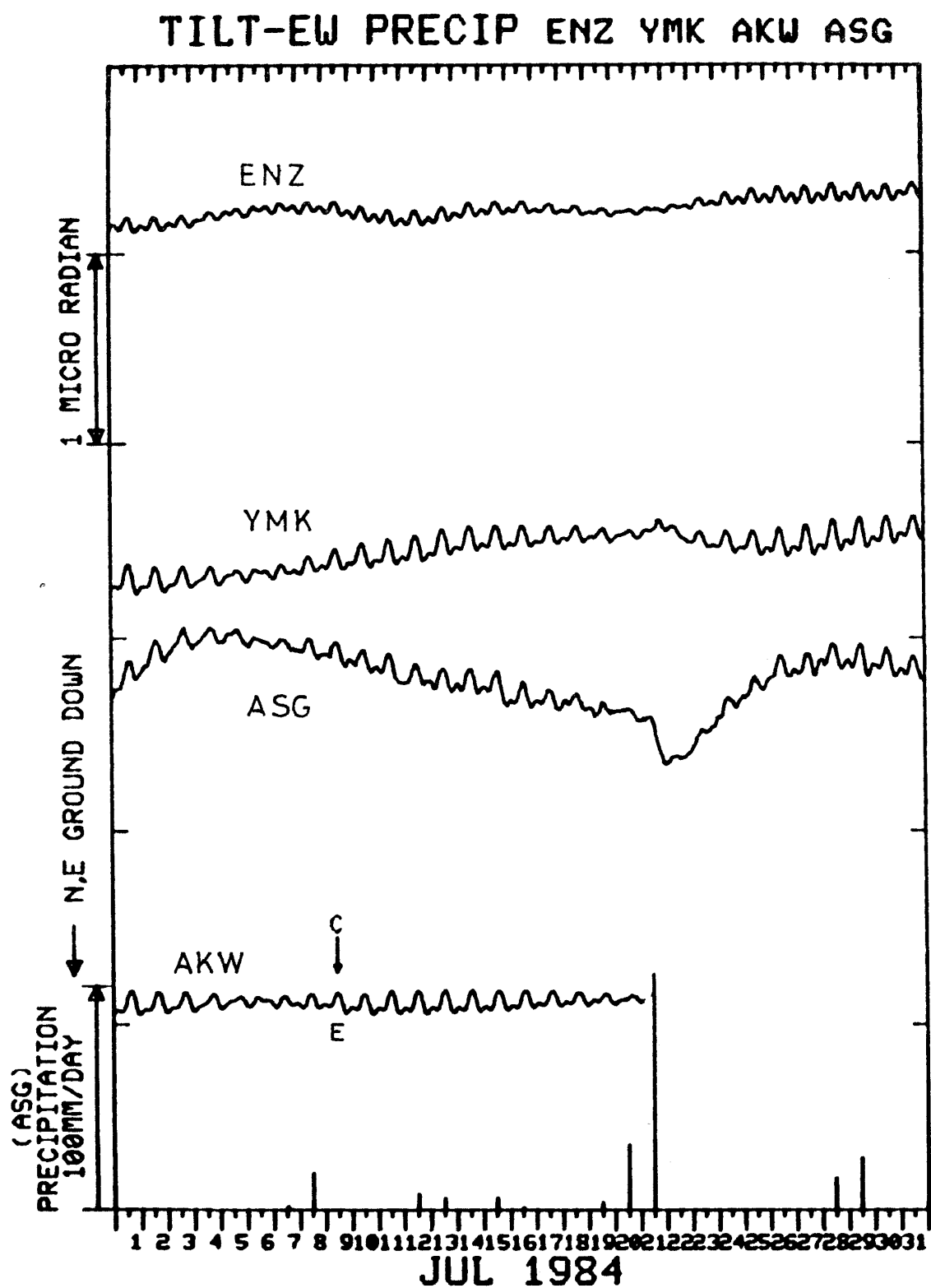


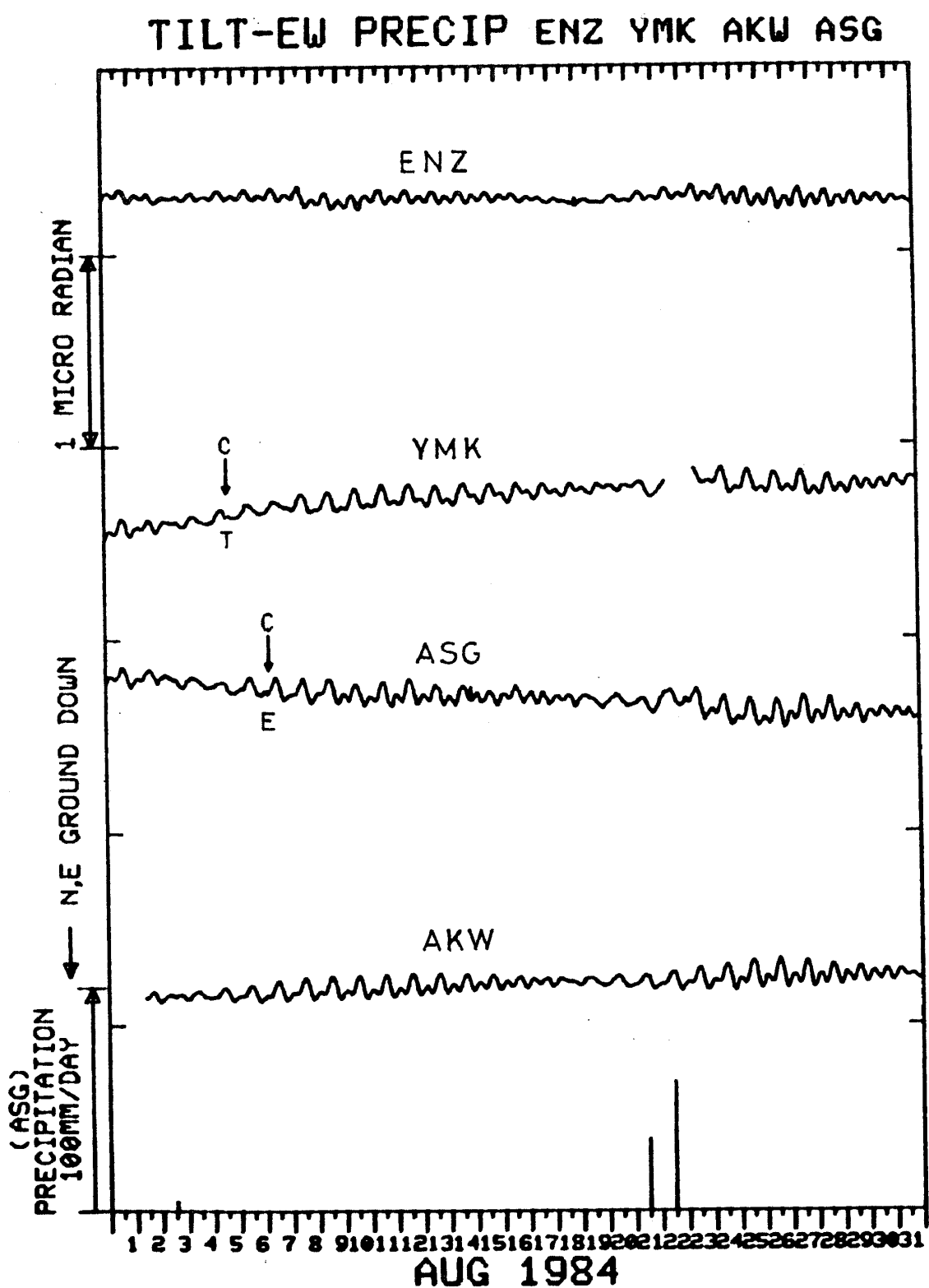


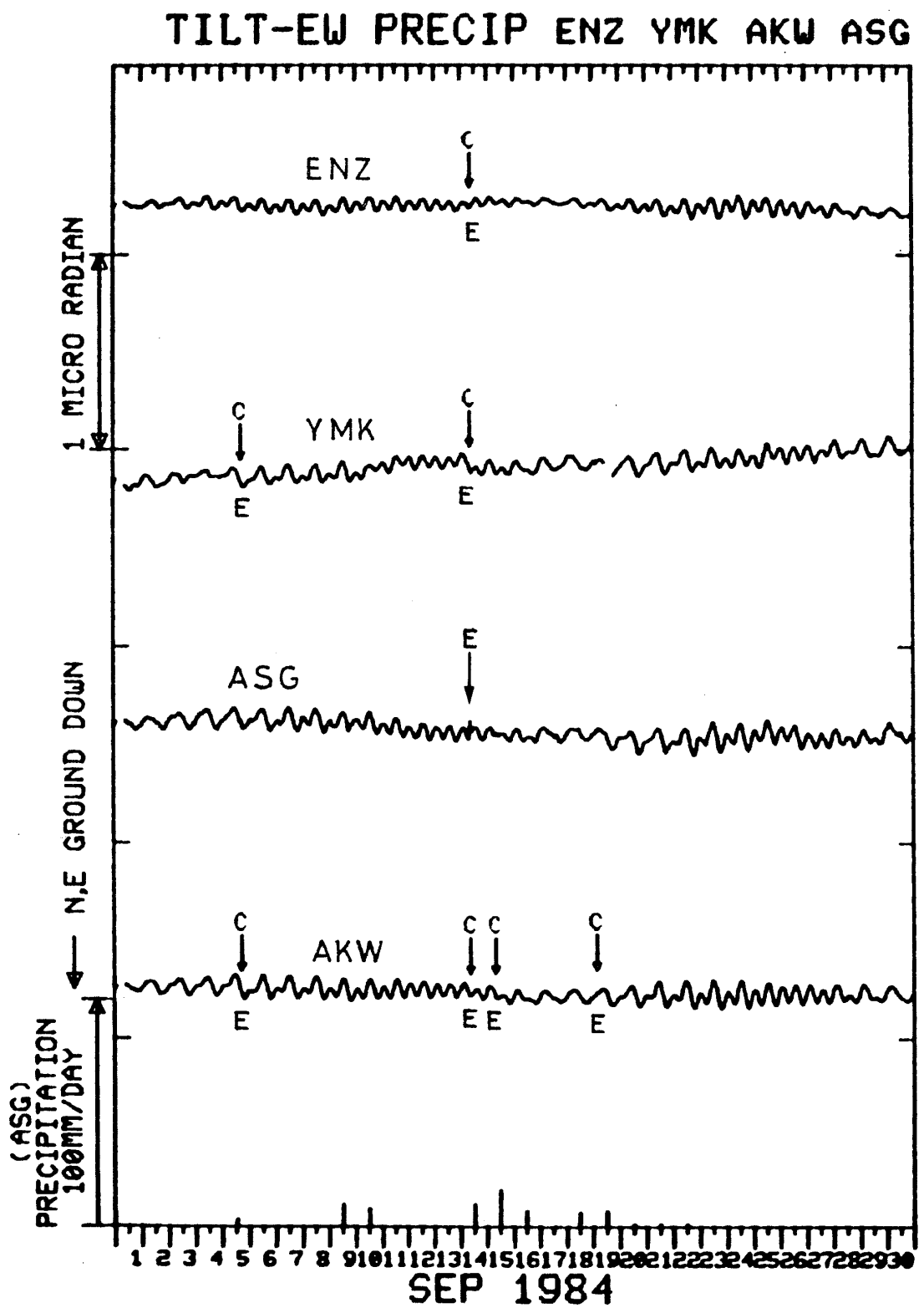


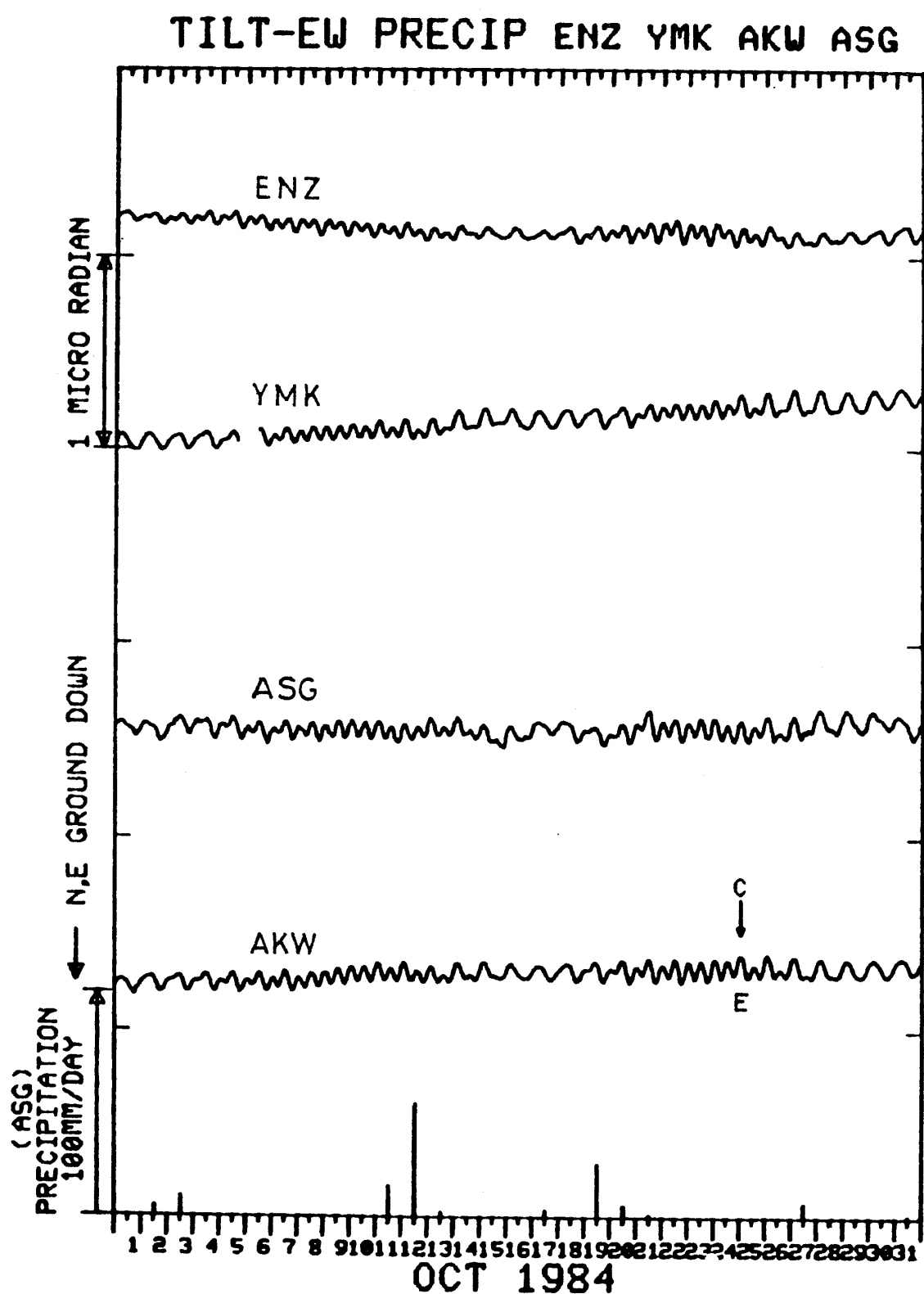


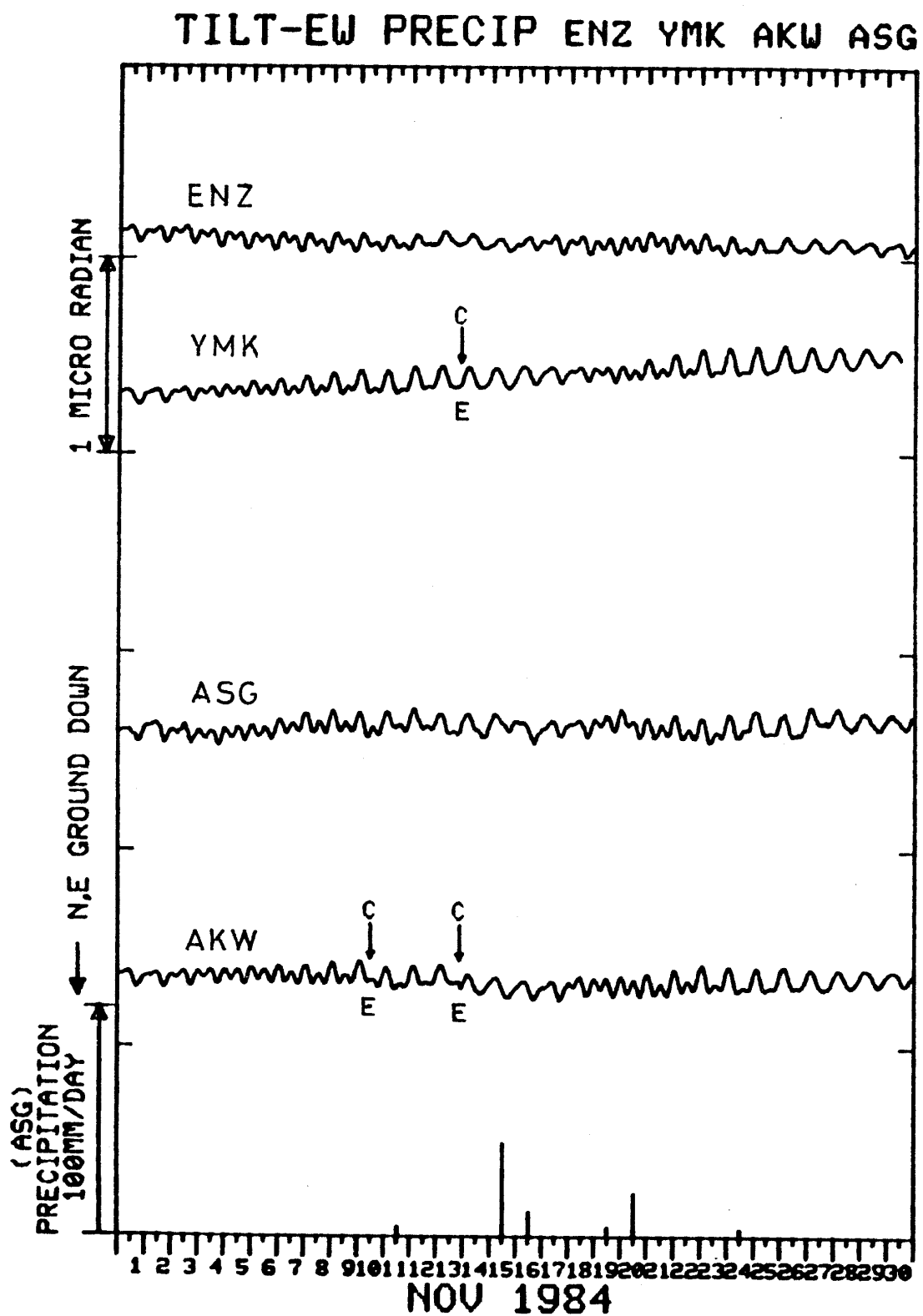


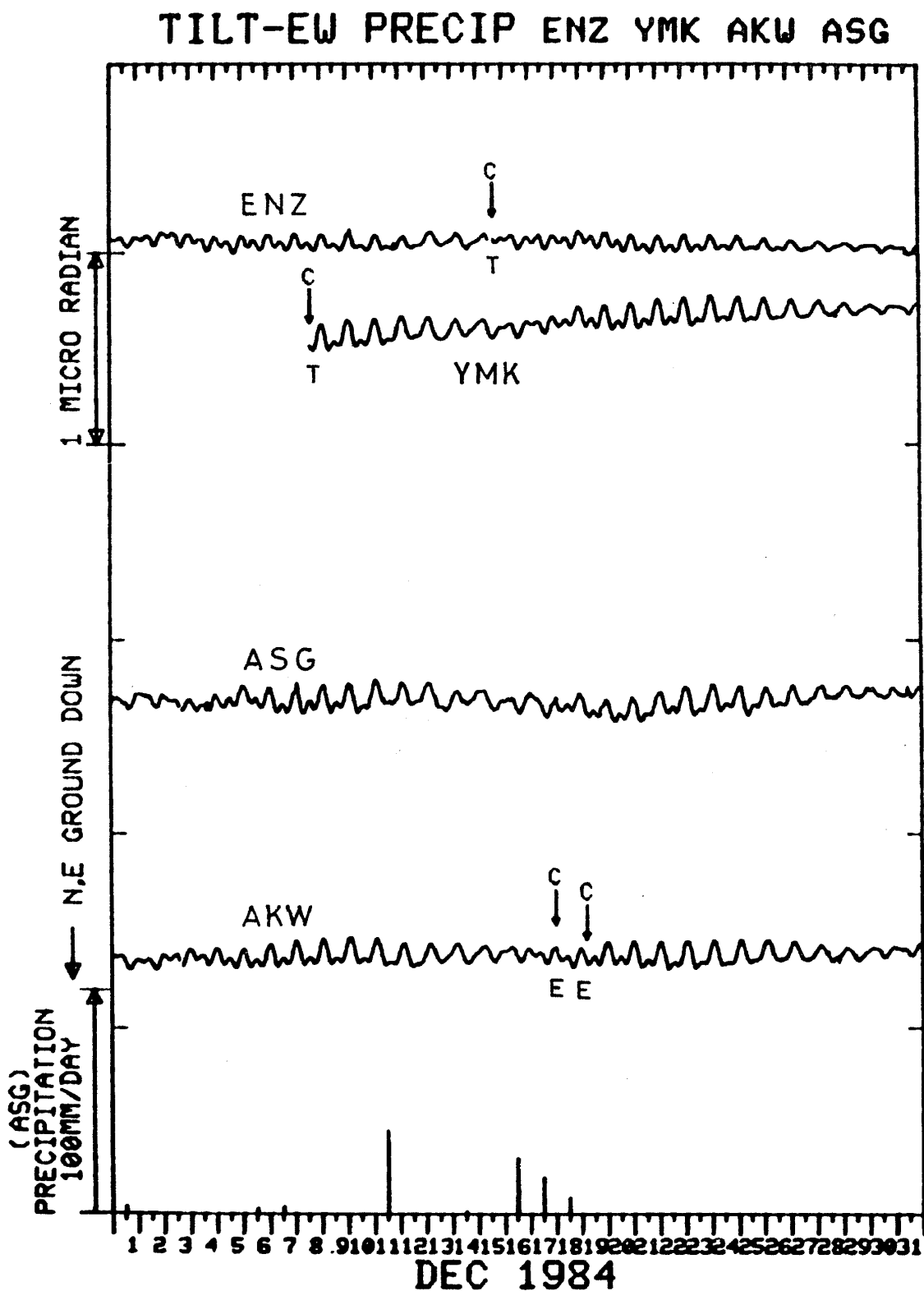


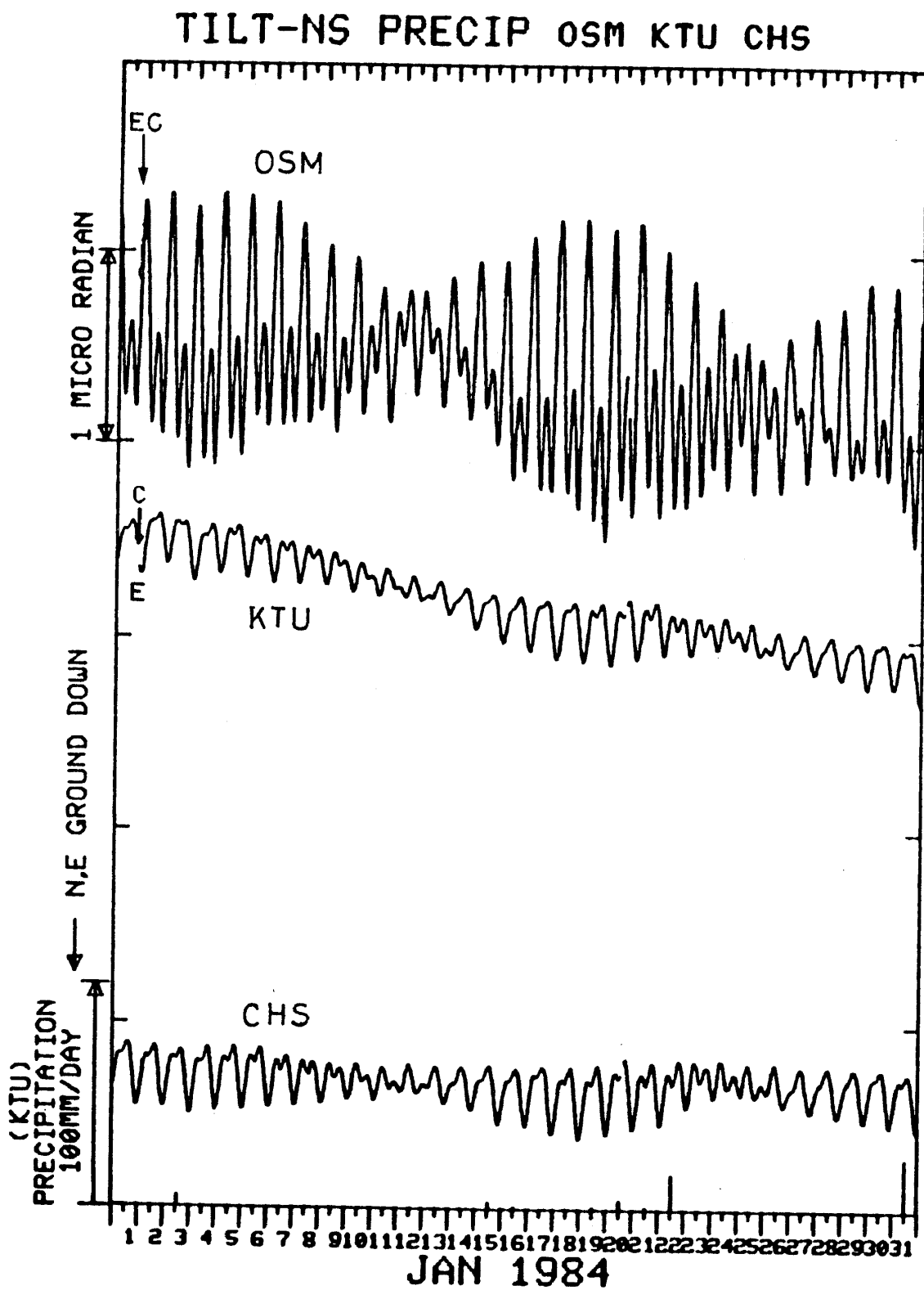




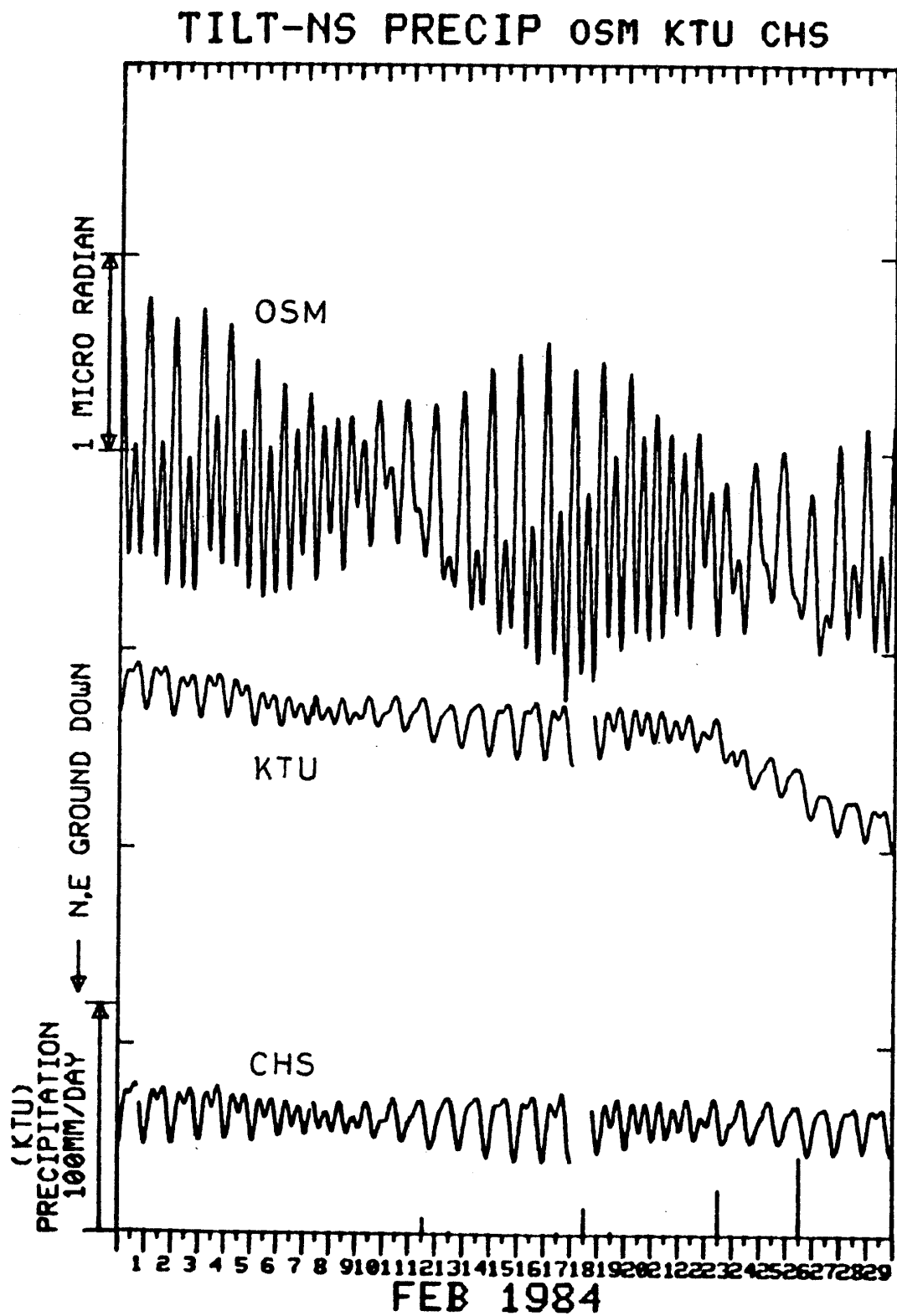


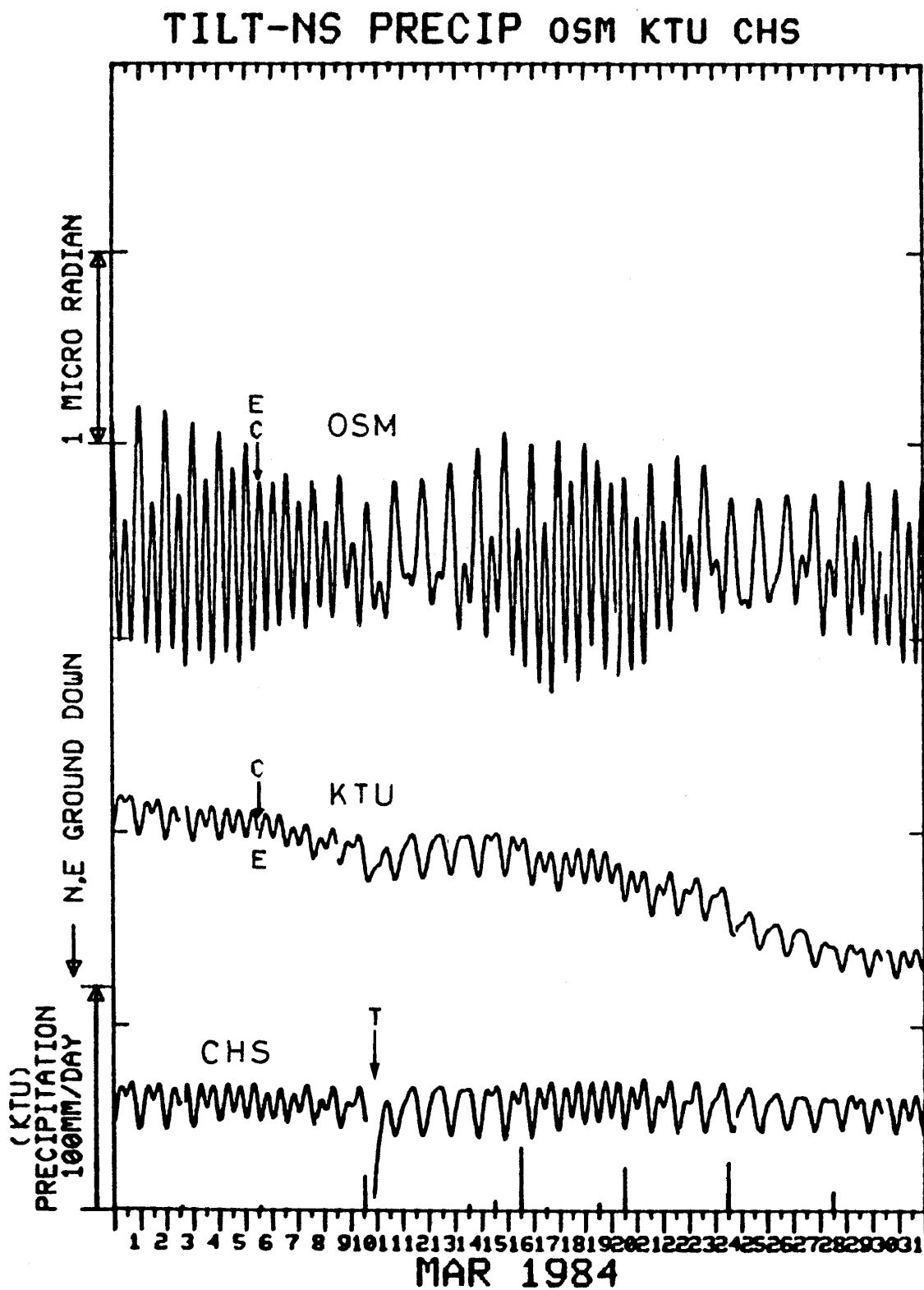


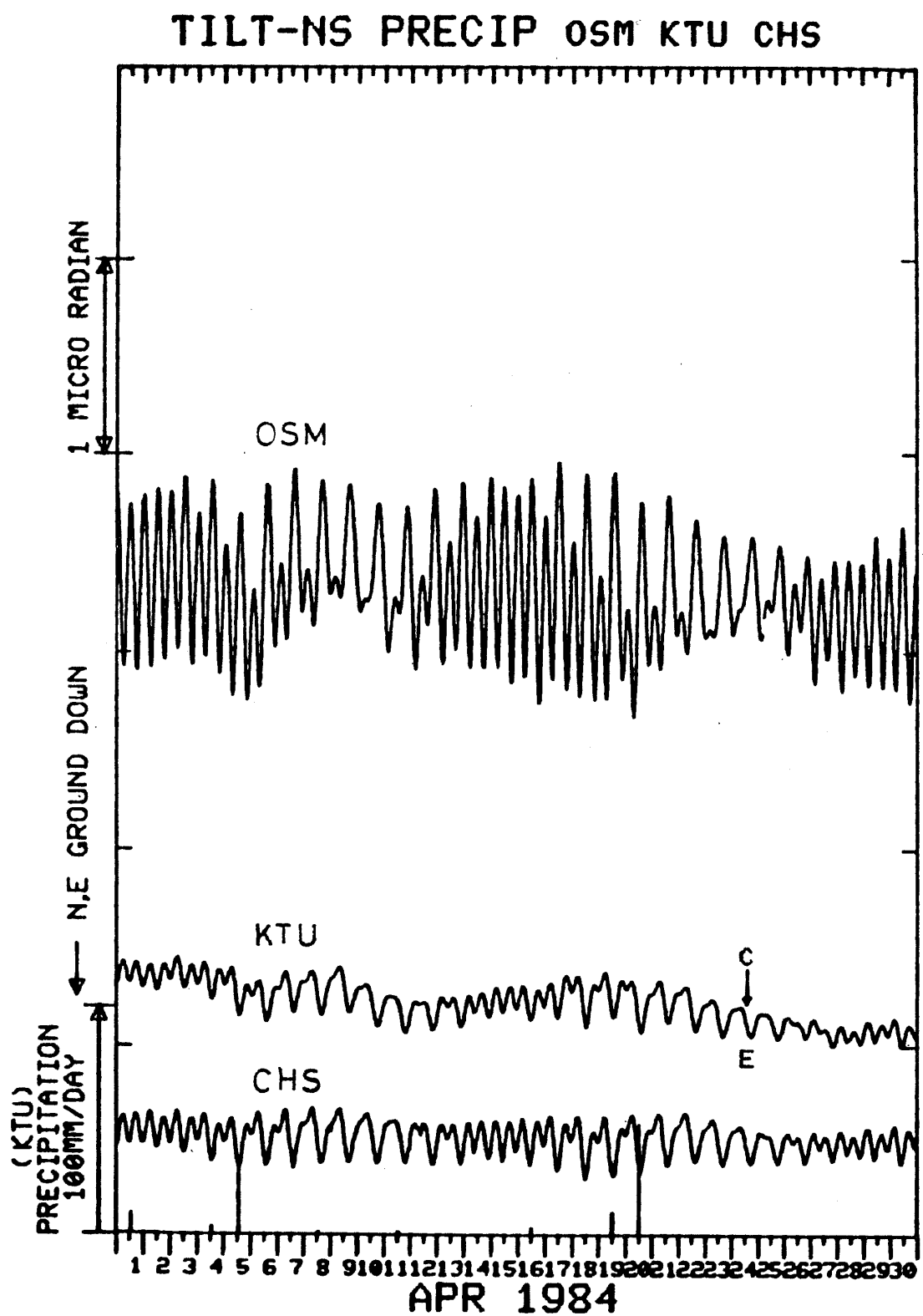


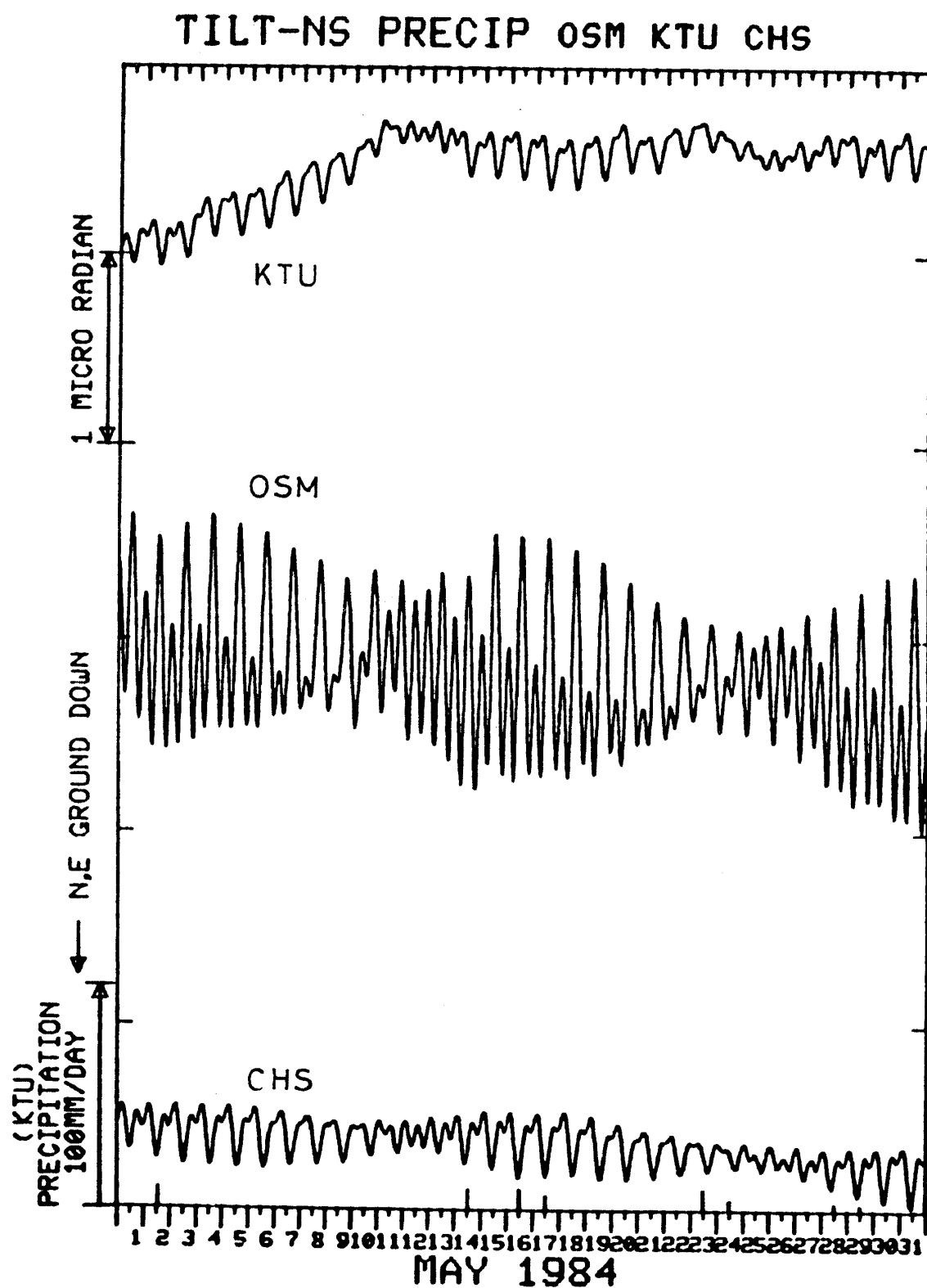


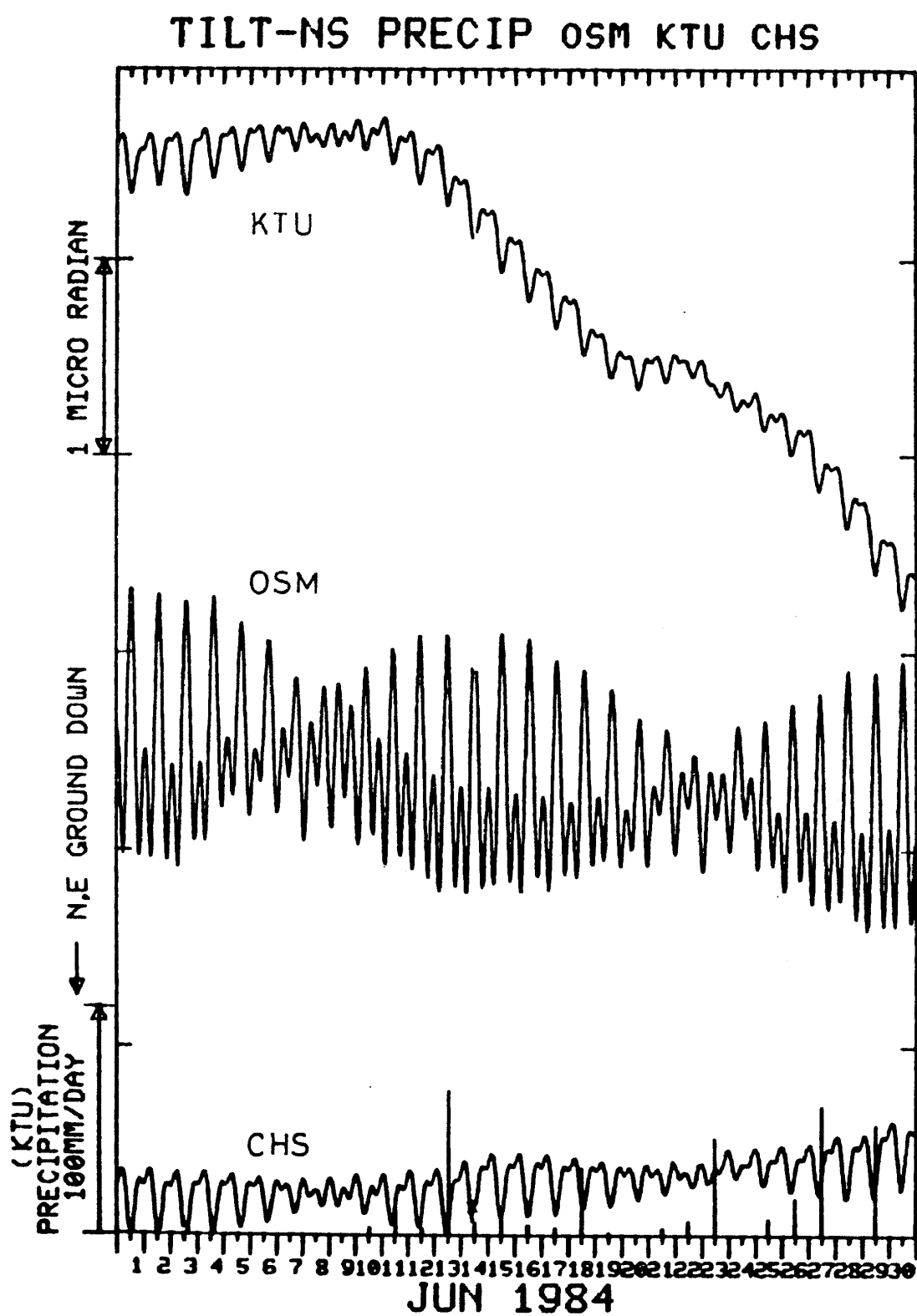
6 G 大島（O S M）・勝浦（K T U）・銚子（C H S）の傾斜NS成分と勝浦の日雨量  
Crustal tilt in NS-comp. at Ohshima (OSM), Katsuura (KTU), Chohshi (CHS) and the daily precipitation at Katsuura.

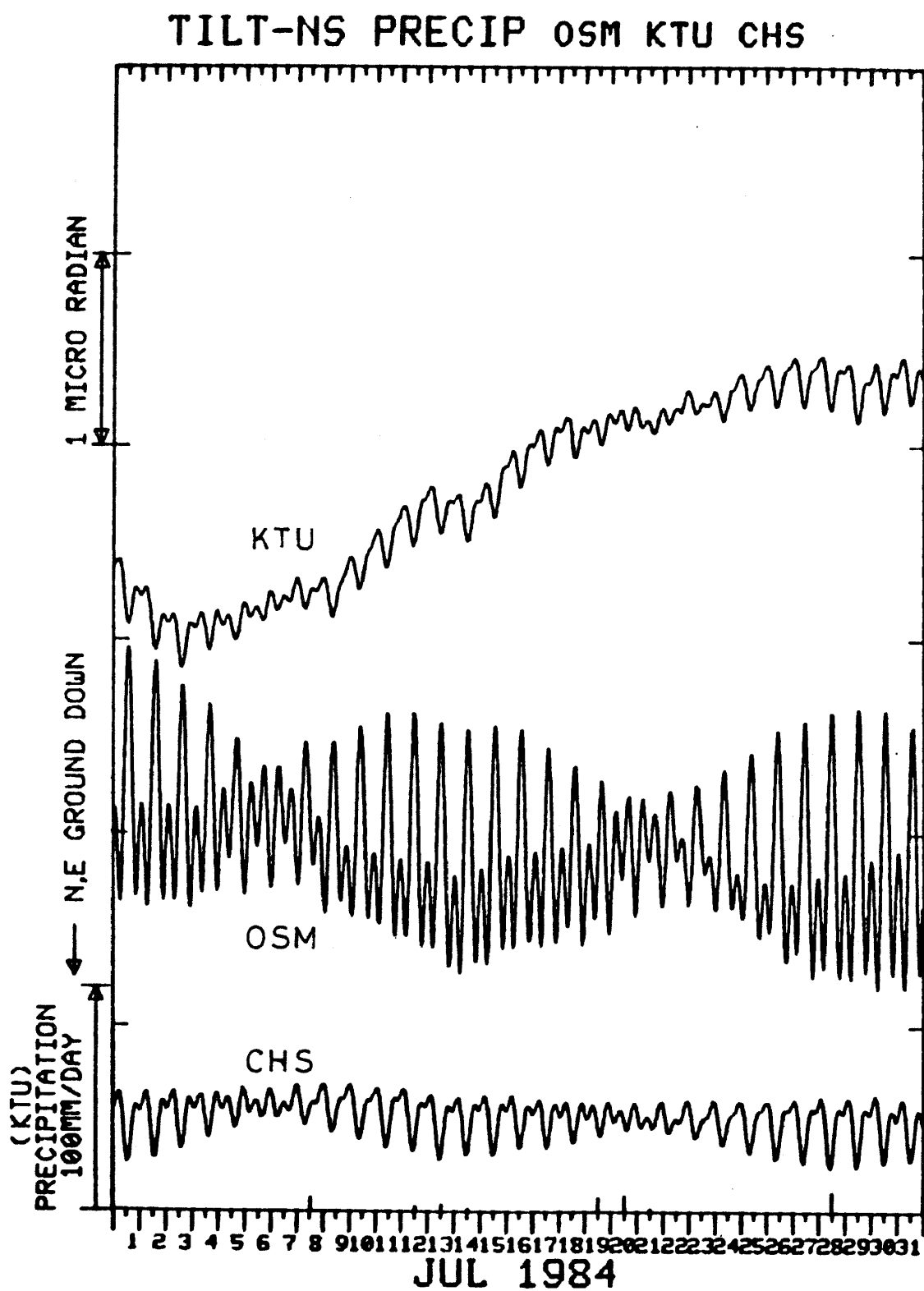


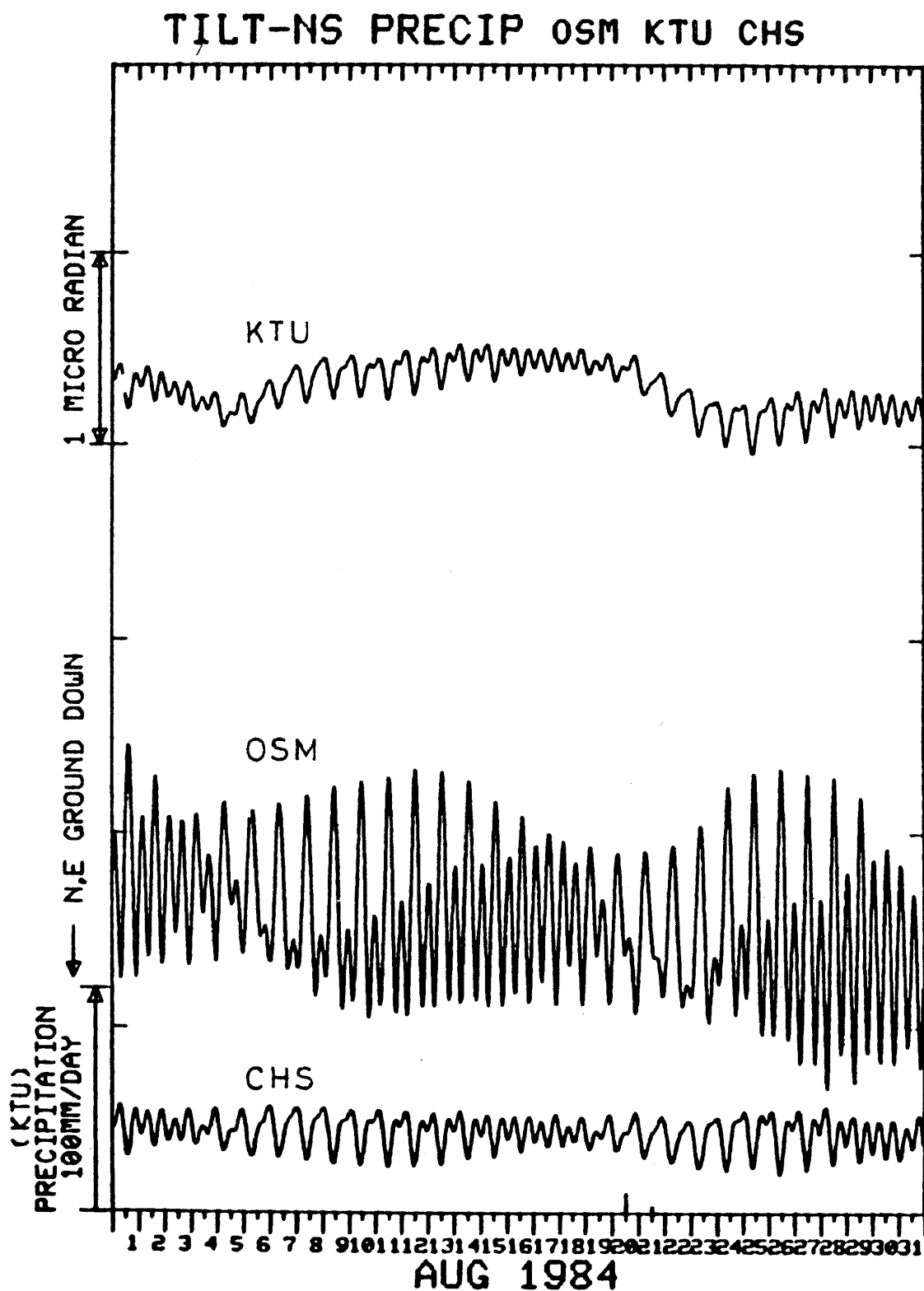


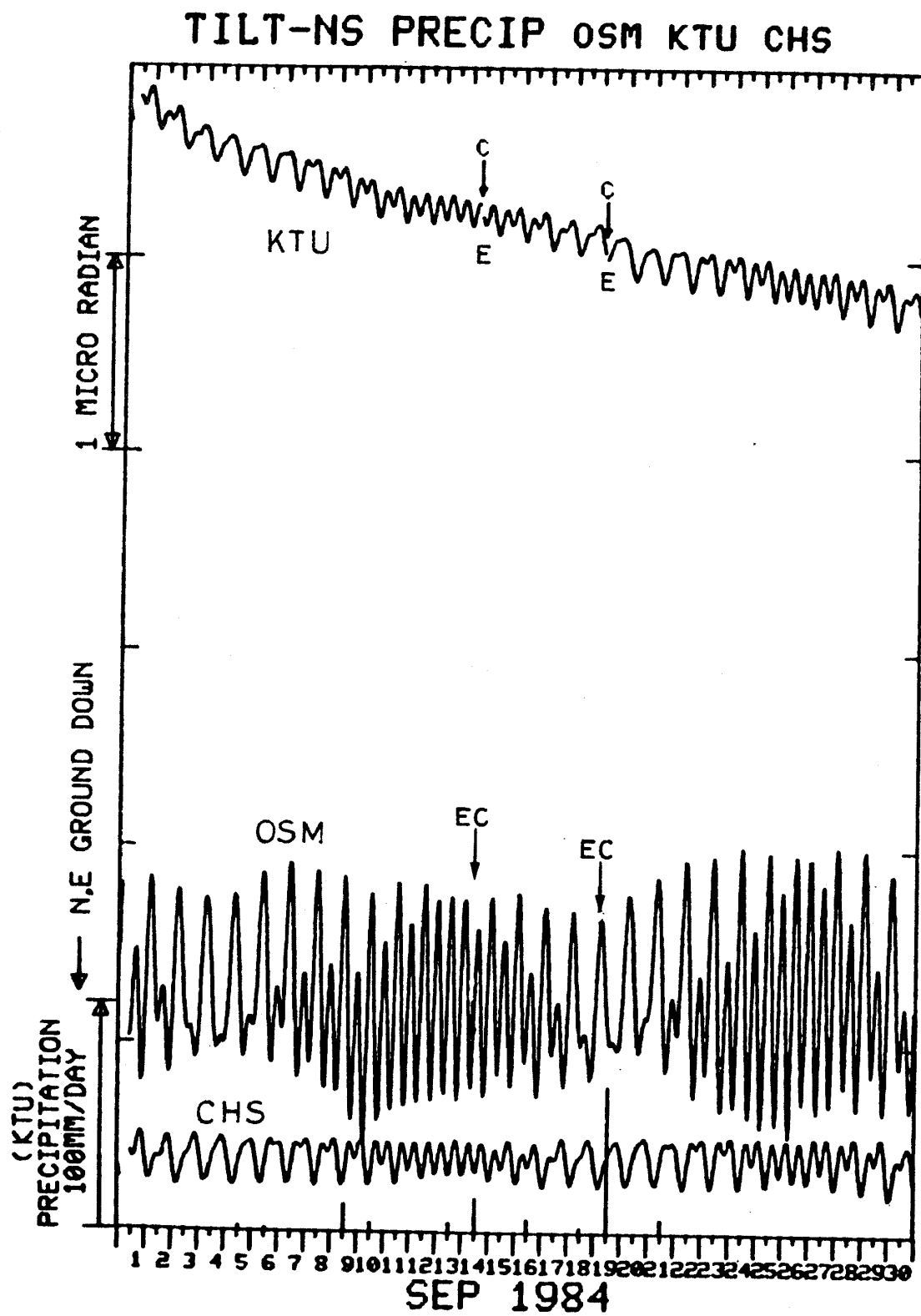


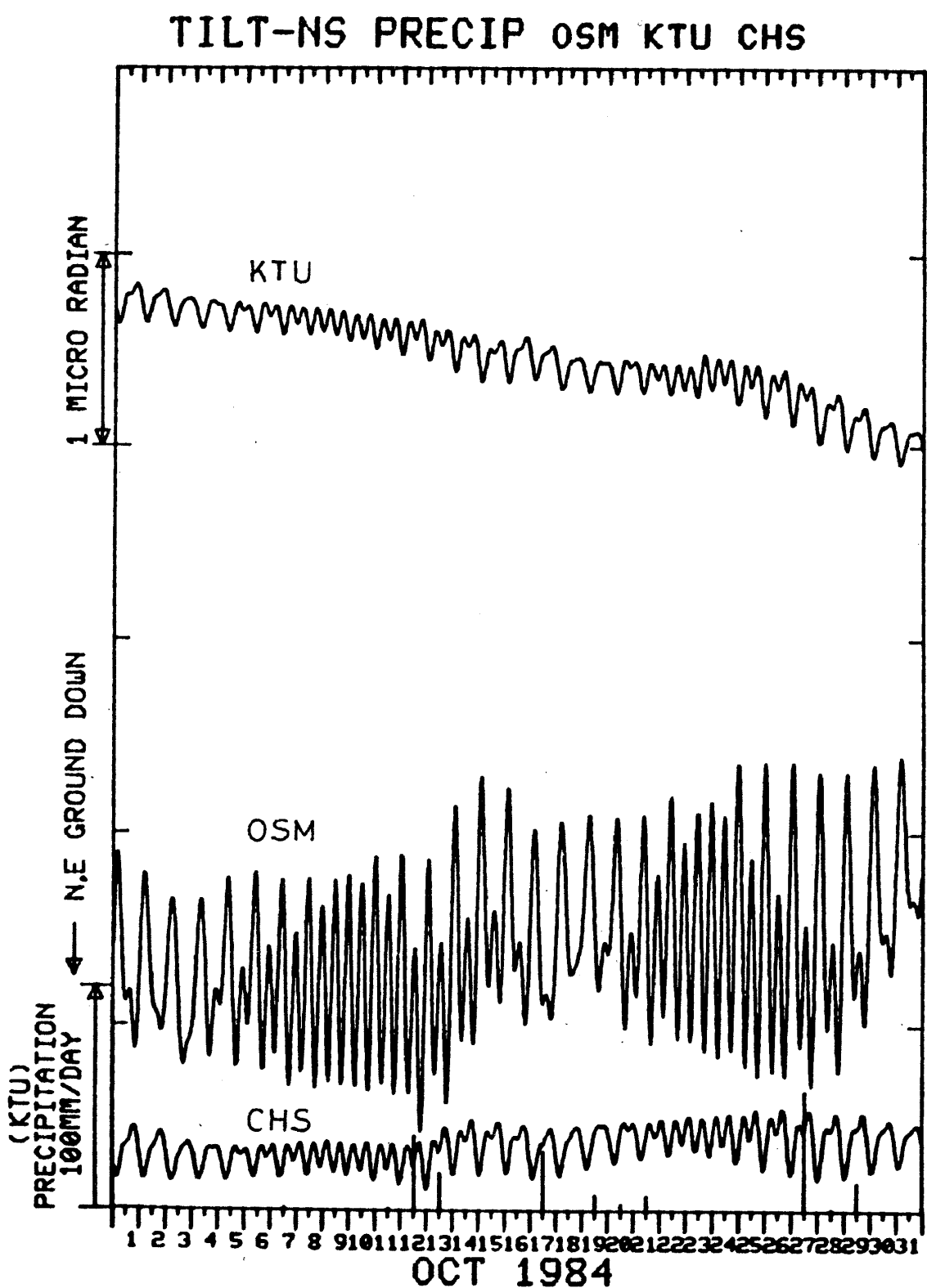


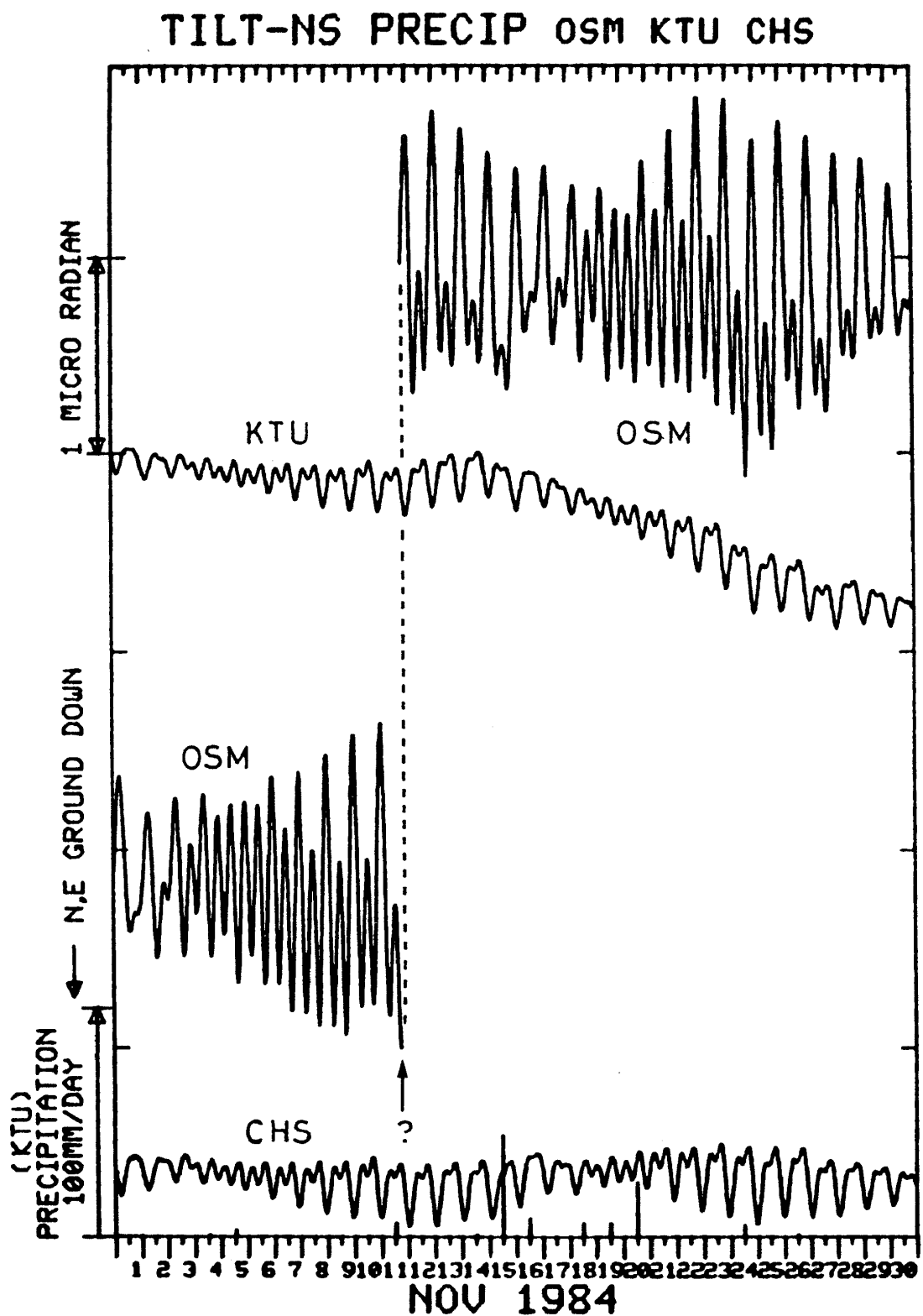


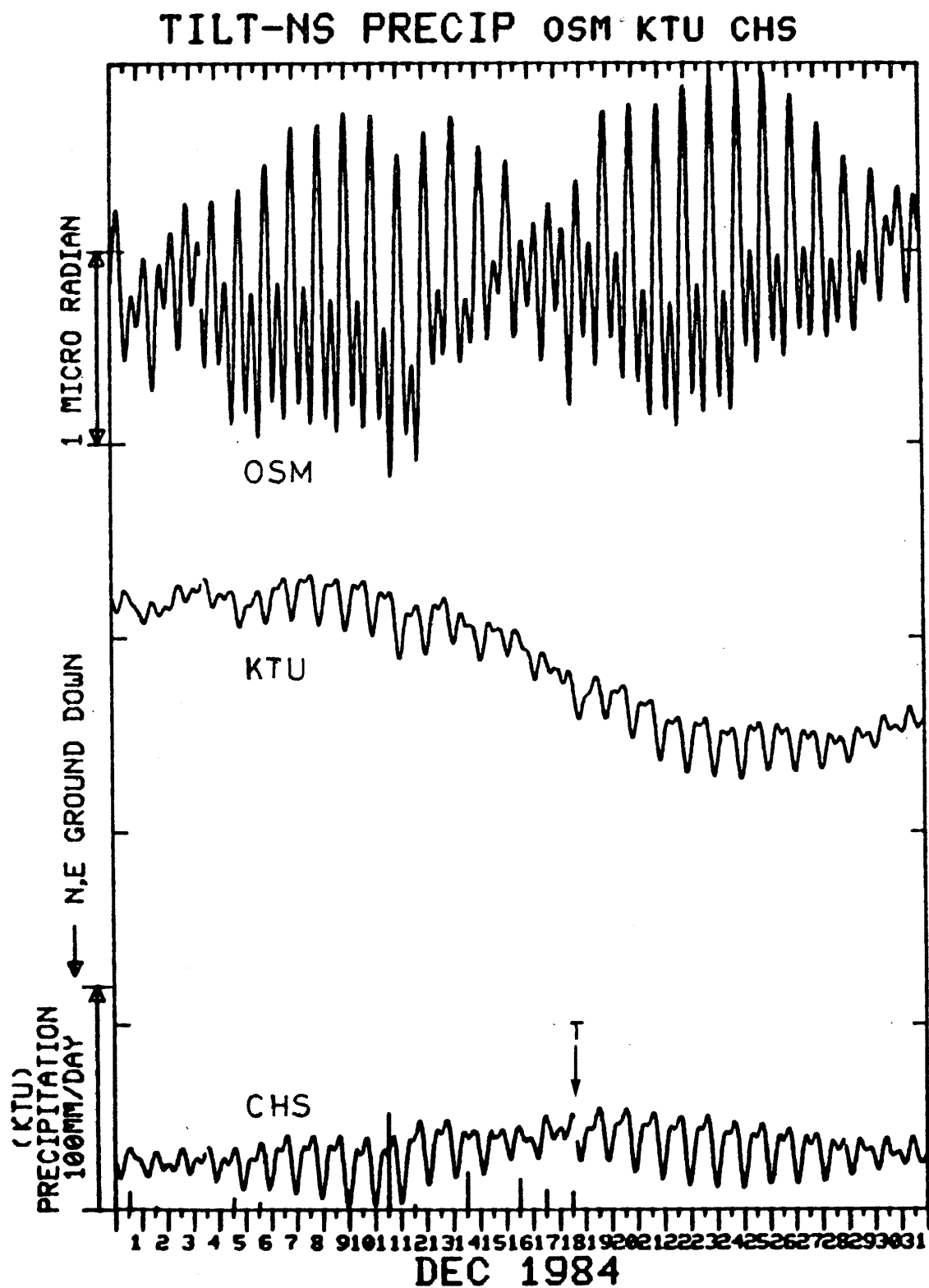


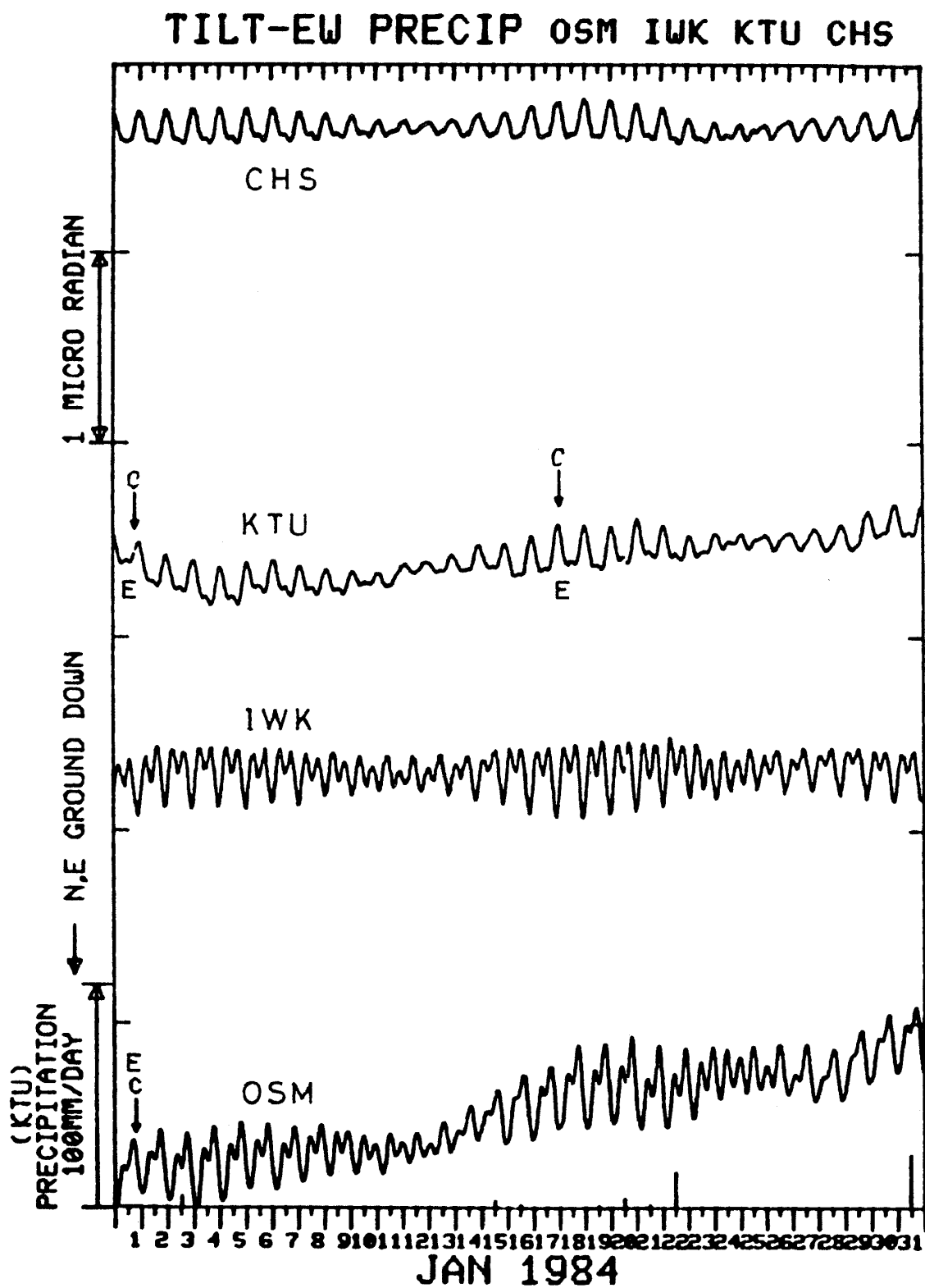




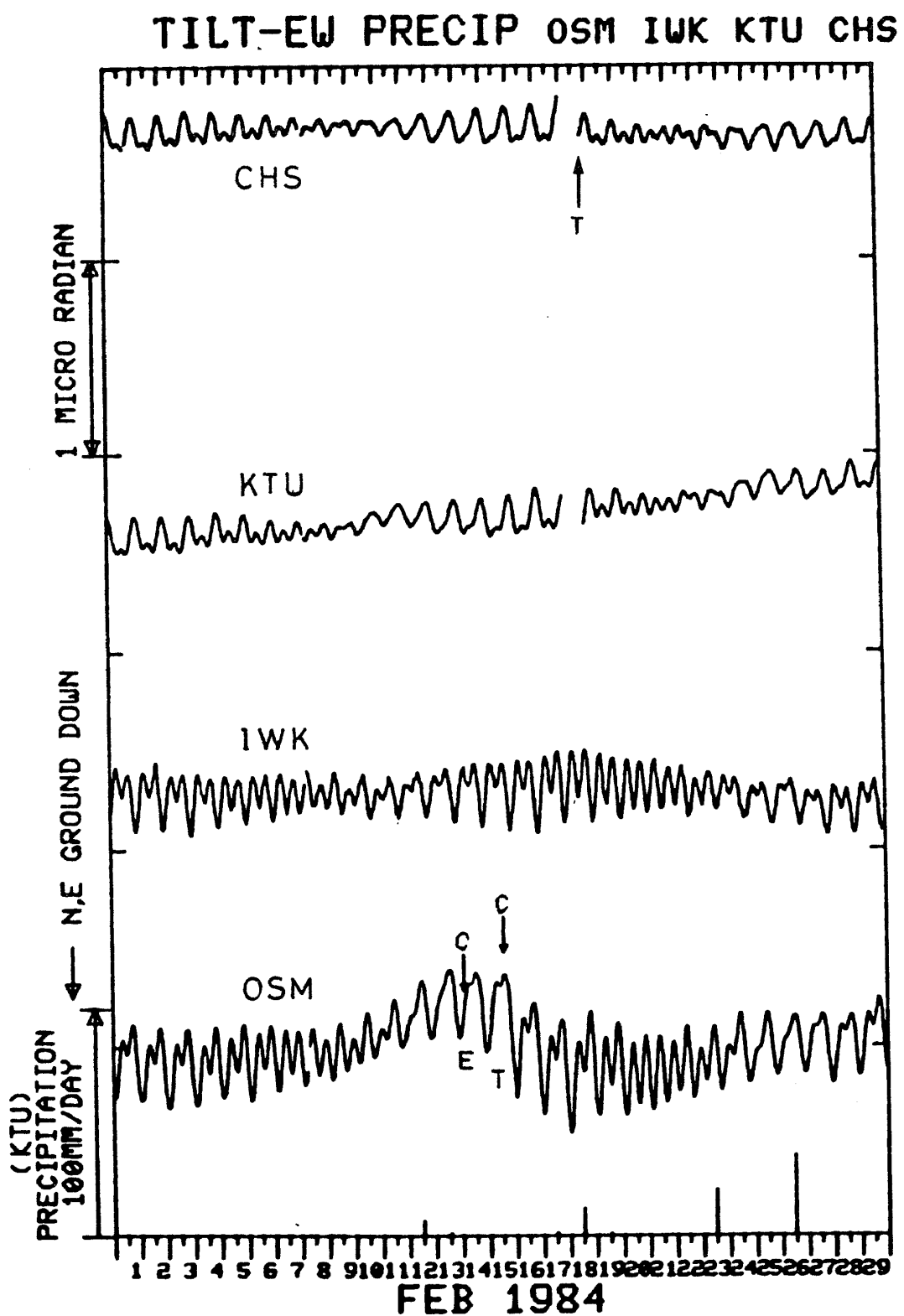


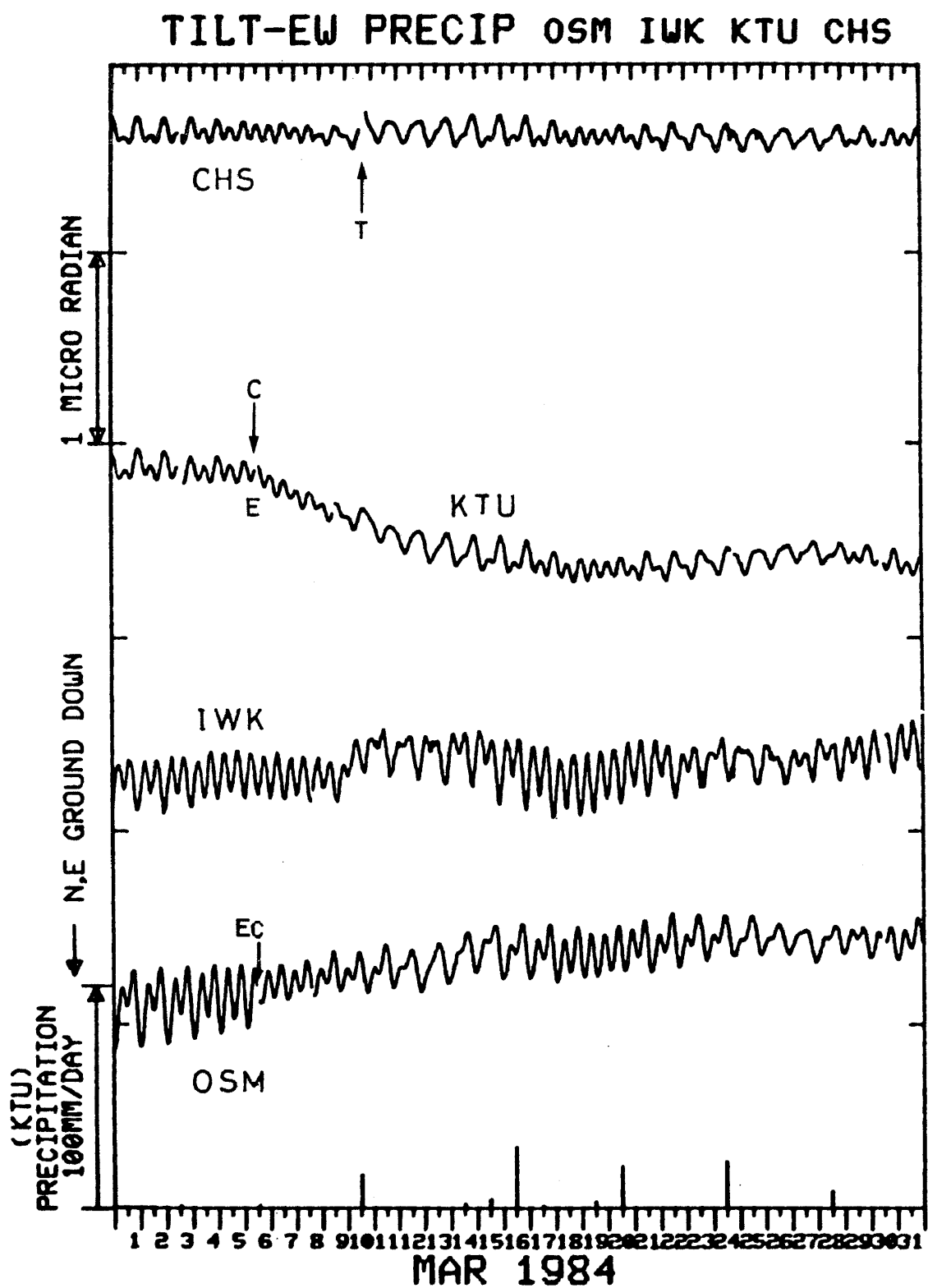


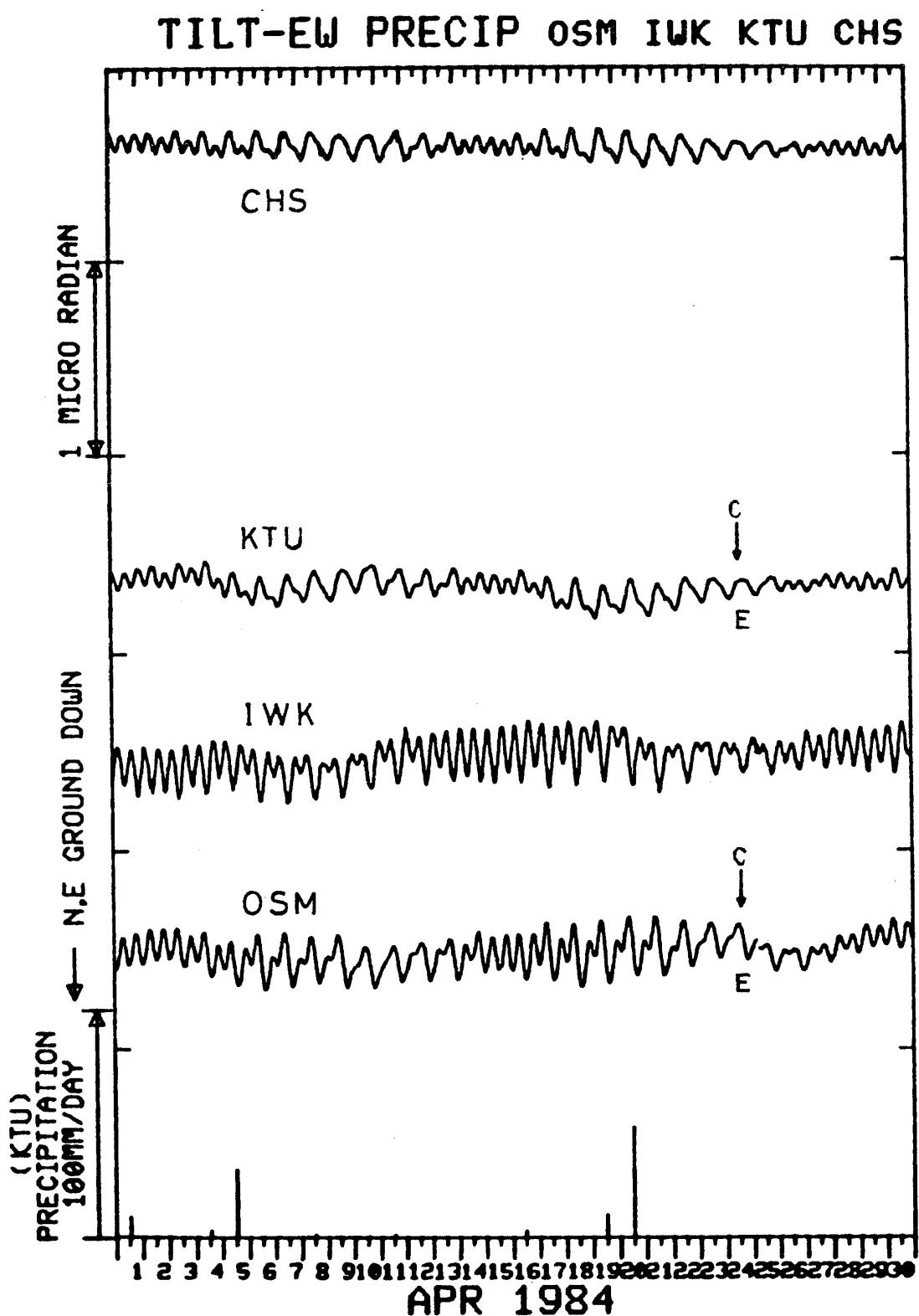


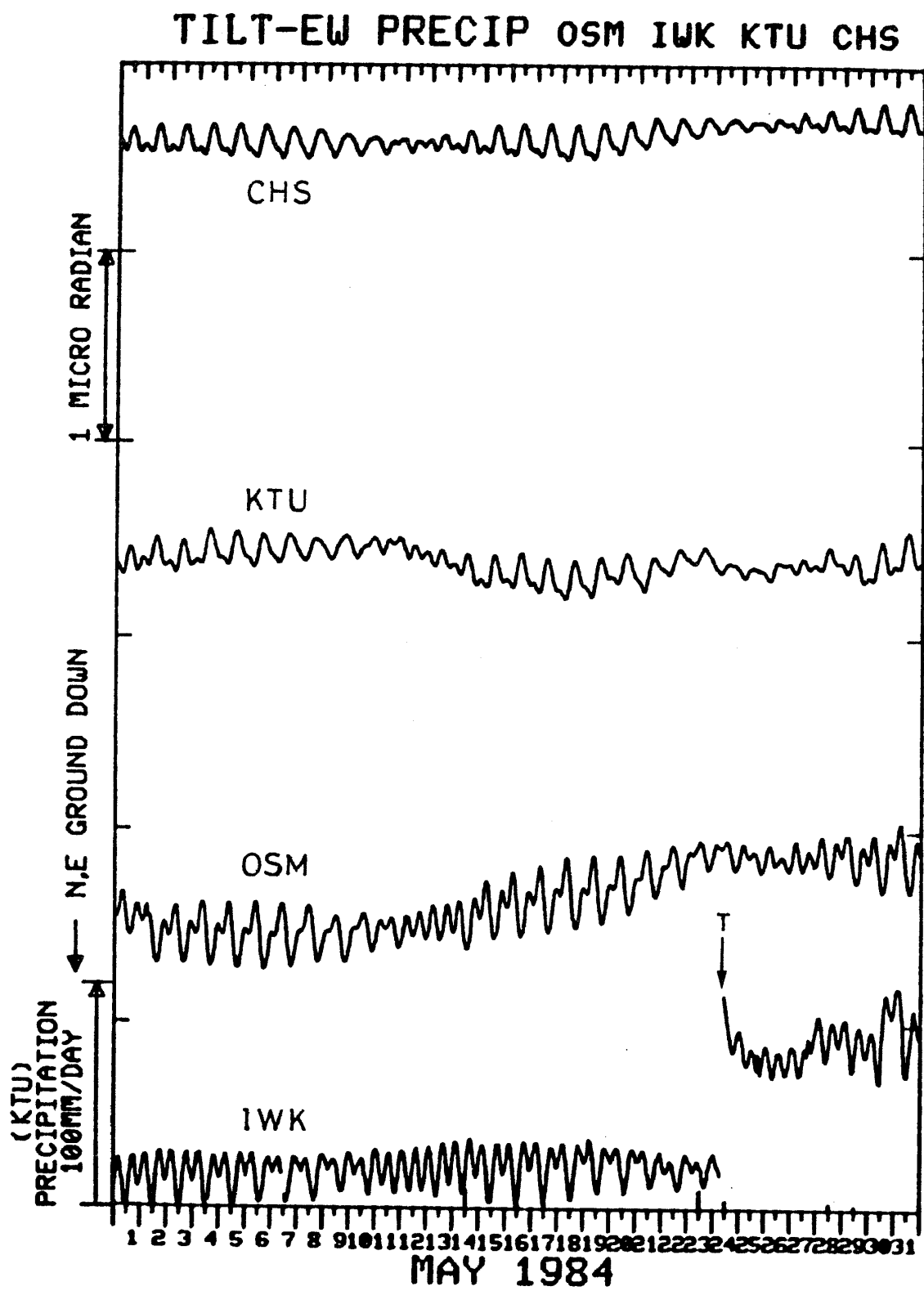


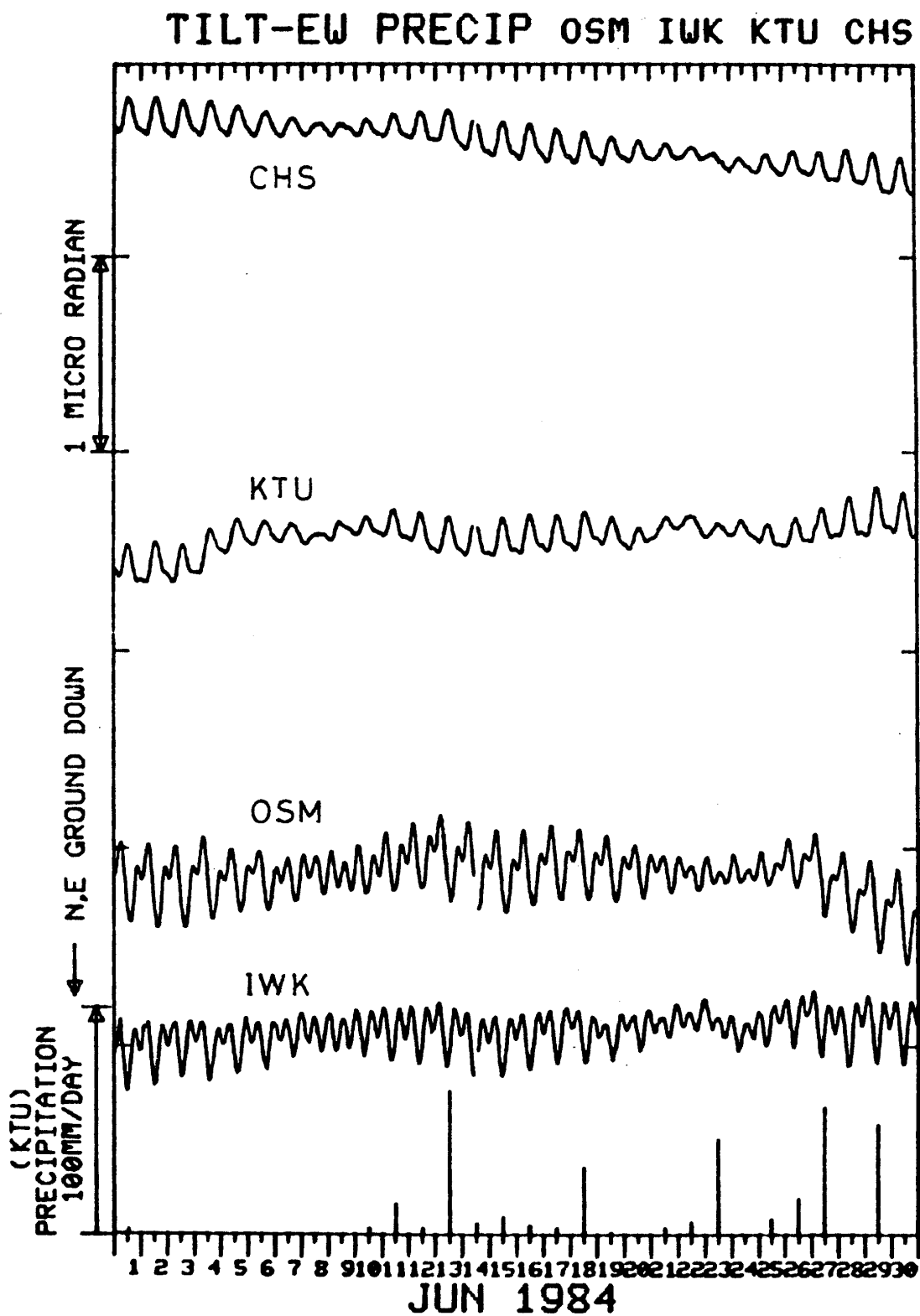
6 H 大島（O S M）・岩井北（I W K）・勝浦（K T U）・銚子（C H S）の傾斜EW成分と  
勝浦の日雨量  
Crustal tilt in EW-comp. at Ohshima (OSM), Iwai-kita (IWK), Katsuura (KTU),  
Chohshi (CHS) and the daily precipitation at Katsuura.

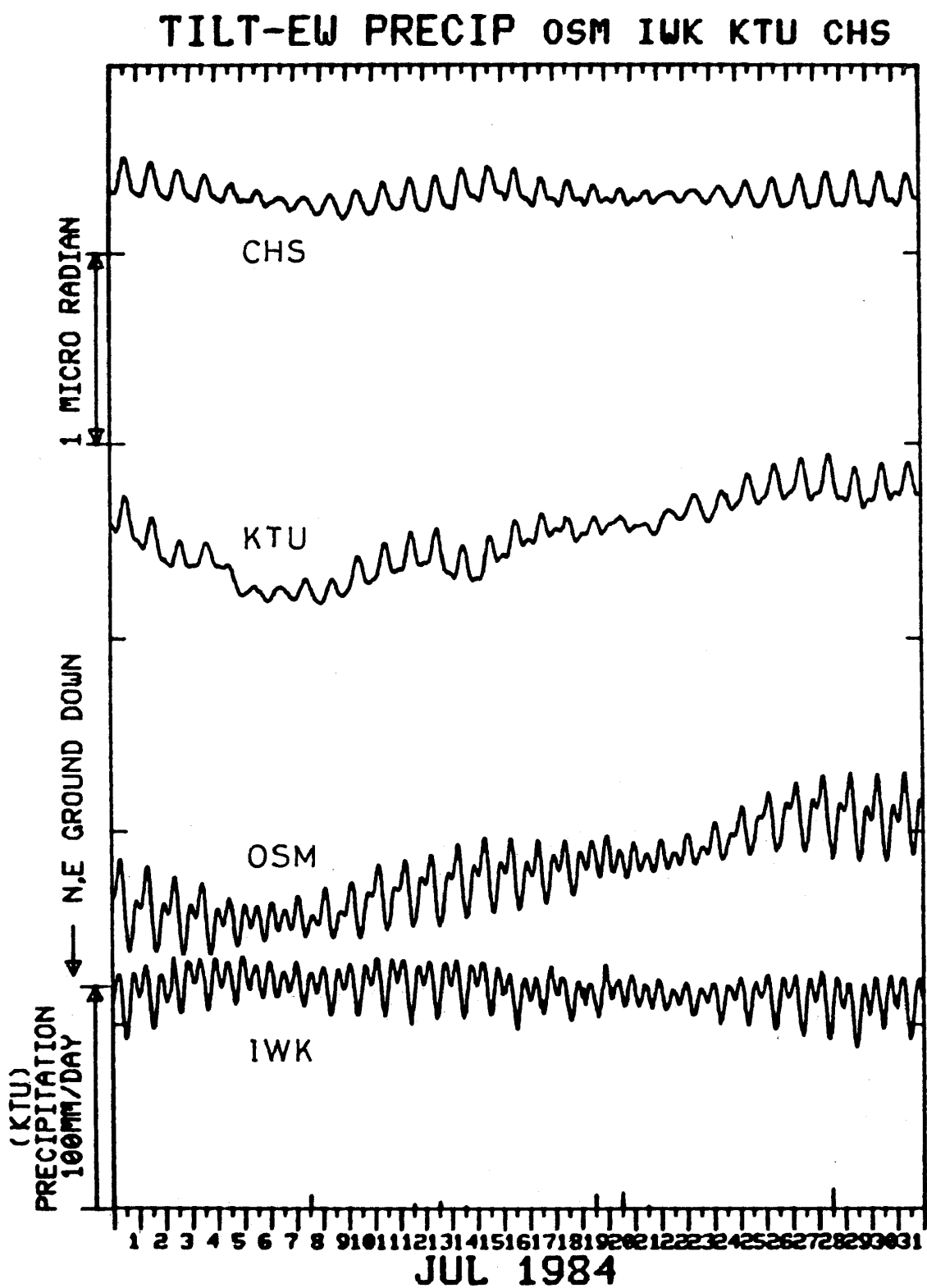


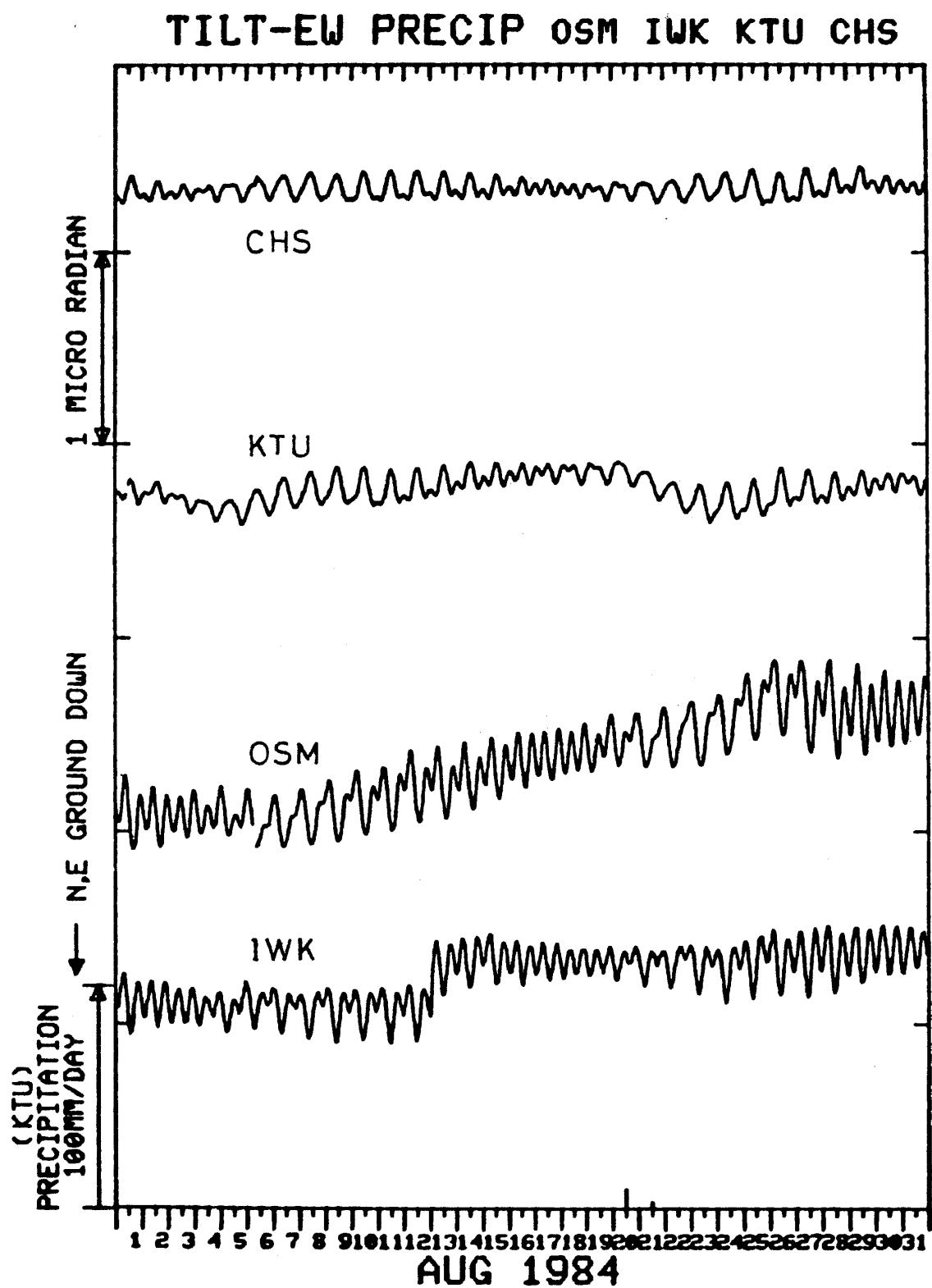


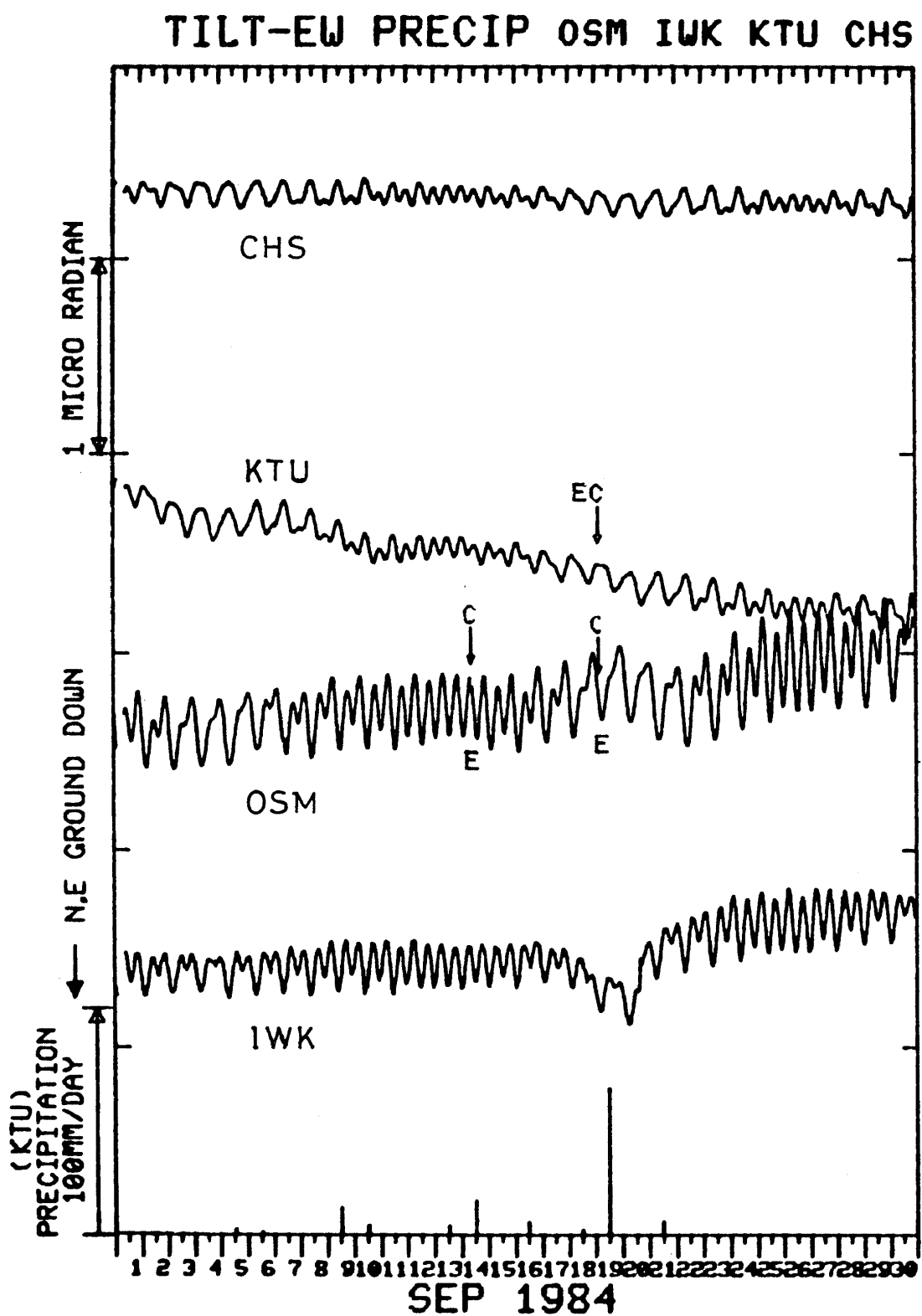


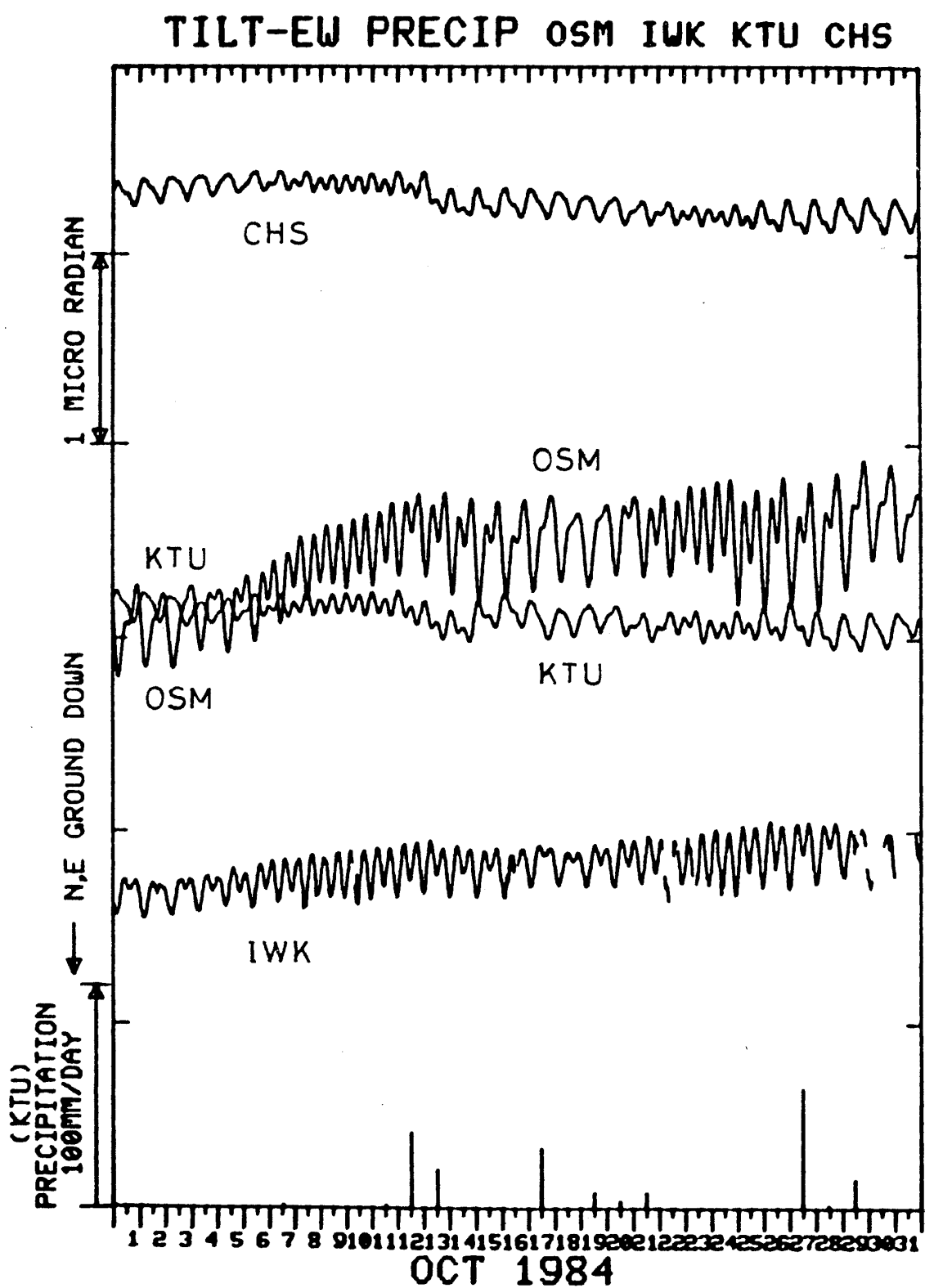


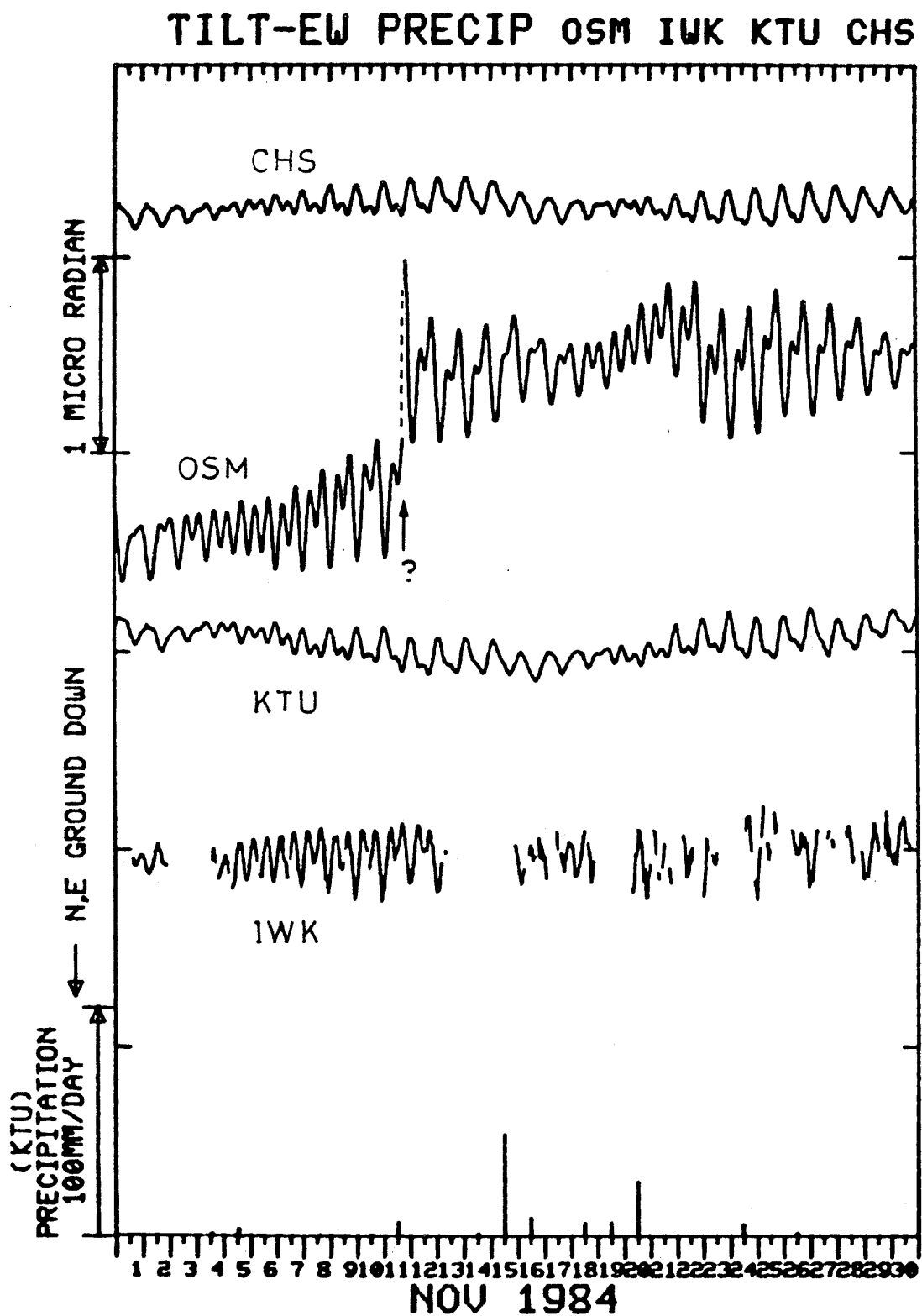


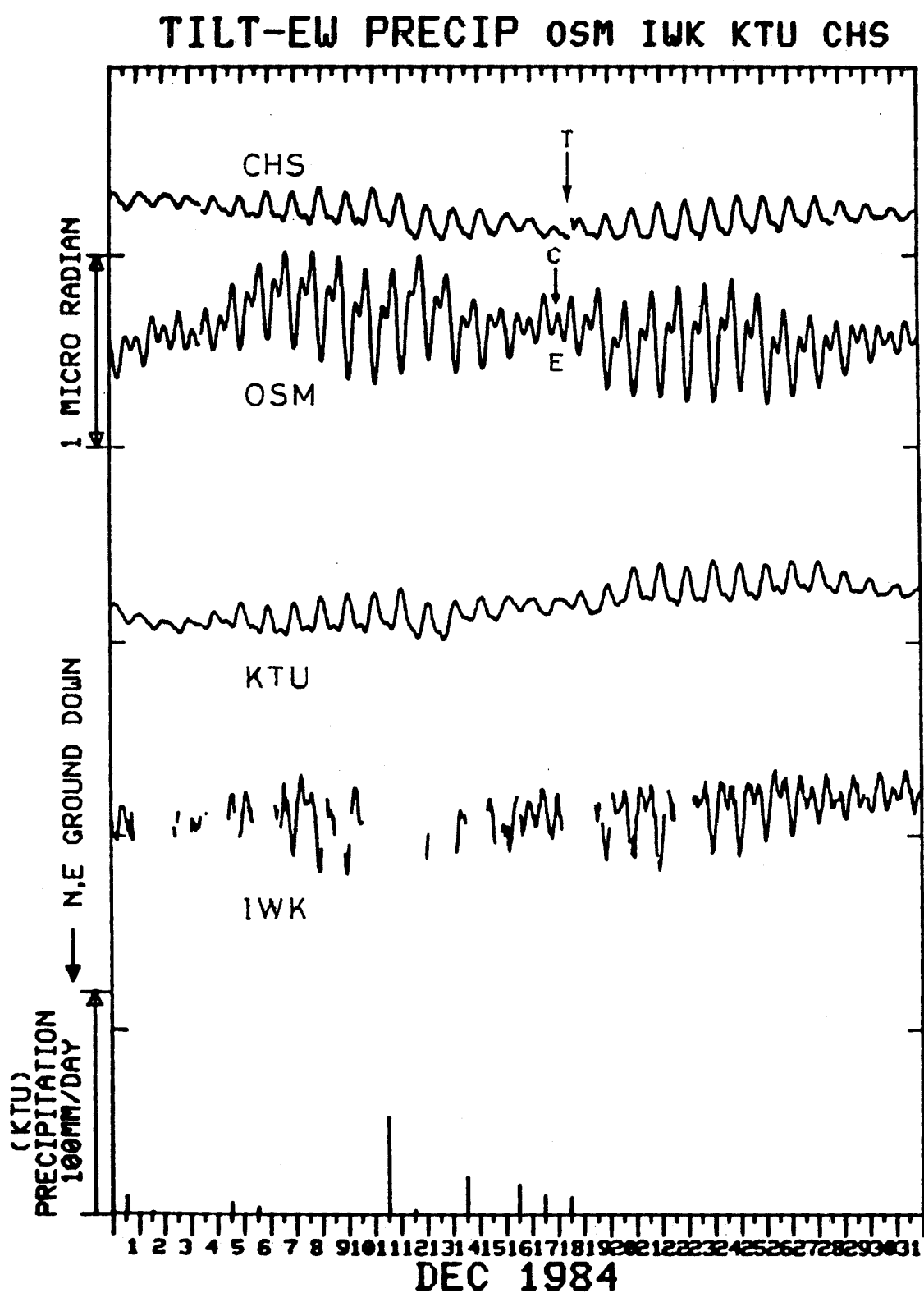


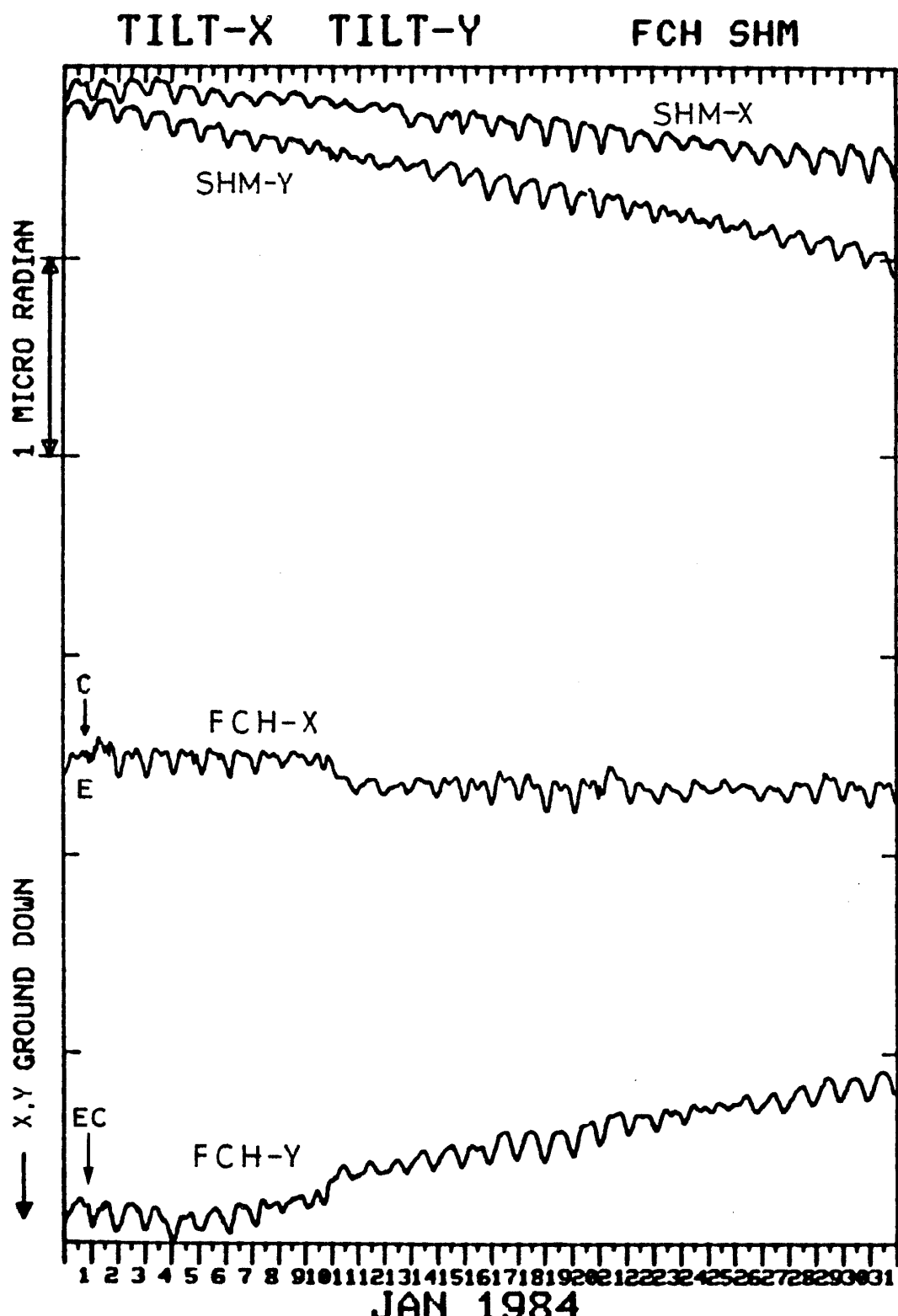






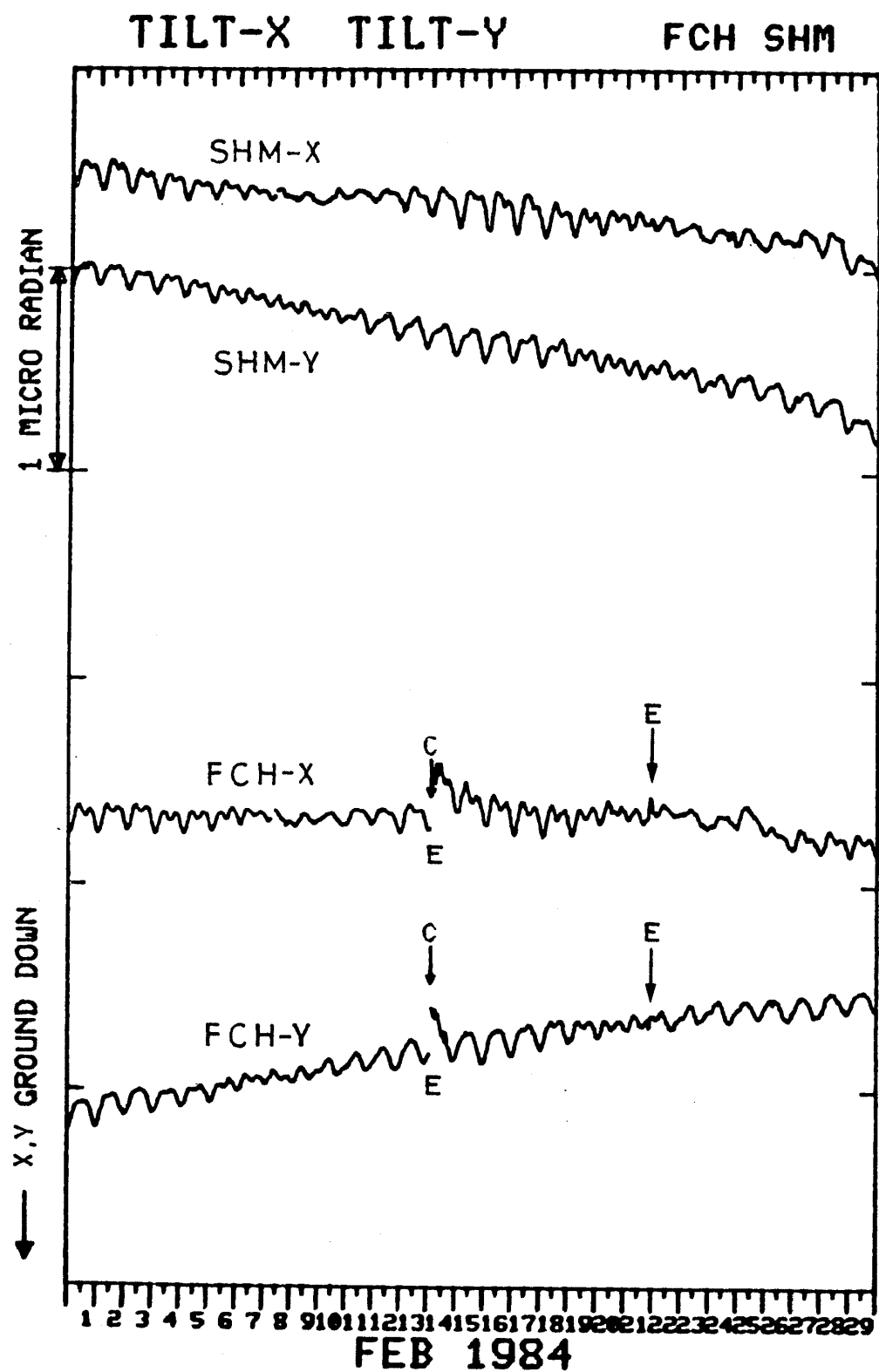


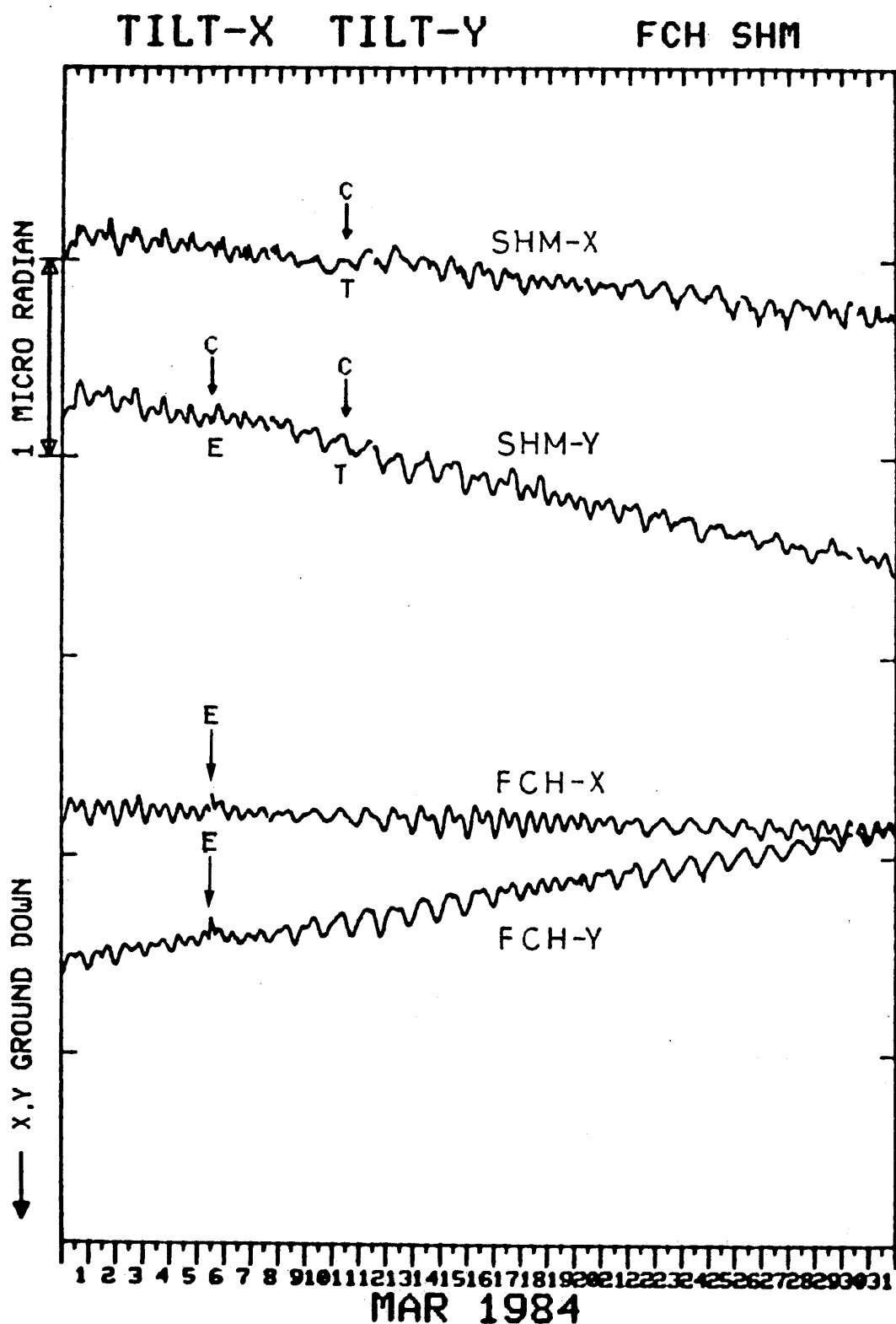


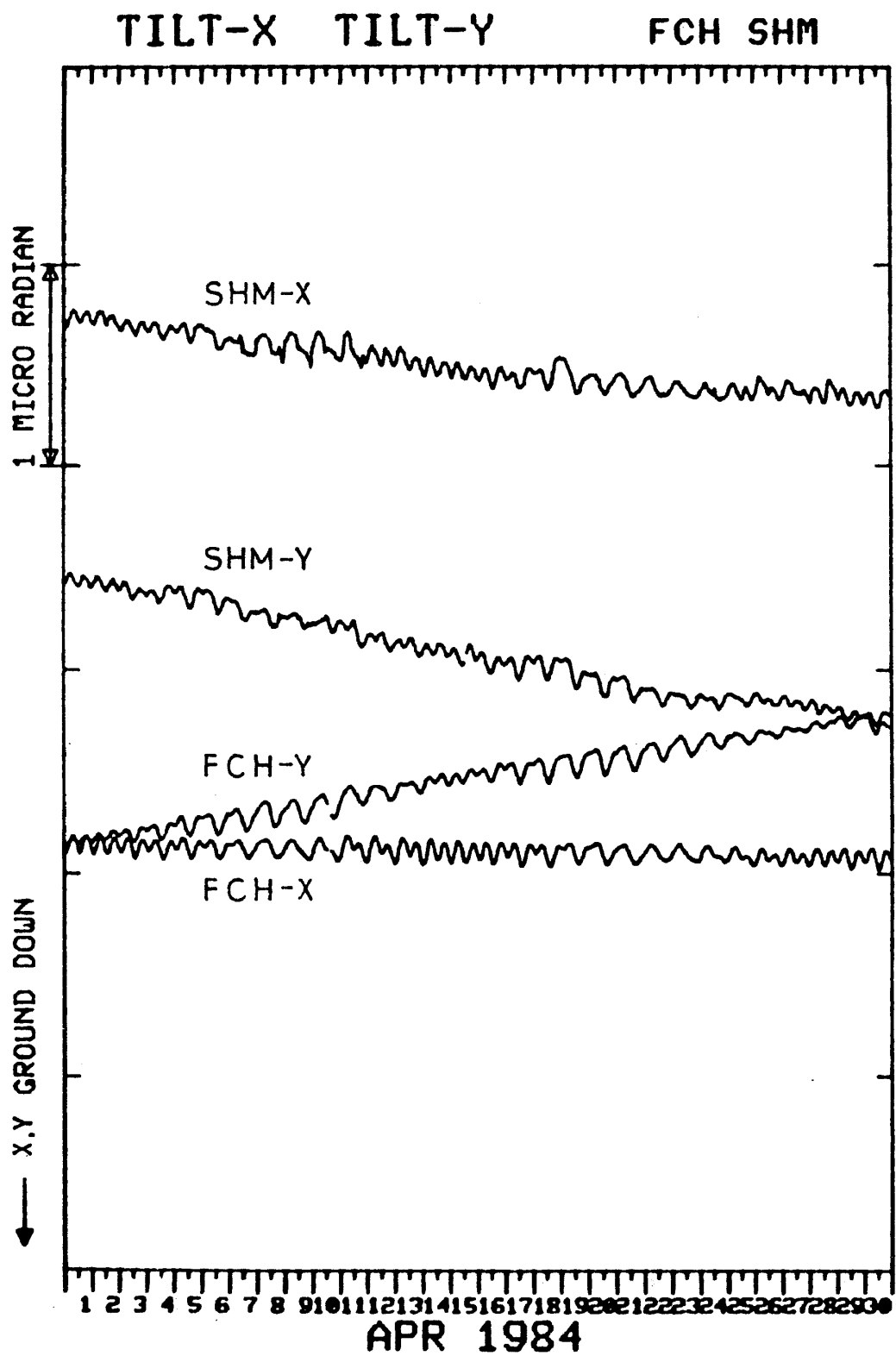


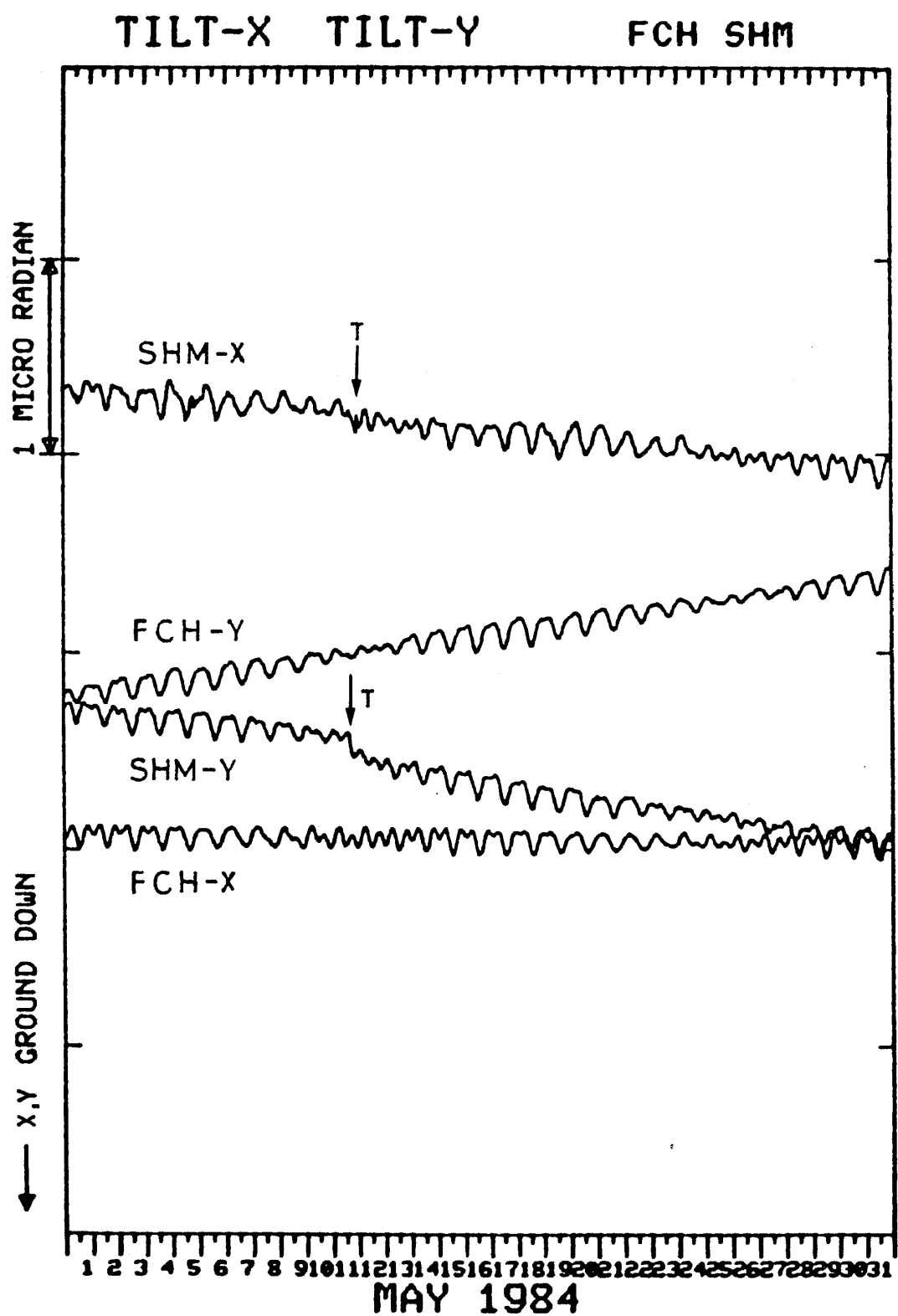
6 I 府中 (FCH)・下総 (SHM) の傾斜 X・Y 成分

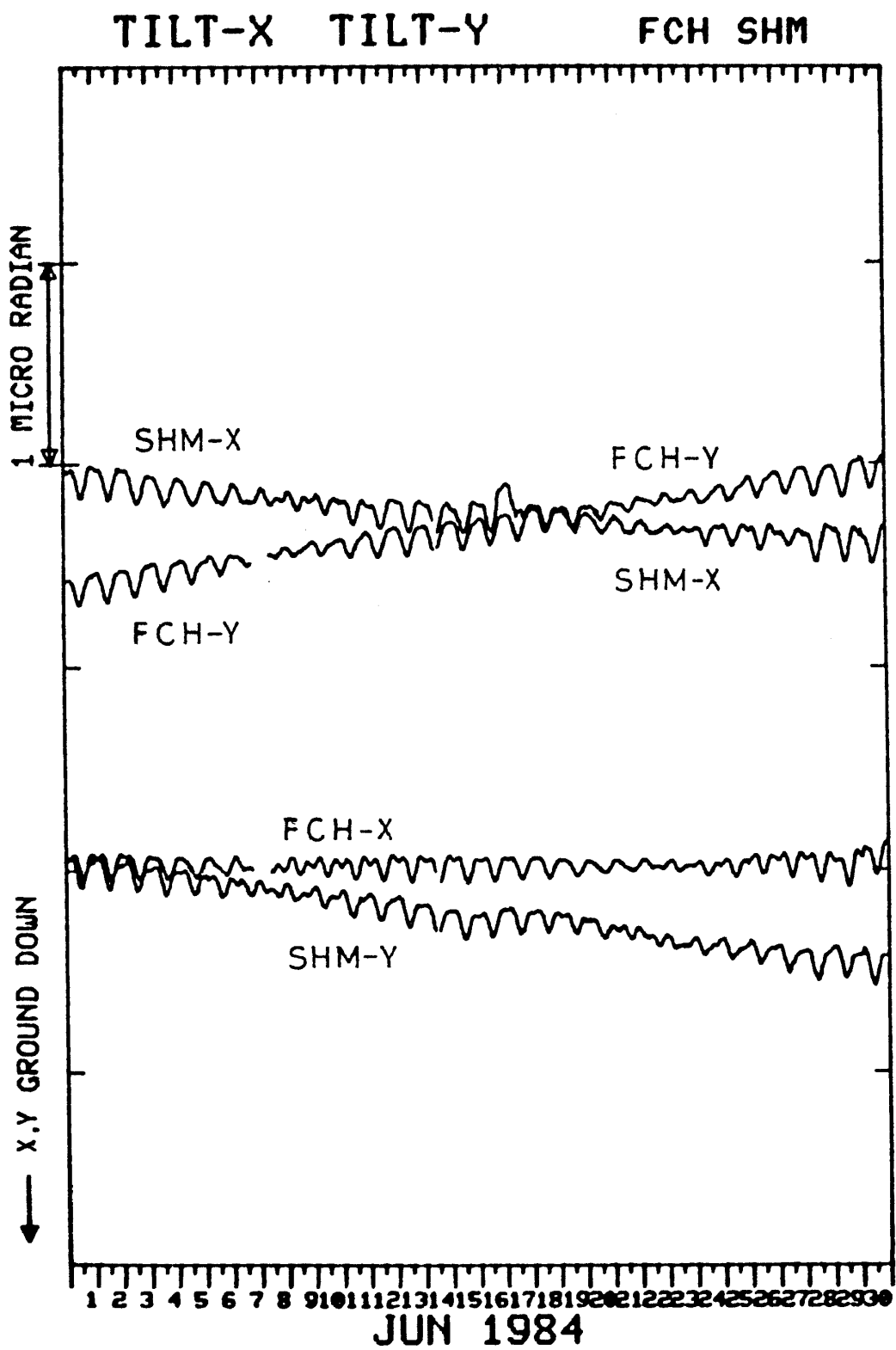
Crustal tilt in X and Y-comp. at Fuchu (FCH) and Shimohsa (SHM).

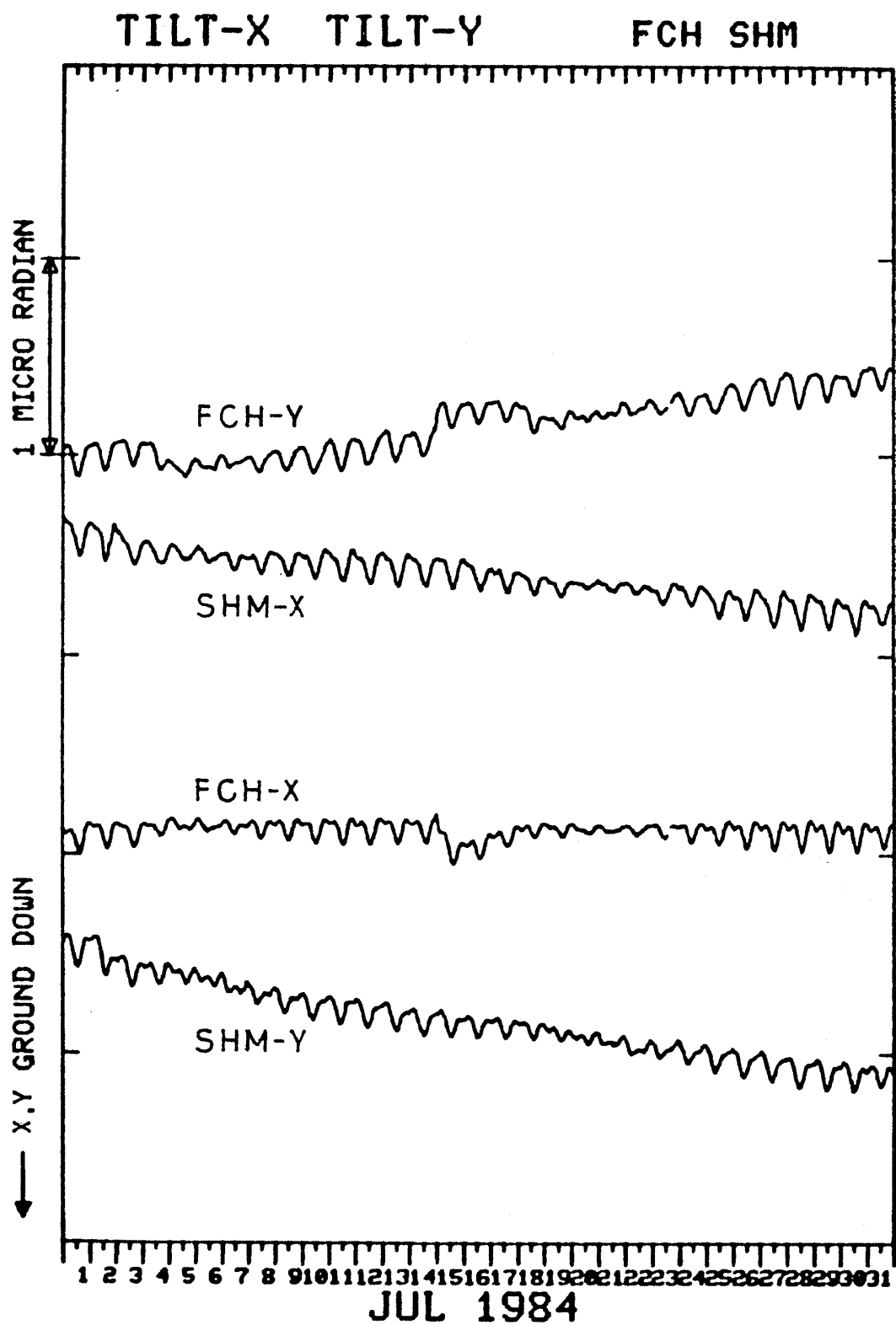


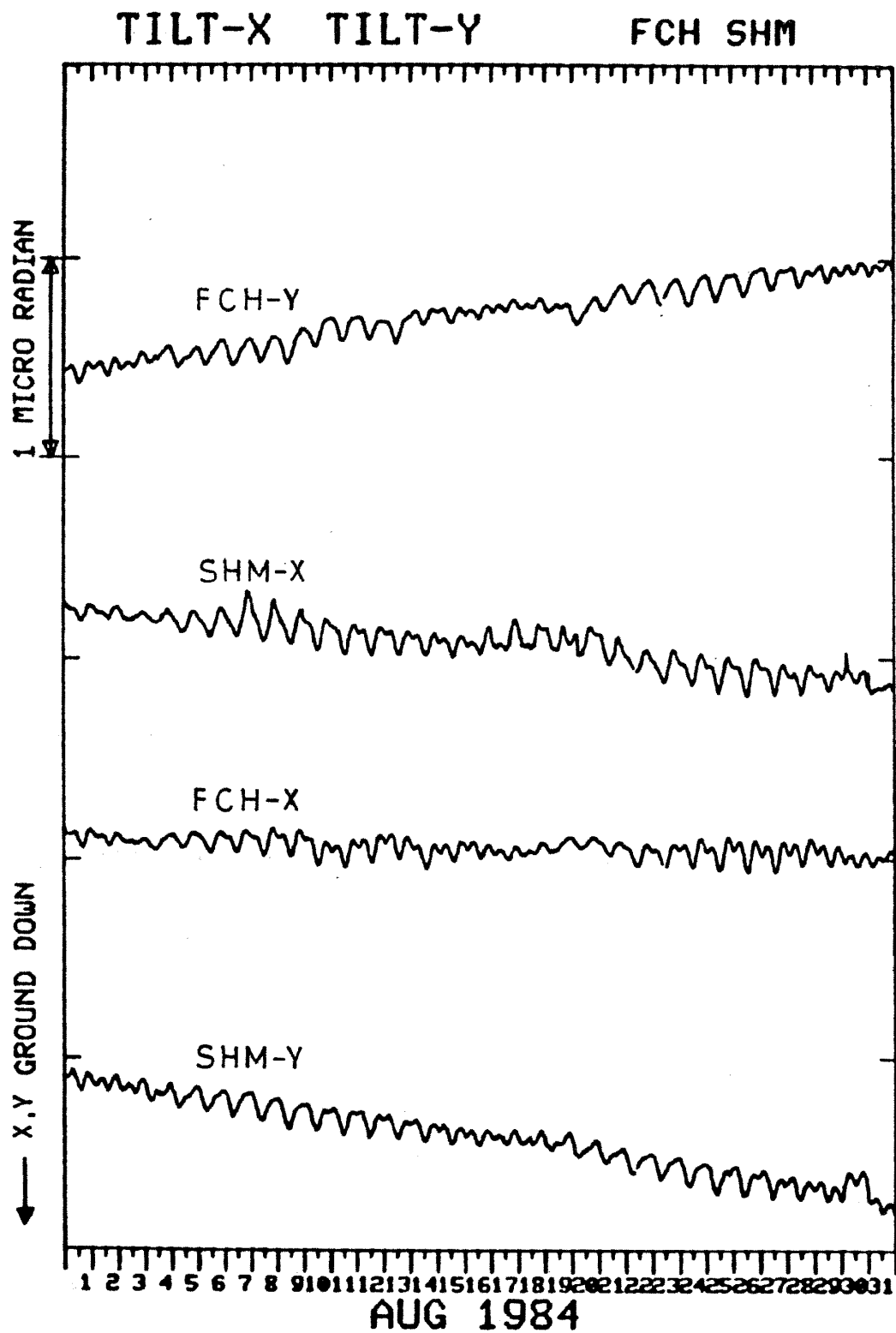


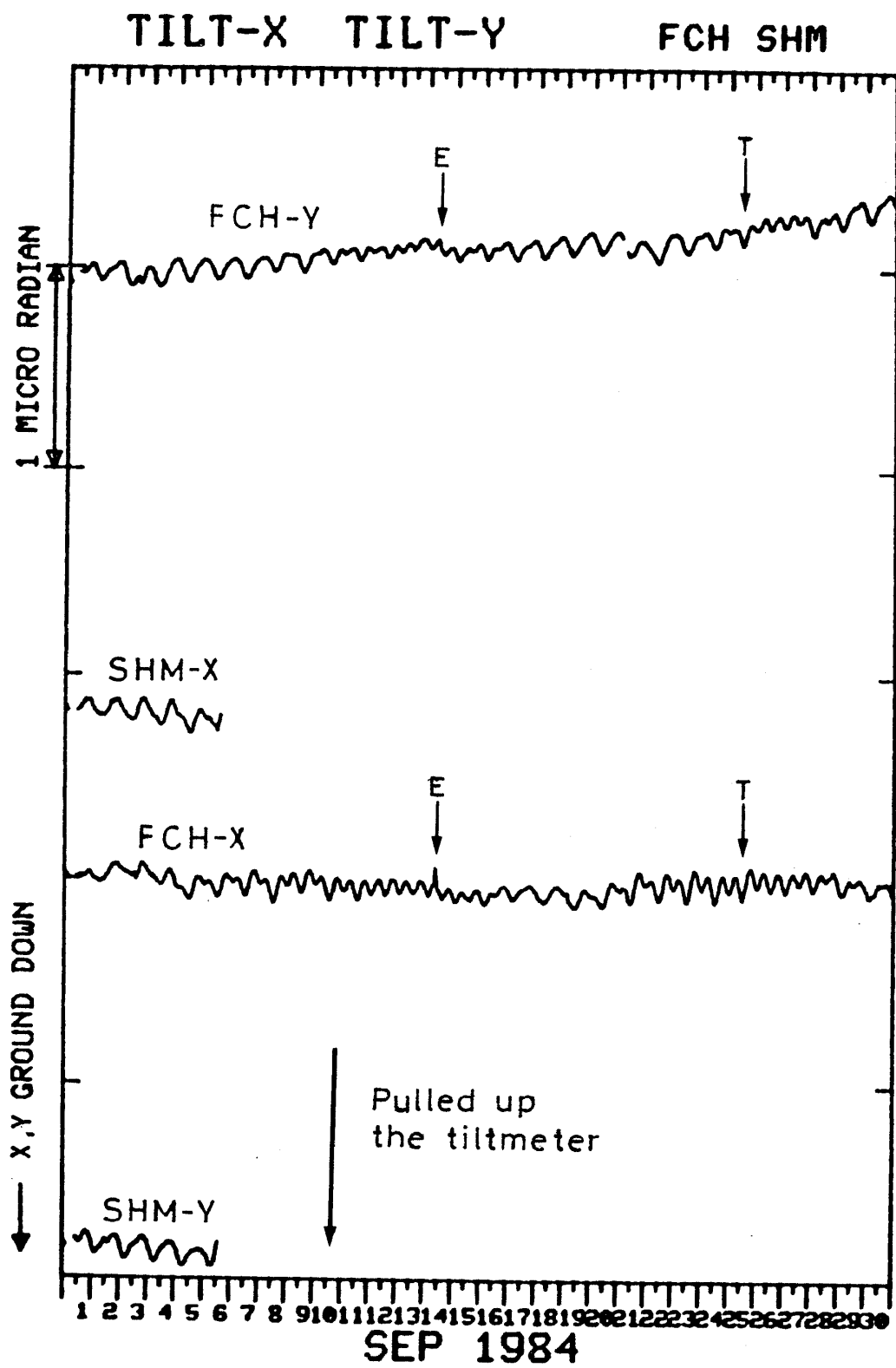


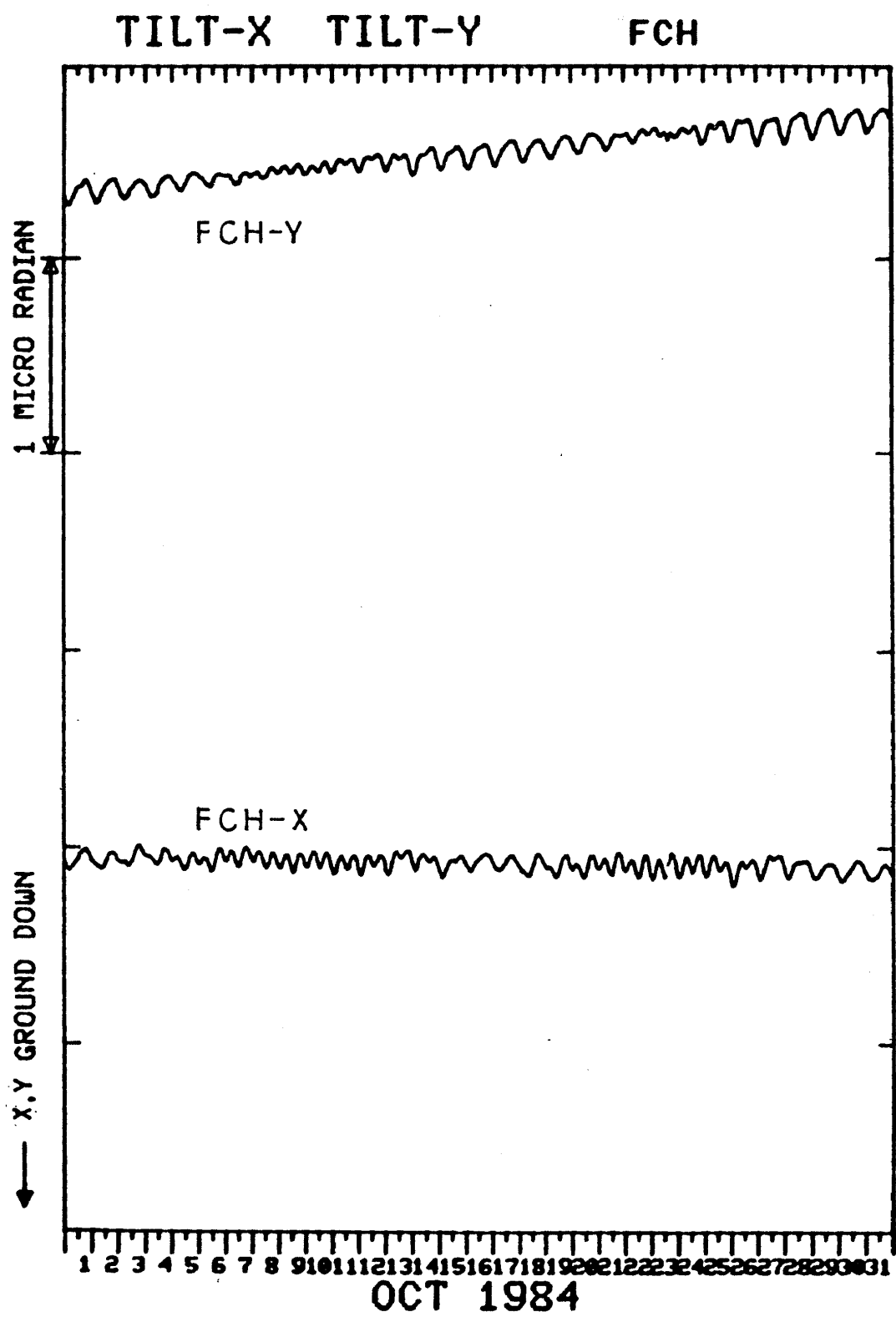


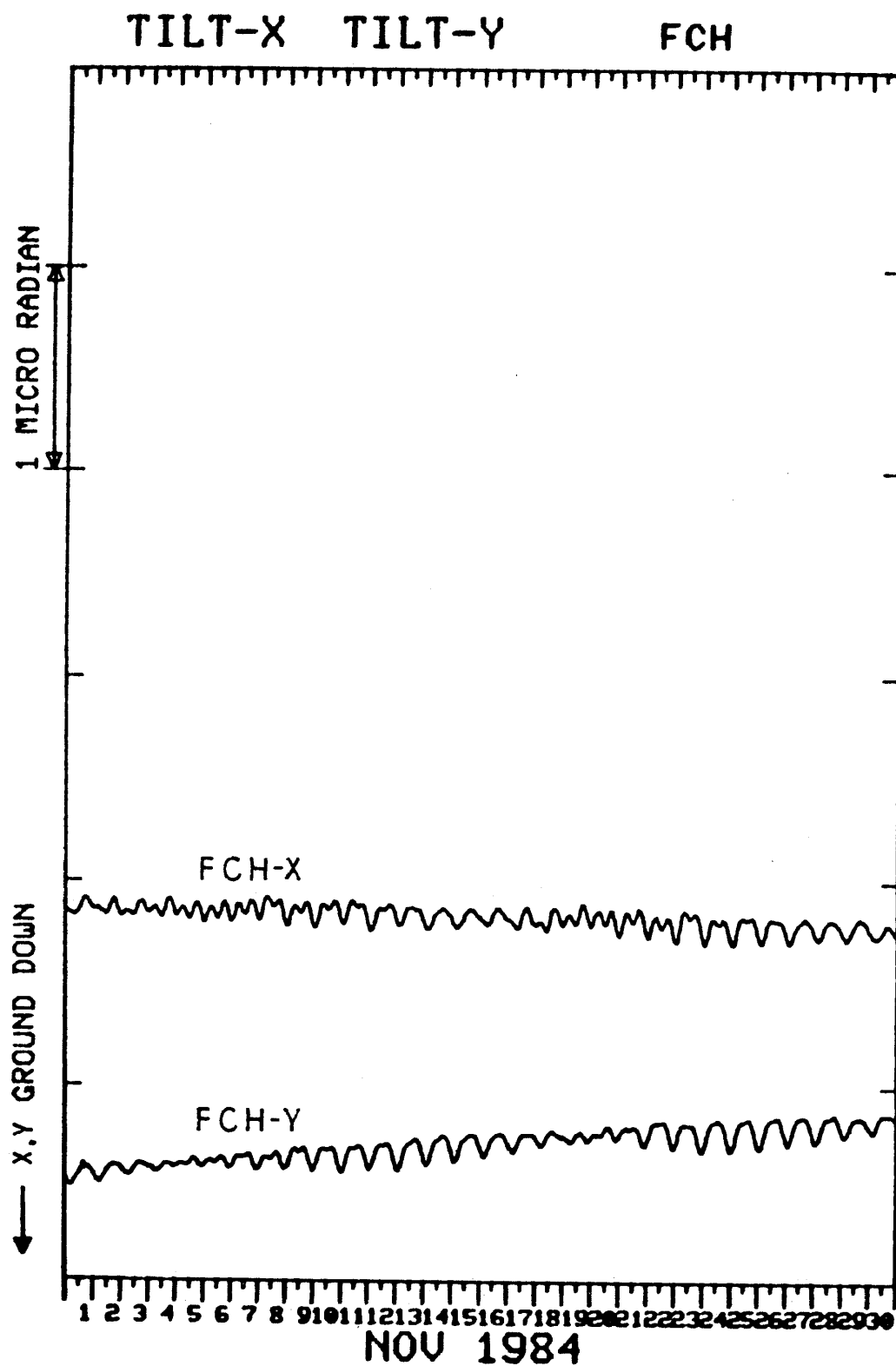












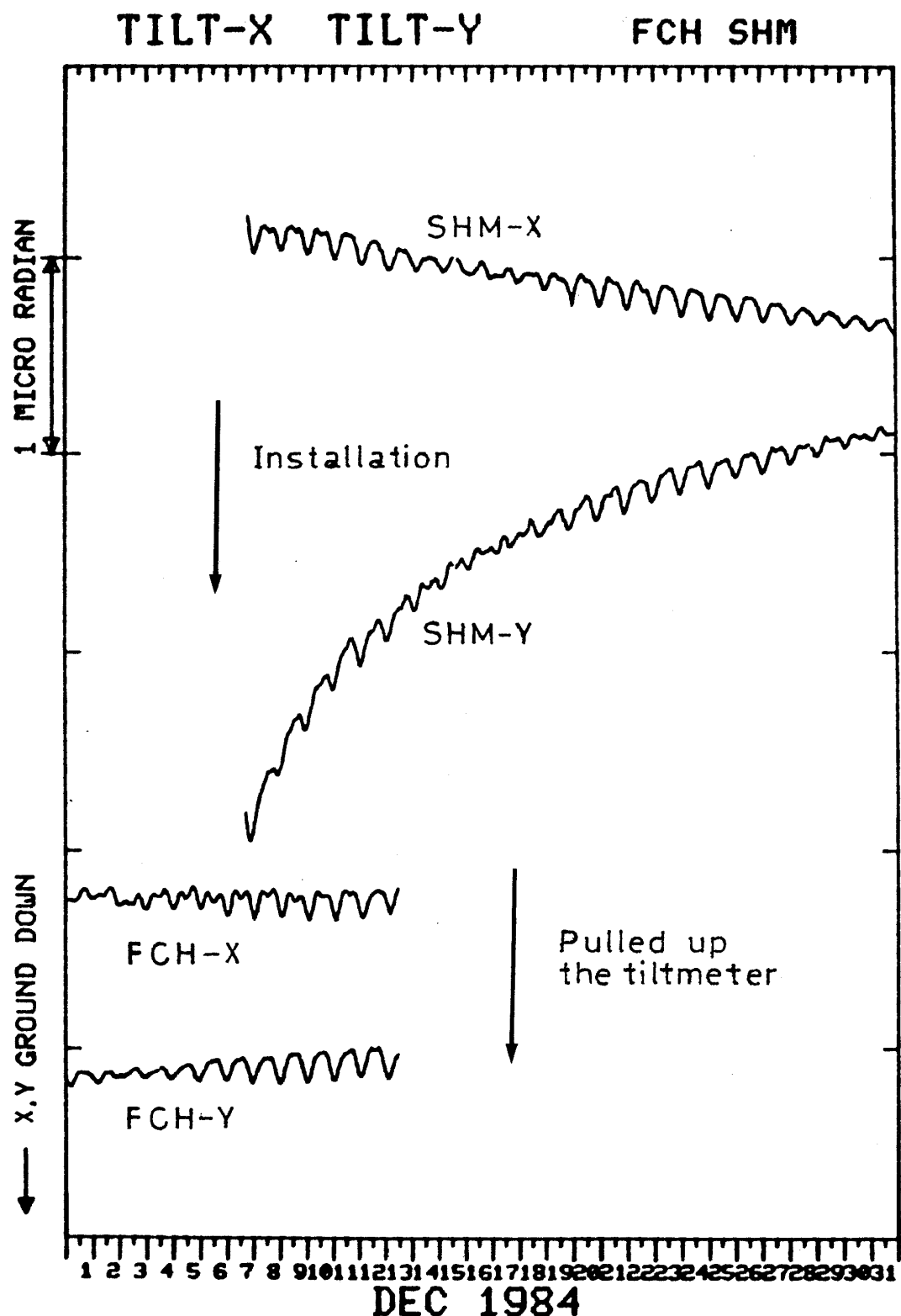


図7 野田沢(NDZ)・中伊豆(JIZ)の気圧と近又(CMT)の地中温度・日雨量

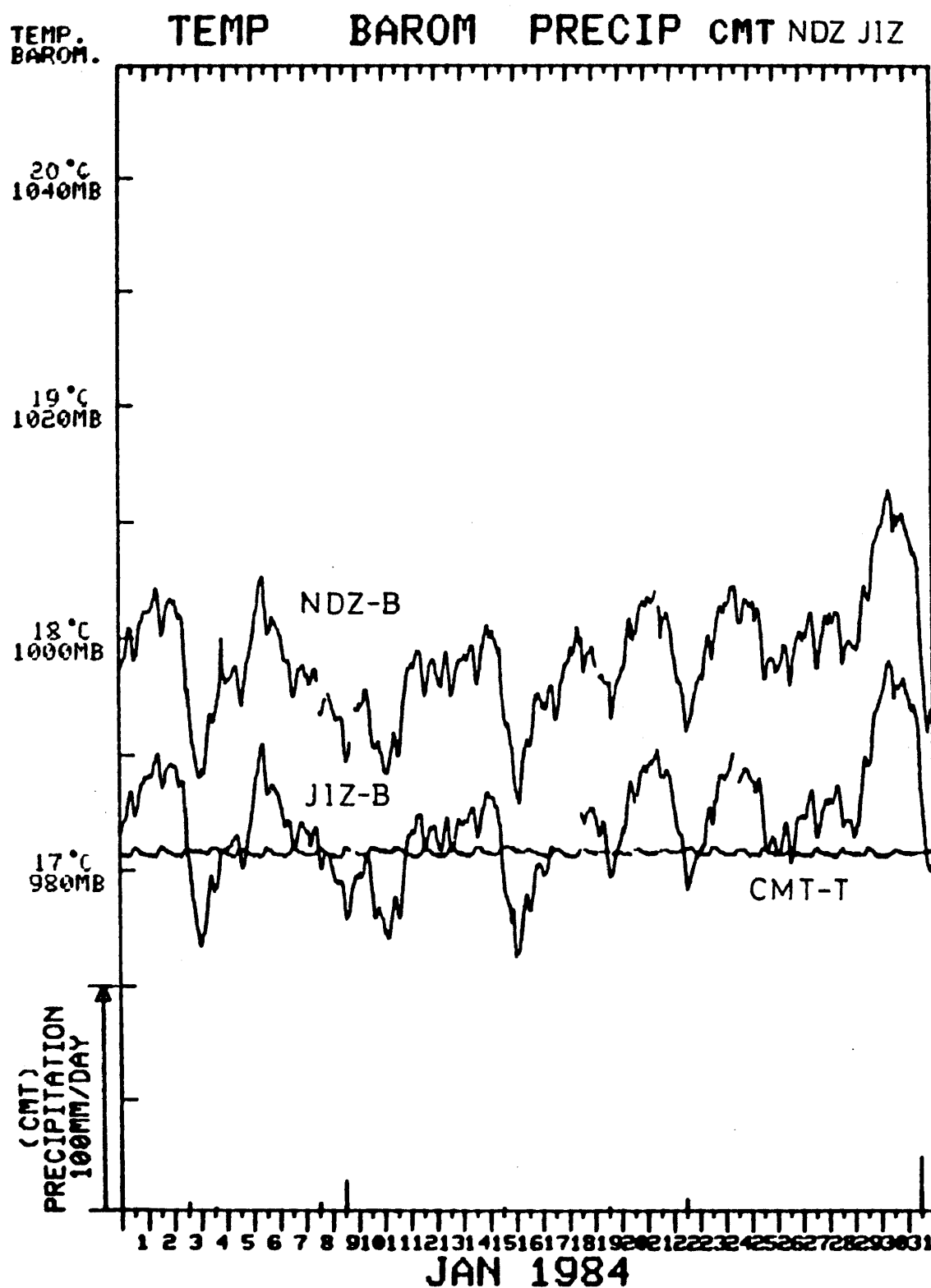
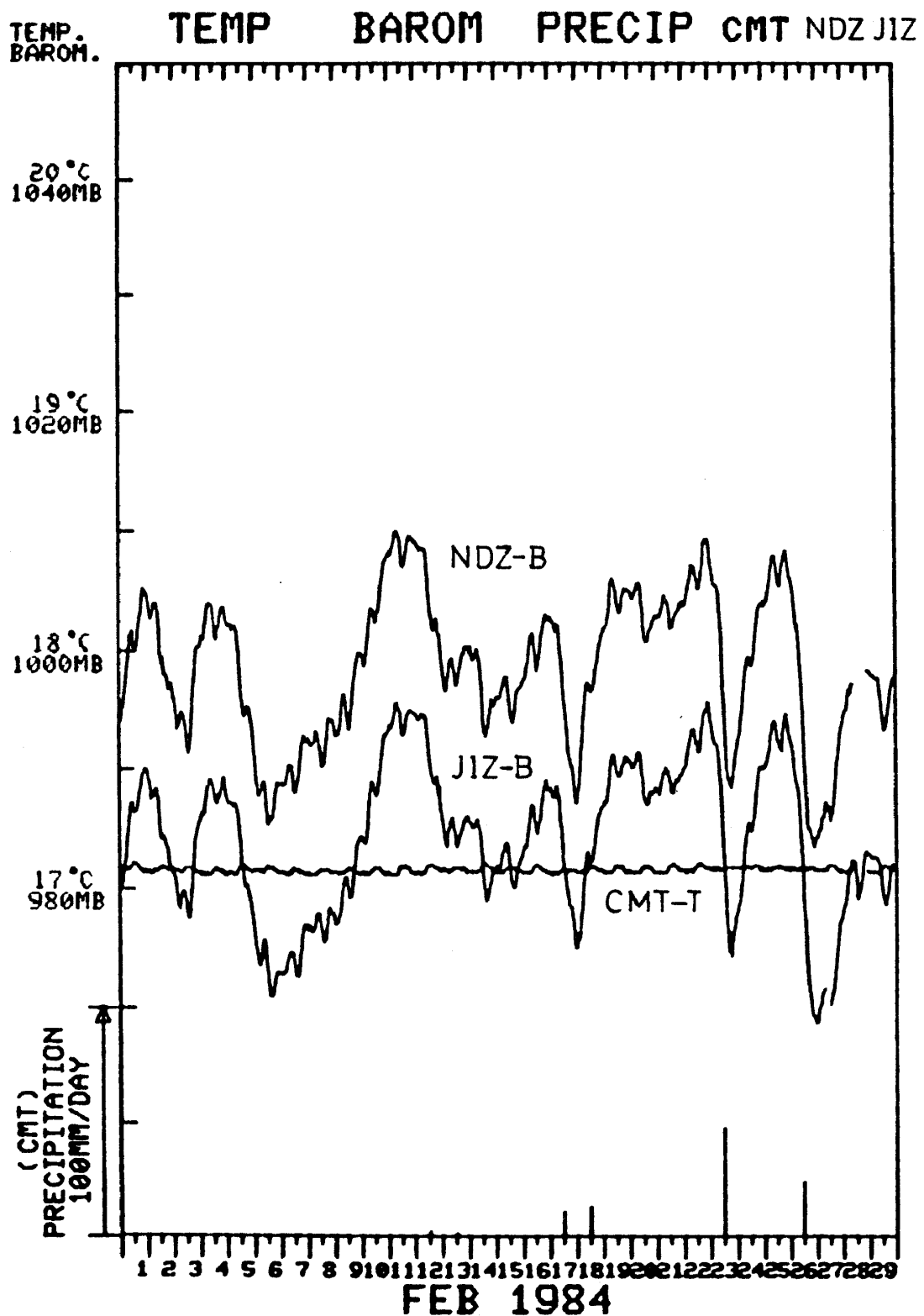
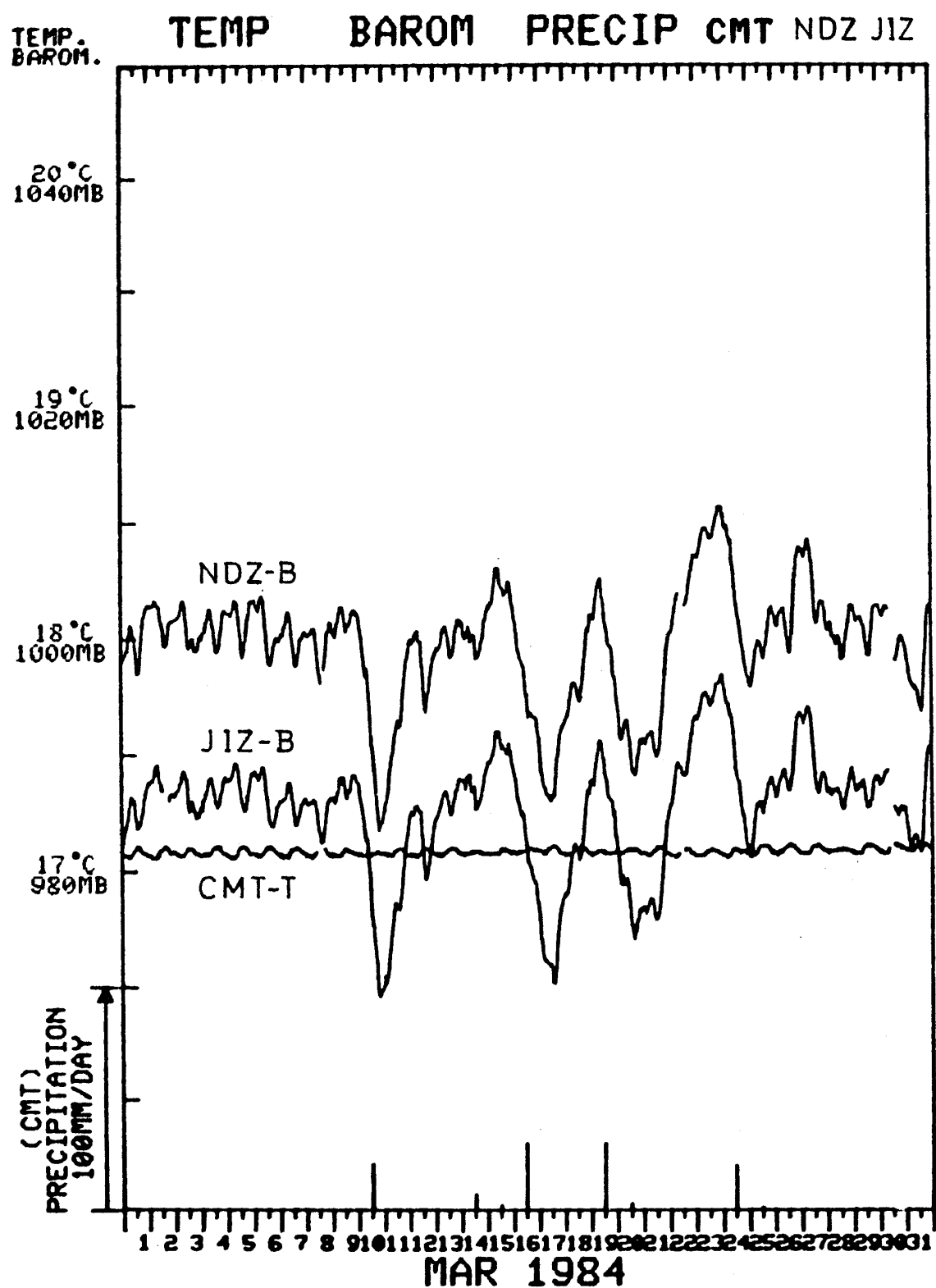
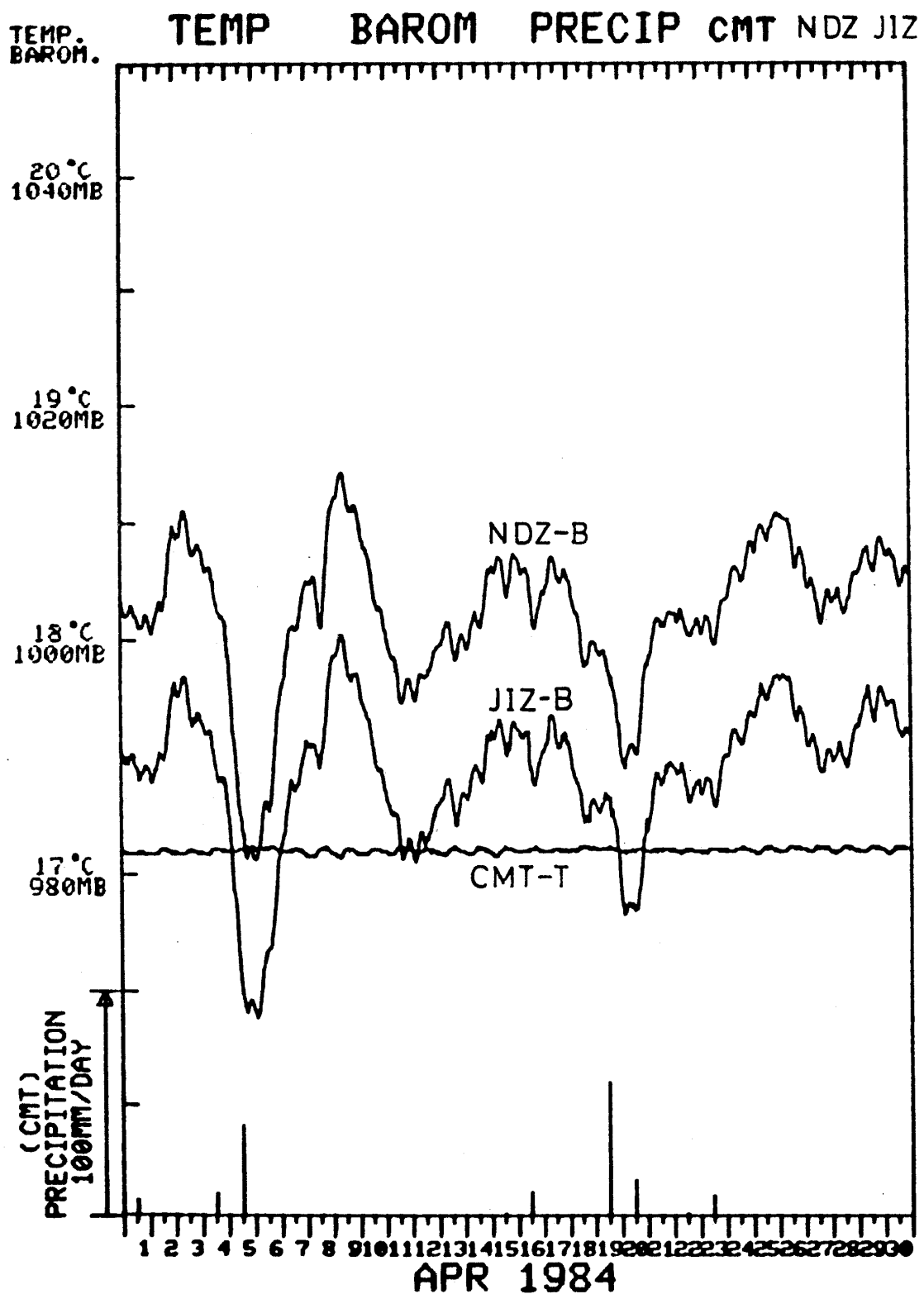
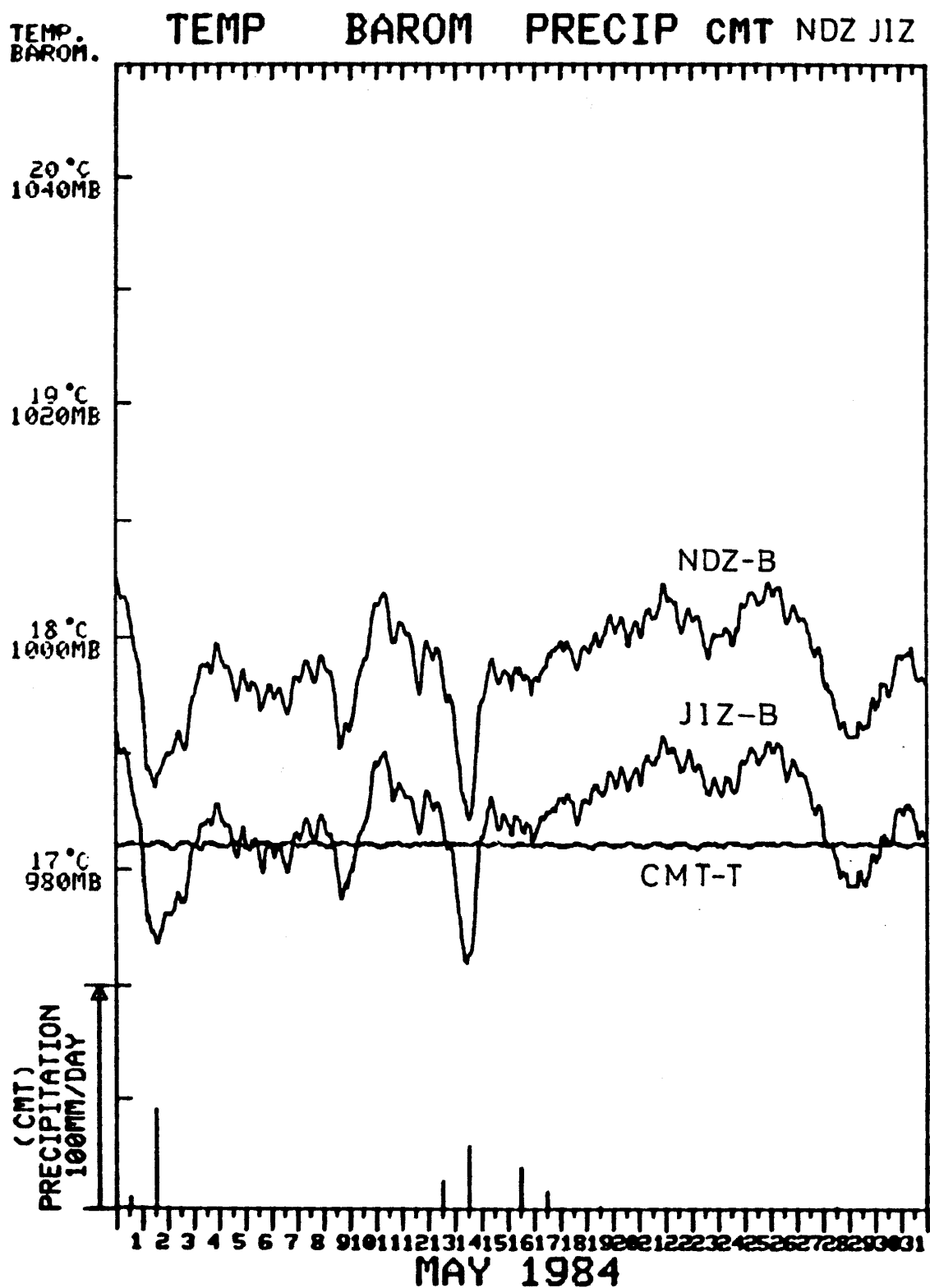


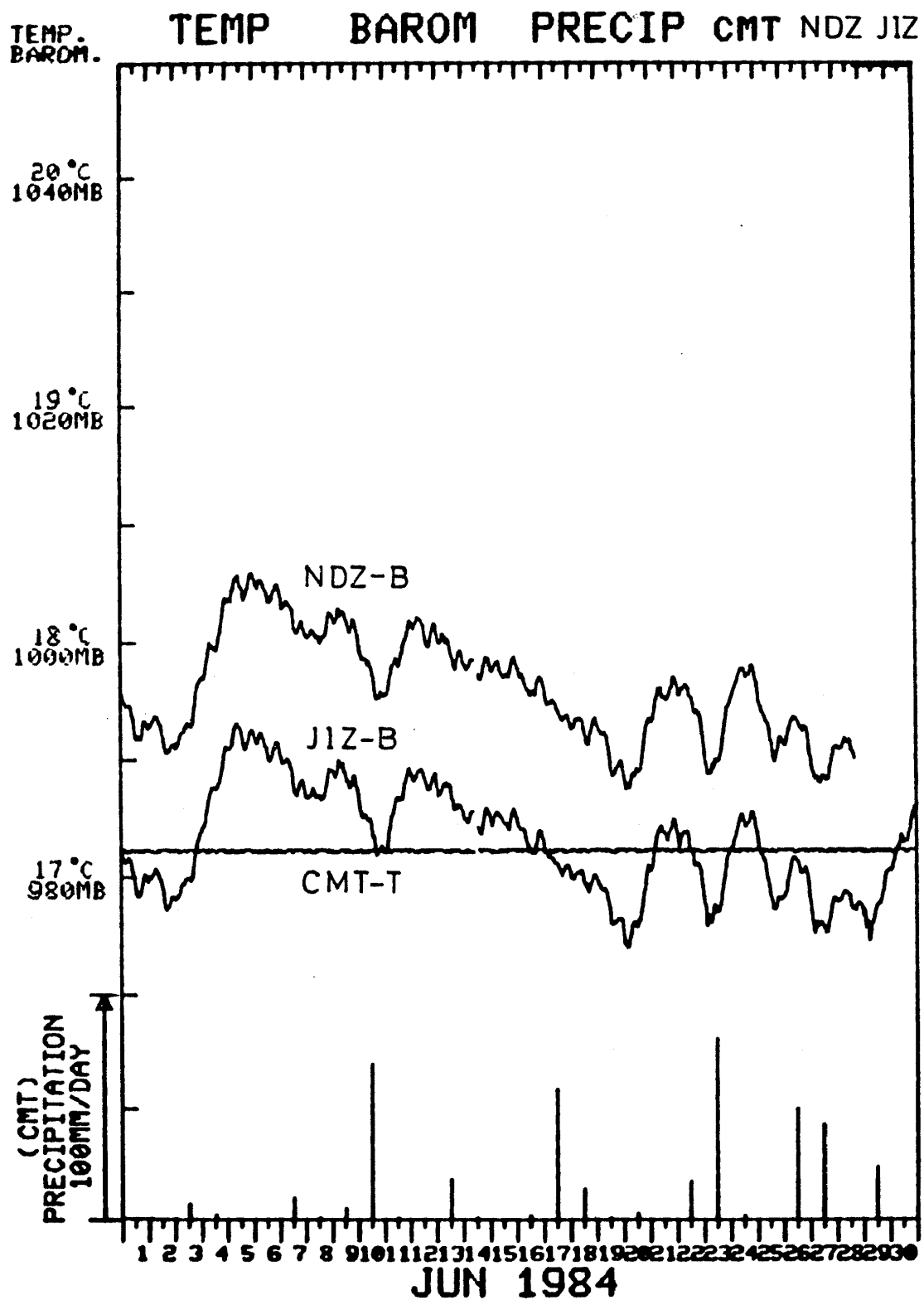
Fig. 7 Temperature (bottom of the observation well) at Chikamata (CMT), the barometric pressure at Nodazawa (NDZ) and Nakaizu (JIZ), and the daily precipitation at Chikamata.

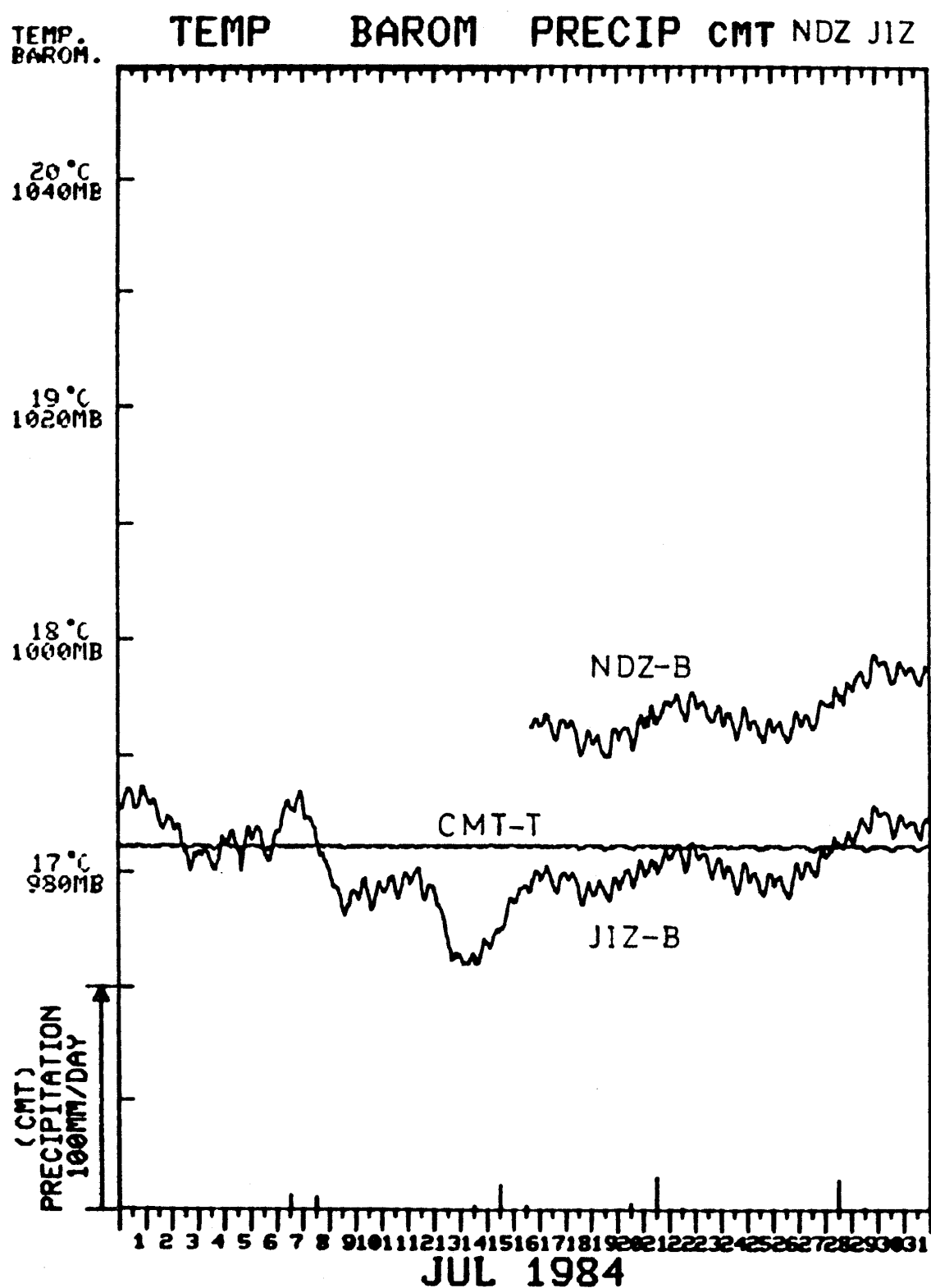


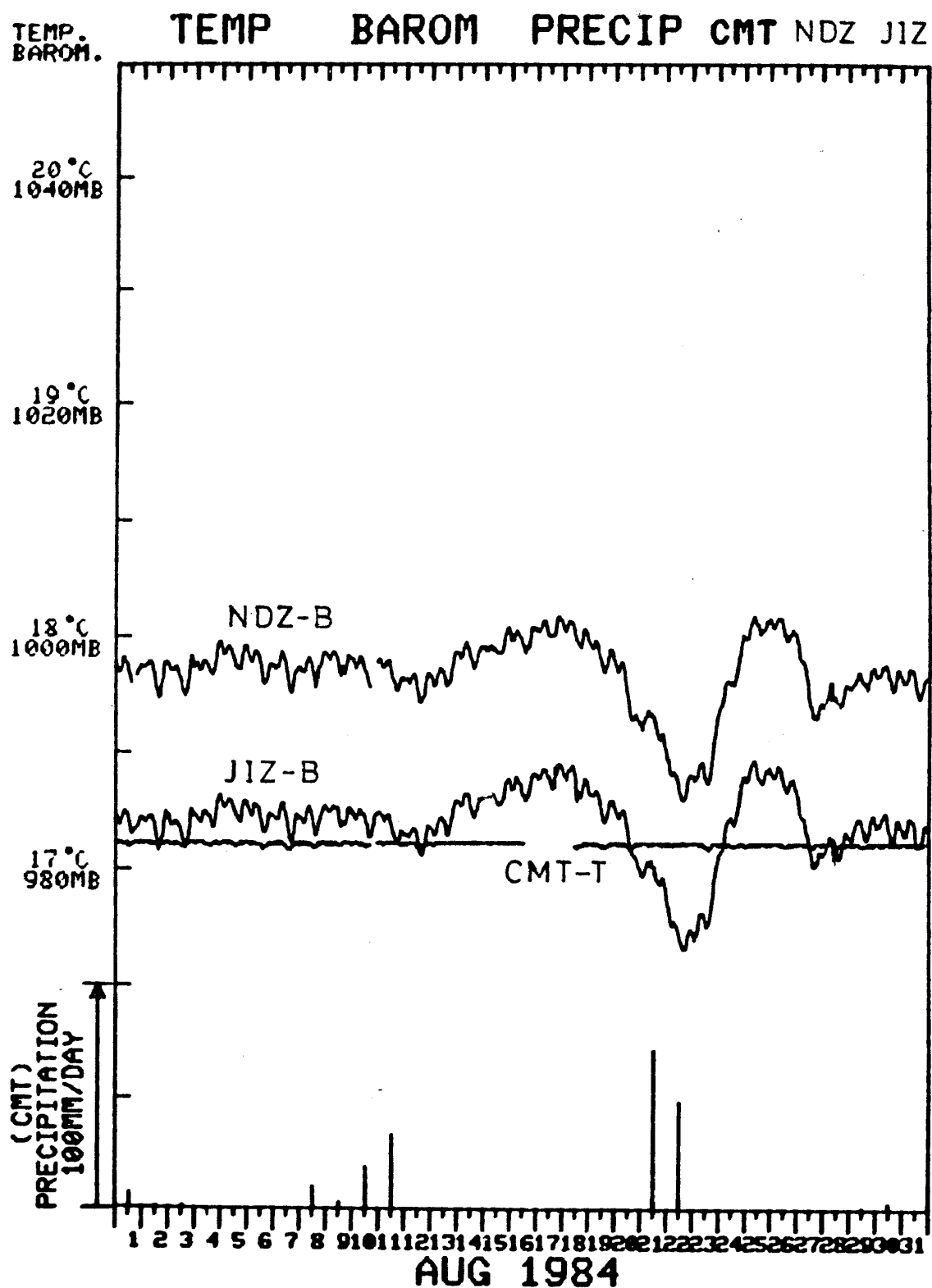


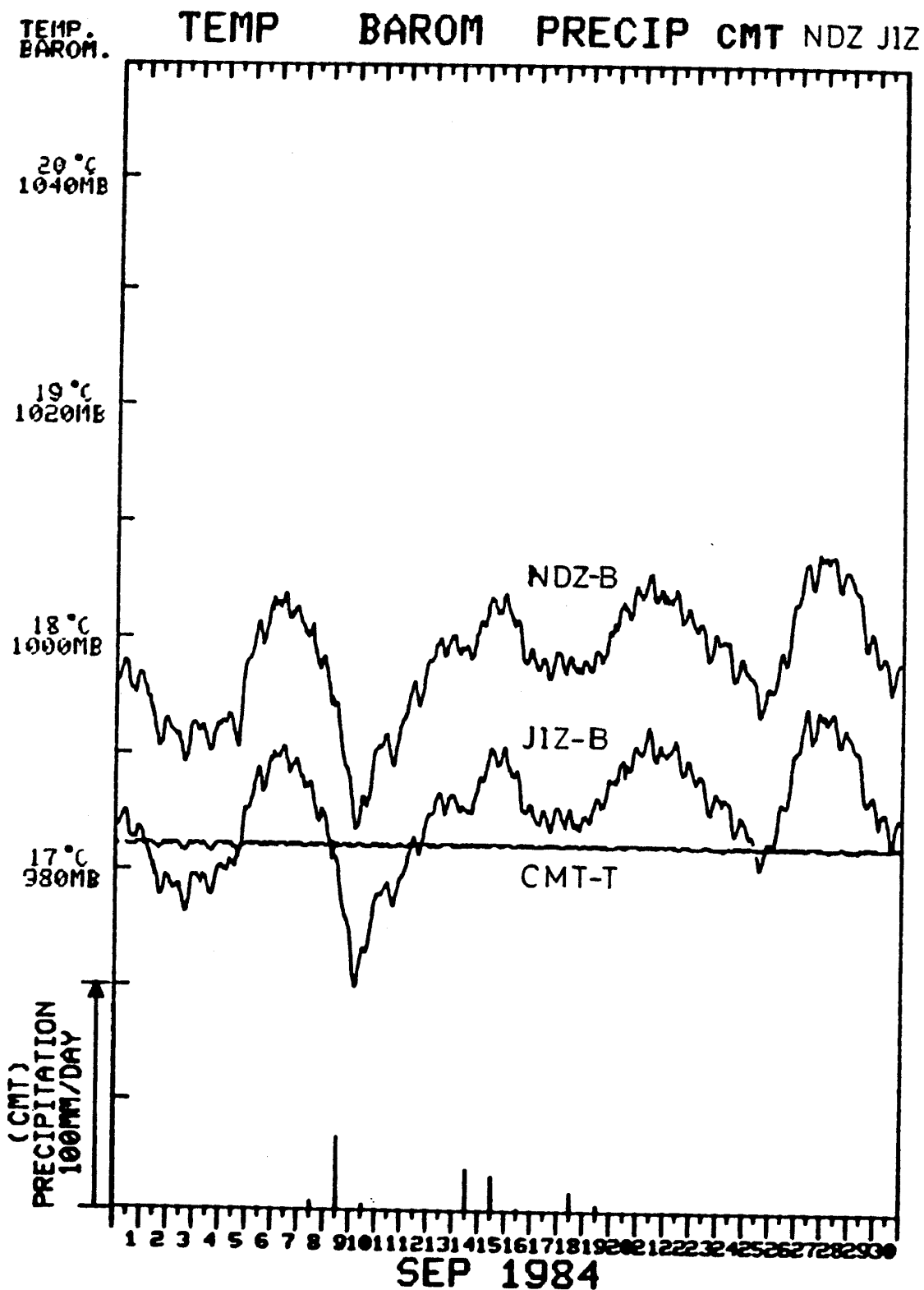


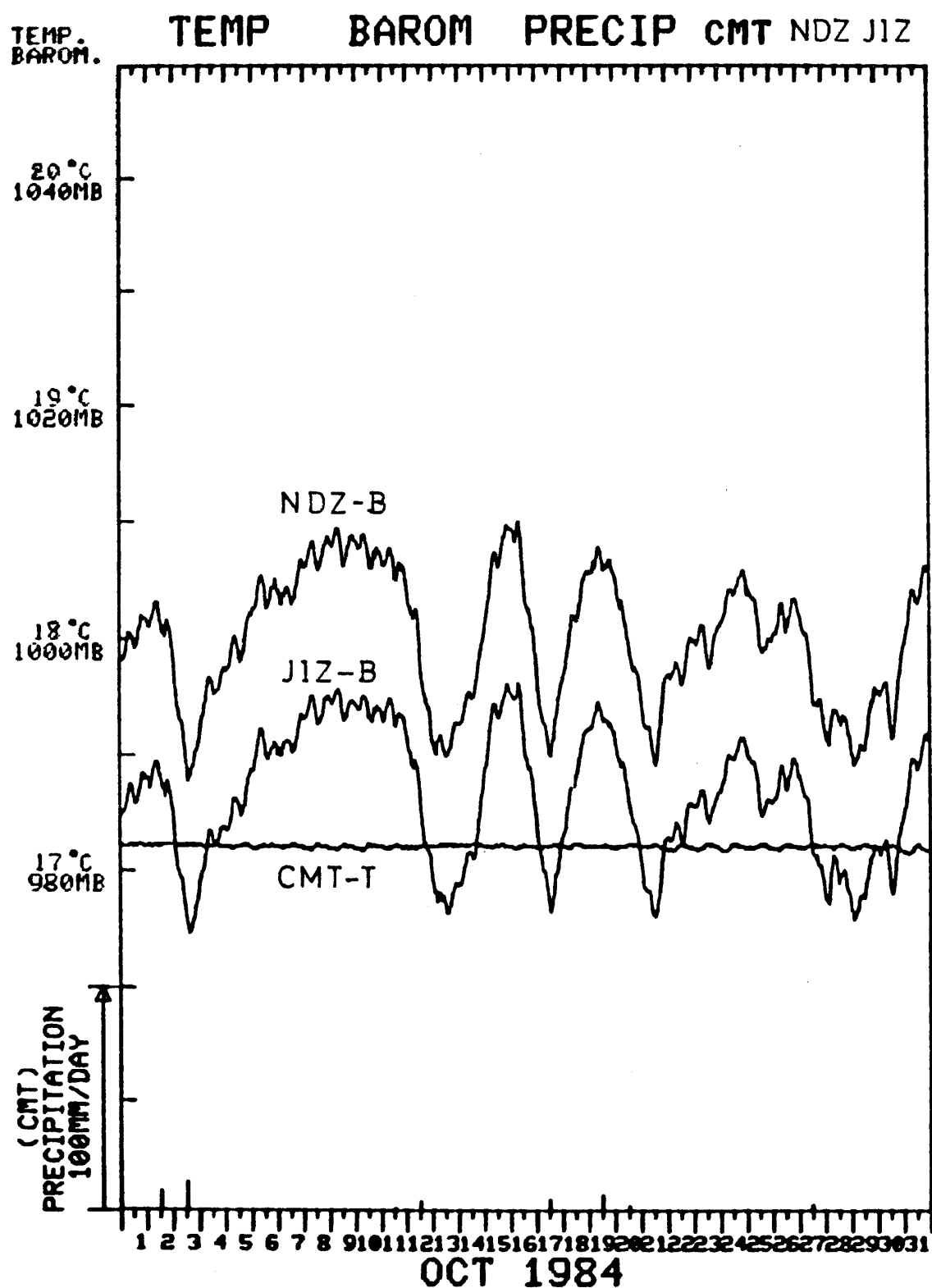


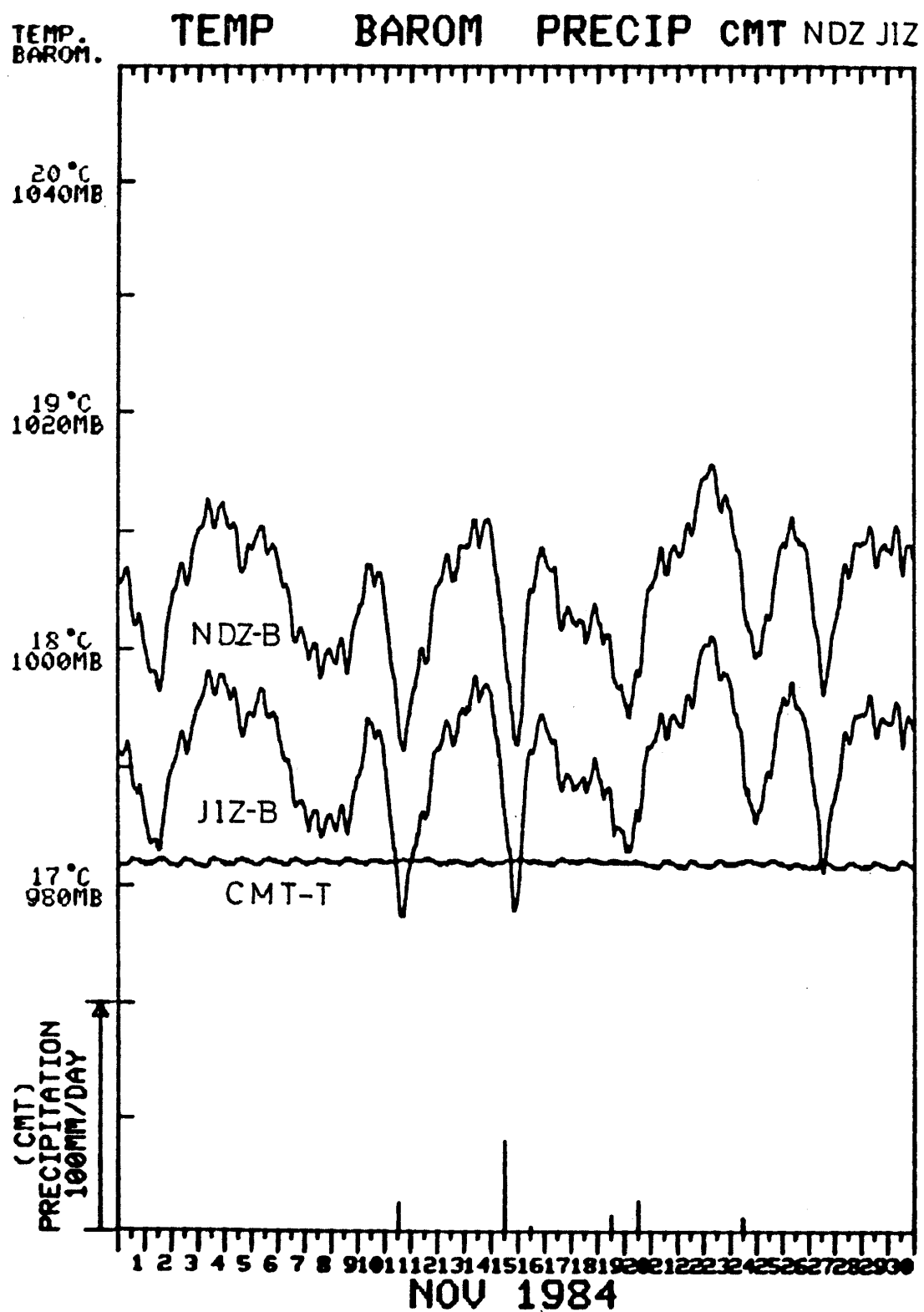












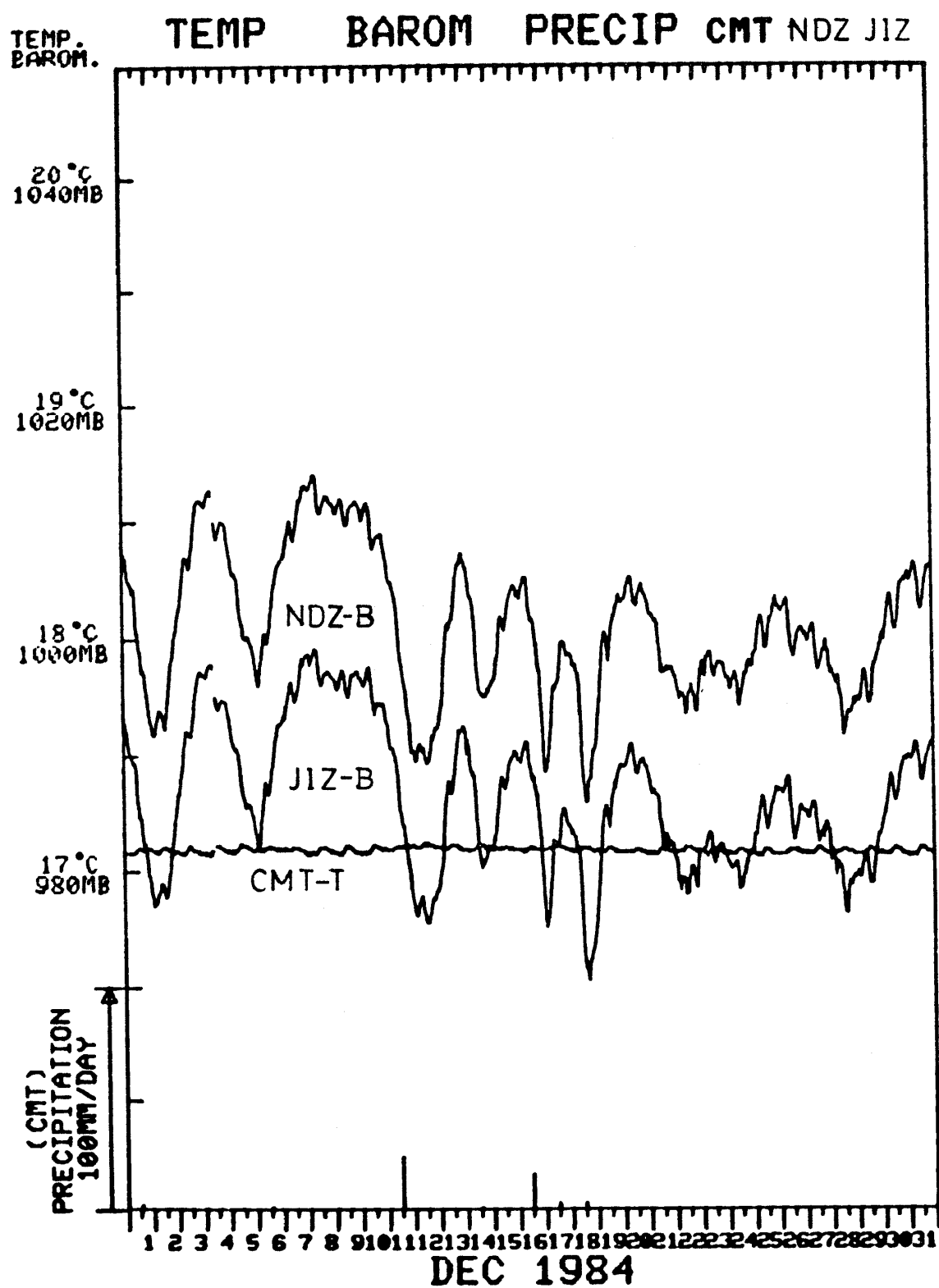
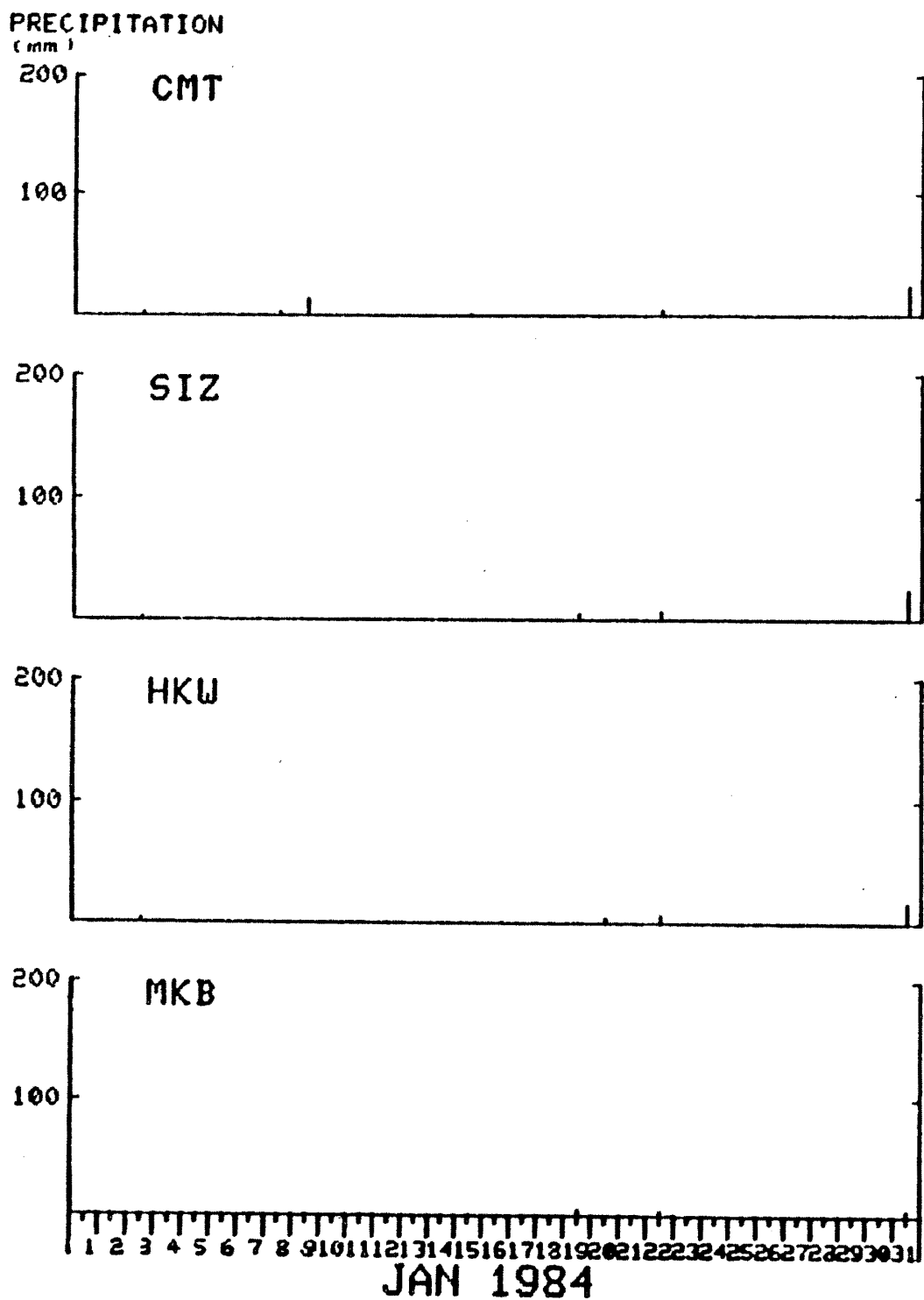
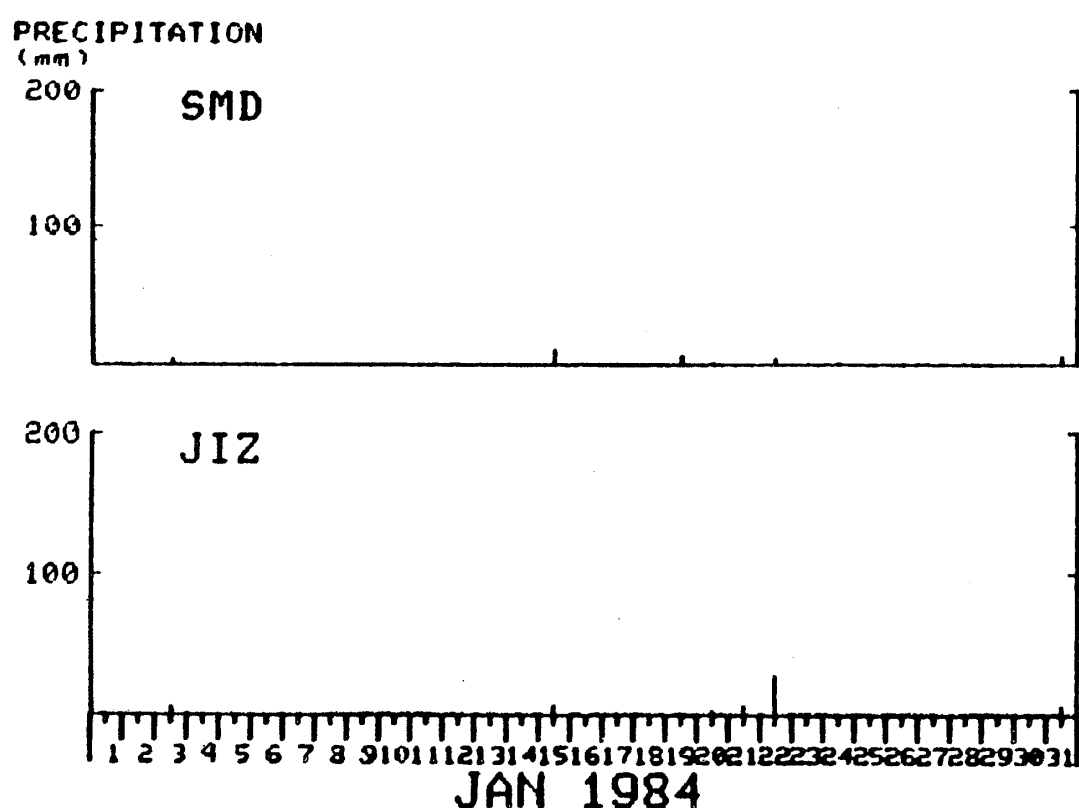


図 8 各観測施設の日雨量  
Fig. 8 Daily precipitation.





PRECIPITATION  
(mm)

200 AKU

100

200 ASG

100

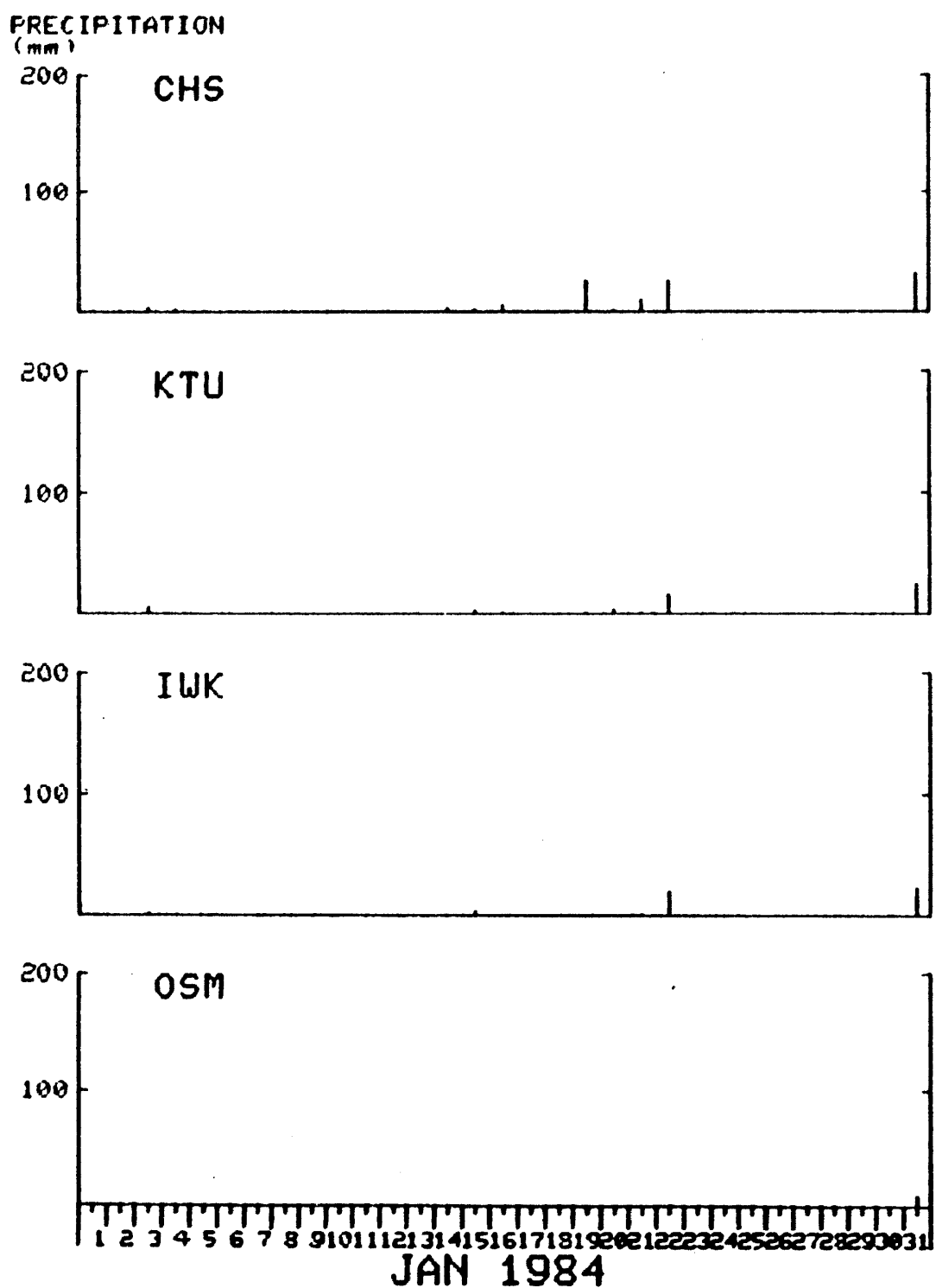
200 ENZ

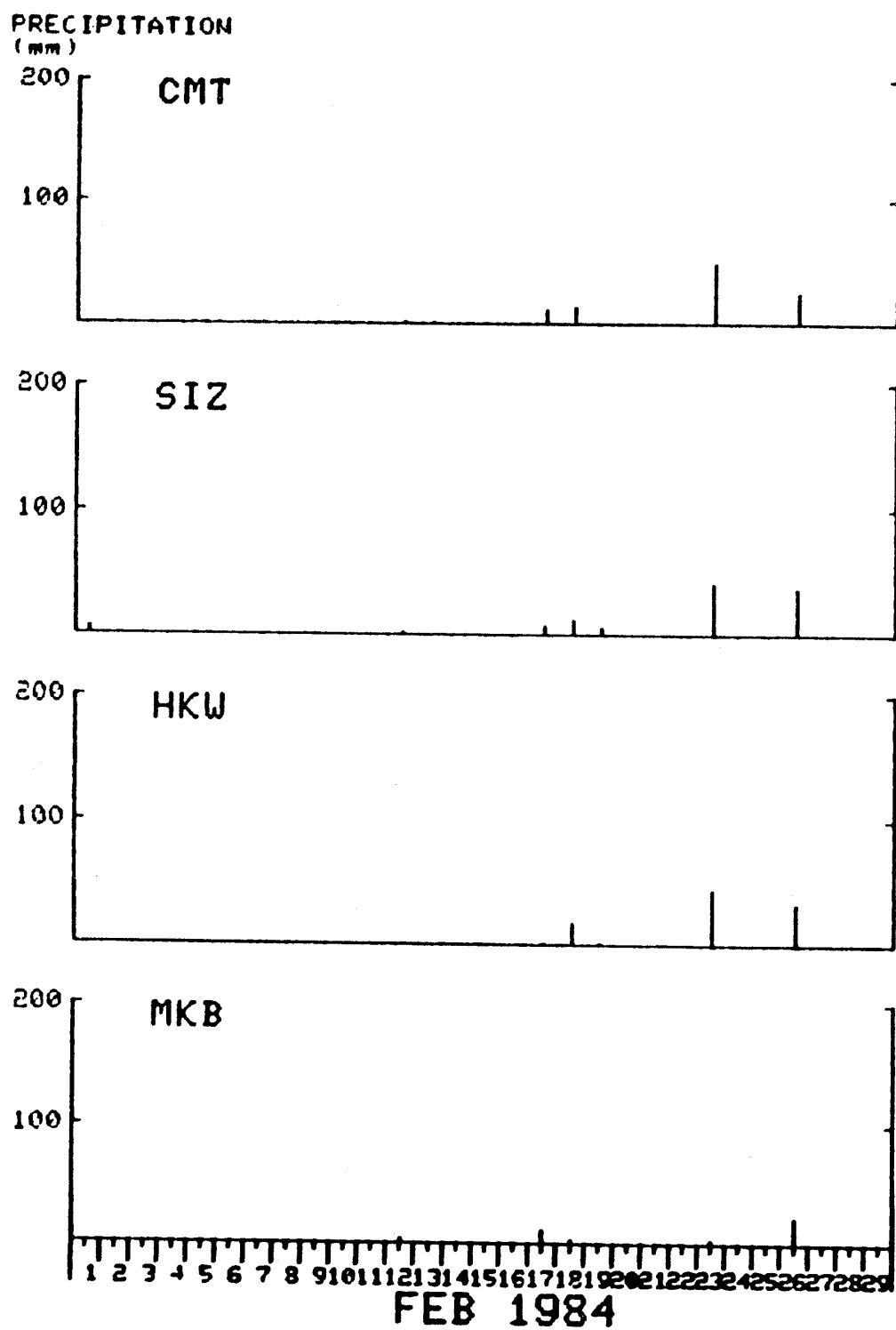
100

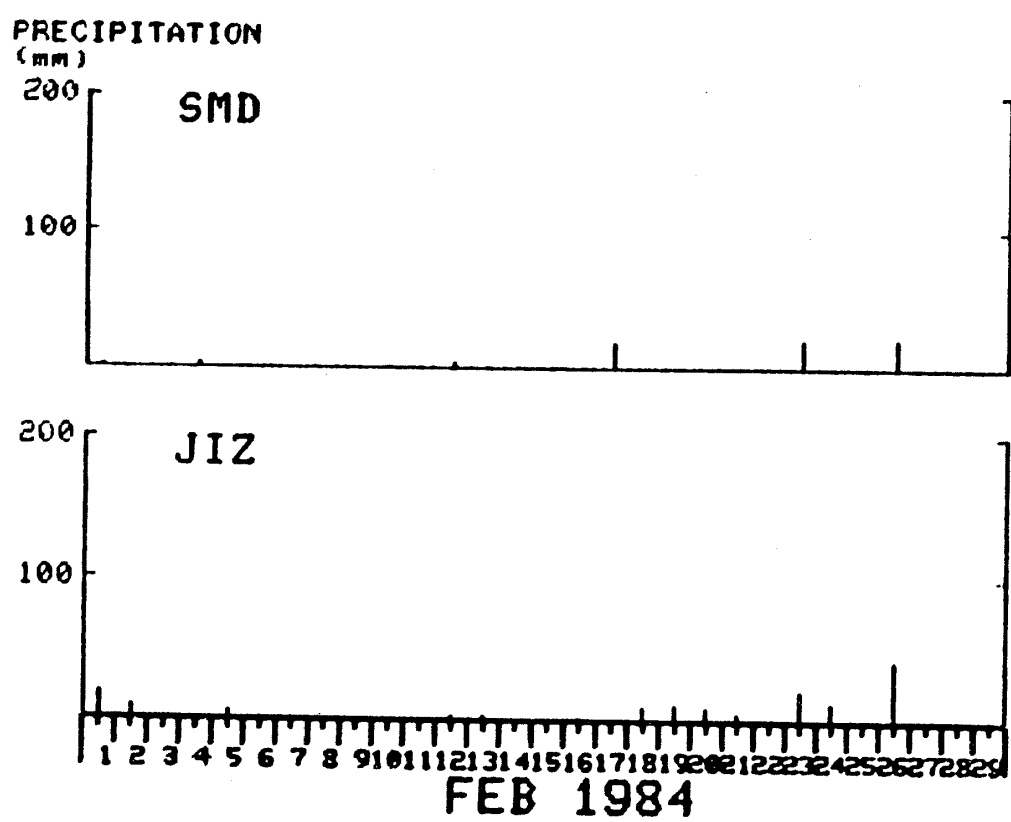
T

1 2 3 4 5 6 7 8 9 10 11 12 13 14 15 16 17 18 19 20 21 22 23 24 25 26 27 28 29 30 31

JAN 1984







PRECIPITATION  
(mm)

200

AKW

100

200

ASG

100

200

ENZ

100

1 2 3 4 5 6 7 8 9 10 11 12 13 14 15 16 17 18 19 20 21 22 23 24 25 26 27 28 29

FEB 1984

PRECIPITATION  
(mm)

200 CHS

100

200 KTU

100

200 IWK

100

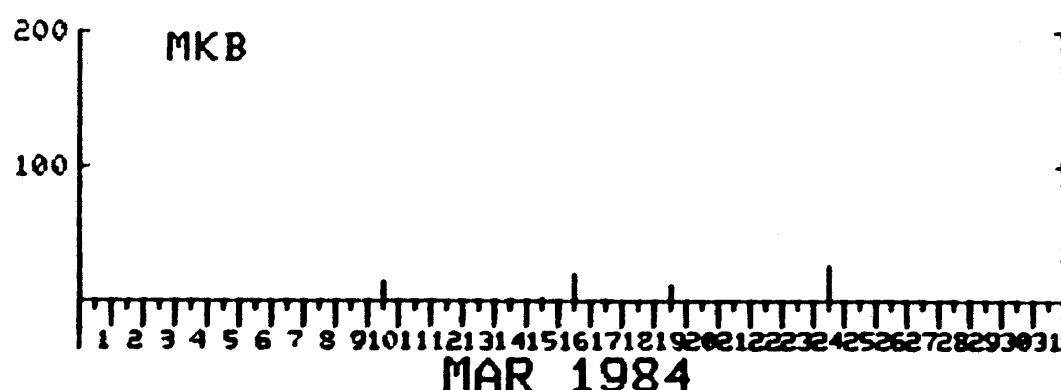
200 OSM

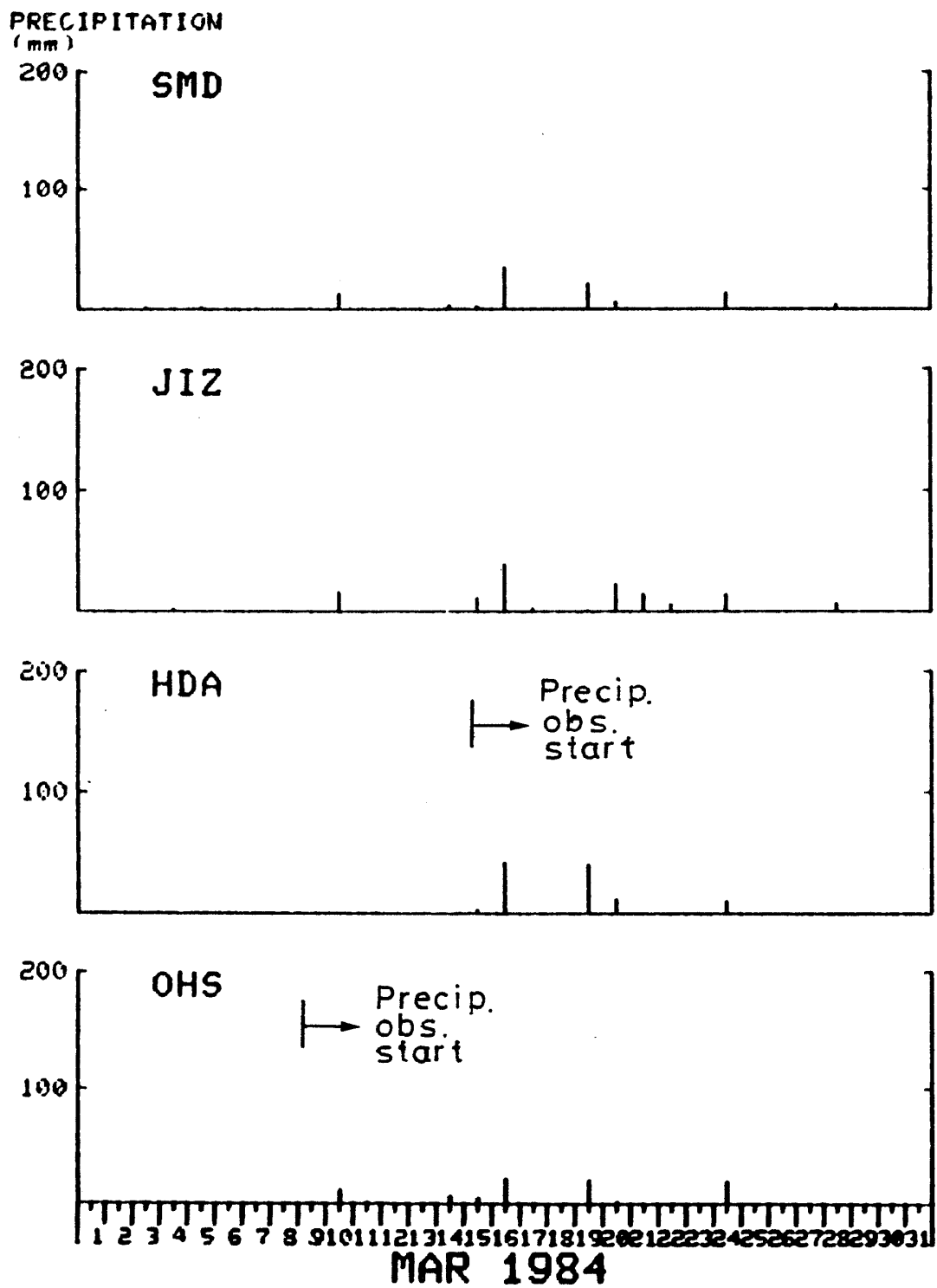
100

1 2 3 4 5 6 7 8 9 10 11 12 13 14 15 16 17 18 19 20 21 22 23 24 25 26 27 28 29

FEB 1984

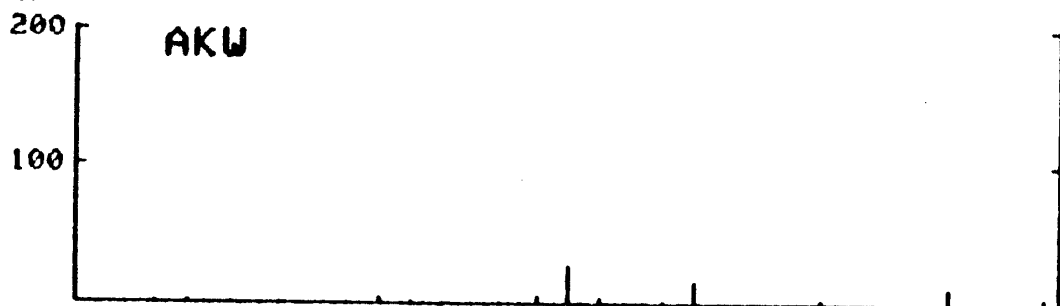
PRECIPITATION  
(mm)





PRECIPITATION  
(mm)

AKW



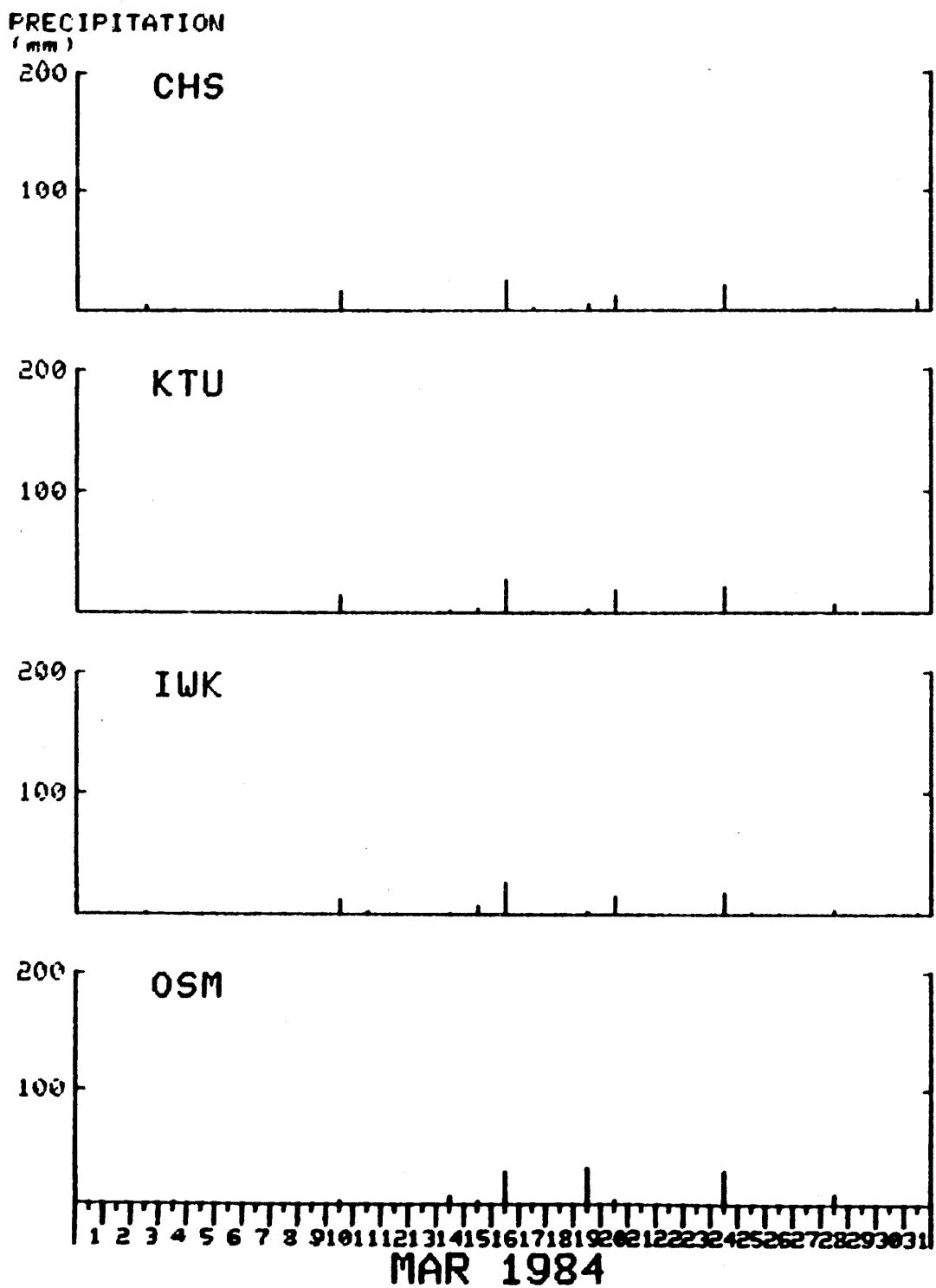
YMK

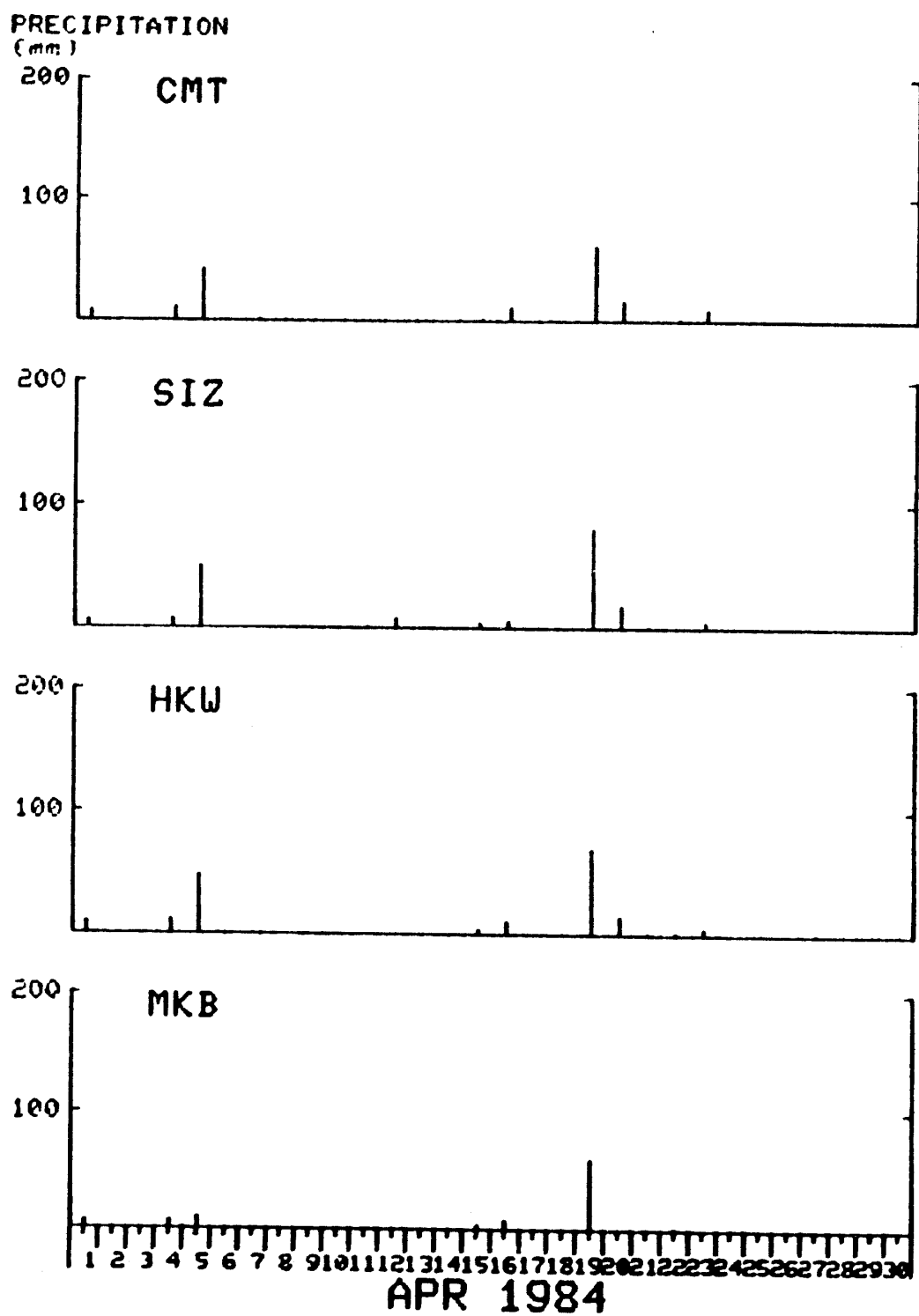
Precip.  
obs.  
start

ASG

ENZ

MAR 1984





PRECIPITATION  
(mm)

SMD

200

100



JIZ

200

100



HDA

200

100



OHS

200

100



APR 1984

PRECIPITATION  
(mm)

AKW

200

100

0

200

100

0

200

100

0

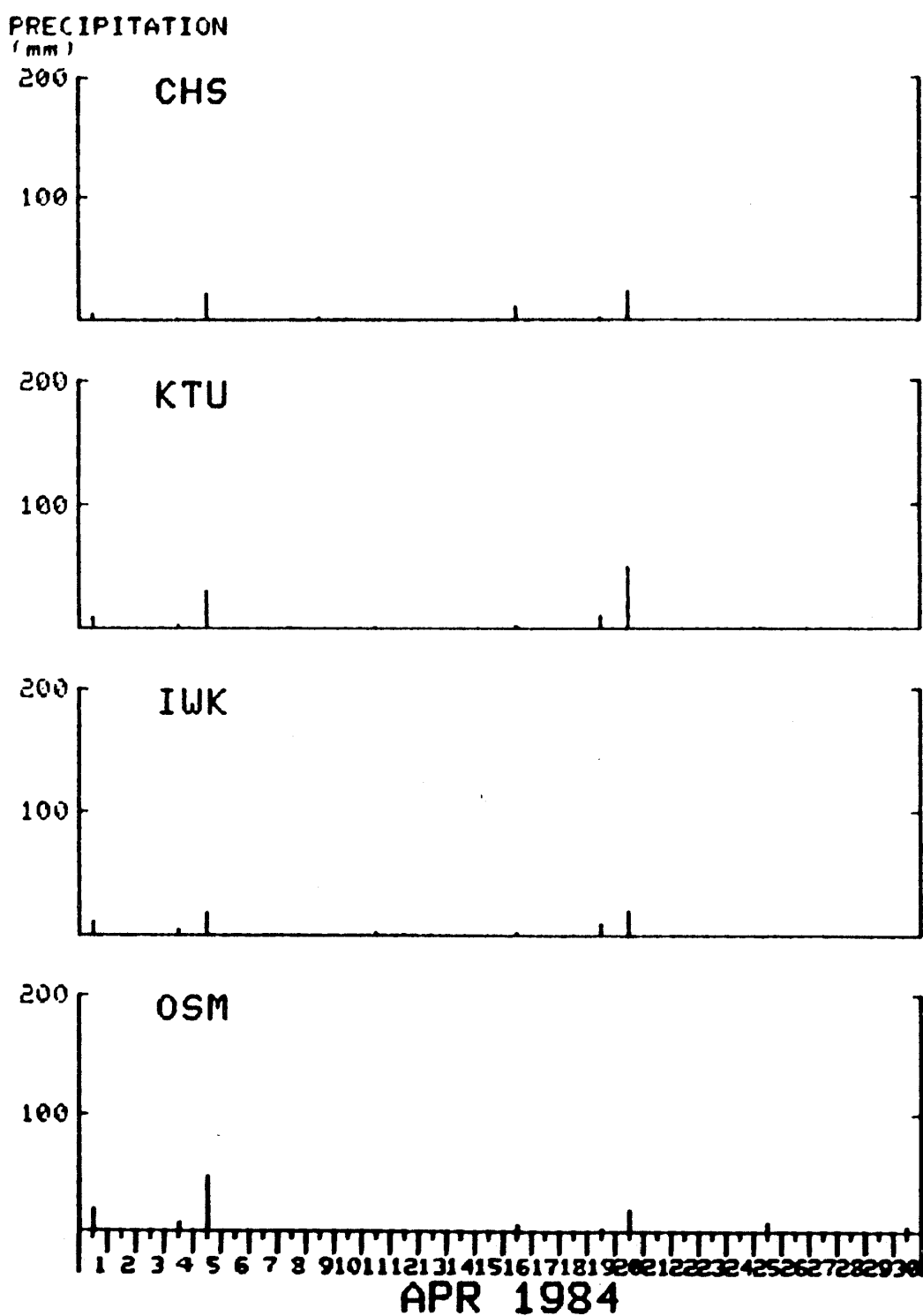
200

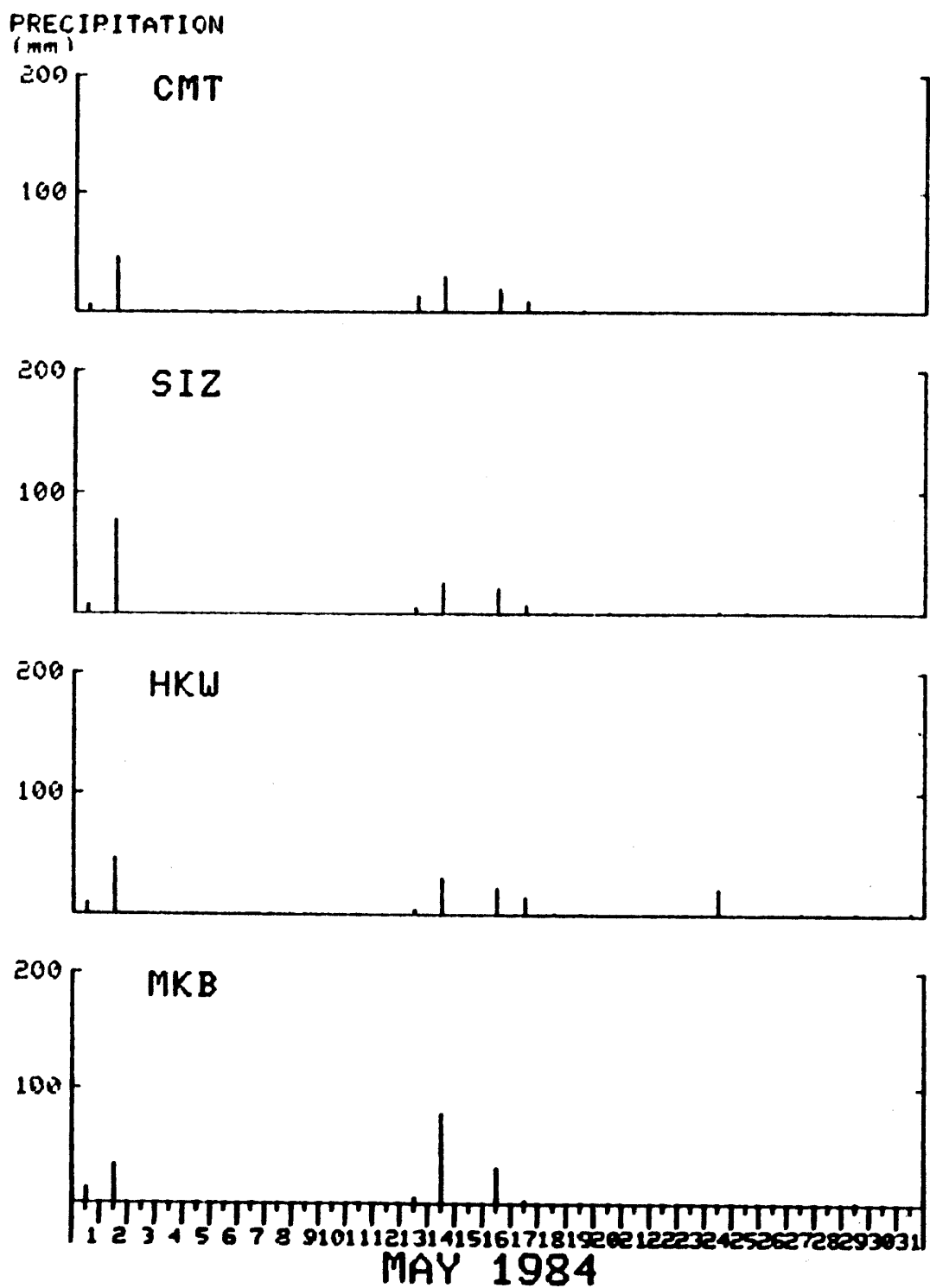
100

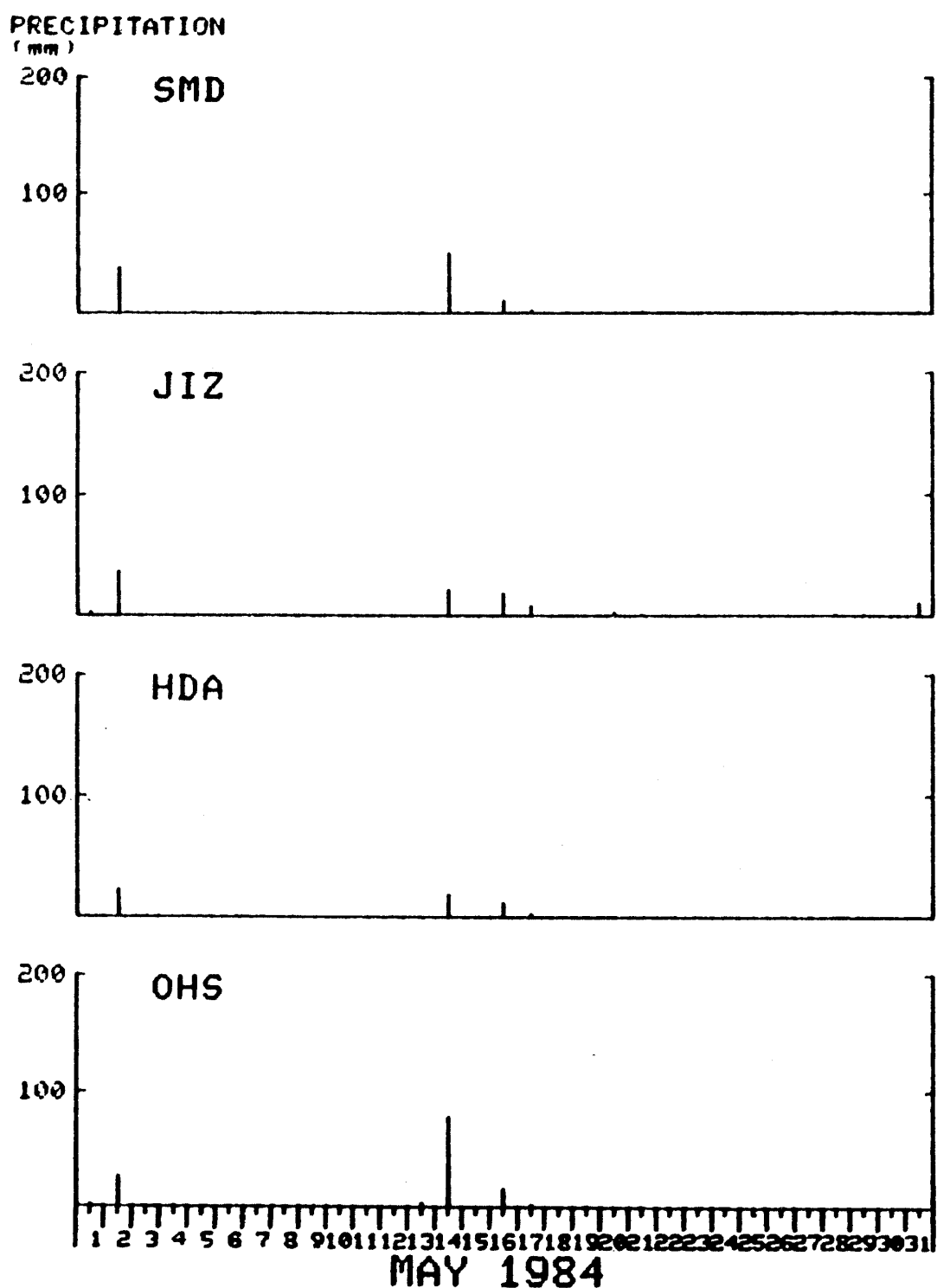
0

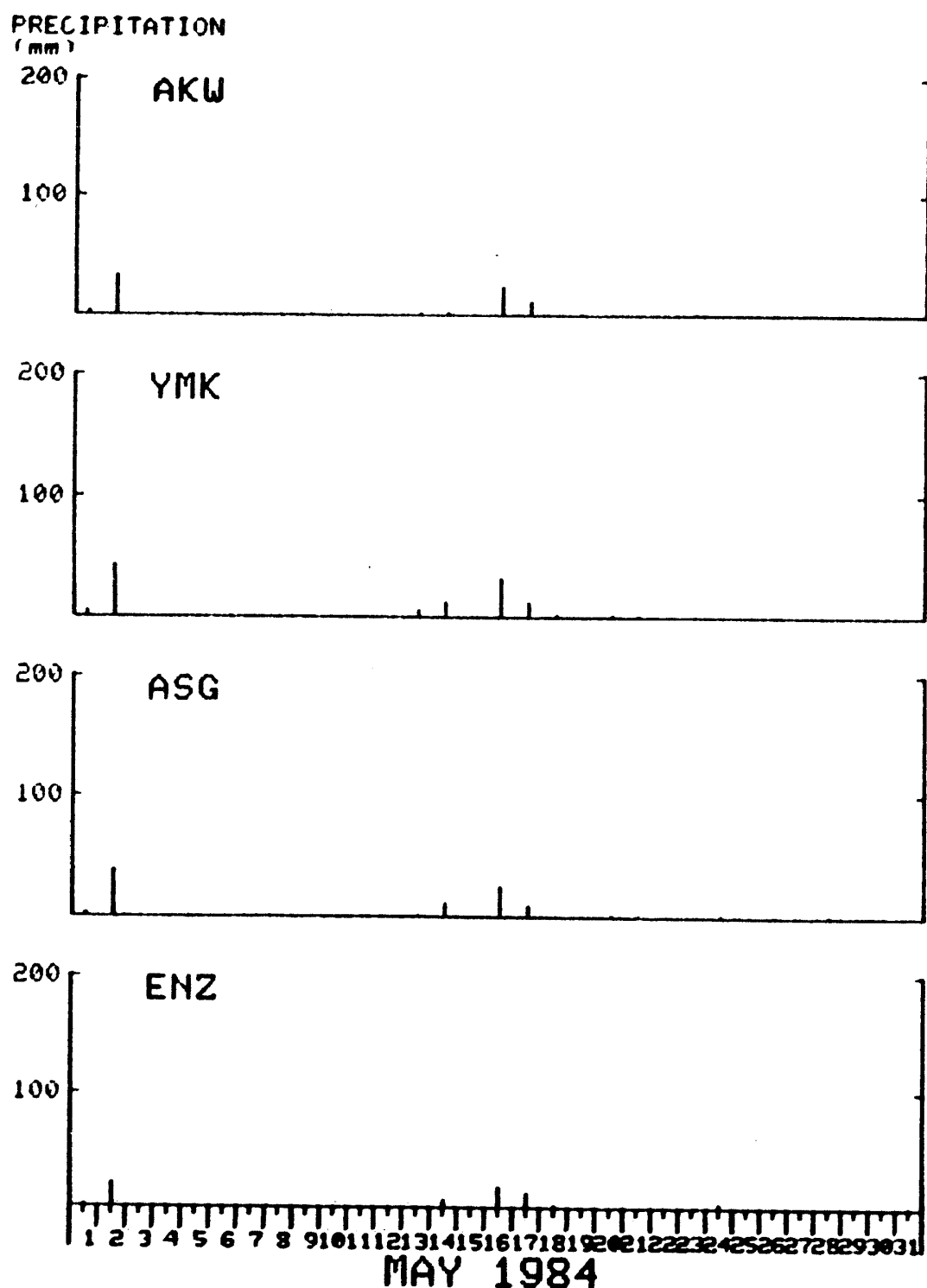
1 2 3 4 5 6 7 8 9 10 11 12 13 14 15 16 17 18 19 20 21 22 23 24 25 26 27 28 29 30

APR 1984









PRECIPITATION  
(mm)

CHS

200

100

200

100

200

100

200

100

KTU

IWK

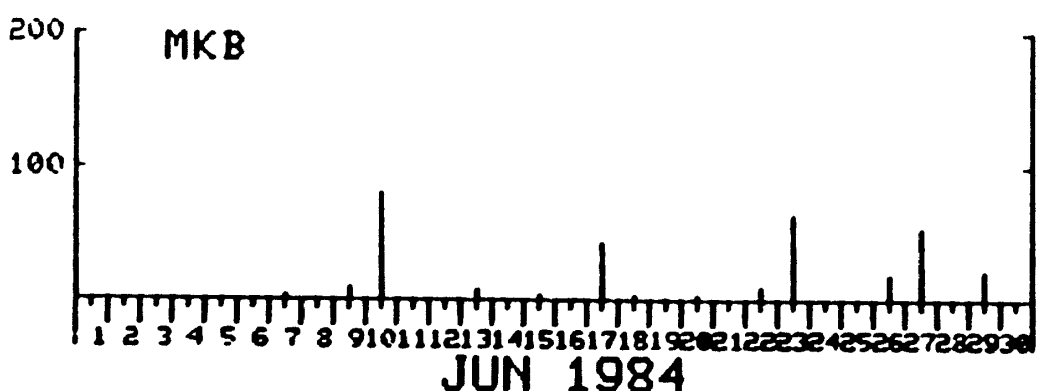
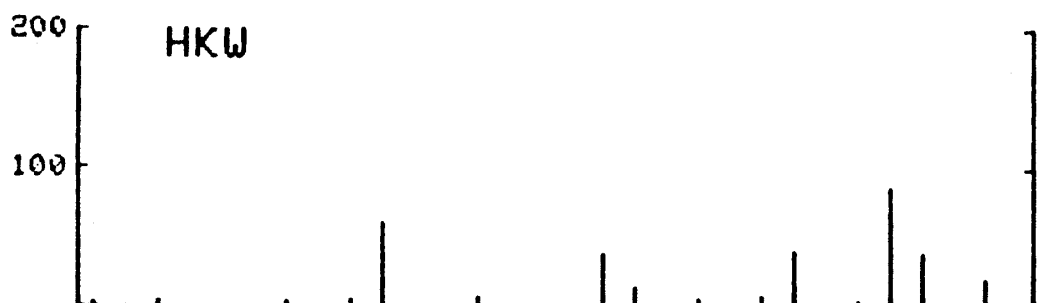
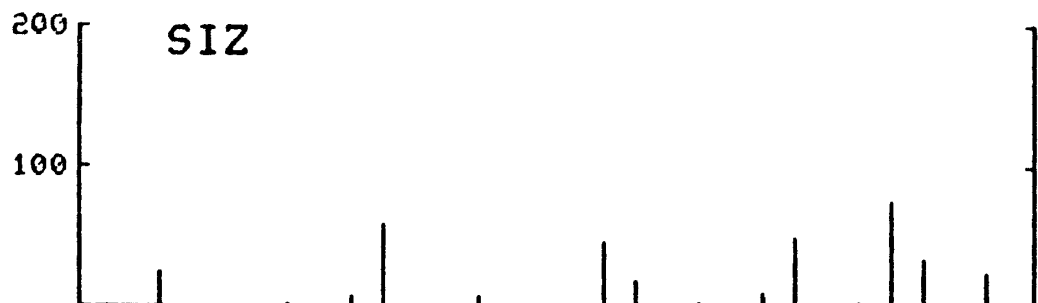
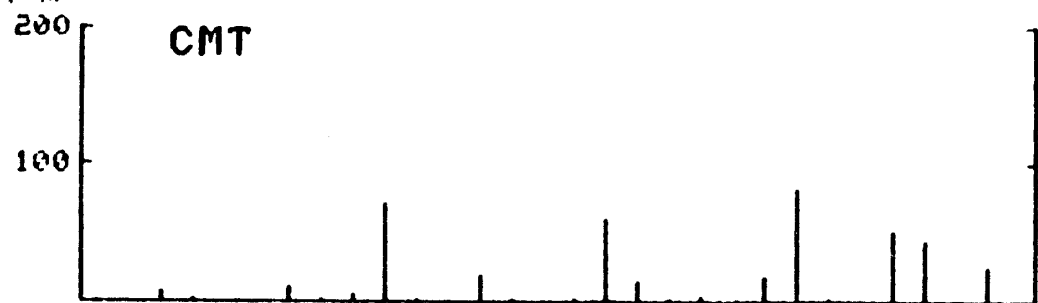
OSM

1 2 3 4 5 6 7 8 9 10 11 12 13 14 15 16 17 18 19 20 21 22 23 24 25 26 27 28 29 30 31

MAY 1984

PRECIPITATION

(mm)



PPECIPITATION  
(mm)

200

SMD

100

200

JIZ

100

200

HDA

100

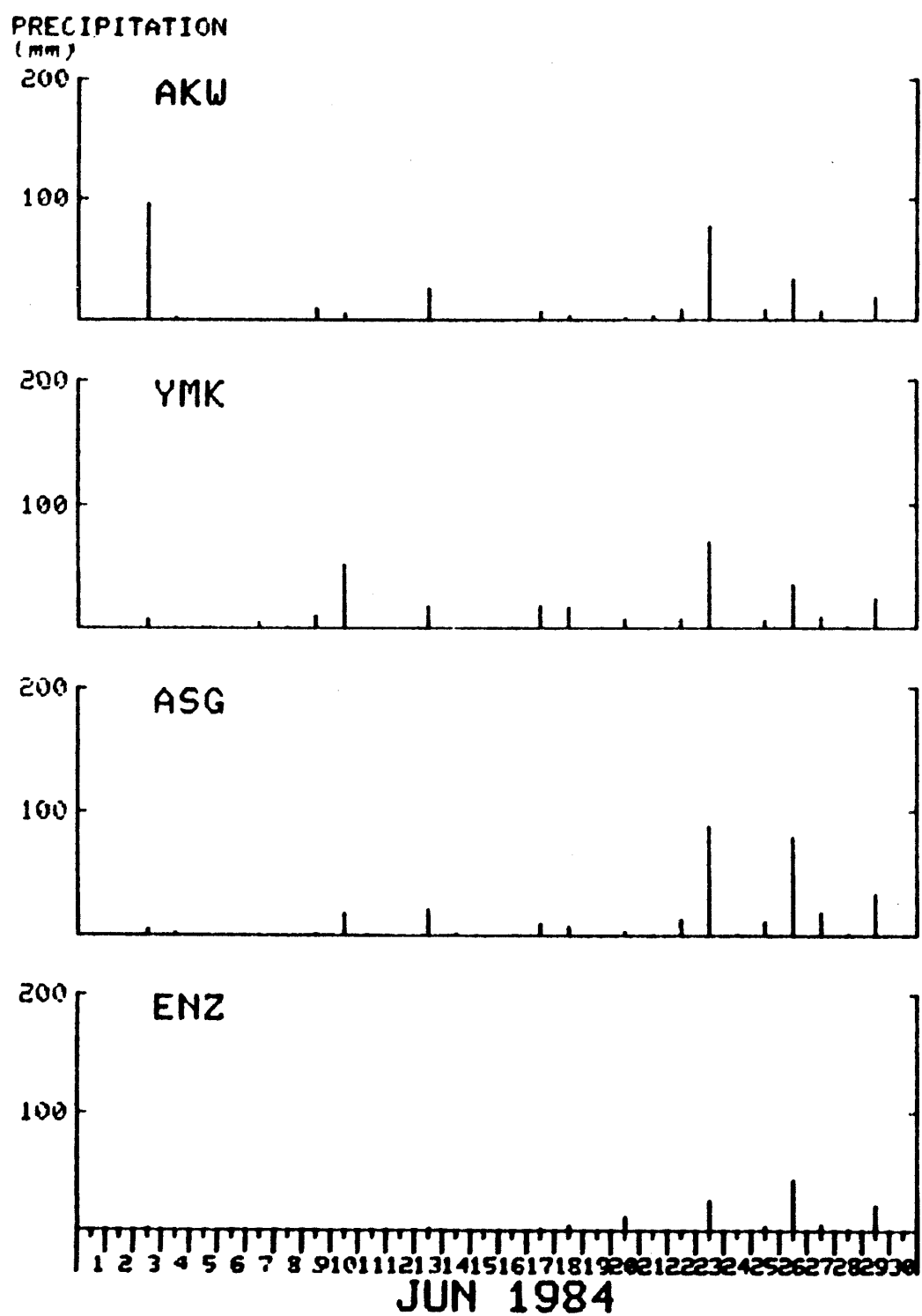
200

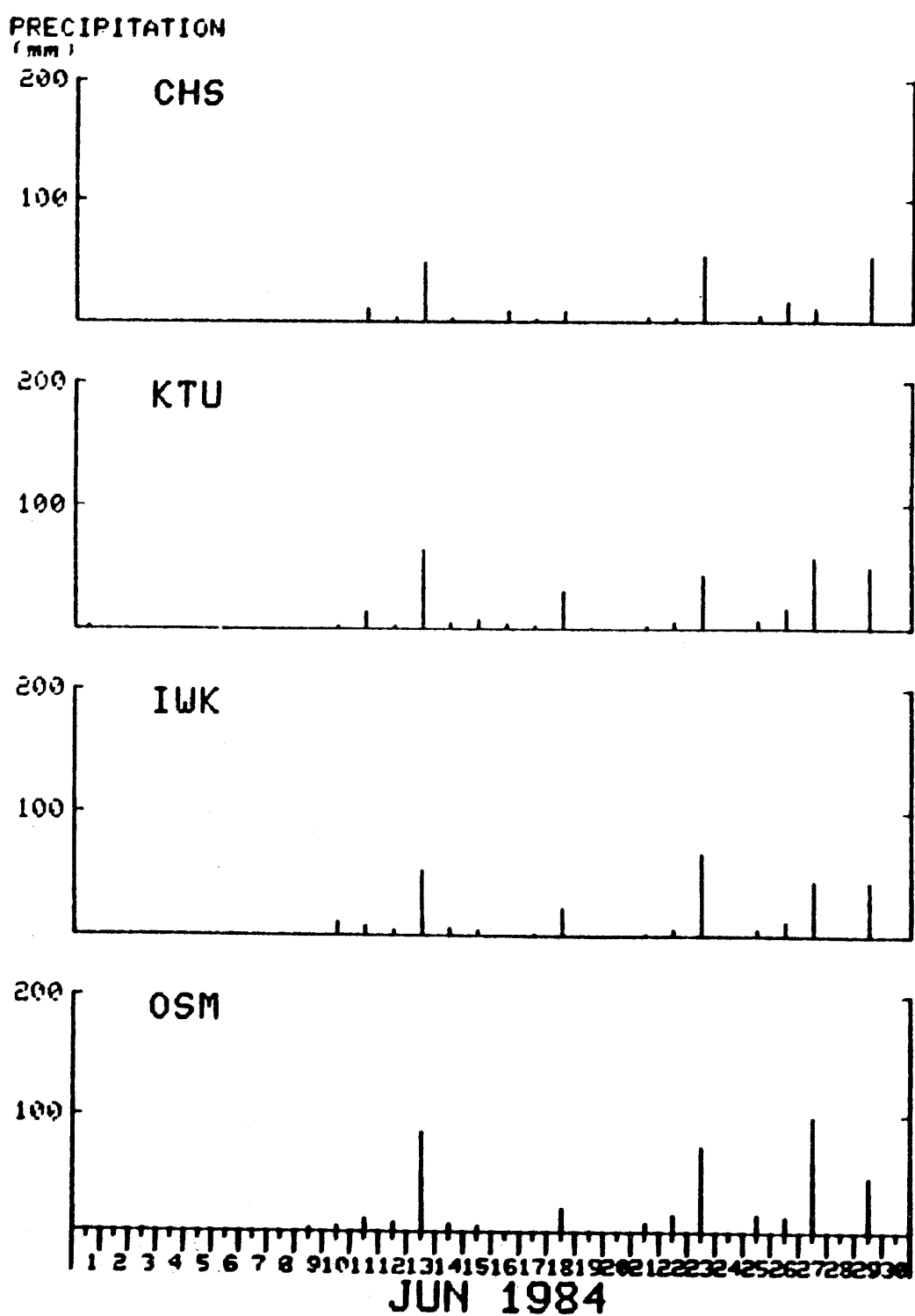
OHS

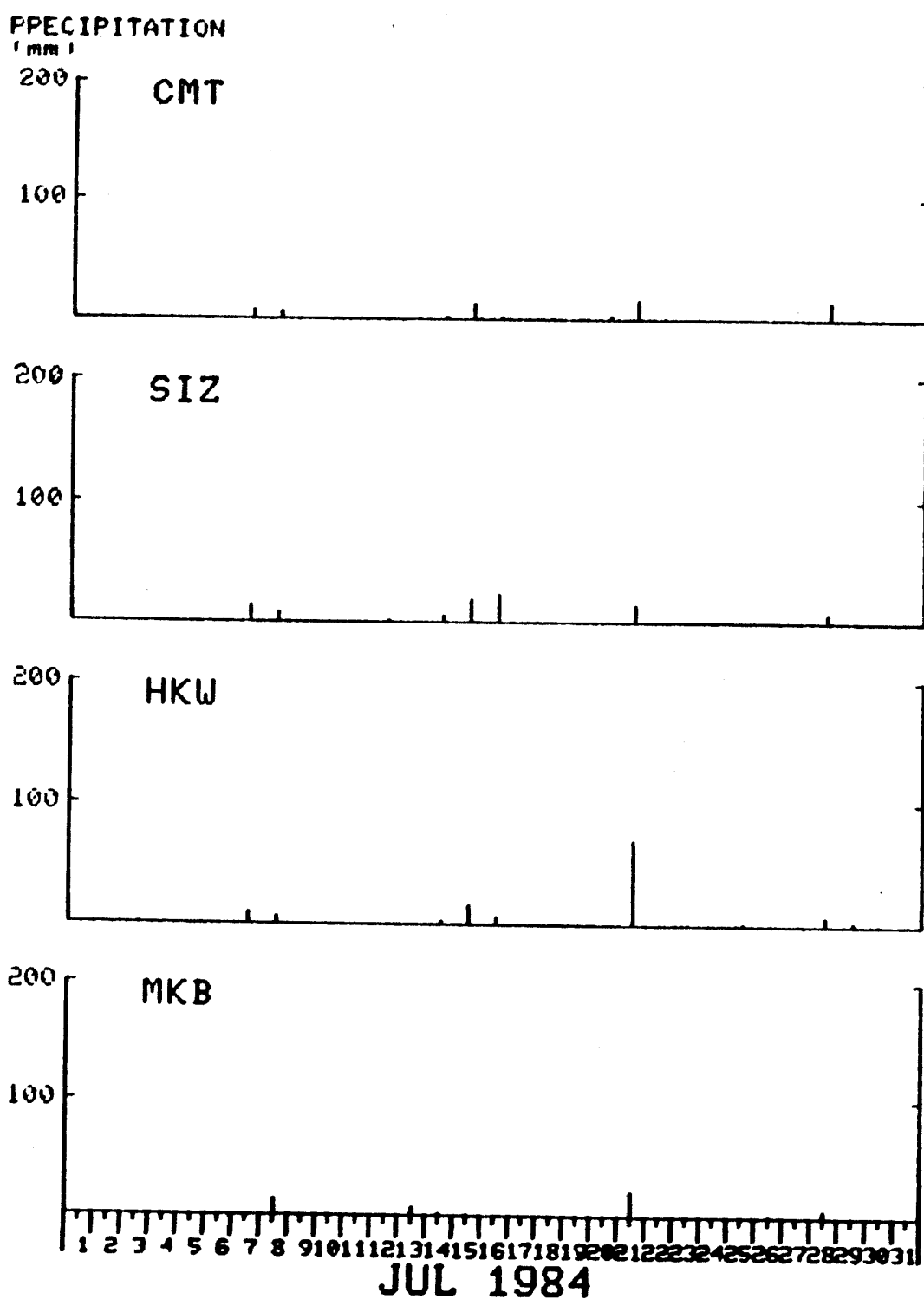
100

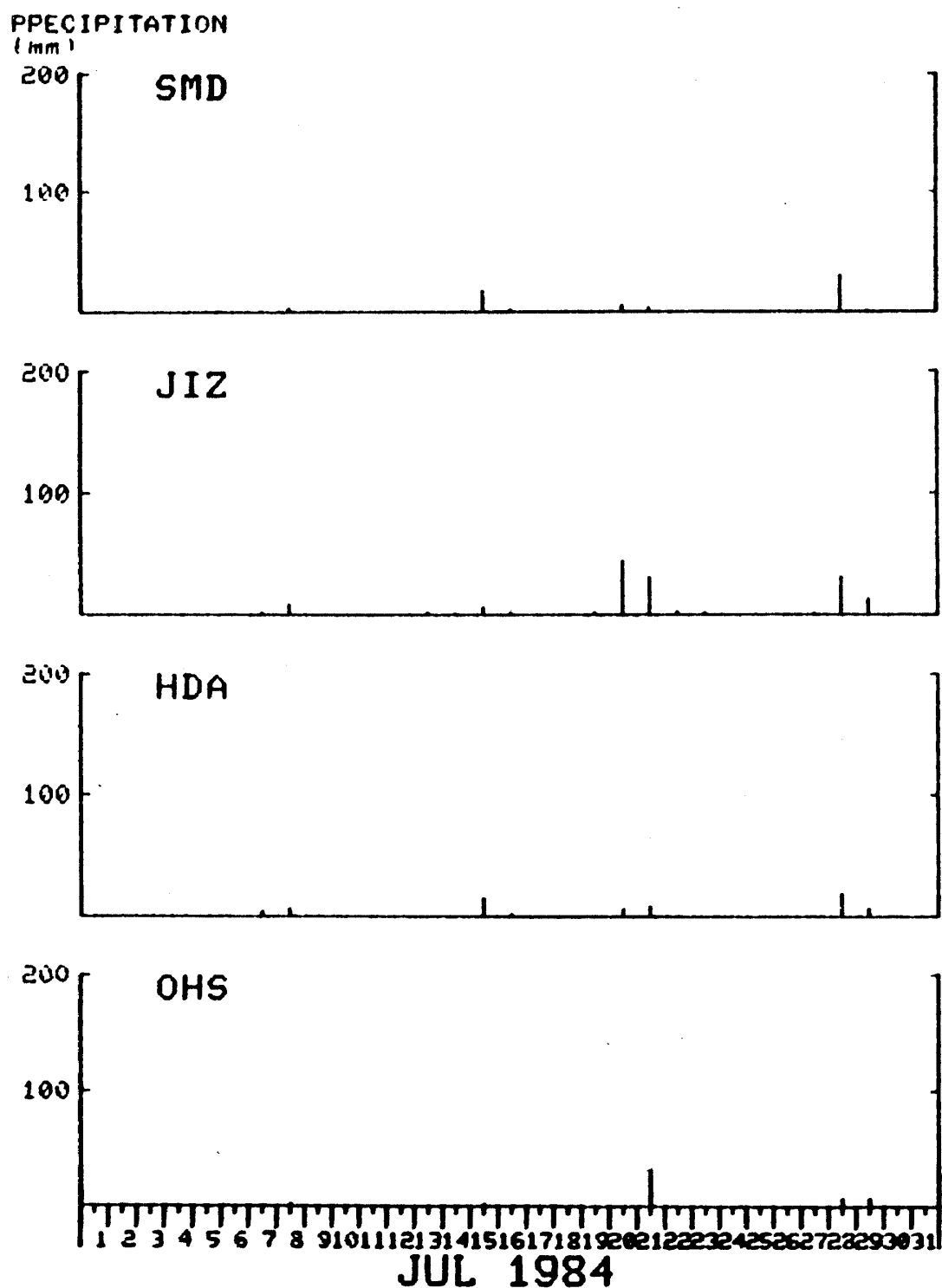
1 2 3 4 5 6 7 8 9 10 11 12 13 14 15 16 17 18 19 20 21 22 23 24 25 26 27 28 29 30

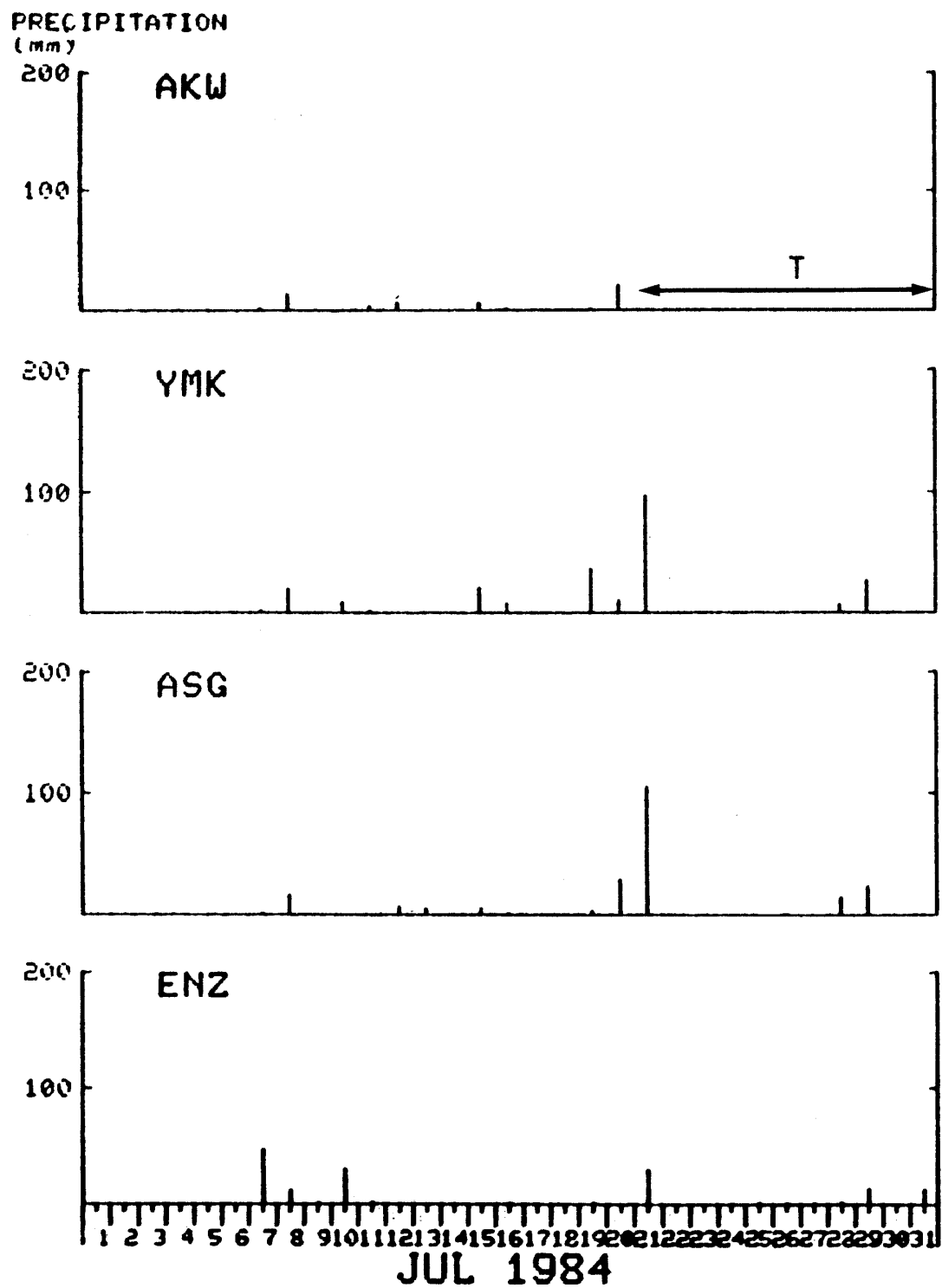
JUN 1984











PRECIPITATION  
(mm)

CHS

100

200

100

200

KTU

100

200

200

IWK

100

200

200

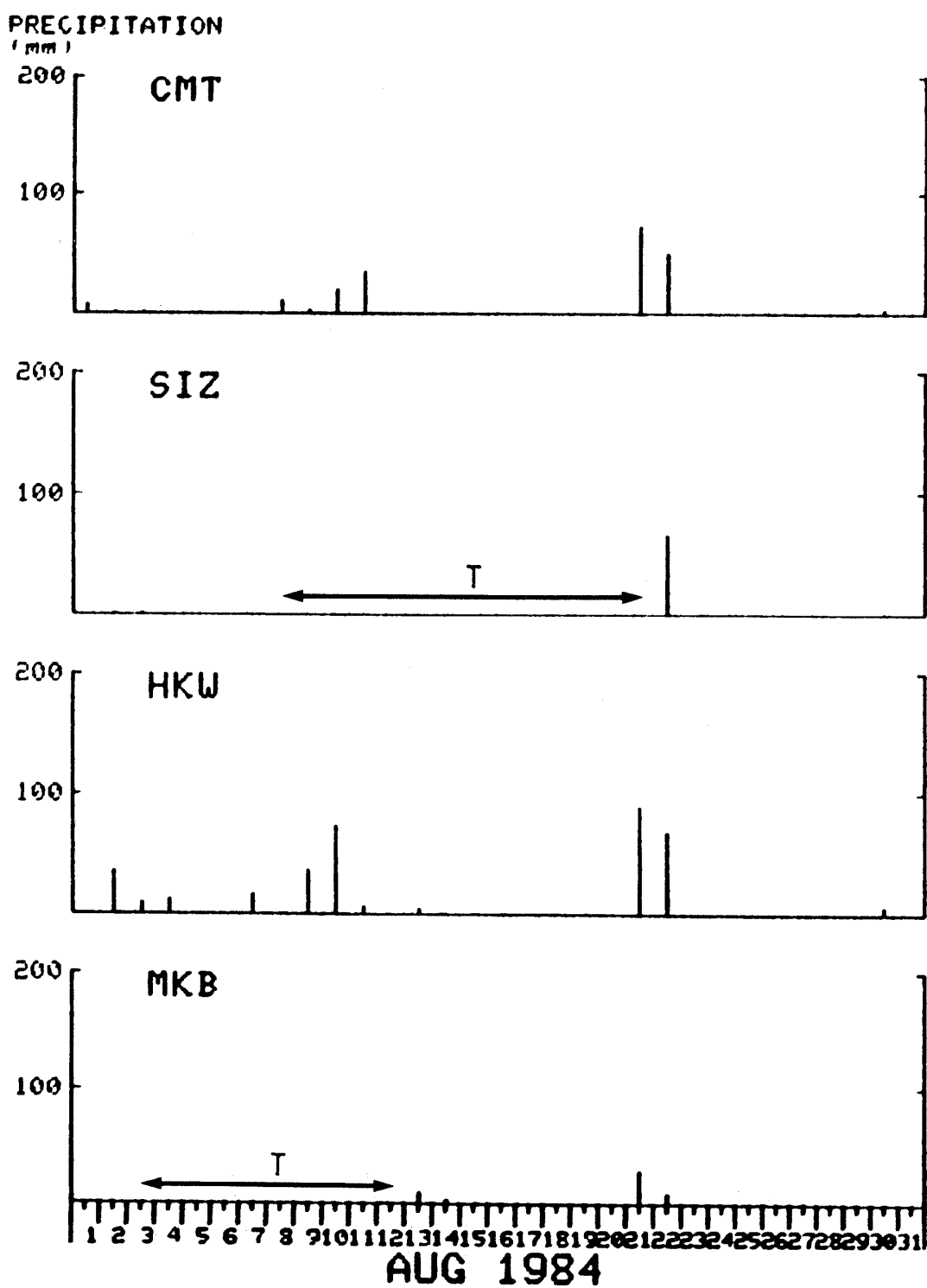
OSM

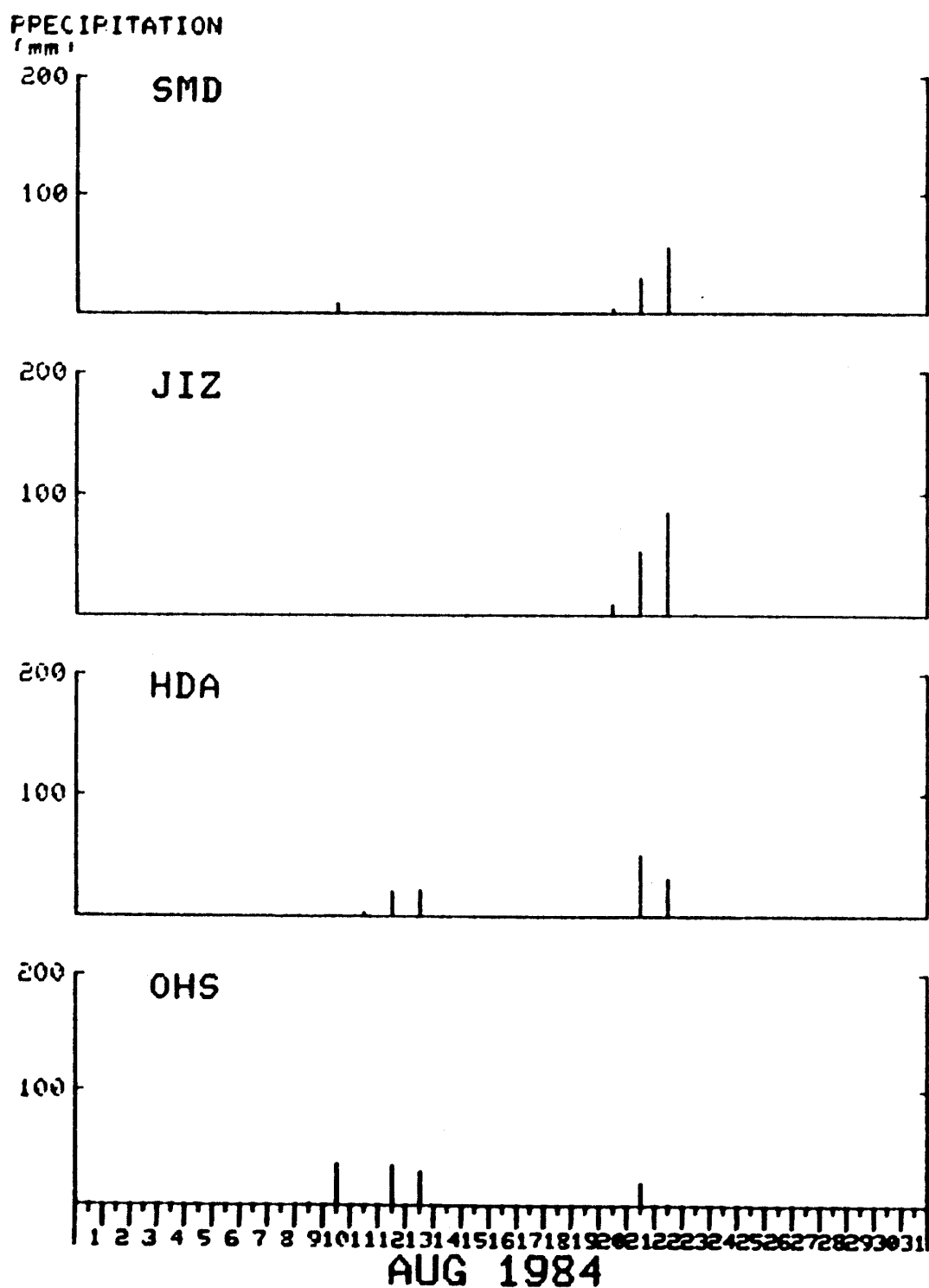
100

200

1 2 3 4 5 6 7 8 9 10 11 12 13 14 15 16 17 18 19 20 21 22 23 24 25 26 27 28 29 30 31

JUL 1984





PRECIPITATION

'mm'

200

100

AKW

T

200

YMK

100

200

ASG

100

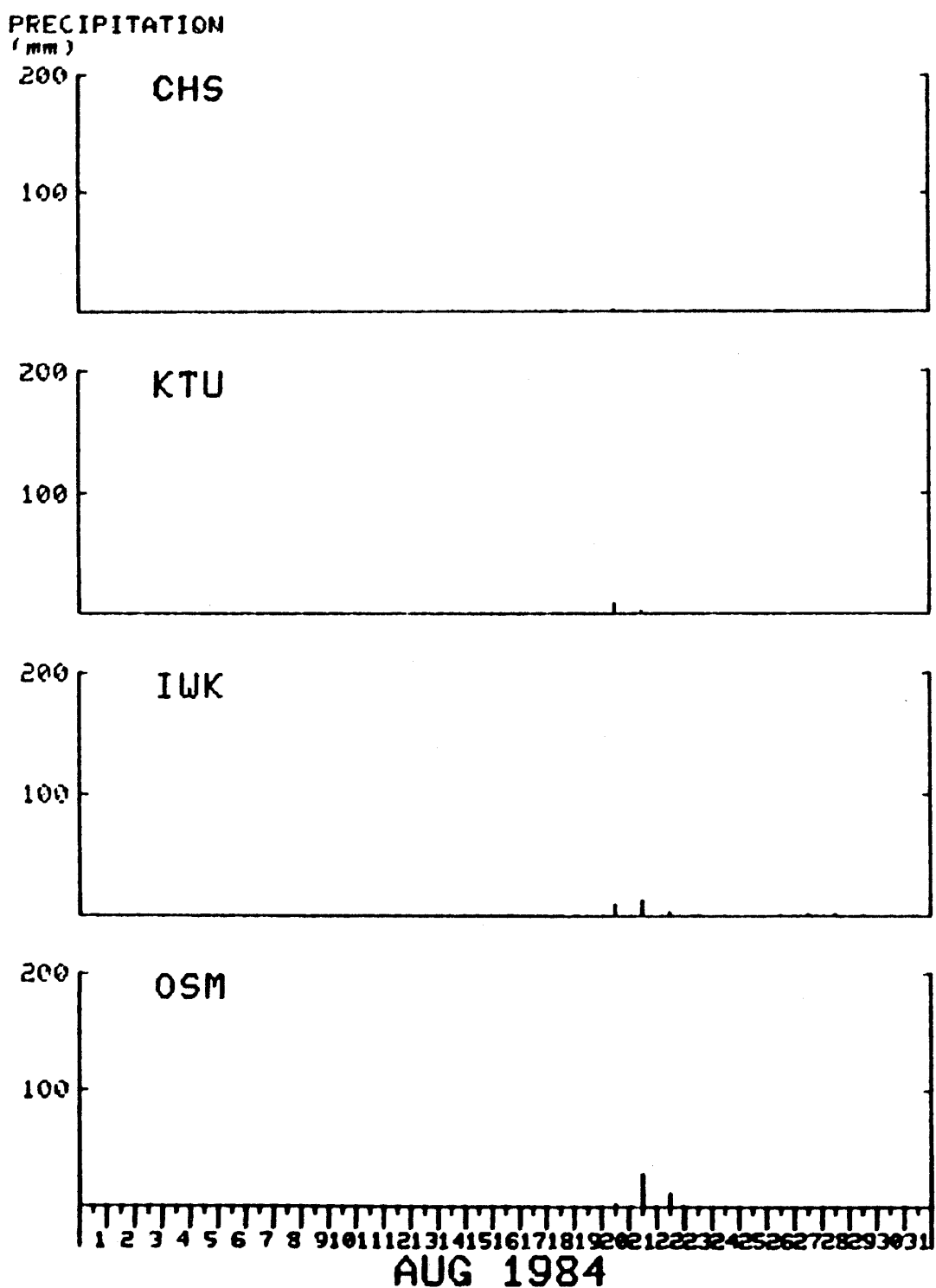
200

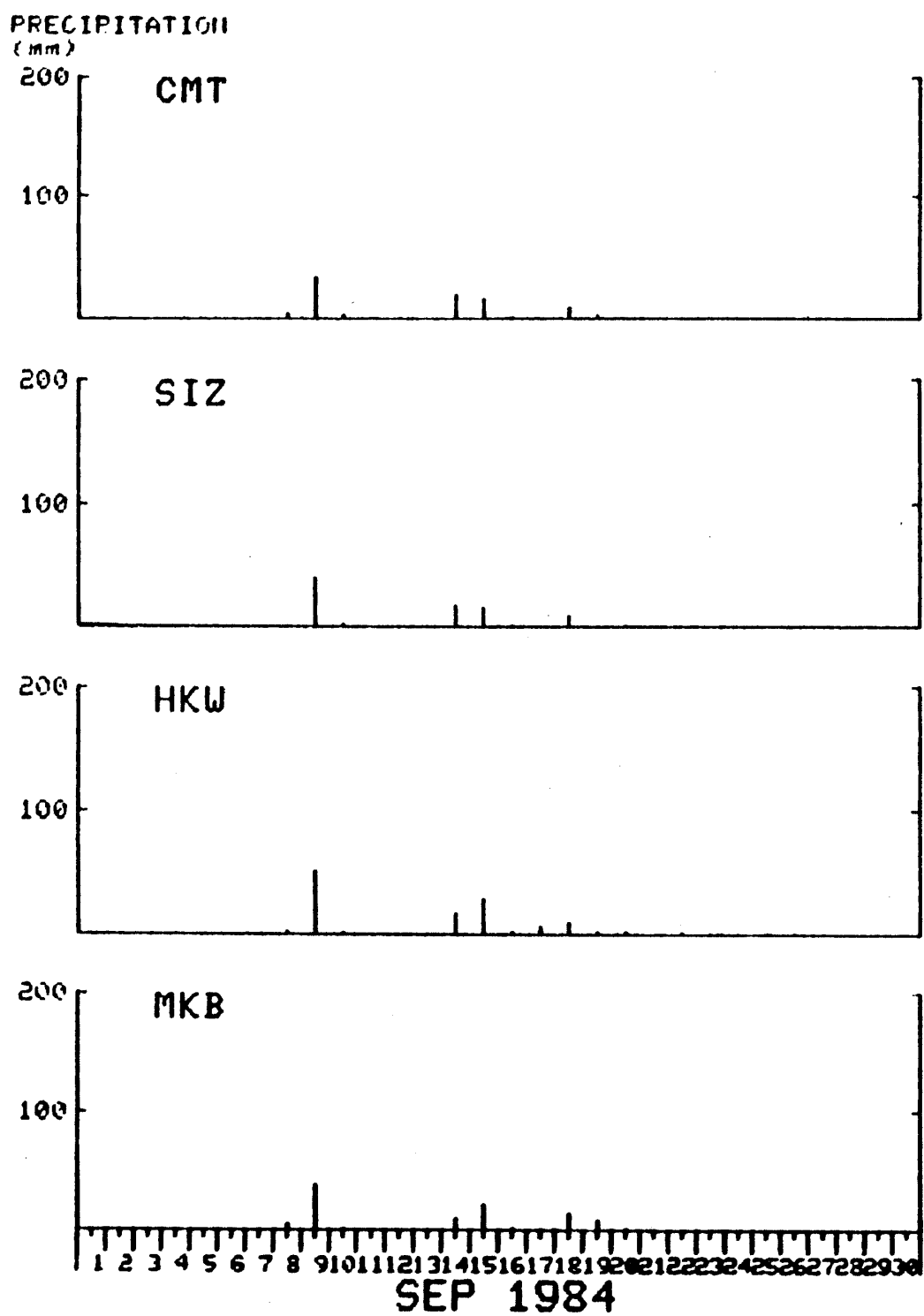
ENZ

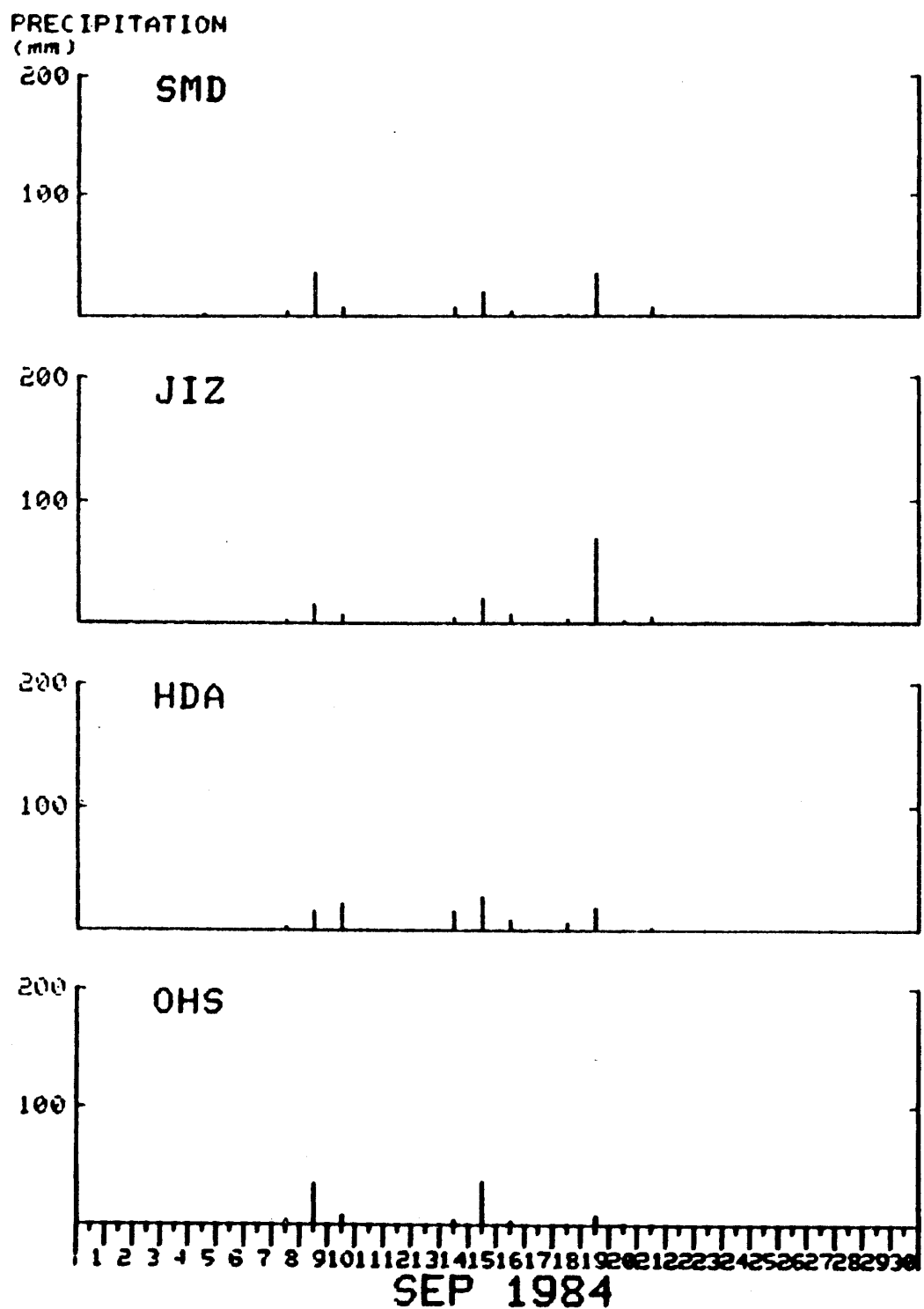
100



AUG 1984







PRECIPITATION  
(mm)

AKU

200

100

AKU

YMK

200

100

YMK

ASG

200

100

ASG

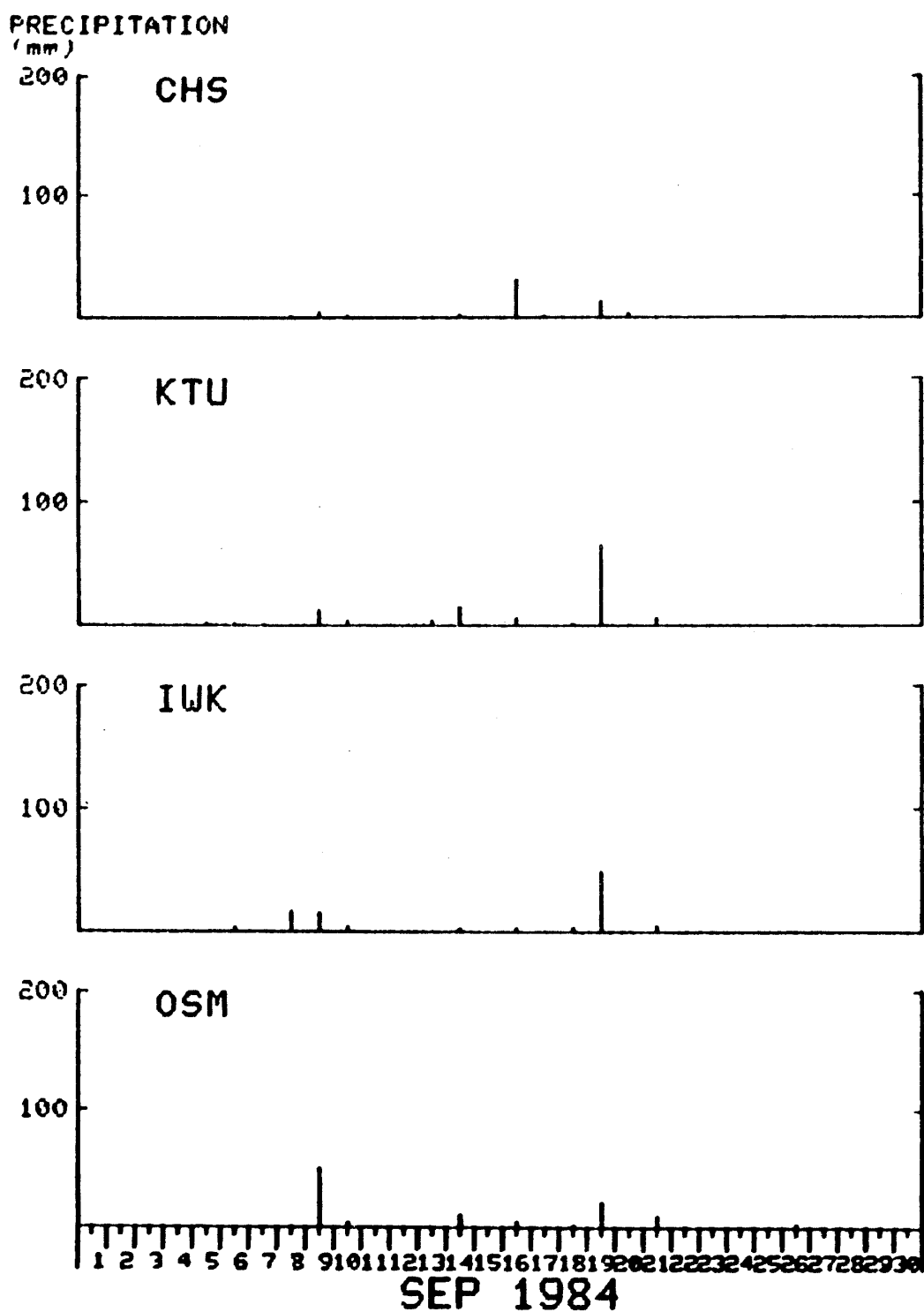
ENZ

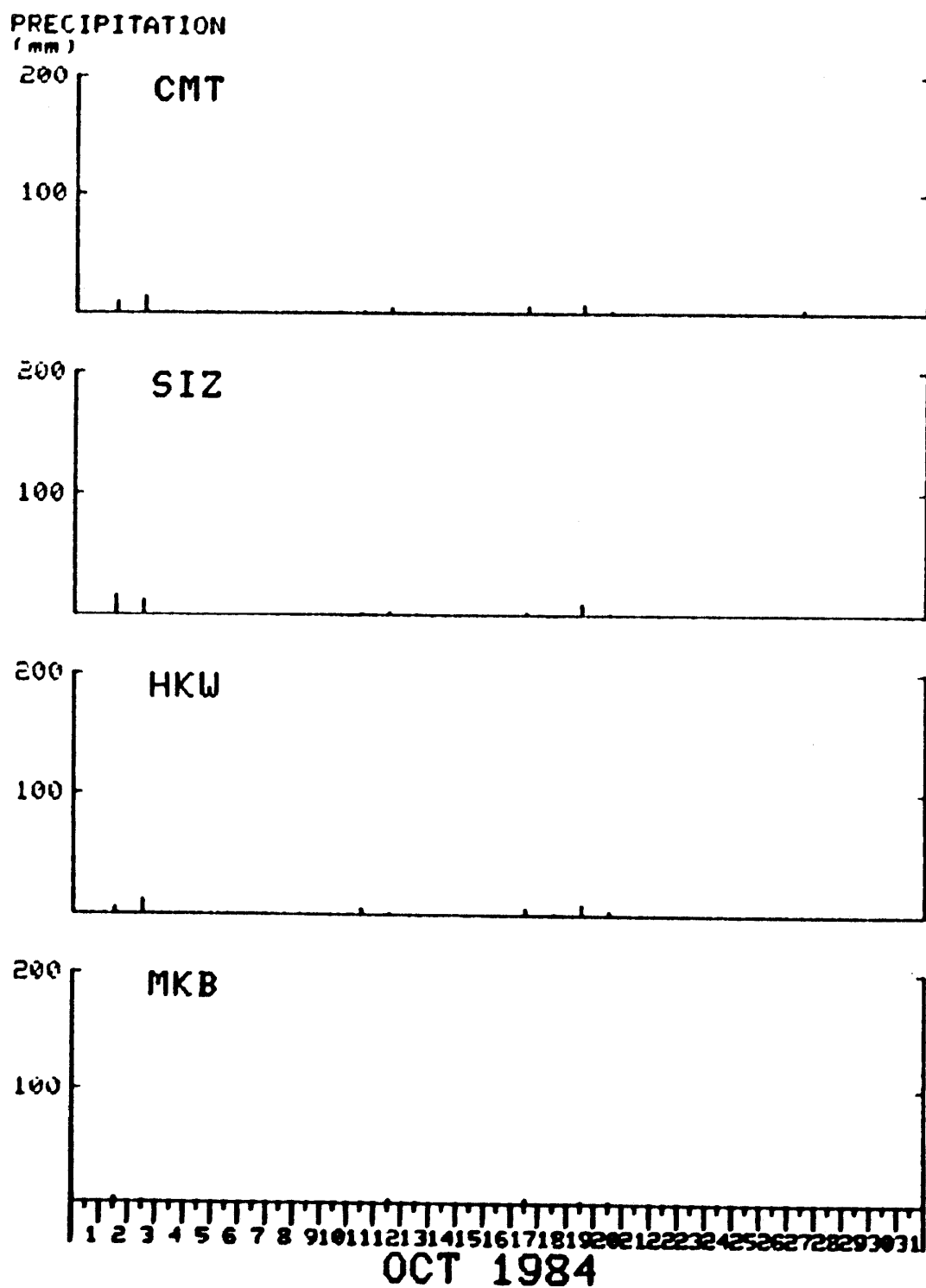
200

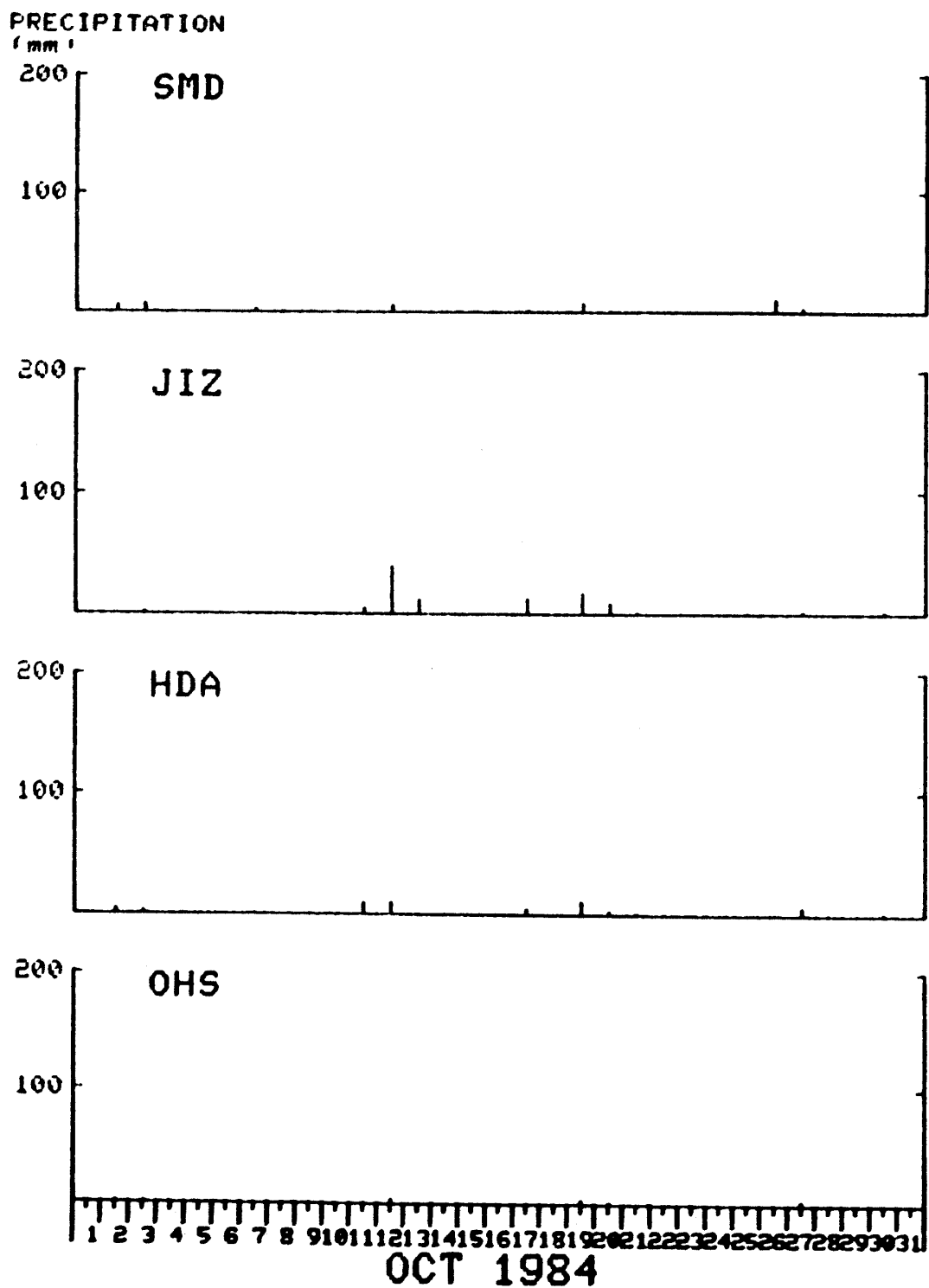
100

ENZ

1 2 3 4 5 6 7 8 9 10 11 12 13 14 15 16 17 18 19 20 21 22 23 24 25 26 27 28 29 30  
SEP 1984







PRECIPITATION  
(mm)

AKW



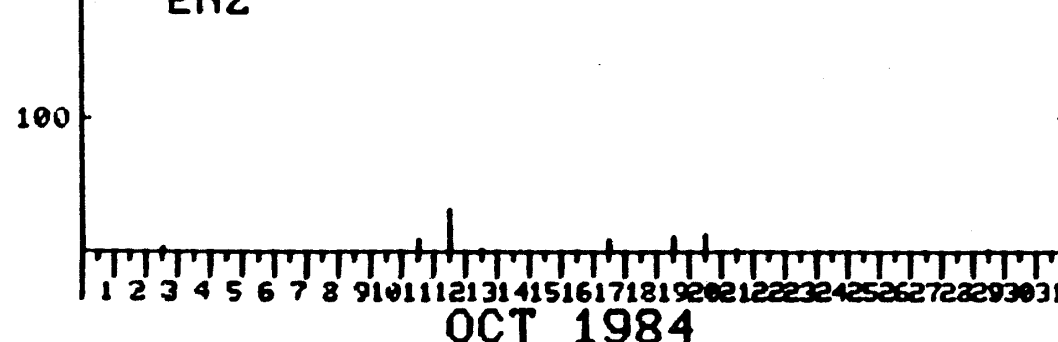
YMK



ASG



ENZ



OCT 1984

PRECIPITATION  
(mm)

CHS

200

100

0

200

100

0

200

100

0

200

100

0

CHS

KTU

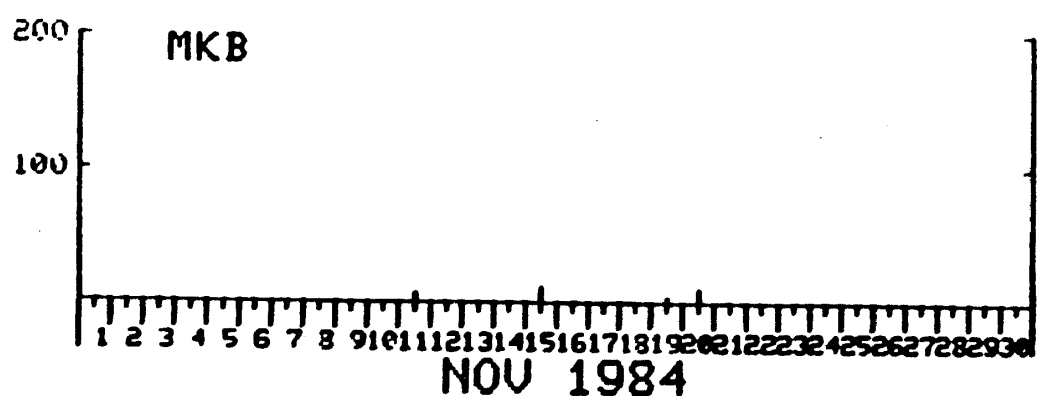
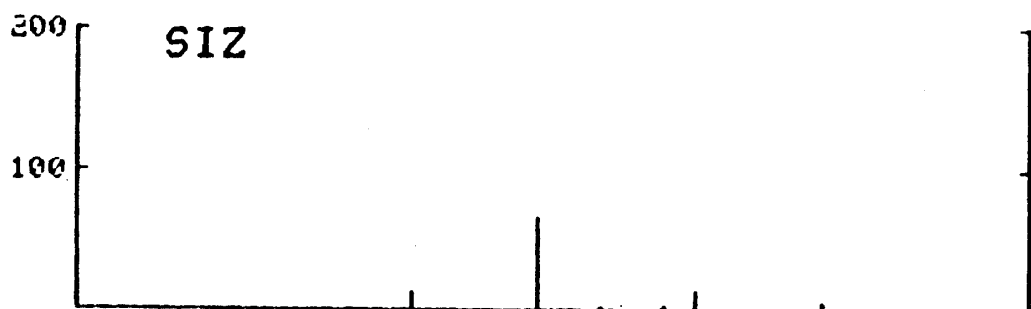
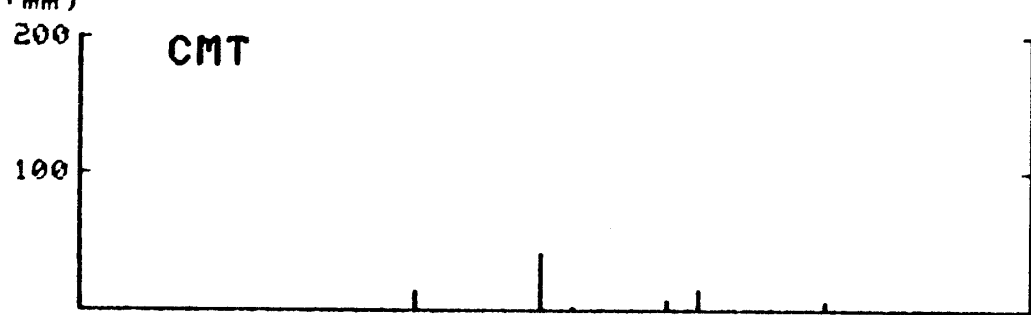
IWK

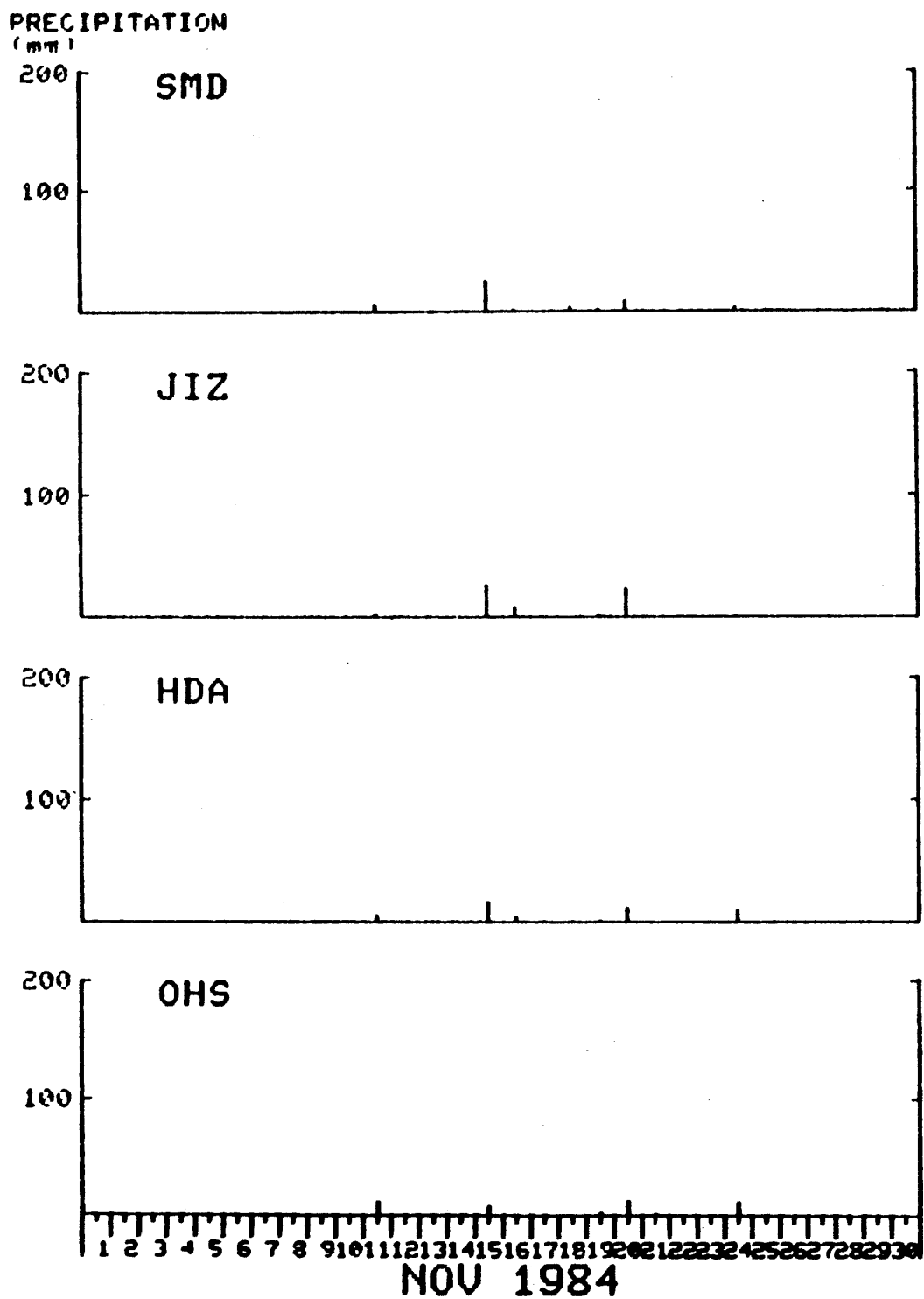
OSM

1 2 3 4 5 6 7 8 9 10 11 12 13 14 15 16 17 18 19 20 21 22 23 24 25 26 27 28 29 30 31

OCT 1984

PRECIPITATION  
(mm)





PRECIPITATION  
(mm)

AKW

100

200

| | | |

YMK

100

200

| | | |

ASG

100

200

| | | |

ENZ

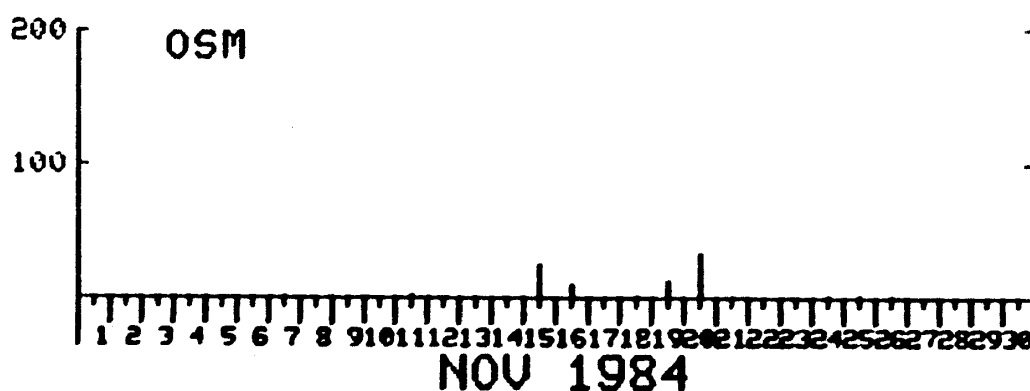
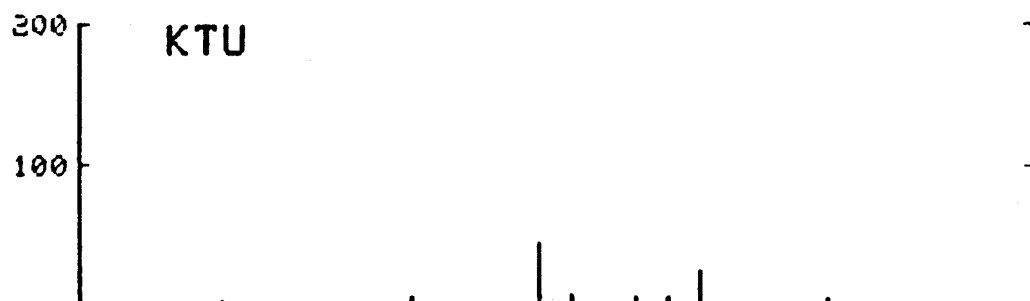
100

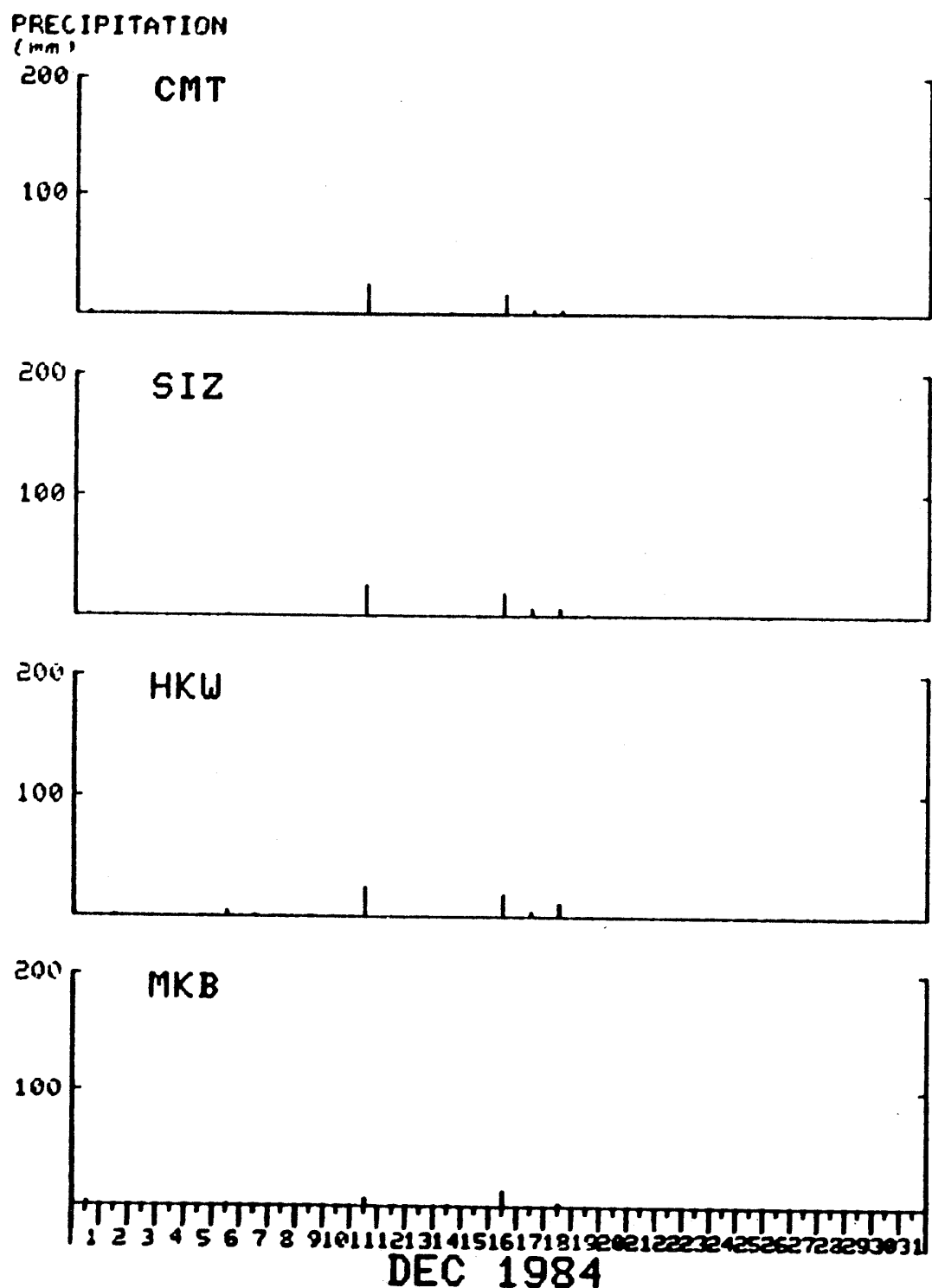
200

1 2 3 4 5 6 7 8 9 10 11 12 13 14 15 16 17 18 19 20 21 22 23 24 25 26 27 28 29 30

NOV 1984

PRECIPITATION  
(mm)





PRECIPITATION

(mm)

200

SMD

100

1 2 3 4 5 6 7 8 9 10 11 12 13 14 15 16 17 18 19 20 21 22 23 24 25 26 27 28 29 30 31

200

JIZ

100

1 2 3 4 5 6 7 8 9 10 11 12 13 14 15 16 17 18 19 20 21 22 23 24 25 26 27 28 29 30 31

200

HDA

100

1 2 3 4 5 6 7 8 9 10 11 12 13 14 15 16 17 18 19 20 21 22 23 24 25 26 27 28 29 30 31

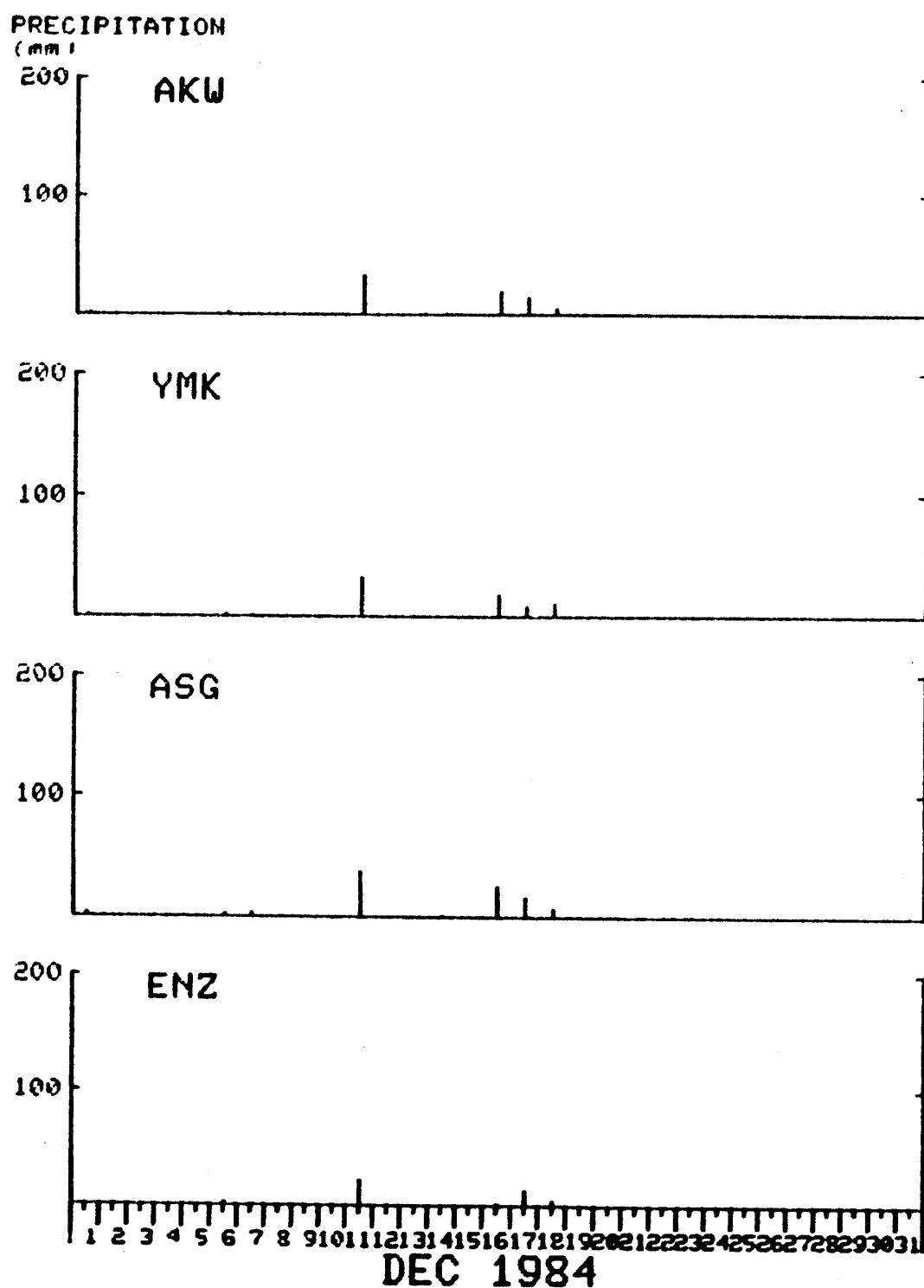
200

OHS

100

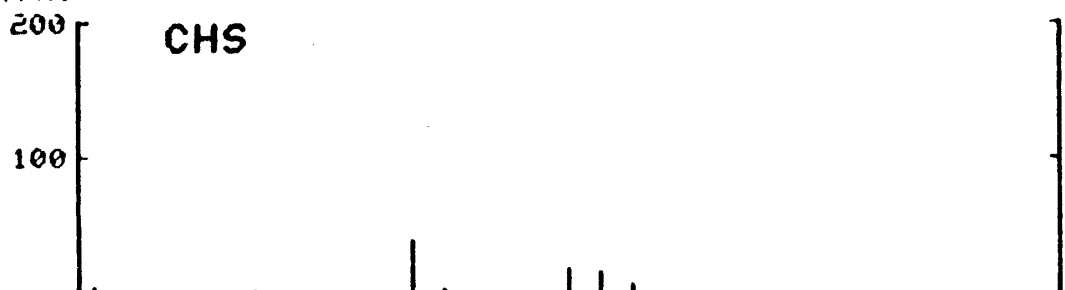
1 2 3 4 5 6 7 8 9 10 11 12 13 14 15 16 17 18 19 20 21 22 23 24 25 26 27 28 29 30 31

DEC 1984

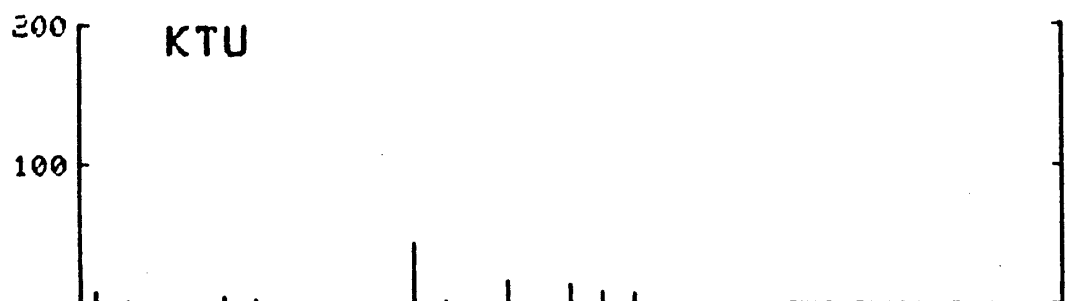


PRECIPITATION  
(mm)

CHS



KTU



IWK



OSM

